

19115.

SELÇUK ÜNİVERSİTESİ
FEN BİLİMLERİ ENSTİTÜSÜ

**ATTEPE (MANSURLU-FEKE) YÖRESİ
DEMİR YATAKLARININ
JEOLOJİK, PETROGRAFİK ve JENETİK İNCELEMESİ**

**V. G.
Vakıf
Vakıf
Dokümantasyon Merkezi**

**Şuayip KÜPELİ
DOKTORA TEZİ
JEOLOJİ MÜHENDİSLİĞİ ANABİLİM DALI
Konya, 1991**

T . C .
SELÇUK ÜNİVERSİTESİ
FEN BİLİMLERİ ENSTİTÜSÜ

ATTEPE (MANSURLU-FEKE) YÖRESİ
DEMİR YATAKLARININ
JEOLOJİK, PETROGRAFİK ve JENETİK İNCELEMESİ

Şuayip KÜPELİ

DOKTORA TEZİ
JEOLOJİ MÜHENDİSLİĞİ ANABİLİM DALI

Bu tez 8/11/1991 tarihinde aşağıdaki jüri tarafından kabul edilmiştir.

İmza
Prof. Dr. Özcan DORA

İmza
Prof. Dr. Faruk ÇALAPKULU

İmza
Doç. Dr. Ahmet AYHAN
(Danışman)

İÇİNDEKİLER

| | |
|---|-----|
| ÖZET..... | V I |
| ABSTRACT..... | IX |
| TEŞEKKÜR..... | XII |
| 1. GİRİŞ..... | 1 |
| 1.1. Amaç, Materyal ve Metod..... | 1 |
| 1.2. Önceki Çalışmalar..... | 2 |
| 1.3. Coğrafi Durum..... | 4 |
| 2. GENEL JEOLOJİ..... | 7 |
| 2.1. Stratigrafi..... | 7 |
| 2.1.1. Sicimindagi formasyonu (İEs)..... | 8 |
| 2.1.1.1. Attepe uyesi (İEsA)..... | 9 |
| 2.1.1.2. Kandilcikdere üyesi (İesk)..... | 13 |
| 2.1.2. Karaçattepe formasyonu (Ek)..... | 22 |
| 2.1.2.1. Menteşdere üyesi (Ekm)..... | 22 |
| 2.1.2.2. Uyuzpinarı üyesi (Eku)..... | 25 |
| 2.1.3 Kartalkaya formasyonu (E0k)..... | 28 |
| 2.1.3.1. Elmadağı üyesi (E0kel)..... | 29 |
| 2.1.3.2. Egrisögütdere üyesi (E0ke)..... | 33 |
| 2.1.4. Yıglitepe formasyonu (Py)..... | 38 |
| 2.1.5. Karakızoluğu formasyonu (Jkk)..... | 39 |
| 2.1.6. Delaliuşağı ofiyoliti (Kdof)..... | 45 |
| 2.1.6.1. Metamorfik dilim..... | 46 |
| 2.1.6.2. Peridotit napi..... | 48 |
| 2.1.7. Zebil formasyonu (Mz)..... | 52 |
| 2.1.8. Alüvyon ve yamaç molozları (Qa)..... | 55 |
| 2.2. Tektonik..... | 56 |
| 2.2.1. Kırıntımlar..... | 59 |
| 2.2.1.1. Büyük Ölçekli kıvrımlar..... | 59 |
| - Çokçanınbaşı ve Kurudere senklinalleri..... | 59 |
| - Mağaradere antiklinal ve senklinalli..... | 60 |
| - Çulfaseki antiklinali..... | 61 |
| - Cinnikoyak senklinalli | 61 |
| - Karakızoluğu senklinalli..... | 61 |
| - Mağarabelitepe antiklinali..... | 61 |
| 2.2.1.2. Küçük Ölçekli kıvrımlar..... | 62 |
| 2.2.2. Devrik yapılar..... | 63 |

| | |
|--|-----------|
| 2.2.3. Kırıklı yapılar..... | 67 |
| 2.2.3.1. Çatlaklar..... | 67 |
| 2.2.3.2. Faylar..... | 68 |
| 2.2.3.2.1. Normal faylar..... | 68 |
| - Attepe fayı-1..... | 68 |
| - Kızıl fayı..... | 71 |
| - Kartalkaya fayı..... | 71 |
| - Glipos-Tozludere fayı..... | 72 |
| - Akeşme fayı..... | 72 |
| - Küçüktahtafirflatan fayı..... | 73 |
| 2.2.3.2.2. Dogrultu atımlı faylar..... | 73 |
| 2.2.3.2.3. Ters faylar ve bindirme fayları.... | 74 |
| - Katrançukuru ofiyolit bindirmesi..... | 75 |
| - Tozlutepe-Cilbehertepe-Ziyarettepe ekayları..... | 76 |
| 2.2.4. Uyumsuzluklar..... | 77 |
| 3. MADEN YATAKLARI..... | 80 |
| 3.1. Tarihçe..... | 80 |
| 3.2. Demir Yatak ve Zuhurları..... | 82 |
| 3.2.1. Attepe yatağı | 83 |
| 3.2.1.1. Yatak geometrisi ve yankayaç iliş- kileri..... | 83 |
| 3.2.1.2. Yatağın kuzey bölümünün özelliklerı... 86 | |
| 3.2.1.3. Yatağın güney bölümü ve siderit damar- ları..... | 89 |
| 3.2.2. Kızıl yatağı..... | 93 |
| 3.2.2.1. Yatak bölümleri..... | 96 |
| 3.2.2.1.1. I. Ocak..... | 96 |
| 3.2.2.1.2. II. Ocak..... | 97 |
| 3.2.2.1.3. III. Ocak..... | 98 |
| 3.2.3. Değirmendere yatağı..... | 99 |
| 3.2.4. Menteşdere bölgesi yatak ve zuhurları..... | 102 |
| 3.2.4.1. Menteşdere yatağı..... | 102 |
| 3.2.4.2. Menteşdere zuhurları..... | 103 |
| 3.2.5. Uyuzpinarı yatağı..... | 104 |
| 3.2.6. Kartalkaya yatağı..... | 105 |
| 3.2.7. Magarabeli yatakları..... | 108 |

| | |
|---|-----|
| 3.2.8. Magarabeli Tepe civarındaki yatak ve zuhurlar..... | 110 |
| 3.2.8.1. Mağaradere yatağı..... | 110 |
| 3.2.8.2. I. Yatak..... | 113 |
| 3.2.8.3. II. Yatak..... | 114 |
| 3.2.8.4. Mağarabelitepe yatağı..... | 116 |
| 3.2.8.5. Mağarabeli zuhurları..... | 117 |
| 3.2.9. Karakızolugu yatağı..... | 118 |
| 3.2.10. Sicimindagi formasyonu içerisinde yeralan zuhurlar..... | 121 |
| 3.2.11. Katrançukuru zuhurları..... | 123 |
| 3.2.12. Çondu zuhuru..... | 124 |
| 3.2.13. Ankeritik kuşaklar ve bunlarla ilgili bazı küçük zuhurlar..... | 126 |
| 3.2.14. Mağaradere..zuhuru..... | 127 |
| 3.2.15. Diger zuhurlar..... | 130 |
| 3.2.15.1. Domuztümsegii..zuhuru..... | 130 |
| 3.2.15.2...Sicimindagi..zuhuru..... | 131 |
| 3.2.15.3. Dilibozpinarı zuhuru..... | 131 |
| 3.2.15.4. Cinindere zuhuru..... | 132 |
| 3.2.15.5. Karakızolugu zuhurları | |
| 3.3. Demir Yatak ve..Zuhurlarının..Karstlaşması..... | 133 |
| 3.4. Sedimanter Kökenli Piritler ve Organik Madde Çökelimi..... | 138 |
| 3.4.1. Piritli oluşukların sedimanter özellik- leri..... | 141 |
| 3.4.1.1. Tabaka taban-tavan yapıları..... | 142 |
| 3.4.1.2. Uyumsuz laminalar..... | 144 |
| 3.4.1.3.. İç sedimantasyon oluşukları..... | 146 |
| 3.4.1.4. Mikroçapraz laminalanmalar..... | 148 |
| 3.4.1.5. Öteki jeopedal yapılar..... | 150 |
| 3.4.1.6. Plastik deformasyon yapıları ve diyaje- netik çatlak dolguları..... | 151 |
| 3.5. Mikroskopik Incelemeler..... | 153 |
| 3.5.1. Birincil cevher mineralleri..... | 154 |
| 3.5.1.1. Hematit..... | 154 |
| 3.5.1.2. Siderit..... | 155 |

| | |
|---|-----|
| 3.5.1.3. Tetraedrit..... | 157 |
| 3.5.1.4. Pirit | 158 |
| a- Birinci evre piritleri (Sedi- | |
| manter kökenli piritler)..... | 159 |
| b- İkinci ve üçüncü evre piritleri | |
| (Cevherleşmeyle ilgili piritler)..... | 159 |
| 3.5.1.5. Kalkopirit..... | 161 |
| 3.5.1.6. Ankerit..... | 161 |
| 3.5.1.7. Markazit..... | 162 |
| 3.5.1.8. Manyetit..... | 162 |
| 3.5.2. İkincil cevher mineralleri..... | 163 |
| 3.5.2.1. Götit ve lepidokrosit..... | 163 |
| 3.5.2.2. İkincil hematit..... | 164 |
| 3.5.2.3. Malahit ve azuritler..... | 165 |
| 3.5.2.4. Zinnober..... | 165 |
| 3.5.3. Gang mineralleri..... | 166 |
| 3.5.3.1. Kalsit ve dolomit..... | 166 |
| 3.5.3.2. Kuvars..... | 167 |
| 3.5.3.3. Barit..... | 167 |
| 3.5.3.4. Klorit..... | 168 |
| 3.5.3.5. Aragonit..... | 167 |
| 3.5.4. Süksesyon..... | 168 |
| I. Karbonatlı cevherleşmeler..... | 169 |
| II. Oksitli cevherleşmeler..... | 170 |
| a- Piritli manyetitler..... | 170 |
| b- Kuvarslı hematitler..... | 171 |
| c- Baritli hematitler veya hematitli | |
| baritler..... | 171 |
| 3.6. Jeokimyasal İncelemeler..... | 172 |
| 3.6.1. Sideritlerin jeokimyasal özellikleri..... | 172 |
| 3.6.2. İkincil cevherlerin jeokimyasal özellik- | |
| leri..... | 180 |
| 3.6.2.1. Attepe yatağı..... | 180 |
| 3.6.2.2. Farasa zuhuru..... | 190 |
| 3.6.3. Bazı sülfidli minerallerin analizleri..... | 192 |
| 3.6.3.1. Piritlerin ana ve bazı iz element | |
| analizleri..... | 192 |

| | |
|---|------------|
| 3.6.3.2. Tetraedritlerin ana ve bazı iz element analizleri..... | 200 |
| 3.6.3.3. Kalkopiritlerin analizleri..... | 201 |
| 3.7. Attepe Yöresi Demir Yataklarının Kökeni..... | 203 |
| 3.7.1. Pirit zuhurları ve hematit oluşumları..... | 203 |
| 3.7.2. Siderit ve hematit damarları..... | 206 |
| 3.7.3. Karstik süreçler ve ikincil cevherlerin oluşumu..... | 213 |
| SONUÇLAR..... | 216 |
| KAYNAKLAR..... | 219 |
| EKLER | |
| EK-1. Attepe (Mansurlu-Feke) yöresinin jeoloji haritası | |
| EK-2. Attepe (Mansurlu-Feke) yöresinin jeoloji kesitleri | |
| EK-3. Attepe (Mansurlu-Feke) yöresinin genelleştirilmiş dikme kesiti | |
| EK-4. Toroslardaki Alt Paleozoyik ve daha yaşlı birimlerin lito ve kronostratigrafik korelasyonları | |

ÖZET

Dogu Toroslar'ın batısında yeralan inceleme alanında, Geyikdağı birligine ait otokton konumlu birimler ile Bozkır birligine ait allokton konumlu birimler yüzeylemektedir. Geyikdağı birligine ait İnfra kambriyen yaşlı Sicimindiği formasyonu; bitümlü şist, filit ve şeyllerin ardalanmasından oluşan Attepe üyesi ile, şist, fillit, metakumtaşı ve metakuvarsitlerden ibaret Kandilcikdere üyesini kapsamaktadır. Bu formasyonu izleyen Alt-Orta Kambriyen yaşlı Karacattepe formasyonu, Menteşdere ve Uyuzpinarı olmak üzere iki ümeye ayrılmış olup, karbonat kayaçlarından oluşmaktadır. Elmadağı ve Eğrisögüt dере üyelerini kapsayan Üst Kambriyen-Ordovisiyen yaşlı Kartal-Kaya formasyonu, kalksist ve yumrulu kireçtaşları ile şist, fillit ve metakumtaşlarından meydana gelmektedir. Karbonat kayaçlarının yeraldığı, Üst Permiyen yaşlı Yiğlitepe, formasyonu ise, daha yaşlı birimleri açılı bir uyumsuzlukla ortmektedir. İnfra kambriyen ve Paleozoyik yaşlı birimler üzerine metakonglomera, fillit, şist kalksist ve rekristalize kireçtaşlarından oluşan, Jura-Alt Kretase yaşlı Karakızsluğu formasyonu, açısal bir uyumsuzlukla gelmektedir. Bölgeye Maestrichtiyen'de yerleşen Bozkır birligine ait Delialiuşağı ofiyoliti, Aladag ofiyolit dizisine ait metamorfik dilim ve peridotit napi bölgülerini kapsamakta ve Miyosen öncesi bütün birimler üzerine bindirmektedir. Bölgenin kuzeybatı kesiminde yüzeyleyen ve Konglomera-marn ardalanmasından oluşan Alt-Miyosen yaşlı Zebil formasyonu da daha yaşlı birimler üzerinde açısal bir uyumsuzlukla yer almaktadır.

Kıvrım tektoniginden çok kırık tektoniginin etkili olduğu inceleme alanında, block faylı, bindirmeli ve devrik yapılar ortaya çıkmıştır. Genellikle KD-GB ve KB-GD yönünde bir gidişe sahip olan tektonik hatların cevherleşme açısından en önemlileri Attepe, Kızıl ve Kartal-

kaya faylarıdır. Büyük Ölçekli kıvrım yapılarının pek görülmeliği inceleme alanında, daha çok formasyon içi kıvrım niteligideki küçük Ölçekli kıvrım yapıları izlenmektedir.

Jeolojik, petrografik ve jeokimyasal incelemelere göre, bölgede yataklanma şekli ve zamanı birbirlerinden farklı olan pirit ve hematit oluşukları, siderit ve hematit damarları ile bunlardan türeyen karstik cevherin varlığı belirlenerek, cevher yataklanmasının üç kademede gerçekleştiği ortaya konulmuştur.

Infrakambriyen yaşlı Sicimindagi formasyonu, içerisinde yer alan pirit ve hematit oluşukları, denizel ortam şartlarında kimyasal sedimantasyon süreçleriyle çökelmişlerdir. Bitümlü şist, fillit ve şeyller içerisinde izlenen pirit oluşukları, sadece Attepe yatağının güneydogu kesiminde yüzeylemekte ve tipik sedimanter yapılar sunmaktadır. Piritlere göre daha yaygın olarak izlenen hematitler ise, metakuvarsitler içerisinde yer almaktır ve laminalli, bantlı yapılar oluşturmaktadır.

Türkiyēnin işletilebilir nitelikteki ikinci büyük demir provensini oluşturan inceleme zəlanında, Attepe, Kızıl ve Magaradere gibi hâlen işletilen önemli demir yatakları bulunmaktadır. Miyosen yaşlı birimler dışında, diğer tüm birimler içerisinde görülebilen siderit-ankerit ve hematit gibi karbonatlı ve oksitli birincil cevherleşmeler, tamamen tektonik kontrollü damar, mercek ve düzensiz sınırlı kütleler şeklindedirler. Ekonomik boyutlara ulaşan asıl cevherleşmeler ise, ya bütünüyle karbonat kayaçların kırıklarında veya bunlarla pelitik kayaçların tektonik dökənaklarında gerçekleşmiştir. Hipojen-epijenetik kökenli bu birincil cevherleşmeyi sağlayan cevherli çözeltilerin oluşumu, muhtemelen Paleosen-Alt Eosen zaman sürecinde bölgenin derinliklerinde etkili olan granitik bir sokumun lokal olarak yükselmesine sebebolduğu jeotermik gradyanla ilişkilidir. Yükselen jeotermik gradyana bağlı olarak ısnan sıg ve derin dolaşımı yeraltı suları ve gözenek suları ile muhtemelen magmatik suları

bünyesinde bulunduran çözelti karışımıları, bölgede bir kısmı yüzeyleyen Infrakambriyen yaşlı sedimanter kökenli pirit ve hematit oluşukları ile reaksiyona girerek demir ve diğer katyonlarca zenginleşmiş olan cevherli çözeltileri oluşturmuşlardır. Birincil cevherleşmenin oluşum yaşı Paleosen-Alt Eosendir. Bölgedeki karasallaşma hareketlerine paralel olarak Tersiyer başlarından itibaren etkili olmaya başlayan karstik süreçlerle birlikte siderit-ankerit ve hematitlerden ibaret olan birincil cevherler limonite dönüşmüş ve bunların önemli bir bölümü de koloidal çözeltiler veya kum-blok boyutunda kırıntıları elemanları şeklinde yatak içi endokarstik boşluklara taşınarak oralarda karst sedimantasyonunu simgeleyen tipik sarkıt-dikitli, kovuklu, kabugumsu ve böbreğimsi görünümü kolloform yapılarla, bantlı ve tabakamsı yapıları oluşturmuştur. Buralarda oluşan ikincil demir cevherlerinin hakim bileşenleri götit, lepidokrosit, hidrohematit ve diğer materyallerdir. Daha az miktarlarda da siderit, ankerit, hematit, manyetit, pirit, tetraedrit, kalkopirit, markazit, malahit, azurit ve zinnober gibi diğer cevher bileşenleri ile kalsit, kuvars, barit, dolomit ve aragonit gibi gang mineralleri gözlenmektedir.

Jeokimyasal incelemelere göre, en önemli birincil cevher minerallerini oluşturan sideritler ortalamada % 40.03 Fe, % 5,30 SiO₂; ikincil cevher bileşenini oluşturan limonitler ise, % 55,40 Fe ve % 6,70 oranında SiO₂ içermektedirler. İz element analizlerinde sideritlerin 2 ppm'in altında Zn, 1 ppm'in altında Ni, eser miktarda da Pb, Co ve Cr içerdikleri belirlenmiştir. Diğer taraftan hidrotermal pirit numunelerinde Cu, Se, Hg, Sb ve Co kontrasyonlarının, sedimanter piritlere göre daha yüksek, Ni konsantrasyonlarının ise daha düşük olduğu görülmüştür.

ABSTRACT

In the study area, which is located in the west of the Eastern Taurus, autochthonous sequences of the Geyikdagı unit and allochthonous sequences of the Bozkır unit are exposed. The Infra-Cambrian aged Sicimindağı formation of the Geyikdagı unit comprises Attepe member consisting of alternating bituminous schists, phyllites and shales, and Kandilcikdere member consisting of schist, phyllites, meta-sandstones and metaquartzites. Following this formation is the Lower-Middle Cambrian aged Karaçattepe formation. It is made up of carbonate rocks and divided into Mentesdere and Uyuzpinarı members. The Upper Cambrian-Ordovician aged Kartalkaya formation, which comprises Elmadağı and Egrisögündere members, consists of calcschists, nodular limestones, and schists, phyllites and metasandstones respectively. The Upper Permian aged Yığlıtepe formation, which includes carbonate rocks, overlies the older units with an angular unconformity. The Infra-Cambrian and Paleozoic aged units are overlain with an angular unconformity by the Jurassic-Lower Cretaceous aged Karakızolugu formation. This formation consists of metaconglomerate, phyllite, schist, calcschist and recrystallized limestone. The Delaliuşağı ophiolite, belong to the Bozkır unit, which emplaced in the region during Maastrichtian comprises metamorphic slice and peridotite nappe segments of the Aladağ ophiolite, and is trusted over pre-Miocene units. The Lower Miocene aged Zebil formation cropping out in the northwest of the region consists of conglomerate-marl alternation and overlies the older units with an angular unconformity.

In the study area where fracture tectonic rather than folding tectonic is effective, block faulted, overthrusted and overturned structures are seen. Of the generally NW-SE trending tectonic lines, the Attepe, Kızıl and Kartalkaya faults are the important ones from mineralization point of view. In the study area where large-scaled folding struc-

tures usually are not seen, mostly intraformational small-scaled folding structures are observed.

On the basis of geologic, petrographic and geochemical studies, the presence of pyrite and hematite occurrences, siderite and hematite veins and karstic ore deposits derived from siderite and hematite veins, all being different from each other in depositional form and time of genesis, was determined and three-phase formation of ore deposition was established.

Pyrite and hematite occurrences present in the Inf-Cambrian aged Sicimindagi formation were formed through chemical precipitation under marine environmental conditions. Pyrite occurrences observed in the bituminous schists, phyllites and shales crop out only in the southeastern part of the Attepe deposit and display typical sedimentary structures. Hematites which are more commonly seen than pyrites occur in metaquartzites and display laminated and banded structures.

In the study area which is the second large mineable iron province of Turkey, Attepe, Kizil and Magaradere are important and presently mined iron deposits. The primary carbonate and oxide ores, such as siderite, ankerite and hematite, which can be found in almost all units other than Miocene aged over, are in the form of tectonically controlled veins, lenses and irregularly shaped masses. The main mineralizations having economic values occur either completely in the joints of the calcareous rocks or in their tectonic contacts with the pellitic rocks. The formation of mineralized solutions from which the hypogen-epigenetic mineralization was originated is probably related to a granitic intrusion which was effective in depths of the study area during Paleocene-Early Eocene, and locally increased geothermal gradient. The mineralized solutions enriched in iron and other cations were formed as results of the reactions between the mixture of shallow and deep moving ground water and pore water, warmed in connection with the increased geotermic gradient and solu-

tions containing magmatic water, and Infa-Cambrian aged sedimentary pyrite and hematite occurrences, part of it exposed in the study area. The age of the primary mineralization is Paleocene-Early Eocene. With emergence of the area, during karstification which became effective from the beginning of Tertiary, the primary ores consisting of siderite-ankerite and hematite became limonitized and important amount of these were transported in the form of colloidal solutions or sand-block sized detritic material into the intradepositional endokarstic cavities where they formed typical structures of karstic sedimentation such as stalactites, stalagmites, crusty and kidney shaped colloform structures, banded and layered structures. Dominant components of the secondary iron ores formed here are goethite, lepidocrocite, hidrohematite and other materials. In lesser amounts, other ore components such as siderite, ankerite, hematite, magnetite, pyrite, tetrahedrite, chalcopyrite, marcasite, malachite, azurite and cinnabar, and gangue minerals such as calcite, quartz, barite, dolomite and aragonite can be observed.

According to the geochemical analysis, siderites being the most important primary ore minerals contain % 40.03 Fe, % 5.30 SiO₂, limonites being the secondary ore component contain %55.40 Fe and % 6.70 SiO₂. In the trace element analysis it is worked out that siderites contain Zn below 2ppm, Ni below 1ppm and in trace amount Pb, Co and Cr. On the other hand it is observed that in the hydrothermal pyrite samples Cu, Se, Hg, Sb and Co concentrations are higher and Ni concentrations are lower than those of the sedimentary pyrite.

TEŞEKKÜR

Selçuk Üniversitesi Fen Bilimleri Enstitüsü doktora programı çerçevesinde yürütülen bu çalışmada, kıymetli bilgi ve tecrübeleriyle beni baştan sona kadar destekleyen ve yardımcılarını esirgemeyen danışman hocam sayın Doç. Dr. Ahmet Ayhan'a en içten teşekkürlerimi sunarım.

Tez kapsamında yapmış olduğum araştırma ve inceleme-lerim sırasında yakın ilgi ve destegini gördüğüm S.Ü. Mühendislik-Mimarlık Fakültesi Jeoloji Mühendisliği Bölümü Öğretim elemanlarından sayın Prof. Dr. Fikret Kurtman'a, Doç. Dr. Halil Baş'a, Prof. Dr. ihsan Seymen'e, Doç. Dr. Füsun Alkaya'ya, Yrd. Doç. Dr. Sedat Temur'a, Yrd. Doç. Dr. Muazzez Çelik'e, Yrd. Doç. Dr. Hükmü Orhan'a ve Yrd. Doç. Dr. Muzaffer Karadag'a; Ziraat Fakültesi Öğretim elemanlarından Yrd. Doç. Dr. Kazım Kara'ya; özellikle Laboratuvar çalışmalarında engin hoşgörüleriyile bana büyük kolaylık sağlayan O.D.T.Ü. Mühendislik Fakültesi Jeoloji Mühendisliği Bölümü öğretim elemanlarından sayın Prof. Dr. Ayhan Erler'e, Doç. Dr. Nilgün Güleç'e ve Öğretim Görevlisi Ender Atabey'e; parlatma kesitlerinin yapılması ve incelenmesi konusunda katkılarıyla bizi destekleyen MTA Maden Etüd Dairesi'nden sayın Dr. Ahmet Çağatay'a, Dr. İbrahim Çopuroğlu'na ve Jeoloji Yüksek Mühendisi Israfil Kayabali'na, tez çalışmalarımın başlangıç aşamasında inceleme alanı ile ilgili ön bilgileri bana veren aynı dairenin kıymetli elemanları, sayın jeoloji Yüksek Mühendisi Erhan Önder'e, Jeoloji Yüksek Mühendisi Levent Bakırdağ'a ve Jeoloji Yüksek Mühendisi Cabbar Dağlıoğlu'na, paleontolojik incelemelerde yardımcı olan MTA Jeoloji Dairesi'nden Jeoloji Yüksek Mühendisi Şükrü Acar'a teşekkürlerimi bir borç bilirim.

Jeokimyasal incelemeler kapsamında yürütülen mikro-prop çalışmalarında yakın destegini gördüğümüz Heidelberg Üniversitesi (Almanya) Mineraloji - Petrografi Enstitüsün'den Doktorant Yurdal Genç'e ve Enstitü direktörü

Prof. Dr. Amstutz'a şükranlarımı sunarım.

Ayrıca saha çalışmaları sırasında kalacak yer temini ve bazı cevher örneklerinin analizleri konusunda bana başından sonuna kadar yardımcı olan TDÇİ Genel Müdürlüğü'nün saygıdeğer elemanları, Maden İsl. Md. Eyüp Çelik'e, Ham. Ted. ve Dağ. Md. sayın Mustafa Yeniçeri'ye; Ham. İsl. ve Ted. D. Bşk. sayın Yücel Tüzmen'e, Tez çalışmalarımı proje olarak destekleyen S.Ü. Fen Bilimleri Enstitüsü araştırma Fonu yönetim kurulu üyeleri ile Enstitü Müdürü sayın Prof. Dr. Cenap Tekinşen'e teşekkürlerimi arzederim.

Tez yazımı sırasında imkanları ölçüünde bana yardımcı olan araştırma görevlisi değerli arkadaşlarımı ve yazım işlerini yürüten Ziraat Mühendisi Mehmet Karadag'a en içten sevgi ve saygılarımı sunarım.

1. GİRİŞ

1.1. Amaç, Materyal ve Metod

Bu çalışma ile, Attepe (Mansurlu-Feke) yöresinde yüzeyleyen birimlerin genel jeolojisi, stratigrafisi ve tektoniği; bölgede yeralan demir yatak ve zuhurlarının yataklanma şekilleri, cevherlerin mineralojik, petrografik ve jeokimyasal özellikleri ile oluşum mekanizmaları ve metal gelim kaynaklarının belirlenmesi, yakın çevrede yeralan diğer cevherleşmelerle ilişkilerinin araştırılması ve tüm bu incelemeler sonucu elde edilen verilerin ışığı altında, Attepe demir yataklarının kökeninin aydınlatılması amaçlanmıştır. Bu amaç doğrultusunda yapılan saha çalışmaları sırasında öncelikle 146 km²'lik bir alanı kapsayan inceleme alanının 1:25000 ölçekli ayrıntılı jeoloji haritası yapılmış ve bu bölgeye ait stratigrafik sütun kesiti çıkarılmıştır. Aynı zamanda bu çalışmalara paralel olarak paleontolojik, petrografik ve jeokimyasal incelemelere yönelik yeterli sayıda numune derlenmiş, bu numuneler daha sonra ilgili laboratuvar çalışmalarıyla detaylı bir şekilde ele alınarak değerlendirilmiştir.

Laboratuvara yapılan çalışmalar sırasında paleontolojik incelemeler için 40 adet kayaç numunesinin incekesiti, petrografik incelemeler için 150 adet kayaç ve 60 adet cevher numunesinin incekesiti ile 50 adet cevher numunesinin parlak kesiti yapılmıştır. Jeokimyasal incelemelerle ilgili olarak 19 adet siderit ve 27 adet ikincil cevher örneği ile 43 adet sülfidli mineral örneginin kimyasal ve bunlardan bazlarının da mineralojik analizleri yapılmıştır.

Sideritlerin kimyasal analizleri kolorimetrik spektrofotometre ve atomik absorbsiyon spektrofotometre ci-hazında; ikincil cevher örneklerinin komple kimyasal ana-

lizleri, Karabük Demir Çelik işletmeleri laboratuvarlarında; sülfidli minerallerin kimyasal analizleri ARL Seme-Semq. Molibden tipi mikroprop cihazında, bütün mineralojik analizler ise, X-Ray difraktometre cihazında gerçekleştirılmıştır.

Analiz çalışmaları sonucunda elde edilen veriler, çeşitli istatistikî yöntemler ile ele alınarak yorumlanmış, benzer yataklardan elde edilen sonuçlarla da karşılaştırılarak köken probleminin aydınlatılmasında kullanılmıştır.

1.2. Önceki Çalışmalar

Inceleme alanında bugüne kadar yapılan çalışmaları, genel jeoloji ve maden yatakları açısından iki bölüm halinde ele almak mümkündür.

Bölgедe ilk olarak Tschihatschef(1869) tarafından başlatılan jeolojik incelemeler, daha sonra Philippson (1919), Blumenthal (1944), Abdüsselamoglu (1958), Demirtaşlı (1967), Özgül ve dig., (1972,1973), Tekeli (1980), Tekeli ve Eller(1980), Metin ve dig., (1982), Ayhan (1983), Metin (1984), Tutkun (1984), Ayhan(1988), Tekeli ve dig., (1988) tarafından devam ettirilmiştir.

Çalışma alanı ve yakın çevresi ile ilgili ilk ayrıntılı jeolojik çalışmalar, Blumenthal (1944) tarafından yürütülmüştür.. Daha sonra, Abdüsselamoglu (1958) tarafından yapılan benzer nitelikli çalışmalarда, fosil toplulukları esas alınarak birimler ayırtlanmış ve buna göre bölgenin 1:100000 ölçekli jeoloji haritası hazırlanmıştır.

Aladaglar yöreninin yapısal evrimini inceleyen (Tekeli, 1980), bölgедeki ofiyolitik kayaçların Maestrichten'de kita kenarına yerlestigini kabul etmiştir. Aladag ofiyolit dizisi şeklinde tanımlanan bu kayaçlar

îçerisindeki diyabaz daykalarının kökeni, Tekeli ve Erler (1980) tarafından ele alınarak, diyabazların toleyitik karakterli oldukları ve okyanusal bir havzada ofiyolitik dizinin oluşumu sırasında sokulum yaptıkları belirlenmiştir.

Mansurlu (Feke-Adana) yöresinde araştırma yapan Ayhan (1983), İnfraCambriyen, Alt-Orta Cambriyen ve Üst Cambriyen-Ordovisiyen yaşlı birimleri, Kambro-Ordovisiyen şeklinde tek bir başlık altında ele almıştır. Aynı yazar tarafından 1988 yılında yayınlanan 1:100000 ölçekli jeoloji haritasında, bu tezde Mesozoyik yaşlı olarak belirlenen metakonglomeraların, Cambriyen yaşlı kayaçlarla birlikte haritalandığı görülmektedir.

Mansurlu yöresi demir yataklarında, Lucius(1927) ile başlayan ilk prospeksiyon çalışmaları, daha sonra 1966-1979 yılları arasında MTA ekipleri tarafından yürütülmüştür.

Bu çalışmalarla ilgili ilk bilimsel yayın, Henden ve Önder (1980) tarafından gerçekleştirilmiştir. Sözkonusu çalışmada cevherleşmenin, derinde gömülü bir plüton ile ilişkili olduğu, metal gelim kaynagının ise, bölgede henüz yüzeylemediği düşünülen, Prekambriyen yaşlı sedimanter kökenli demirler olabileceği belirtilmektedir.

Küpeli(1986), cevherleşmeyi sağlayan çözeltilerin, derinlere doğru sızulerek jeotermik gradyana bağlı olarak ısnan asidik karakterli yüzey suları olduğunu kabul etmektedir. Derinde ısnan bu suların, tektonik hatlar boyunca tekrar yukarılara doğru yükselmesi sırasında, derinlerde yer alan İnfraCambriyen yaşlı demir oluşukları ile reaksiyona girerek demirce zengin hidrotermal çözeltileri oluşturduğunu vurgulamaktadır.

Türkiye'nin en önemli demir kuşağına ait dokuz demir yatağını inceleyen Ünlü ve Stendal (1986), Adana (Feke - Mansurlu) yöresi yatakları için Attepe demir yatağını tip yatak olarak seçmişler ve jeokimyasal verileredayanarak yatağın Paleozoyik yaşlı kayaçlar içerisinde sin-

sedimanter ortam şartlarında oluştugunu belirtmişlerdir.

Öncel(1989), bölgede bulunan demir yataklarının kökeni konusunda, Küpeli(1986) tarafından savunulan görüşleri paylaşmaktadır.

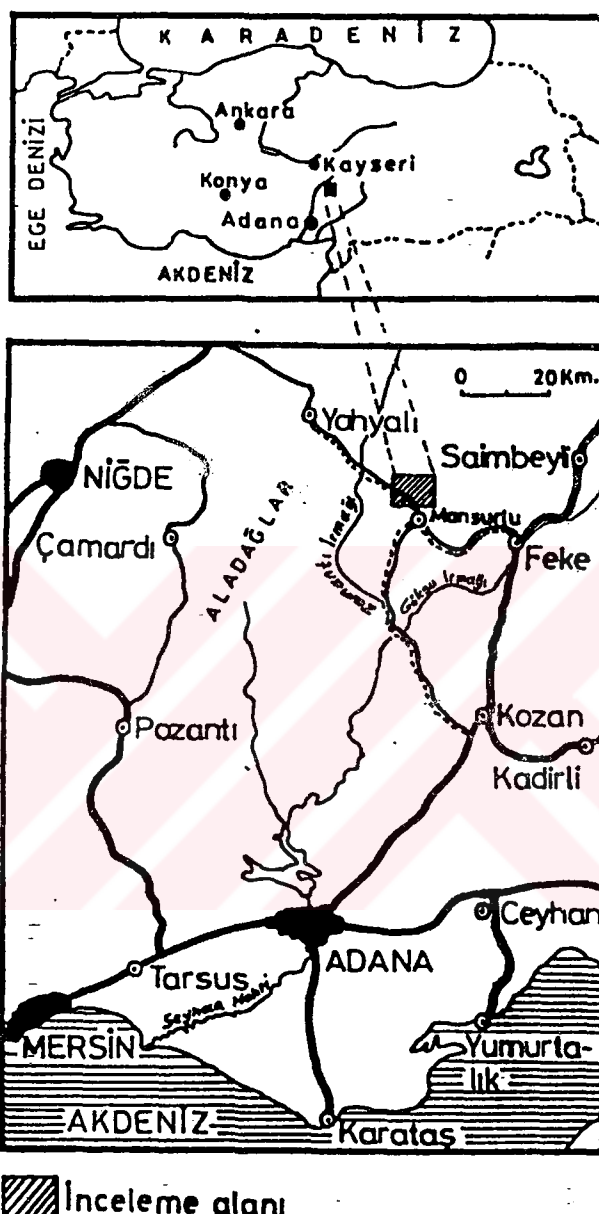
1.3. Coğrafi Durum

Adana ile Kayseri il sınırları yer alan çalışma alanı 1:25000 ölçekli KOZAN M 35 a₁, a₂ ve KAYSERİ L35 d₃, d₄ paftaları içerisinde kalan 146 km² lik bir kesimi kapsamaktadır(Şekill 1.1).

Yörede, yoğun tektonik hareketler ve hızlı aşınma şartlarının oluşturduğu, oldukça engebeli genç bir morfoloji izlenmektedir. Yüksekliği, 2000 m'ının üzerinde tepler, genellikle KD-GB yönünde uzanan yüksek sırt silsileri ve bunların arasında yer alan derin vadiler görülür. 2451 m yüksekliğe sahip olan Küçüktahtafırlatan Tepe, inceleme alanının en önemli yükseltisidir. Buna karşılık 1000 m. kotundaki Çağşak ve Oruçlu dere yatakları ise, yörenin en alçak kesimlerini oluşturmaktadırlar. Bölgedeki diğer önemli yükseltiler, doğudan batıya doğru şu şekilde sıralanabilir; Tavşankırı T. (2215 m.), Çaldağı (2157 m.), Domuztümsegı T. (2008 m.), Sicimindağı (2259 m.), Attepe (2012 m.), Elmadağı (2089 m.), Karaçat T. (2007 m.), Magarabeli T. (2118 m.), Karakızoluğu T. (2097 m.), Hacet T. (1966 m.), Ineksığmaz T. (1987 m.), Katrançukuru T. (51836 m) ve Ovacık T. (1913 m.).

Akdeniz Bölgesi'nin kuzey kesiminde yer alan inceleme alanında, yarı karasal iklim şartları hüküm sürmektedir. Yörenin yüksek kesimleri nisan ayı sonlarına kadar karlarla kaplı olduğundan çalışma mevsimi, Mayıs ayı ortalarında başlamakta ve Kasım ayına kadar devam etmektedir.

Bitki örtüsü bakımından fakir olan bölgenin güney



Inceleme alanı

Şekil 1.1. İnceleme alanının yerbulduru haritası.

kesimlerinde seyrek sedir ağaçlarının oluşturduğu ormanlık alanlar görülür.

Yörede işletilen demir yataklarına bağlı olarak yaz aylarında canlılık kazanan saha içi ulaşım, kış aylarında yoğun kar yağışı sebebiyle tamamen durmaktadır.

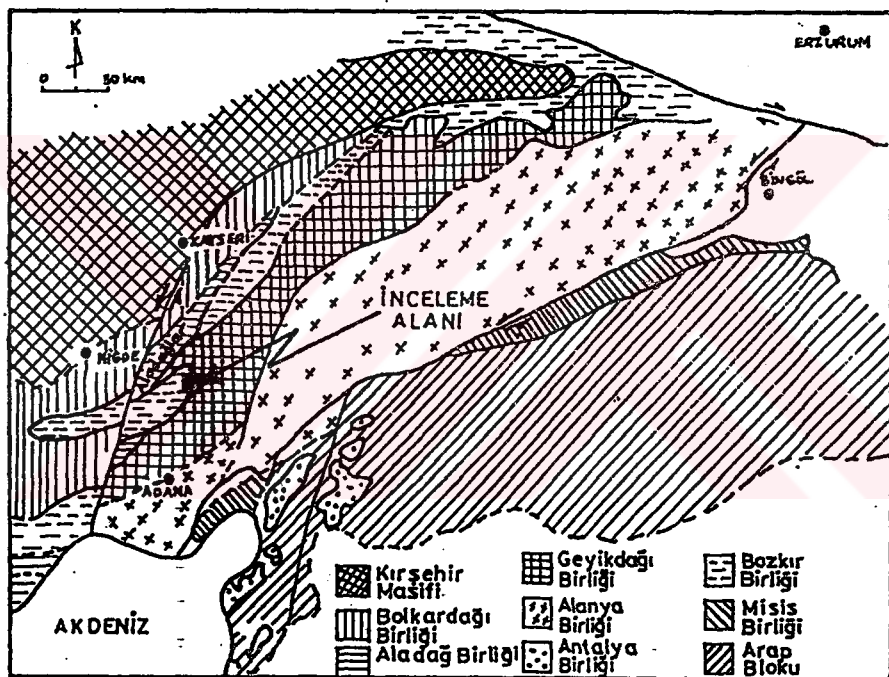
Çalışma bölgesi içerisinde Şahmuratlı, Çondu ve Oruçlu olmak üzere üç köy bulunur. Köyler arasındaki ulaşım patika yollarla sağlanırken bölgenin çevre il ve ilçelerle olan bağlantısı, Attepe-Dikme-Yahyalı; Attepe-Mansurlu-Kozan ve Attepe-Mansurlu-Feke üzerinden stabilize yollarla sağlanmaktadır.

Akarsu yönünden son derece zengin olan bölgede Kara Dere, Oruçlu Dere, Magara Dere, Menteş Dere ve Endere gibi önemli akarsular ile yüksek debili birçok kaynak bulunmaktadır. Zamantı Irmağı'nın kollarını oluşturan bu akarsular, doğudan gelen Göksu Irmağı ile de birleşerek Seyhan Nehri'ni meydana getirmektedirler.

2. GENEL JEOLOJİ

2.1. Stratigrafi

Inceleme alanı, Toridler (Ketin, 1966) tektonik birliği içerisinde yer almaktadır. Aladaglar'ın hemen doğusunda bulunan çalışma alanında Geyikdağı birligine ait otokton konumlu birimler ile Bozkır birligine ait allokton konumlu birimler yüzeylemektedir (Şekil 2.1).



Şekil 2.1. Doğu Toroslarda görülen tectonostratigrafik birlikler ve inceleme alanının konumu (Özgül, 1976).

Yörede bölgesel metamorfizmaya uğramış Geyikdağı birligine ait Prekambriyen Paleozoyik ve Mesozoyik yaşlı birimler ile sedimanter nitelikli Senozoyik yaşlı birimler otokton konumludurlar. Buna karşılık; Bozkır birligini temsil eden ofiyolitik kayaçlar ise, Geyikdağı birligine ait Miyosen öncesi birimler üzerine bindirmış

durumdadırlar (EK-1 ve 3). Ofiyolitik kayaçların Maestrichti-yen'de bölgeye yerlestiği kabul edilmektedir (Tekeli ve Erler, 1980).

İnceleme alanında yeralan otokton istifin en alt kesimini oluşturan, birbirleriyle uyumlu İnfraCambriyen ve Alt Paleozoyik yaşlı birimler; üç formasyona, her bir formasyon ise, ikişer üyeye ayrılmıştır. Bunlardan İnfraCambriyen yaşlı Sicimindagi formasyonu; Attepe ve Kandilcikdere olmak üzere iki üyeye ayrılır. Sicimindagi formasyonu üzerine Alt-Orta Cambriyen yaşlı Karaçattepe formasyonu gelir. Menteşdere ve Uyuzpinarı üyelerinden oluşan bu formasyonu, Elmadağı ve Eğrisögüdere üyelerini kapsayan Üst Cambriyen-Ordovisiyon yaşlı Kartalkaya formasyonu izlemektedir. Yörede Ordovisiyen'den Üst Permiyen'e kadar stratigrafik bir boşluk izlenirken, Üst Permiyen yaşlı Yıglitepe formasyonunun daha yaşlı birimler üzerine açılı bir uyumsuzlukla geldiği belirlenmiştir.

Prekambriyen ve Paleozoyik yaşlı sözkonusu birimler üzerine, muhtemelen Jura-Alt Kretase yaşlı Karakızolugu formasyonu açısal bir uyumsuzlukla gelmektedir.

Alpin hareketlere bağlı olarak bölgeye yerleşen allokton konumlu ofiyolitik kayaçlar, birbirleriyle tektonik ilişkili olan metamorfik dilim ve peridotit napından oluşmaktadır.

Tersiyer'e ait Miyosen yaşlı Zebil formasyonu, inceleme alanında yüzeyleyen daha yaşlı birimleri açısal bir uyumsuzlukla örter. İstifin en üst kesiminde ise, Kuvatnerler yaşlı alüvyon ve yamaç molozları yer almaktadır (EK-3).

2.1.1. Sicimindagi formasyonu (içs)

İnfraCambriyen yaşlı Sicimindagi formasyonu, Attepe ve Kandilcikdere olmak üzere iki üyeye ayrılmaktadır (EK-3). Formasyon ve üye adlamaları tipkesit yerleri dikkate alınarak Küpeli (1986) tarafından yapılmıştır..

2.1.1.1. Attepe Üyesi (Iesa)

Sicimindagi formasyonunun tabanını oluşturan Attepe üyesi, yer yer rekristalize kireçtaşı bant ve merceklerini kapsayan bitümlü şist, fillit ve şeyllerle temsil edilmektedir (Şekil 2.2.). Birbirleriyle sürekli ardalanın-

| SERİ | FORMASYON | ÜYE | SİNGE | İÇSK | TOPLAM KA LNLİK (m) | KALINLIK (m) | LITOLOJİ | AÇIKLAMALAR |
|----------------|-------------|--------|-------|------|------------------------|-----------------|----------|-------------|
| INFRAKAMBRIYEN | SİCİMİNDAĞI | ATTEPE | Iesa | | 80 | | | |
| | | | | | | 9 | | |
| | | | | | | 15 | | |
| | | | | | | 5 | | |
| | | | | | | 10 | | |
| | | | | | | 6 | | |
| | | | | | | 15 | | |
| | | | | | | 7 | | |
| | | | | | | 6 | | |
| | | | | | | 6 | | |

↑

Sedimanter kökenli pirit içeren, koyu gri-siyah renkli bitümlü şistler ile yer yer rekristalize kireçtaşı, bant ve merceklerini kapsayan açık renkli, seyrek şistotite düzlemleme sahip bitümlü fillitlerin ardalanması.

Bitümlü şist

Bitümlü fillit-şeyl

Şekil 2.2. Attepe üyesine ait ayrıntılı dikme kesit.

veya yanal ve düşey yönlü fasiyeler değişimleri gösteren bu birimler, esas olarak Attepe demir yatığının doğusunda yüzeylemektedir (EK-1). Bunun dışında inceleme alanının doğusunda, Oruçlu Köyü yakınlarında yer alan dere yataklarında da yer yer küçük ölçekli mostralara rastlanmaktadır. Üyenin tipkesit yeri, Attepe'nin 1 km güneybatısında, Attepe demir yatığının hemen bitişigindedir.

Üyeyi oluşturan bitümlü şist, fillit ve şeyller kap-

sadıkları organik madde miktarına bağlı olarak açık griden, siyaha kadar değişen çeşitli renk tonları sergilerler. Üyenin daha fazla organik madde kapsayan koyu gri siyah renkli bölgeleri, parlak ve yağlımsı görünüslüdür.

Organik madde kalıntılarının bir bölümü metamorfizma sonucu grafite dönüştür. Buna karşılık, daha az miktarda organik madde kapsayan, kısmen masif görünümlü kesimler, açık gri veya mavimsi gri renklidir. Birimin az metamorfik (fillit-şeyl) kesimlerinde, 5-20 cm kalınlığında tabakalanmalar ile paralel ve çapraz laminalanmalar ayırtedilebilir.

Attepe üyesi, organik madde yanısıra bol miktarda sedimanter kökenli pirit minerali ihtiva etmektedir. Yan kayaç içerisinde %8-10 arasında saçılımlı bir şekilde bulunan organik madde ve piritler, bazı kesimlerde % 70-80 oranında konsantre olarak laminalı ve tabakalı yapılar oluştururlar. Üyenin açık gri renkli fillit-şeyl seviyelerinde ince kireçtaş mercek, lamina ve tabakalarına rastlanır. Organik madde ile birlikte sedimanter kökenli pirit minerali de içeren bu kireçtaşları, yaklaşık 0,3 mm boyutunda mozayik dokulu kalsit kristallerinden oluşturmaktadır. Kristal sınırları boyunca yaygın olarak organik madde kalıntıları görülür. Bazen 0,5-1,5 mm boyutunda kalsit kristallerinin oluşturduğu, tabaka doğrultusuna paralel veya çapraz konumda gelişmiş 1-4 mm kalınlığında ikincil nitelikli kalsit damarları mevcuttur. Ayrıca sedimanter kökenli özçekilli pirit kristalleri ve bunlardan bir kısmının kenarlarına dik olarak büyümüş ikincil nitelikli, işinsal yapılı kalsit ve kuvars kristalleri yaygındır. Sözkonusu kireçtaşlarında kristal boyutları yer yer 2-3 mm ye kadar ulaşmaktadır. Bu kesimlerde kalsit kristallerinde basınç ikiz lamelliyle birlikte kısmen kristal sınırlarını takibeden basınç çözünmeleri sonucu ortaya çıkan stiolitik yapılar izlenir. Stiolitik yapıların büyük bir kısmı organik madde ve piritler tarafından dolgulanmıştır.

Gerek arazi gözlemleri, gerekse birime ait el örneklere üzerinde yapılan petrografik incelemeler sonucu, Attepe üyesinin az metamorfik kesimlerinde çeşitli sedimanter yapılar gözlenmiştir. Sözkonusu yapılar, uyumsuz lâminalar, yük kalıpları, iç sedimentasyon oluşukları, mikroçapraz laminalanmalar, jeopedal yapılar, plastik deformasyon yapıları ve diyajenetik çatlak dolguları şeklinde sıralanabilir. Bu yapıların büyük bir çoğunluğu, birim içerisinde yer alan piritlerle yakından ilgili olduklarından daha detaylı incelemeler, maden yatakları bölümünde verilecektir.

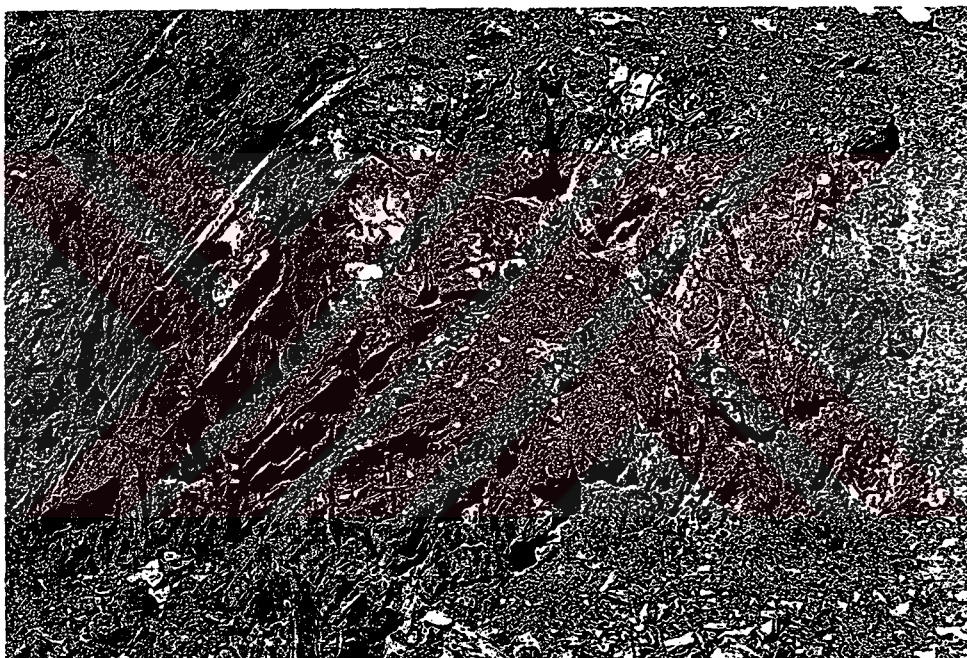
Inceleme alanında etkili olan tektonik haraketler sonucu kıvrımlı, kırıkçı ve kısmen de breşik bir yapı kazanan birimler, büyük ölçüde deforme olarak asimetrik bir antiklinal yapısı kazanmışlardır (Şekil 2.3). Bu hareketler sırasında ortaya çıkan tektonik hatların bir kısmına, daha sonra yöredeki demir cevherleşmeleri sırasında sideritler yerleşerek, birim içerisinde görülen epijenetik kökenli siderit damarlarının oluşumu sağlanmıştır.

Atmosferik şartlar altında, birimin çok ezikli breşik kesimleri gri renkli killere, birim içerisinde yer alan siderit ve piritlerin bir bölümü ise limonit ve götitlere dönüşmüştür.

Attepe üyesini oluşturan birimlerin başlıca bileşenleri çokluk sırasına göre; kuvars, pirit, organik maddeler, serisit, kalsit, klorit, feldispat (plajiklas) ve eser miktarda görülen turmalin kırıntılarıdır. Bunların yanısıra ikincil kuvars ve kalsit büyümeleri de yaygındır.

Kuvarslar, sistozite düzlemlerine uyumlu bir şekilde dizilmişdir. Genellikle 0,015 mm ile 0,08 mm boyutundadırlar. Ince taneli kuvarslarda sistozite düzlemlerine uyumlu belirgin bir yönlenme, daha kaba taneli kuvarslarda ise kısmi bir yönlenme ile birlikte yaygın kataklastik kırılımlar ve tane büyümeleri gözlenmektedir. Ikincil kuvarsların birçoğu karbonatça zengin kesimlerde

yeralan iri, özşekilli piritlerin kenarında ve genellikle şistozite düzlemlerini verev olarak kesen çatlak ve kayma yüzeyleri boyunca yer almaktadır. Bu kuvarslar, çoğu zaman diyajenez sırasında meydana gelen iç sedimantasyon olaylarıyla oluşmuş, özşekilli pirit ve ikincil kalsitlerle beraber bulunurlar. Kayacın dokusuna uyumlu olarak yerleşmiş olan 0,008 mm boyutundaki birincil kalsitler, şistozite yüzeylerine paralel bir dizilime sahiptir. Birimin karbonatça zengin kesimlerinde iri özşekilli piritler yaygındır. Ikincil kalsitler genellikle çatlak, kırık ve kayma zonlarında izlenirler.



Şekil 2.3. Tektonik hareketler sonucu, asimetrik kıvrım yapısı kazanan Attepe üyesine ait birimler (Ölçek antikinal çekirdeğinde bulunan çekic).

Küçük pulcuklar şeklinde izlenen serisitler, belirgin bir yönlenmeye sahip olup, daha çok şistozite düzlemleri boyunca görülürler. Serisitlerin yanısıra yer yer ince uzun muskovit kristallerine de rastlanmaktadır.

Yukarıda mineralojik bileşimi açıklanan birime, mineral kapsamı, yapı ve doku özellikleri dikkate alınarak "serisitli bitümlü kuvarssist" adı verilmiştir. Birimin

daha az metamorfik kesimleri de yaklaşık olarak aynı mineralojik bileşime sahip olup, "kloritli bitümlü kuvars fillit veya - seyl" özelligi taşımaktadır.

İnceleme alanı ve yakın çevresinde ait dokanlığı ile yanal yöndeki devamlılığı izlenemeyen 80 m kalınlığındaki üyenin üst sınırı, Kandilcikdere üyesine tedrici geçişlidir (EK-3). Kandilcikdere üyesi ile yanal yönde de tedrici geçişli olduğu tahmin edilen birimin, pirit ve organik madde muhtevasına göre indirgen bir ortamda çökeldiği anlaşılmaktadır.

Attepe üyesi, Türkiye'nin bilinen en yaşlı bitümlü sist birimidir. Bugüne kadar incelenmiş olan Kambriyen yaşlı birimlerin altında ilk defa bu inceleme sonucu belirlenmiştir. Bu sebeple lito ve kronostratigrafik bir denetirme yapılamamaktadır. İçerisinde fosil bulunamayan bu üyenin yaşı, Alt-Orta Kambriyen yaşlı Karaçattepe formasyonunun altına uyumlu bir şekilde gelen Sicimindagi formasyonuna ait Kandilcikdere üyesiyle birlikte İnfra-kambriyen olarak kabul edilmiştir.

2.1.1.2. Kandilcikdere üyesi (iEsk)

İnceleme alanında yüzeyleyen en yaygın birimlerden biri olan Kandilcikdere üyesi, yer yer rekristalize kireçtaşı ve dolomit merceklerini içeren metakumtaşı, metakuvarsit, fillit ve şistlerle temsil edilmektedir. Birimin içerisindeki hakim litolojiyi metakumtaşlarıyla birlikte metakuvarsitler oluşturmaktadır (EK-1 ve 3).

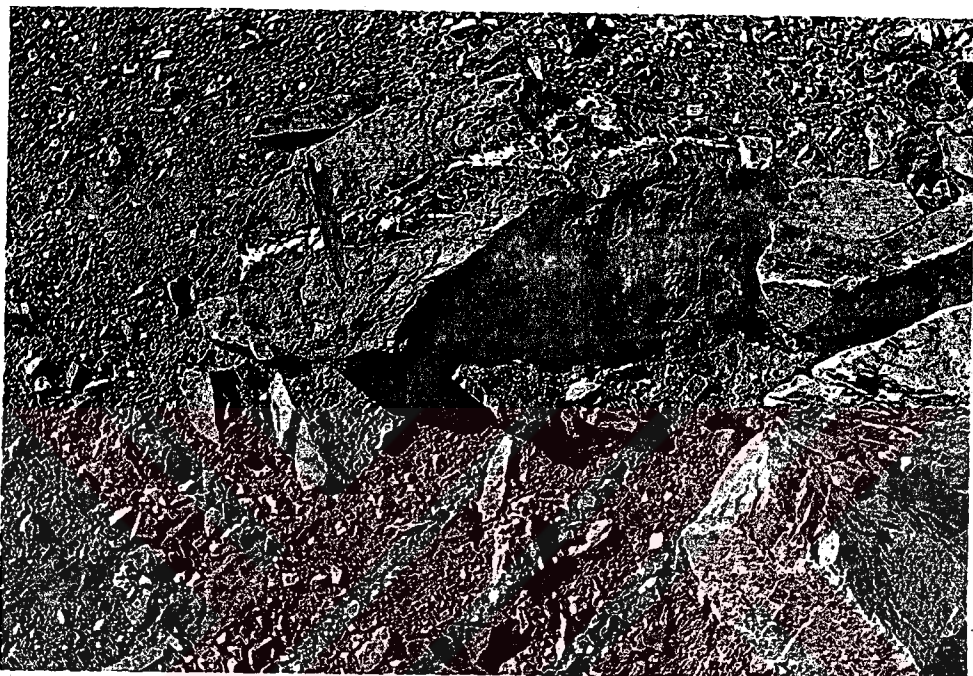
İnceleme alanının doğu ve güney kesimlerinde yaygın olarak izlenen Kandilcikdere üyesi, birbirinden yaklaşık 6 km uzaklıkta bulunan iki ayrı kesit hattında incelenmiştir. Bunlardan birincisi; Attepe demir yatağının doğusundan başlayarak kuzeydoğuya doğru Sicimindagi zirvesine kadar uzanmakta, digeri ise Oruçlu Köyü'nün 3,5 km kuzeybatısında yer alan Kılıçkaya'nın eteklerinden başlayarak kuzeydogu yönünde zirveye kadar devam etmektedir. Sözkonusu kesit hatlarında izlenen istifler arasındaki en önemli fark, Kılıçkaya yöresinde ölçülen

istifin en üst kesiminde 200 m. kalınlığa ulaşan metakumvarsitlerin varlığıdır. Sicimindagi'nda gözlenemeyen bu seviye, inceleme alanının diğer kesimlerinde de tam olarak yüzeylememiştir. Ancak, Kılıçkaya yöresinde bu birimler alttan üste doğru ayrıntılı bir şekilde incelenmektedir. Üyeye ait litostratigrafik özellikler, genelleştirilmiş dikme kesit üzerinde, her iki kesit yeri ve inceleme alanının diğer kesimlerinden elde edilen veriler dikkate alınarak açıklanmıştır (EK-3).

Buna göre istif tabanda yeşil veya sarımsı yeşil renkli kloritli kuvarssistlerle başlamaktadır. Belirgin şistozite düzlemlerine sahip olan bu şistler, oldukça kıvrımlı ve kırıkçı bir yapı sunmaktadır. Kırıkların birçogunda 1-15 cm arasında kalınlıklara sahip spekularitli sütkuvars damar dolguları izlenmektedir. Ayrıca, inceleme alanının doğu kesimlerinde aynı birimler içerisinde seyrek olarak spekularitli manyetit damarları gözlenmektedir. %55-60 kuvars, %5-6 klorit, % 3-4 oranında serisit ve muskovit ile % 30 oranında da kıl boyutunda eleman içeren birimin ortalamama tane boyu 0,05 mm. kadardır. Serisit, muskovit ve kloritler çoğulukla şistozite yüzeylerine paralel bir şekilde dizilmişlerdir.

Üye içerisinde yer alan şistlerin önemli bir bölümünü oluşturan kloritli kuvarssistler, üste doğru tedrici olarak yeşil veya mavimsi yeşil renkli, sert morfolojili, orta (15-20 cm)-kalın (30-60 cm) tabakalı metakumtaşlarına geçer. Yer yer oygu-dolgu ve yük kalibi yapıları ile paralel ve çapraz laminalanma yapıları gösteren birim, tektonik hareketlerden önemli ölçüde etkilenecek iri bloklar şeklinde parçalanmıştır. Bir kısmı açık olan çatlak ve kırıkların büyük bir bölümünü spekularitli sütkuvarslar dolgulamıştır (Şekil 2.4). Yer yer özşekilli pirit psöydömorfolarını da kapsayan birim, inceleme alanının doğu kesimlerinde Oruçlu Köyü yakınında 1-3 cm kalınlığında ince damar tipi piritli manyetit cevherleşmelerini kapsamaktadır. Yine aynı birimler içerisinde Attepe ve Kandilcık Tepe doğusunda koyu yeşil

renkli, oldukça sert masif görünümülü iri bloklar şeklinde parçalanmış damar kayaçlarına rastlanmıştır. Yüzeyde mercekçi veya elipsoidal kesitler veren sözkonusu kayaçların % 55 plajiklas, % 30 amfibol, % 14 epidot ve % 1 oranında opak mineral içeren düşük dereceli metamorfizma geçirmiş metabazit daykları olduğu belirlenmiştir.



Şekil 2.4. Kandilcik Tepe doğusunda, Kandilcik-dere üyesine ait mavimsi yeşil renkli metakumtaşlarında spekülaritli sütkuvars damarı.

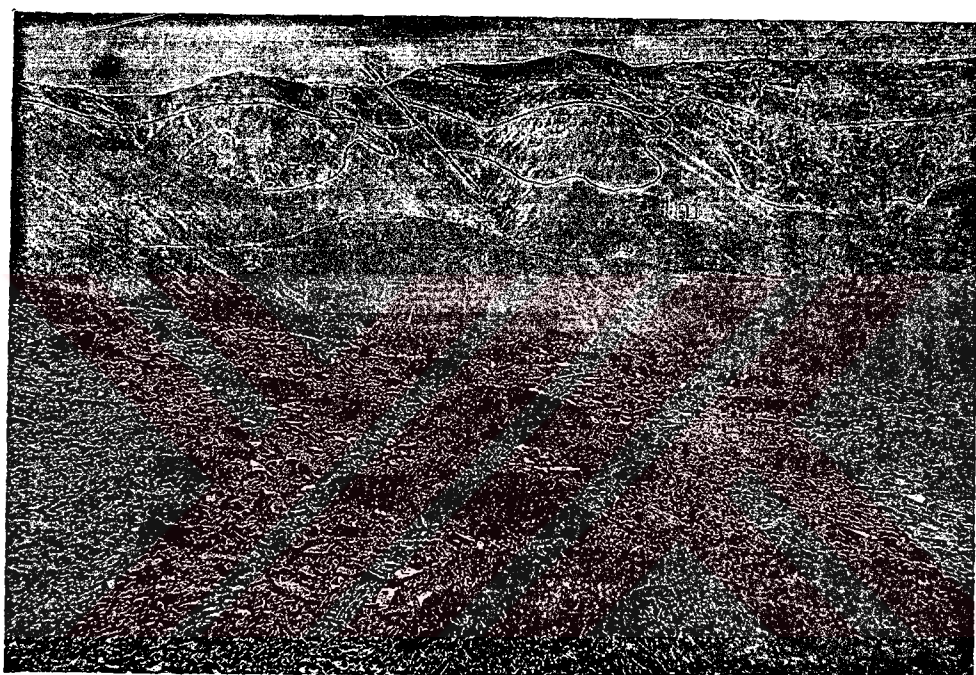
% 65 kuvars, % 10 plajiklas, % 4 opak mineral, % 4 muskovit ile yer yer 0,09 mm boyutunda serisit ve klorit mineralleri kapsayan % 16 oranında matrikse sahip metakumtaşlarında ortalama tane boyu 0,7 mm civarındadır. Boylanma ve yuvarlaklığın kötü olduğu birimde kuvarslar; genellikle köşeli, düzensiz sınırlı, dokanak yapan taneler birbirleriyle kenetlenmeli ve dalgalı sönmelidirler. Bazı kuvars tanelerinde kataklastik kırılımlar görülür. Feldispatlar, yarı özçekilli polisentetik ikizli plajiklaslardır. Opak mineraller özçekilli, veya yarı özçekilli kısmen veya tamamen limonite dönüşmüş piritlerdir. Genellikle granoblastik veya porfiroblastik dokulu olan birim,

Dott'a (1964) göre feldispatlı vake bileşimindedir. Kuvarsların dalgalı sönmesi, sınırlarının girift oluşu, bazilarının kataklastik kırılıma ugrayarak milonitik bir doku kazanmış olması ve kayaç bileşenlerinde gözlenen kısmi yönlenmeler, yörede etkili olan düşük dereceli bir metamorfizmaya işaret etmektedir. Sözkonusu kumtaşları, metamorfizma süreçleriyle ilksel dokusunu tamamen kaybetmeyecek şekilde başkalaşma ugrayarak metakumtaşı özelliğini kazanmışlardır. Sicimindagi'nda aynı seviyenin kısmen şistî yapılı bölgülerinden alınan örneklerde % 80 kuvars, % 2 opak mineral ve % 18 oranında matriks tespit edilmiştir. Kuvars vake (Dott, 1964) bileşimli metakumtaşı özelliğini gösteren bu bölgelerde yukarıda bahsedilen metamorfizma etkileri daha açık bir şekilde gözlenmektedir. Kılıçkaya'da bu birimlere karşılık gelen seviyelerden alınan örneklerde % 45 serisit, % 40 kuvars, % 5 muskovit, % 5 plajiolas ve % 5 oranında da opak mineral belirlenmiştir. Bazen, bu örnekler içerisinde birbirleriyle ardalanmalı kuvars ve serisitce zengin mikro seviyeler ayırtedilmektedir. Mikali kuvars-filit özelliği gösteren bu kesimler, bazı incekesitlerde metakumtaşlarıyla iç içe bulunmaktadır. Genelleştirilmiş dikme kesitte metakumtaşı şeklinde gösterilen feldispatlı vake ağırlıklı bu seviye, üste doğru tedrici olarak yeşil renkli, serisitli kuvarsfillitlere geçiş göstermektedir. Alterasyon yüzeyleri boyunca kahverenkli olan birim, yer yer aşırı derecede kıvrımlanmıştır. Bazı kıvrım eksenleri boyunca yoğun kırıkmalar sonucunda gelişen bresik zonlarda, 1-5 cm kalınlığında spekülaritli sütkuvars damarlari görülür. Bu fillitler; % 40 kuvars, % 35 serisit, % 4 klorit, % 4 muskovit, % 5 opak mineral ve % 12 oranında kil boyutunda malzeme içermektedirler. Bunlarda, kuvarslar düzensiz sınırlı, serisitler pulsu, muskovitler ise ince uzun kristaller şeklinde olup, bileşenlerde kısmi bir yönlenme izlenmektedir. Kayaca mineralojik bileşimi, yapı ve dokusu dikigate alınarak "serisitli kuvarsfillit" adı verilmiştir. Fil-

litler üste doğru tedrici olarak pembemsi mor renkli, orta-kalın tabakalı, tabaka içi paralel, çapraz ve konvülüt laminalanma yapıları gösteren kuvars vakelere geçmektedir. Deformasyonlara karşı gevrek davranan birim içerisinde çogunlukla sütkuvars tarafından dolgulanmış olan düzgün eklem sistemleri gelişmiştir. Kayaç; % 60-65 kuvars, % 5 muskovit, % 30-35 oranında da matriks içermektedir. Matriks içerisinde az da olsa serisit ve klorit minerallerine rastlanmaktadır. İnce-orta kum boyutunda tanelere sahip olan birimde boyanma ve yuvarlaşma kötüdür. Kuvars taneleri, genellikle matriks içerisinde yüzmektedir. Tane sınırları kısmen düzgün ve hafif dalgallı sönme gösteren kuvarların bir kısmı katlastik kırılımlıdır. Muscovitler ise ince uzun kristaller şeklindedir. Porfiroblastik dokulu kayaç, Dott'a (1964) göre "kuvars vake" olarak isimlendirilmiştir. Düşük dereceli bir bölgesel metamorfizma etkisinde kaldığı anlaşılan bu birimler, üste doğru özellikleri daha önce anlatılmış olan feldispatlı vake bileşimli yeşil renkli metakumtaşları ile ardalanmaktadır.

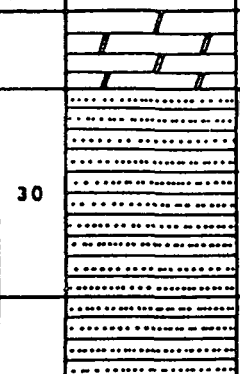
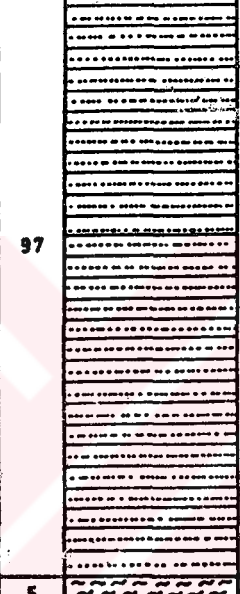
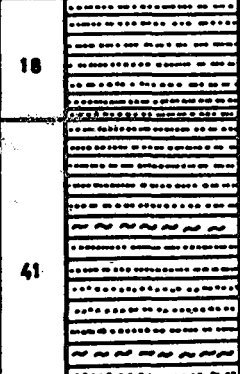
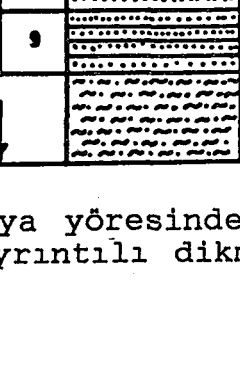
Genelleştirilmiş dikme kesitte kuvars vake ve feldispatlı vake bileşimli metakumtaşlarının ardalanmasından sonra tedrici olarak açık pembe veya yeşilimsi sarı renkli, iri bloklar şeklinde parçalanmış kuvarslı serisitşistlere geçilmektedir. Çatlak ve kırıkları boyunca yaygın olarak hematit ve götit dolguları içeren birimin breşik yapılı fay zonlarında yankayaç agırlıklı küçük cevher zuhurları ortaya çıkmıştır. Bu tür zuhurların yakın çevresi oksidasyon sürecinin etkisi ile limonitlerle kırmızımsı pas rengine boyanmıştır. Kayaçta % 60 serisit, % 30 kuvars, % 6 opak mineral ve % 4 oranında muscovit bulunmaktadır. Ayrıca, incekesitlerde sık sık hematit ve götit gibi demir cevher minerallerini kapsayan ince kılcal kuvars damarları görülmektedir. Kuvarslı serisitşistler üst kesimlerde özellikleri daha önce verilen serisitli kuvarsfillitlerle ardalanmalıdır. Kuvarsfillitlerle sona eren bu ardalanmalı bölüm, pembemsi mor

renkli kuvars vakelere geçiş yapmaktadır. İstifin en üst kesiminde ise metakuvarsitler yer almaktadır (Şekil 2.5). Yanal yönde yer yer incelip kalınlaşan veya tamamen merceklenebilen metakuvarsitler, bu sebeple inceleme alanının her yerinde görülmeler. Başlıca yüzeylemeleri Şahmuratlı Köyü, Magarabeli, Domuztümsegisi, Kızıltapur, Küçüktahtafırlatan, Karakızoluğu ve Cilbeher Tepeleri ile Ayıdeliği, Kaynarpinar, Endere ve Cinni Dere mevkileri ve / veya yakın çevrelerindedir.



Şekil - 2.5. Kılıçkaya yöresinde İnfraCambriyen (Inf.) ve Alt Paleozoyik (A.P.) yaşlı birimlerin oluşturduğu istifte Kandilcikdere üyesine ait metakuvarsitlerin (Qzt) görünümü.

Kılıçkaya yöresinde metakuvarsitler, yeşilimsi sarı renkli, yer yer metakuvarsit mercekleri içeren serisitli kuvarşistler üzerine tedrici geçişli olarak gelirler (Şekil 2.6). Tabanda yeşil renkli, kalın tabakalı metakumtaşlarıyla başlayan bu birimler, üste doğru yeşilimsi beyaz renkli, ince (7cm)-orta (20 cm) tabakalı oldukça sert metakuvarsitlere tedrici geçişlidirler. Birim içerisinde yer yer 1 m kalınlığa ulaşan, koyu yeşil

| SİSTEM | FORMAS-YON | ÜYE | SEMBOL | TOPLAM KALINLIK (m) | KALINLIK (m) | LITOLOJİ | AÇIKLAMALAR |
|----------------|-------------|---------------|--------|---------------------|--------------|---|---|
| İNFRAKAMBRIYEN | SİCİMİNDAĞI | KANDİLCİKDERE | İçsk | 200 | 30 |  | Kahverenkli, orta-kalın tabakalı, yer yer ankeritleşmiş ve rekriteralizasyona uğramış kireçli dolomitler. |
| | | | | | 97 |  | Pembe ve mor renkli, ince-orta tabakalı, oldukça sert, bol çatlaklı ve kırıklı, birbirleriyle yanal ve döşey yönü tedrici geçişli metakuvarsitler. |
| | | | | | 5 |  | Birbirlerine sürekli olarak yanal ve döşey yönlerde tedrici geçişler yapan, koyu yeşil, gri, pembe ve mor renkli, orta-kalın tabakalı, oldukça sert, çok çatlaklı ve kırıklı metakuvarsitler. |
| | | | | | 18 |  | Koyu yeşil renkli, sık şistozite düzlemlerine sahip kloritli kuvarsfiller |
| | | | | | 41 |  | Üstte doğru pembe renkli metakuvarsit mercek ve seviyeleri içeren gri renkli, kalın tabakalı metakuvarsitler. |
| | | | | | 9 | | Yer yer koyu yeşil renkli, yumuşak, hafif şist yapılı serisitli kuvarsfillit seviyelerini kapsayan, yeşilimsi beyaz renkli, ince-orta tabakalı, oldukça sert metakuvarsitler. |
| | | | | | | | Yeşilimsi san renkli, yer yer metakuvarsit merceklerini ihtiva eden serisitli kuvarssitler |

Tüm brümier, 1-10 mm arasında kalınlık sunan, tabaka içi paralel, çapraz ve konvolut laminationa yapıları ile 5-10 cm kalınlığında tabakalar şeklinde, hematit bileyimli silsedimentler kokerli demir mineralleri ve spesifik sotkuvars damarları içert.

Şekil 2.6. Kılıçkaya yöresinde Kandilcikdere üyesine ait metakuvarsit istifinin ayrıntılı dikme kesiti.

renkli, yumuşak, kloritli kuvarsfillit seviyeleri geçilmektedir. Metakumtaşlarıyla başlayan fillit 'ara seviyeli metakuvarsitler, üste doğru tedrici olarak gri renkli, kalın (30-70 cm) tabakalı metakuvarsitlere geçer. Daha üste doğru bu birim, pembe renkli metakuvarsit mercek ve seviyelerini içermektedir. Birbirlerine çok kısa mesafelerde yatay ve düşey yönlü tedrici geçişler yapan gri ve pembe renkli metakuvarsitlerden sonra, koyu yeşil renkli, hafif sistoziteli bol miktarda spekülaritli sütkuvars damarı içeren kloritli kuvarsfillit seviyesi geçilmektedir. Yanal devamlılığı fazla olmayan mercek geometrili bu seviyeden sonra birbirlerine sürekli olarak yanal ve düşey yönlerde tedrici geçiş yapan açık yeşil, gri, pembe ve mor renkli, ince (1-8 cm)-orta (15-25 cm)-kalın (30-100 cm) tabakalı metakuvarsitler gelmektedir. Metakuvarsit istifinin en üst kesiminde ise, mor renkli metakuvarsitler hakimdir.

Metakuvarsitlerin maden yatakları açısından en karakteristik özelliği, 1-10 mm arasında kalınlık sunan, tabaka içi paralel, çapraz ve konvülüt laminalanma yapıları ile 5-10 cm kalınlığında ince bantlar oluşturan hematit bileşimli, yer yer spekülaritleşmiş sedimanter kökenli demir minerallerini ve bol miktarda spekülaritli sütkuvars damarlarını kapsamasıdır.

Birçok incekesit üzerinde yapılan incelemelere göre, metakuvarsitler % 95 'in üzerinde kuvars içermektedir. 0,4 - 0,8 mm boyutunda olan kuvarslar, gırift sınırlı, dalgalı sönmeli, bazen belirgin yönlenmeli, bazen de katlastik kırılımlıdır. Yer yer polikristalin kuvars tanelerinin de görüldüğü birim içerisinde çimento şeklinde çökelmiş olan hematitler, % 4-5 oranına ulaştığı zaman kayaç pembe veya mor renkli, % 1'in altına düşüğü zaman gri renkli olarak görülmektedir. Yeşilimsi beyaz renkli metkuvarsitlerin ise, az oranda klorit minerali içerdigi belirlenmiştir.

1000 m kalınlık sunan Kandilcikdere üyesi, düşük derecede bölgесel metamorfizmaya uğramış kırıntılı bir

istiftir. Bununla birlikte istifin genellikle üst kesimlerinde olmak üzere rekristalize kireçtaşrı mercek ve seviyelerine rastlanmaktadır. En fazla 2-3 m kalınlık sunan ve 20-30 m uzunluga sahip olan koyu gri veya kahverenkli bu birimler, çogunlukla, ince tabakalı (5-10 cm), bazen de laminallıdır. Yer yer 1-10 cm kalınlığında çört bant ve merceklerini içerirler. Rekristalizasyon sonucu ilksel dokusunu tamamen kaybetmiş, genellikle mozayik dokulu birim, 0,2 mm ve daha küçük boyutlu kalsit kristallerinden oluşmaktadır.

Infrakambriyen yaşlı Attepe üyesi, üzerine tedrici geçişli olarak gelen Kandilcikdere üyesi üzerinde bulunan Alt-Orta Kambriyen yaşlı Karaçattepe formasyonuna ait Menteşdere üyesine de tedrici geçiş göstermektedir (EK-3). Ancak, Menteşdere ve Uyuzpinarı üyelerinin birbirlerine yanal yönde tedrici geçişli olmaları sebebiyle Sicimindagi, Magarabeli Tepe ve Çokcanınbaşı Tepe mevkiilerinde olduğu gibi bazen bu üye, doğrudan doğruya Karaçattepe formasyonuna ait Uyuzpinarı üyesi tarafından uyumlu olarak örtülmektedir. Ziyaret, Kızıltapur ve Karaçat Tepe yörelerinde, Sicimindagi kuzeyinde, Kızıl, Tozlu, Yagbağ ve Cilbeher tepeleri kesimlerinde ise bu birimin üzerine Karaçattepe formasyonuna ait iki üyeden biri tektonik bir dokanakla gelmektedir. Kızıl Tepe doğusunda da sözkonusu üye, Üst Kambriyen-Ordovisiyen yaşlı birimlerle tektonik ilişkilidir. (EK-1).

Sicimindagi formasyonuna ait Attepe ve Kandilcikdere üyeleri içerisinde daha önceki çalışmalarında olduğu gibi bu çalışmada da fosil bulunamamıştır. Ancak, bu formasyon Dean ve Monod (1970) tarafından Seydişehir yöresinde tanımlanan Çaltepe formasyonu ile lito ve kronostratigrafik olarak deneştirilen Alt-Orta Kambriyen yaşlı Karaçattepe formasyonunun altında uyumlu olarak bulunmaktadır (EK-3). Birimin bu stratigrafik konumu ve 1080 m'ye ulaşan kalınlığı dikkate alınarak yaşı, İnfra-kambriyen olarak kabul edilmiştir.

Kandilcikdere üyesi; inceleme alanının yakın çevresinde tanımlanan Emirgazi formasyonu (Özgül ve dig., 1972, 1973; Metin, 1983, 1984; Daglioglu, 1987; Ayhan, 1988); Egridir bölgesinde Sarıcıçek formasyonu (Demirtaşlı, 1973); Horzum yöresinde Çamdere formasyonu (Temur, 1986); Amanoslarda Sadan ve Çamlıpinar formasyonları (Ketin, 1966); Tut-Pembeyli yöresinde Sadan ve Meryemuşağı formasyonları (Ketin, 1966); Derik yöresinde Sadan ve Telbismi formasyonları (Ketin, 1966) ile lito ve/veya kronostratigrafik olarak deneştirilebilir (EK-4).

2.1.2. Karaçattepe formasyonu (Ek)

Ismini inceleme alanının kuzey kesimindeki Karaçat Tepe'den alan Alt-Orta Kambriyen yaşı bu formasyon, Küpeli (1986) tarafından Menteşdere ve Uyuzpinarı olmak üzere iki ümeye ayrılmıştır (EK-3).

2.1.2.1. Menteşdere üyesi (Ekm)

Genel olarak, kırmızımsı kahverenkli yer yer ankeritleşmiş dolomitlerden oluşan üye, bazen kireçtaşım ercek ve seviyelerini de kapsamaktadır. Çogunlukla ince kuşaklar şeklinde K-G yönünde uzanan birim, başlıca Karaçat Tepe'nin batı ve kuzey kesimlerinde, Menteş Dere'si civarında, Kızıltapur Tepe'den Beltepe'ye kadar uzanan sırtın doğu ve batı yamaçlarında, Hacet Tepe yakınında ve Çaldağı'nın batı yamaçlarında yüzeylemektedir (EK-1).

Ismini yörenin en büyük derelerinden biri olan Menteş Dere'sinden alan üye, iki ayrı kesit hattında ayrıntılı bir şekilde incelenerek önemli özelliklerini belirlenmiştir. Birinci kesit hattı, Kızıl demir yatağının 250 m kuzeydogusunda, Menteş Dere'nin hemen güney kesimdedir. İkincisi ise, İnfrakambriyen yaşı birimlerin de incelenmiş olduğu Kılıçkaya yöresindedir. Her iki

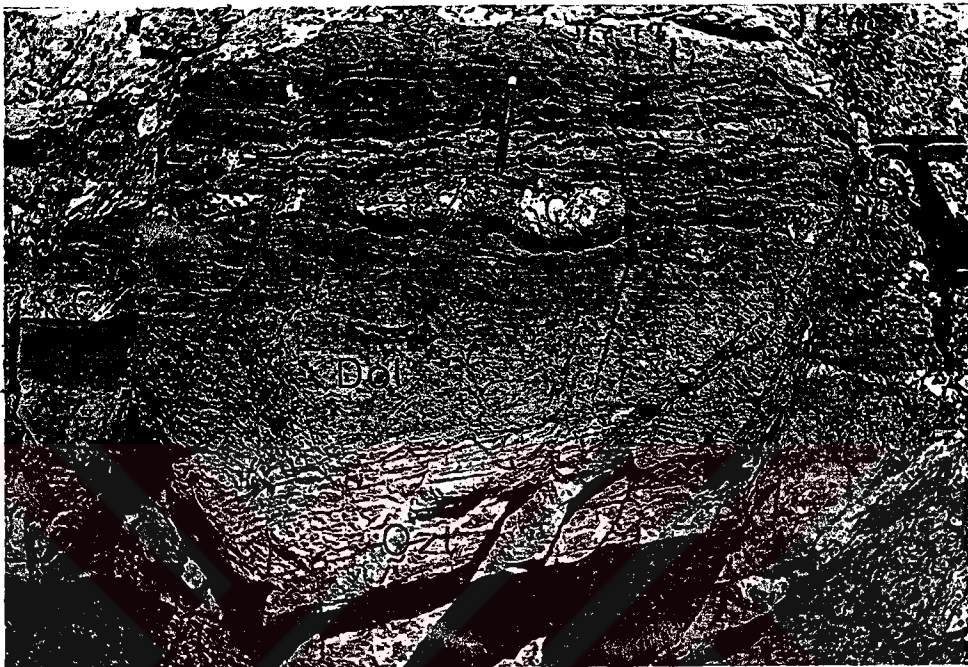
kesit hattında da Infrakambriyen yaşlı metakuvarsitler üzerine tedrici geçişli olarak gelen dolomitler, genellikle orta (1-10 cm) - kalın (30-40 cm) tabakalanmalıdır. Sık sık 1-5 cm kalınlığında çört bant ve merceklerini içerirler (Şekil 2.7). Menteşdere yöresinde 40 m, Kılıçkaya'da 22 m kalınlığa sahip olan birim, Menteşdere'de 3-4 m kalınlığında açık gri renkli, ince-orta tabakalı bir dolomit seviyesi ile başlar. Kılıçkaya'da ise onuncu metreden sonra 5 m kalınlığında koyu gri renkli, orta-kalın tabakalı masif yapılı bir kireçtaşı seviyesi geçilmektedir. Yanal yönde fazla devamlılık göstermeyen bu dolomit ve kireçtaşı seviyeleri, esas olarak üyeyi oluşturan kırmızımsı kahverenkli dolomitlerle yanal ve düşey yönlerde tedrici geçişlidirler. Üye, kesit hatlarının dışında, inceleme alanının bazı kesimlerinde koyu gri renkli, orta-kalın tabakalı, şekersi dokulu dolomitlerle temsil olunmaktadır.

Çalışma bölgesinin hemen hemen her yerinde çok çatlaklı ve kırıkçı, blok faylanmalı bir yapı sunan birim; Attepe, Kızıl, Menteş Kartalkaya ve Mağaradere yataklarında cevherli çözeltilerin ornattığı ve içerisinde yerlesīiği en önemli yankayaç durumundadır. Menteşdere ve Kılıçkaya'da pek yaygın olmamakla birlikte, tektonik hareketlerin yoğun olduğu Ziyaret Tepe, Uykuçukuru Tepe, Kızıltapır Tepe ve Magarabeli Tepe mevkilerinde büyük çapta ankeritleşen bu birimlerin çatlak ve kırıkları, yaygın olarak siderit, hematit, kalsit ve kuvars mineralleri tarafından dolgulanmıştır.

Karbonat kayaçlarından oluşan Üyenin en önemli özelliklerinden biri de, karstik süreçler sonucunda önemli ölçüde karstlaşarak, küçük çaplı dolin ve magaraların oluşumuna imkan sağlamasıdır. İkincil cevher bileşenlerinin oluşumunda doğrudan etkili olan karstik süreçlerle ilgili ayrıntılı bilgiler "Maden yatakları bölümü"nde verilecektir.

Üyenin mineral bileşimini, dolomit ve kalsit kristalleri oluşturmaktadır. Yer yer özşekilli olarak gözlenen

kristallerin boyutları 0,25 - 0,3 mm arasındadır. Alizerin-S testi sonucu kayacın % 55-60 oranında dolomit bileşimine sahip olduğu görülmüştür. Rekristalizasyon sonucu, ilksel dokusu tamamen silinmiş olan kayaca "küreçli dolomit" adı verilmiştir.



Şekil 2.7. Kılıçkaya yöresinde, metakuvarsitler (Qzt) üzerinde yer alan çört (Ç) bantlı kireçli dolomitler (Dol).

Menteşdere üyesi, Sicimindagi formasyonuna ait Kandilcikdere üyesi üzerine tedrici geçişli olarak gelmektedir (EK-3). Ancak, Kızıltapur, Cilbeher ve Kızıl Tepe mevkileri ile Yedigöz Mevkii'nde olduğu gibi bazı kesimlerde Kandilcikdere üyesi üzerinde tektonik dokanaklı olduğu görülür. Bu sebeple iki üye sınırlarında yer yer milonitik zonlar bulunmaktadır. Menteşdere üyesi üzerine tedrici geçişli olarak, Uyuzpinarı üyesine ait dolomitli kireçtaşları gelmektedir. Yer yer birbirlerine yanal yönde de tedrici geçişler gösteren bu iki üye, bazen birbirlerinin yerini alabilmektedirler. Dolayısıyla ortalamada kalınlığı 40 m olan üye, Karaçat Tepe'de olduğu gibi bazen 55-60 m kalınlık sunarken, bazen de 3-4 m

kalinliga kadar düşmekte ve hatta daha da incelerek kaybolabilmektedir (EK-1). Bu düzensizlik sebebiyle dolomitlerin ikincil süreçlerle oluştugu düşünülebilirse de sözkonusu dolomitler, üye içerisinde yer alan çört, kireçtaşı bant, mercek ve seviyeleri ile düzenli bir şekilde ardalanmaktadır. Bu verilere göre, dolomitlerin sedimanter yapı özellikleri gösterdiği üyenin yanal yöndeki düzensizliğinin ise, fasiyes değişikliklerinden kaynaklandığı sonucuna varılmıştır. Burada ele alınmayan yaşı ve korelasyon konusu, formasyonla ilgili açıklamaların sonunda formasyon bazında incelenecektir.

2.1.2.2. Uyuzpinarı üyesi (Eku)

Üye, esas olarak açık veya koyu gri renkli, yer yer alg izleri taşıyan kireçtaşlarıyla temsil edilmektedir. Bunun yanısıra, üye içerisinde dolomitli kireçtaşı ve ankeritik kesimler ile kalksist mercek ve seviyeierine de rastlanmaktadır.

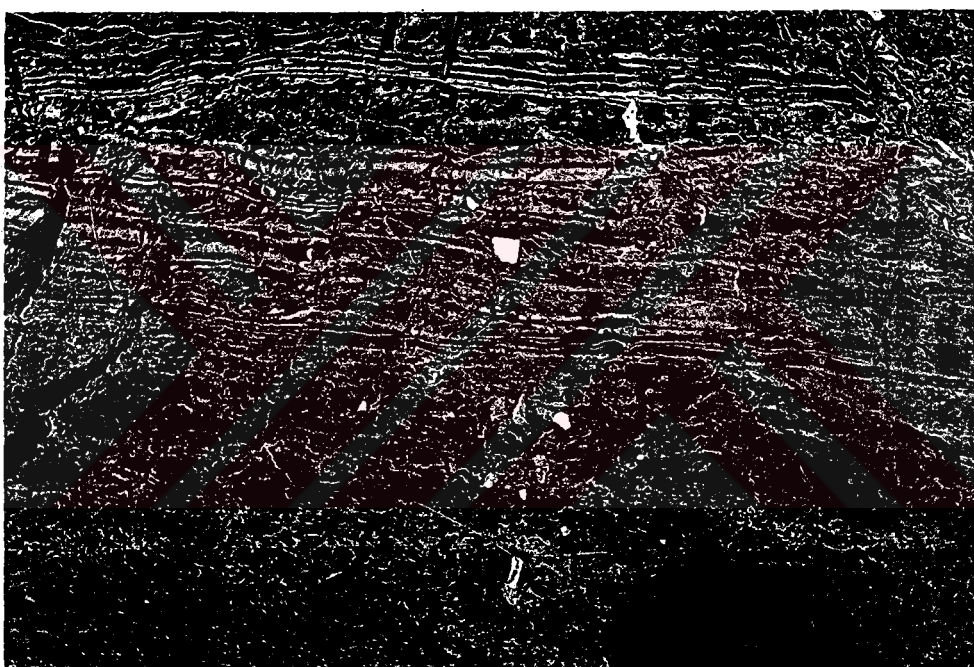
Topografyada genellikle yüksek tepe ve sırtlar oluşturan birim, başlıca Kızıltapur Tepe ve kuzeyinde, Uyuzpinarı Deresi'nin batısında, Sicimindağı'nda, Akeşme Sırtı'nda Çökçanınbaşı Tepe'de, Mağrabeli Tepe civarında, Karamağarabeli kuzeydogusunda, Çaldağı'nda, Küçüktahtafırlatan Tepe'de Cilbeher ve Kızıl Tepe etrafında yüzeylemektedir (EK-1).

İsmini Uyuzpinarı Dere'sinden alan üye, Sicimindağı ve Kılıçkaya yörenlerinde ayrı ayrı incelenmiştir. Sicimindağı'nda alttan üste doğru renk, yapı ve doku bakımından pek fazla değişiklikler görülmez. Burada açık veya koyu gri renkli, masif yapılı, bazen ince-orta tabaklı, rekristalize kireçtaşlarının yanal ve düşey yönlü tedrici geçişlerinden meydana gelen birim; kalsit, siderrit ve hematit damarları ile yer yer alg izleri kapsamaktadır. 180 m kalınlık sunan üye, 60. ile 73. metreler

arasında ince kalksist-yumrulu kireçtaşlı seviyelerini kapsamakta, 150. ile 160. metreler arasında ise koyu gri renkli kireçli dolomit özelligi göstermektedir. Kireçli dolomitler içerisinde bol miktarda alg izleri ile basınç çözünmeleri sonucu ortaya çıkan stilolitik yapılar görülür. Kılıçkaya ve Sicimindagi yörelerinde izlenen istifler birbirinden kalınlık ve litolojik özellik bakımından önemli farklılıklar göstermektedir. Meselâ, Kılıçkaya'da Menteşdere üyesi üzerine tedrici geçişli olarak gelen Uyuzpinarı üyesi, Sicimindagi yöresinde doğrudan doğruya Kandilcikdere üyesi üzerine gelmektedir. Kılıçkaya'da sözkonusu istifin kalınlığı 170 m olup, Sicimindagındaki istife göre daha incedir. Sicimindagi'ndan farklı olarak Kılıçkaya yöresinde izlenen istifin son 50 m'lik bölümü içerisinde 3 ve 4 m kalınlıklarında sarımsı bey renkli, tıkkız dokulu, yer yer sucuksu yapılar gösteren iki ayrı kalksist seviyesi görülmektedir. Ayrıca üye içerisinde koyu gri-siyah renkli dolomit mercek ve seviyeleri yaygındır. Yer yer açık gri renkli kireçtaşları ile koyu gri-siyah renkli dolomitler ardalanmakta, birbirlerine yanal ve düşey yönlü tedrici geçişler yapmaktadır (Şekil 2-8).

Üyeyi oluşturan birimler, kesit hatları dışında, inceleme alanının diğer kesimlerinde çok kırıklı, blok faylanmalı bir yapı sunmaktadır. Önemli tektonik hatlar boyunca birçok demir yatak ve zuhurunu kapsayan birimde çat�ak ve kırıkların bir kısmı ikincil kalsit mineralleri, bir kısmı da kuvarslı siderit ve hematit mineralalleri tarafından dolgulanmıştır. Menteşdere üyesinde olduğu gibi fazla yaygın olmayan ince cevher damarları, genellikle dolomitçe zengin kesimlerde görülen küçük çaplı ankeritik zonlar içerisinde izlenmektedir. Üyenin önemli bir diğer özelligi de Menteşdere üyesi gibi bazı karstik oluşuklara sahip olmasıdır. Değişik geometriler sunan karstik boşlukların bir kısmında götit, kalsit ve aragonit kristal toplulukları gelişirken, bir kısmında da karst sedimanları çökelmiştir. Üyeyi oluşturan birim, iri

(1-1,5 cm) ve orta (0,2-03 mm) olmak üzere iki ayrı topluluk şeklinde izlenen kalsit kristallerinden oluşmaktadır. Kesitlerinde çokgen biçiminde geometrik şekiller veren iri kalsit kristalleri, tipik olarak mozayik dokusu oluşturmaktadır. Yer yer : %10 ile 40 oranında dolomit ve % 1-2 oranında da opak mineral içeren kayaç, yörede etkili olan metamorfizma sonucu rekristalizasyon ugrayarak ilksel dokusunu kaybetmiştir. Mineralojik bileşimi ve ikincil dokusu dikkate alınan kayaç, "rekristalize dolomitli kireçtaşı" şeklinde tanımlanmıştır.



Şekil 2.8. Kılıçkaya yöresinde Uyuzpinarı üyesine ait açık gri renkli kireçtaşları ile koyu gri-siyah renkli dolomitlerin ardalanması.

Karaçattepe formasyonuna ait Menteşdere üyesi üzerine tedrici geçişli olarak gelen 180 m kalınlığındaki Uyuzpinarı üyesi, Kartalkaya formasyonuna ait Elmadağı üyesi tarafından da uyumlu olarak örtülmektedir (EK-3). Ancak, Sicimindağı'nda olduğu gibi bazı kesimlerde Uyuzpinarı üyesi, doğrudan doğruya Kandilcikdere üyesi üzerine de uyumlu olarak gelebilmektedir (EK-1).

Bölgede etkili olan yoğun tektonizma sonucu, Uyuzpinarı üyesi, Sicimindagi kuzeyinde, Kızıl Tepe batısında, Kızıltapur Tepe civarında alta bulunan Menteşdere veya Kandilcikdere üyeleri üzerine tektonik bir dokanakla gelmekte, Çaldağı, İneksigmaz Dere ve Küçüktahtaflıatan Tepe yörelerinde ise devrik bir konumda yüzeylemektedir (EK-1).

Karaçattepe formasyonuna ait hem Menteşdere, hem de Uyuzpinarı üyeleri içerisinde yaş verilebilecek fosile rastlanmamıştır. Uyuzpinarı üyesi içerisinde yaygın bir şekilde görülen ve muhtemelen sig denizel bir ortamı karakterize eden algler ise, metamorfizma sonucu karakteristik özelliklerini tamamen kaybetmişlerdir. Bu sebeple yaşlandırma, Karaçattepe formasyonu ile lito ve kronostratigrafik olarak deneştirilebilen Dean ve Monod (1970) tarafından Seydişehir yöresinde tanımlanmış Alt-Orta Kambriyen yaşlı Çaltepe Formasyonu esas alınarak yapılmıştır. Buna göre, Karaçattepe formasyonunun yaşı Alt-Orta Kambriyen olarak kabul edilmiştir. Bu formasyon, Tufanbeyli yöresinde Degirmentaş formasyonu (Özgül ve dig., 1972, 1973); (Metin, 1983, 1984); Feke yöresinde (Daglioglu, 1987); Mansurlu yöresinde (Ayhan, 1988); Eğridir bölgesinde Kocaoğlan formasyonu (Demirtaşlı, 1973); Seydişehir yöresinde, Çaltepe Formasyonu (Dean ve Monod, 1970; Termier ve Monod, 1978); Silifke yöresinde, Cvacık Işıkli kireçtaşları (Demirtaşlı, 1982); Horzum, yöresinde, Harapkaya formasyonu (Temur, 1986); Amanoslar, Tut-Pembeyli, Derik yörelerinde, Dolomit formasyonu (Ketin, 1966) ile yumrulu kireçtaşı bölgeleri hariç tutulmak üzere lito ve / veya kronostratigrafik olarak deneştirilebilir (EK-4).

2.1.3. Kartalkaya formasyonu (EOK)

Ismini Kartalkaya'dan alan Üst Kambriyen-Ordovisiyen yaşlı bu formasyon, Elmadağı ve Egrisögündere olmak

üzerde iki üyeye ayrılmıştır (EK-3). Daha önceki çalışmalarında ikinci üyeyi tek başına Kartalkaya formasyonu şeklinde tanımlayan Küpeli (1986), birinci üyeyi de Karaçattepe formasyonuna ait bir üye şeklinde değerlendirmiştir.

2.1.3.1. Elmadağı üyesi (EOKel)

Kartalkaya formasyonunun tabanında yer alan üye, birbirleriyle sık sık yanal ve düşey yönlü fasiyes değişimleri yapabilen kalksist-yumrulu kireçtaşı, kireçtaşı ve şistlerle temsil edilmektedir. Bu litolojilerden en yaygın olanı, kalksist ve yumrulu kireçtaşlarıdır. İnceleme alanının çeşitli yerlerinde bazen kalksistler, bazen de yumrulu kireçtaşları hakimdir. Başlıca Sicimindagi, Karaçattepe, Karamagarabeli, Akeşme Sırtı ve Elmadağı yörelerinde yüzeyleyen üye, genellikle K-G ve D-B yönünde uzanan ince kuşaklar şeklinde izlenmektedir (EK-1).

İsmini 2088 rakımlı Elmadağı'ndan alan birim üç ayrı kesit hattında incelenmiştir. Sicimindagi yöresinde üst bölgeleri aşınmış olarak izlenen istif, yer yer ince kireçtaşı seviyeleri içeren kalksistlerle, Elmadağı yöresinde kalksist seviyeleri içeren yumrulu kireçtaşları ve şistlerle, Kılıçkaya yöresinde ise kalksist, yumrulu kireçtaşı, kireçtaşı ve şistlerle temsil edilmektedir (Şekil 2.9). Sözkonusu kayaçların istif içerisindeki stratigrafik konumları kesit hatlarına göre değişmektedir. Çoğunlukla istifin alt kesimlerinde karbonat kayaçlar, üst kesimlerinde ise şistler hakimdir. Genellikle beyaz renkli olan kalksistler, bazen gri, beyaz, pembe ve yeşilimsi beyaz renklidirler. Ince (10-15 cm) ve orta (20-30 cm) tabakalanma gösteren kayaçlarda tabakalanmaya uyumlu sistozite düzlemleri gözlenir. Sistozite düzlemlerinin kalınlıkları alttan üste doğru giderek azalmaktadır. Deformasyonlara karşı kısmen sümek

**KILIÇKAYA
KESİTİ**

**ELMA DAĞI
KESİTİ**

**SİCİMİNDAKİ
KESİTİ**

| KILIÇKAYA KESİTİ | | KESİTİ | KALINLIK (m) | LİTTOLOJİ | AĞIKLAMAALAR | KALINLIK (m) | LİTTOLOJİ | AĞIKLAMAALAR |
|-----------------------------|--|--|--|---|---------------------|-------------------------|------------------|--|
| 57 | ~ ~ ~ ~ ~ | Samimi gri renkli, sık şistozite düzlemleri içeren, iki bloklar şeklinde parçalanan kalkşistler. | ~ ~ ~ ~ ~ | Yeşil renkli, masif görünümlü, seyreklı yumrulu, yer yer erime boşluğu, kendi içinde yoğun kıvrımlanmalı şistler. | ~ ~ ~ ~ ~ | 11 | ~ ~ ~ ~ ~ | Ince kalkşist seviyeleri kapsayan yeşil renkli çok kıvrımlı şist ve yumrulu kireçtaşları. |
| 22 | ~ ~ ~ ~ ~ | | ~ ~ ~ ~ ~ | | 5 | ~ ~ ~ ~ ~ | ~ ~ ~ ~ ~ | Samimi bei renkli kalkşistler. |
| 60 | Bei renkli, yoğun şistoziteli kalkşistlerle, yeşilimsi bei renkli yumrulu kireçtaşı ardalanması. | ~ ~ ~ ~ ~ | Bei renkli, yoğun şistoziteli kalkşistlerle, yeşilimsi bei renkli yumrulu kireçtaşı ardalanması. | ~ ~ ~ ~ ~ | 22 | ~ ~ ~ ~ ~ | ~ ~ ~ ~ ~ | Yer yer ince kalkşist seviye ve mercekleri içeren, yeşil renkli, çok kıvrımlı şist ve yumrulu kireçtaşı ardalanması. |
| 40 | Gri renkli kireçtaşı tabakaları içeren bei renkli kalkşistler. | ~ ~ ~ ~ ~ | Gri renkli yoğun şistoziteli kalkşistler. | ~ ~ ~ ~ ~ | 12 | ~ ~ ~ ~ ~ | ~ ~ ~ ~ ~ | Samimi bei renkli, yoğun şistoziteli kalkşist seviyesi kapsayan açık gri renkli, rekristalize kireçtaşları. |
| 10 | Kireçtaşı ara tabakaları bei renkli kalkşistler. | ~ ~ ~ ~ ~ | Kireçtaşı ara tabakaları bei renkli kalkşistler. | ~ ~ ~ ~ ~ | 3 | ~ ~ ~ ~ ~ | ~ ~ ~ ~ ~ | Samimi bei renkli, hafif şisti yapılmış kalkşistler. |
| 15 | Yer yer pembeimsi renkler gösteren kırılı beyaz renkli yoğun şistoziteli kalkşistler. | ~ ~ ~ ~ ~ | Erime boşlukları içeren yesilişimi bei renkli yumrulu kireçtaşı. | ~ ~ ~ ~ ~ | 4 | ~ ~ ~ ~ ~ | ~ ~ ~ ~ ~ | Kahveimsi san renkli kalkşistler. |
| 23 | | ~ ~ ~ ~ ~ | | ~ ~ ~ ~ ~ | 2 | ~ ~ ~ ~ ~ | ~ ~ ~ ~ ~ | |

Şekil 2.9. Üç ayrı yerde incelenen Elma Dağı üyesine ait dikme kesitlerin korelasyonu.

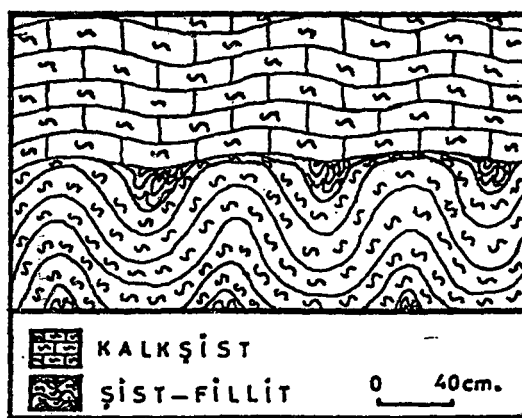
davranmış olan birim, inceleme alanında yer alan diğer karbonat kayaçlara göre kırık tektoniğinden daha az etkilenirken, yaygın bir şekilde küçük ölçekli W, M, Z ve akma kıvrım yapıları kazanmıştır. Bunların yanısıra gelişen kırıkların bir kısmı kalsit, bir kısmı da götit mineralleri tarafından dolgulanmıştır. Ayrıca tektonik hatlar boyunca yerleşmiş olan demir yatak ve zuhurlarına yakın kesimlerde de düzensiz sınırlı ankeritik kütleler ile yaygın siderit damarları görülür. Bu demir mineralleri uygun fiziko-kimyasal şartlar altında limonite dönüşerek yakın çevrelerini kırmızıya çalan pas rengine boyamışlardır.

Kalksistler, incekesitlerinde % 60-70 oranında 0,3-0,8 mm boyutunda kalsit, % 15-20 oranında sistozite düzlemlerine paralel olarak dizilmiş serisit ve muskovit, % 5 oranında 0,4 mm boyutunda kataklastik kırılımlı kuvars mineralleri ile % 4-5 oranında opak mineral içermektedir. Opak mineraller, ince kılcal damarcıklar şeklinde izlenen götitlerle sedimanter kökenli özşekilli pirit porfiroblastlarından ibarettir.

Kalksistler, istifin üst kesimlerine doğru kıl boyutunda malzeme oranının artmasıyla birlikte tedrici olarak yumrulu kireçtaşlarına geçiş yapmaktadır. Sözkonusu kayaç, 5-10 cm uzunluğunda, 3-5 cm kalınlığında, bey renkli rekristalize karbonat yumrularının, sarımsı yeşil renkli sistlerden oluşan bir matriks içerisinde yanyana dizilmeleriyle oluşmuştur. Kayaç içerisinde karbonat yumruları ile matriks oranı yaklaşık olarak birbirine eşittir. Ancak, bazen matriks, bazen de karbonat yumruları hakimdir. Genellikle yeşilimsi renk tonunun izlendiği, masif yapılı yumrulu kireçtaşlarında yer yer ince-orta tabakalanma yapısı görülür. Jeolojik zamanlar boyunca etkili olan karbonik asitli yüzey sularının karbonat yumrularını eritmesi sonucu, kayaçta boşluklu bir yapı gelişmiştir. Buna dayanarak İplikçi ve Ayhan (1982) gibi bazı yazarlar bu birimi, fileli kireçtaşı şeklinde tanımlamışlardır.

Petrografik incelemelere göre, karbonat yumruları oldukça küçük boyutlu kalsit kristallerinden oluşmaktadır. Bunların arasında 0,3-0,5 mm boyutunda, kataklastik kırılımlı kuvars kristalleri de görülmektedir. Yer yer küçük topluluklar oluşturan kuvars kristallerinin oranı, yumruların dış kesimlerine doğru daha da artmaktadır. Karbonat yumrularını çevreleyen matriksten alınan incekeşitlerde, % 50-60 klorit, % 15-20 belirgin yönlendirmeli serisit, % 8 paralel bir dizilim sunan iri muskovit, % 6 silt boyutunda kuvars ve % 5-6 oranında da opak mineral tespit edilmiştir. Kuvarslı, serisitli kloritist bileşimindeki bu bölgelerde iri muskovit kristallerinde oluşum sonrası deformasyona işaret eden 90°'ye yakın bükülmeler görülmektedir.

Yumrulu kireçtaşları ve kalksistlerle sık sık ardalanın veya onlarla tedrici geçişli olarak bulunan yeşilimsi renklerdeki sistler, sağlam ve dayanıklı bir özellik taşımaktadır. Kendi içerisinde çok kıvrımlı bir yapı sunan sistler, tektonik hareketler sırasında kalksist ve yumrulu kireçtaşlarına göre daha fazla kıvrımlanmıştır (Şekil 2.10). Mineralojik bileşimleri



Şekil 2.10. Kılıçkaya yöresinde birlikte deformasyona uğramış olan Elmadağı üyesine ait kalksistler ile sistlerin farklı ölçülerde kıvrımlanması.

yumruların arasını dolduran yeşilimsi renkli matriks ile hemen hemen aynıdır.

İnceleme alanında etkili olan bölgesel metamorfizma sonucu ilksel yapı ve dokusunu tamamen kaybetmiş olan Elmadağı üyesinde fosil izine rastlanmamıştır. Tüm Toroslar'da fosilli Kambriyen için kılavuz bir seviye oluşturan yumrulu kireçtaşları, özellikle Konodont faunası açısından büyük bir öneme sahiptir. Ancak, derlenen örnekler üzerinde yapılan çalışmalarla yaş tayinine yarıyacak fosillere rastlanmamıştır.

Karaçattepe formasyonuna ait Uyuzpinarı üyesi üzerine tedrici geçişli olarak gelen Kartalkaya formasyonuna ait Elmadağı üyesi, üstte doğru aynı formasyona ait Egrisögündere üyesine tedrici geçiş yapmaktadır (EK-3).

Kalınlığı üç ayrı yerde ölçülmüş olan üye, Elmadağı'nda 40 m, Kılıçkaya'da 60 m, Sicimindağı'nda 120 m kalınlık sunmaktadır (Şekil 2.9). Bazı yerlerde kalınlığı 5-10 m'ye kadar düşen üyenin ortalama kalınlığı 40 m'dir.

2.1.3.2. Egrisögündere üyesi .(EOKe)

İsmini Egrisögüt Dere'den alan üye, alt kesimlerinde yumrulu kireçtaşı-kalkşist; üst kesimlerinde ise metakumtaşı-metakuvarsit merceklerini kapsayan şist ve fillitlerden oluşmaktadır (EK-3).

İnceleme alanının genellikle kuzey yarısında yayılım gösteren bu üye başlıca; Küçüktahta fırlatan Tepe kuze yinde, Egrisögüt Dere ve Domuztümseg'i civarında, Karaçat Tepe'de, Elmadağı çevresinde, Beltepe yakınlarında, Kızıl Tepe, Tozlu Tepe ve Yedigöz mevkilerinde yüzeylemektedir. Birimin en iyi yüzeylemesi Egrisögüt Dere yakınında, Menteş Dere'si boyunca görülür. Daha önceleri Küpeli (1986) ve Öncel (1989) tarafından Kartalkaya formasyonu şeklinde tanımlanan birim, bu çalışmada "Egrisögündere üyesi" olarak adlandırılmıştır.

Genellikle yeşilimsi renkli kayaçlardan oluşan üye, yer yer bej, açık kahve, krem, mor, vişne ve koyu gri renkli bölgeler de içermektedir. Yumuşak topoğrafyalı, ince-orta tabakalı, bazen de laminalı bir yapı sunan bu kayaçlar, tabakalanmaya uyumlu olarak gelişen sistozite düzlemlerine sahiptirler.

Yörede etkili olan tektonik hareketler sırasında üyeye ait birimler, çok kıvrımlı ve kısmen de kırıkçı bir yapı kazanmışlardır. İnceleme alanının birçok yerinde formasyon içi kıvrımlanmalar şeklinde görülen, küçük ölçekli antiklinoryum ve senklinoryum yapıları; izoklinal, harmonik ve disharmonik kıvrımlar, W, Z ve S tipi kıvrım yapıları ile akma kıvrımlarına rastlanmaktadır.

Tektonığın fazlaca etkili olduğu kesimlerde ise aşırı kıvrımlanmalara bağlı olarak gelişen faylanmalar sonucu önemli ölçüde killeşmiş ezik zonlar mevcuttur.

Egrisögündere Üyesi, Domuztümseḡi Tepe'nin doğusundan itibaren başlayan ve kuzeydoğu yönünde uzanan bir kesit hattı boyunca incelenmiştir. Üye tabanda yer yer yumrulu kireçtaşısı ve kalksist merceklerini kapsayan açık yeşil renkli kuvars fillitlerle başlamaktadır. Sık sistozite düzlemlerine sahip olan az kıvrımlı ve kırıkçı, sütkuvars damarlı bu fillitler % 60 serisit, % 30 kuvars ve % 10 oranında kil boyutunda malzeme kapsamaktadır. Kalksist ve yumrulu kireçtaşısı mercekleri, yer yer 50-100 m uzunluga ve 25-30 m kalınlığa ulaşırlar. Topografyada çıkışlı bir morfoloji oluşturan kalksist ve yumrulu kireçtaşları, birbirleriyle sık sık yanal ve düşey yönlü fasiyes değişimleri gösterirler.

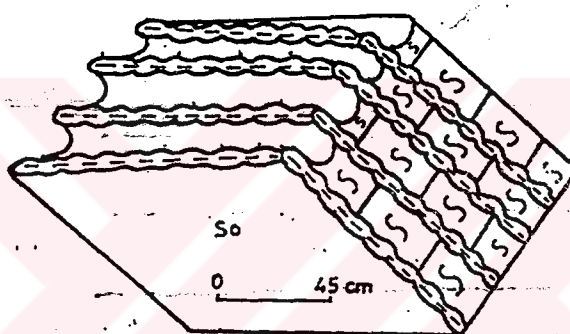
Bej renkli, ince tabakalı kalksistler oldukça kıvrımlı ve kısmen de kırıkçı bir yapı sunarlar. Üye için karakteristik olan kıvrım yapıları, kalksistlerde çok belirgin bir şekilde görülür. Bilhassa akma kıvrımları, W, Z ve S tipi kıvrımlar ile budinajlanma yapıları çok yaygındır. Kalksistler gerek ornatılmaya müsait kimyasal bileşimleri, gerekse cevherli çözeltilerin hareketlerini kolaylaştıran süreksizlik

düzlemlerine sahip olmaları sebebiyle yöredeki demir cevher yerleşimi açısından da önem arzettmektedirler. Tektonik hatlar boyunca hareket eden cevherli çözeltiler, kalksistler içerisinde bazı siderit ve hematit cevherleşmeleri ile ankeritik bileşimli kütlelerin oluşumunu sağlamışlardır. Ayrıca, üyenin diğer şist ve fillitik kesimlerini kateden fay hatları boyunca da yer yer dayk görünümü baritli hematit damarlari izlenmektedir.

Bej veya yeşilimsi renkli yumrulu kireçtaşları, şistî yapılı bir matriks içerisinde yüzen irili ufaklı, pembeimsi beyaz renkli karbonat yumrularından oluşur. Kartalkaya formasyonunun tabanında yer alan yumrulu kireçtaşlarına göre bunlar daha az oranda karbonat yumrusu içermektedir. Kayaç içerisinde ortalamma % 15-20 oranında bulunan yumruların bir kısmı, yüzey sularının etkisiyle matrikse göre daha çabuk eriyerek bu kesimlerde boşluklar ortaya çıkmıştır. Aynı şekilde kalksistler içerisinde de 4-5 cm kalınlığındaki yeşilimsi renkli fillit seviyeleri, karbonatlara göre daha az eridiginden yüzeye birbirine paralel hafif ondülasyonlu çıkışları oluşturmuştur (Şekil 2.11). Kalksistlerden alınan incekesitlerde karbonatlı seviyeler, yer yer 0,7-1 mm boyutunda kalsit kristalleri içeren mikrokristalli kalsitlerden, fillit seviyeleri ise belirgin yönlenmeli iri muskovit kristalleri de içeren serisitlerden oluşmaktadır. Her iki seviye içerisinde de yer yer silt-kum boyutunda kuvars taneleri görülmektedir.

Üyenin tabanında yeralan ve içerisinde yumrulu kireçtaşı-kalksist merceklerini içeren açık yeşil renkli kuvarsfillitler, üste doğru tedrici olarak koyu gri renkli, kaygan yüzeyli, sedefimsi parlaklığa sahip, 3-4 mm kalınlığında ince plakalar şeklinde ayrılabilen, çatlak ve kırıkları sütkuvars dolgulu kuvars fillitlere geçmektedir. Bu seviye üzerinde ise koyu gri renkli, bitümlü şistler yer almaktadır. Sık sık küçük ölçekli formasyon içi kıvrımlanmalar gösteren sözkonusu sistler üzerine yeşilimsi renkli, seyrék sistozite düzlemleri

kapsayan çok çatlaklı ve kırıklı, kendi içerisinde yaygın kıvrımlanmalar gösteren fillit ve metasilttaşları gelmektedir. Metasilttaşları, genellikle yeşil renkli fillitik bölgeler içerisinde 3-6 mm kalınlığındaki laminalar şeklinde yer alırlar. Fillitlere göre daha sert olan beyaz veya açık gri renkli bu seviyeler, yörede etkili olan kıvrım tektoniği sırasında fillitler kadar sünek davranışmayarak kıvrım eksenleri boyunca mikrofaylanma, uzama, büsinajlanma ve kopma yapıları kazanmışlardır. Fillitlerde ise tektonik hareketler sırasında ortaya çıkan eksen düzlemi klivajları boyunca kinkbantları oluşmuştur.



Şekil 2.11. Kızıl demir yatağının kuzeybatisında Eğrisögündere üyesine ait kalkıştalar içerisinde yer alan karbonatlı seviyelerin fillitik seviyelere göre daha fazla erimesi sonucu ortaya çıkan oluk yapıları.

Metasilttaşları, birbirleriyle kenetlenmeli sınırlara sahip, yer yer kataklastik kırılımlı, hafif yönlenmeli silt boyutundaki kuvarslardan oluşmaktadır. Dalgalı sönme gösteren kuvarslar arasında yer yer % 5-6 oranında matiks izlenmektedir. Fillitler ise % 60-70 oranında iyi yönlenmeli serisit, % 15-20 oranında 0,08 mm boyutunda kuvars ve az oranda da yönlenmeye uyumlu muskovit mineralerleri içermektedirler.

Üye üste doğru koyu gri renkli, kaygan yüzeyli, ince plakalar şeklinde ayrılabilen, sütkuvars damarlı, bazen

koyu yeşil renkli bölgeler içeren sistemlere geçmektedir. En üstte ise yeşil renkli, sert topografyalı, orta (10-15cm)-kalın (20-30 cm) tabakalı, yaygın bir şekilde pi-rit pseudomorfları kapsayan metakumtaşları yer almaktadır. İnceleme alanının bazı kesimlerinde ise yaklaşıklar olarak aynı seviyelerde mor veya yeşilimsi beyaz renkli, orta-kalın tabakalı, düzgün eklem sistemlerine sahip, spekülaritli sütkuvars damarlarını içeren metakuvarsitler gözlenmektedir. Bu birimler, İnfraCambriyen yaşlı Sicimindiği formasyonunun en üstünde yer alan metakuvarsitlerle yakın benzerlik içerisindeidir. Bunlar birbirlerinden stratigrafik konumlarına göre ayırt edilebilmektedirler.

Metakumtaşları, incekesitlerinde % 55-60 oranında, 0,7-1 mm boyutunda kötü yuvarlaklılaşmış, orta boyylanmalı, genellikle küt köşeli kuvars, % 40-45 oranında yer yer serisit ve klorit içeren matriks ile % 3-4 oranında opak mineral içermektedir. Dalgalı sönmeli, bazen kataklastik kırılımlı ve hafif yönlenmeli kuvars taneleri matriks içerisinde yüzmektedir.

Kartalkaya formasyonuna ait Elmadağı üyesi Üzerine tedrici geçişli olarak gelen Egrisögütdere üyesinin kendi içerisinde çok kıvrımlı oluşu ve üst sınırının inceleme alanında gözlenemeyisi sebebiyle kalınlığı tam olarak ölçülememiştir. Ancak, arazi gözlemleri sonucu üyenin en az 1500 m kalınlığa sahip olduğu belirlenmiştir (EK-3).

Elmadağı ve Egrisögütdere üyelerinden oluşan Kartalkaya formasyonu içerisinde fosil izine rastlanmamıştır. Formasyonun tabanında yer alan ve tüm Toros kuşağında Cambriyen yaşlı birimlerde kılavuz bir seviye şeklinde izlenen yumrulu kireçtaşlarının rekristalizasyona uğraması nedeniyle konodont tayini yapılamamıştır. Bundan dolayı Kartalkaya formasyonunun yaşı lito ve kronostratigrafik olarak denetirilebildiği Üst Cambriyen-Ordovisiyen yaşlı Armutludere formasyonu (Ayhan, 1988) ile aynı kabul edilmiştir.

Kartalkaya formasyonu; Bakırdağı civarında Kerkez-tepe, Babadere ve Armutludere formasyonları (Metin,

1984); Kozan-Feke-Mansurlu yöresinde (Ayhan, 1988); Pınarbaşı-Sarız Mağara yöresinde (Demirtaşlı, 1967); Tu-fanbeyli yöresinde (Özgül ve dig., 1973); Saimbeyli yöresinde (Tutkun, 1984) tarafından tanımlanan Arımutludere formasyonu; Horzum (Kozan) yöresinde Kabaktepe formasyonu (Temur, 1986); Silifke yöresinde Ovacık formasyonu (Demirtaşlı, 1982); Seydişehir yöresinde Seydişehir ve Sobova formasyonları (Dean ve Monod, 1970); Derik civarında Sosink formasyonu (Ketin, 1966) ile deneştirebilir özelliktedir (EK-4).

2.1.4. Yığlıtepe formasyonu (Py)

Gri renkli kireçtaşları ile temsil olunan Yığlıtepe formasyonu, Yedigöz Mevkii'nin 1,5 km güneybatısında, küçük bir alanda yüzeylemektedir. Formasyon adlaması, Demirtaşlı'dan (1967) alınmıştır.

Yığlıtepe formasyonu, 2,5-3 m kalınlığında, bej, açık veya koyu gri renkli, ince-orta tabakalı, yer yer kuvarslı siderit damarları içeren kireçtaşı seviyesi ile başlamaktadır. 0,1-0,3 mm boyutunda kalsit kristallerinden oluşan kireçtaşları, bazı kesimlerde % 10-15 oranında dolomit ve % 7-8 oranında da opak mineral içermektedirler. Bu seviye üste doğru tedrici olarak koyu gri renkli Mizzia'lı kireçtaşlarına geçmektedir.

Tüm Toroslar'da Permiyen için karakteristik olan bu birim, çoğulukla masif yapılı, bazen de orta-kalın tabakalanmalıdır. Bol miktarda ikincil kalsit ve daha az oranda da siderit damarlarını kapsayan kayaç, % 3-4 oranında opak mineral içeren 0,2-0,4 mm boyutundaki kalsit kristallerinden oluşmaktadır. Iri kalsit kristallerinde basınç ikiz lamelleri ve kristal sınırları boyunca stilolitik yapılar görülür. Rekristalizasyon sonucu ilkisel dokusunu büyük ölçüde kaybetmiş olan Mizzia'lı kireçtaşları, üste doğru yer yer kalksist özelliği gösteren, gri renkli ince-orta tabakalı bol çatlaklı ve

kırıklı, kireçtaşlarına geçmektedir. İnceleme alanında üst kesimleri tamamen aşınmış olan Yıglitepe formasyonu, bol miktarda kalsit damarı içeren, gri renkli, ince tabakalı kireçtaşları ile son bulmaktadır.

Kendisinden daha yaşlı birimler üzerine açılı bir uyumsuzlukla gelen 150 m kalınlığındaki formasyon, Jura-Alt Kretase yaşlı Karakızoluğu formasyonu tarafından da açılı bir uyumsuzlukla örtülmektedir (EK-3). Birimin tabanında yer alan uyumsuzlukla ilgili ayrıntılı açıklama "tektonik" bölümünde verilmektedir. Formasyon içerisinde makro olarak da tanınablebilin bol miktarda Mizzia Sp. türü alg bulunmaktadır. Alglerin yaşamasına uygun sıç, sıcak ve düşük enerjili denizel bir ortamda çökelmiş olan Üst Permiyen yaşlı bu birim, Tufanbeyli-Sarız yöresinde (Demirtaşlı, 1967), Saimbeyli yöresinde (Tutkun, 1984), Mansurlu (Feke) yöresinde (Ayhan, 1988) tarafından tanımlanan Yıglitepe formasyonu; Derebaşı(Develi)-Armutalan ve Gedikli (Saimbeyli) yörelerinde (Metin, 1984) tarafından tanımlanan Yıglitepe kireçtaşı; Aladaglar-Yahyalı yöresinde Karlığın formasyonu (Ayhan ve Lengeranlı, 1986), Horzum (Kozan) yöresinde ise, Kızıldağ formasyonu (Temur, 1986) ile denéstirilebilir.

2.1.5. Karakızoluğu formasyonu (Jkk)

Karakızoluğu formasyonu, birbirleriyle sık sık yanal ve düşey yönlü fasiyes değişimleri yapan metakonglomera, fillit, şist, kalksist ve rekristalize kireçtaşları ile temsil edilmektedir.

İnceleme alanının batısında izlenen bindirme hattına paralel bir şekilde KB-GD yönünde 20 km uzanım gösteren formasyon, genişliği en fazla 2 km olan dar bir kuşak içerisinde başlıca Karakızoluğu Tepe, Magarabeli Tepe, Karakızoluğu Gedik Sırtı, Çokçanınbaşı ve Sarpınar Tepe civarında yüzeylemektedir (EK-1).

İsmini 2097 rakımlı Karakızoluğu Tepe'sinden alan formasyon, birbirine yakın iki ayrı kesit hattında incelemiştir. Bunlardan ilki, sözkonusu tepeden başlayarak

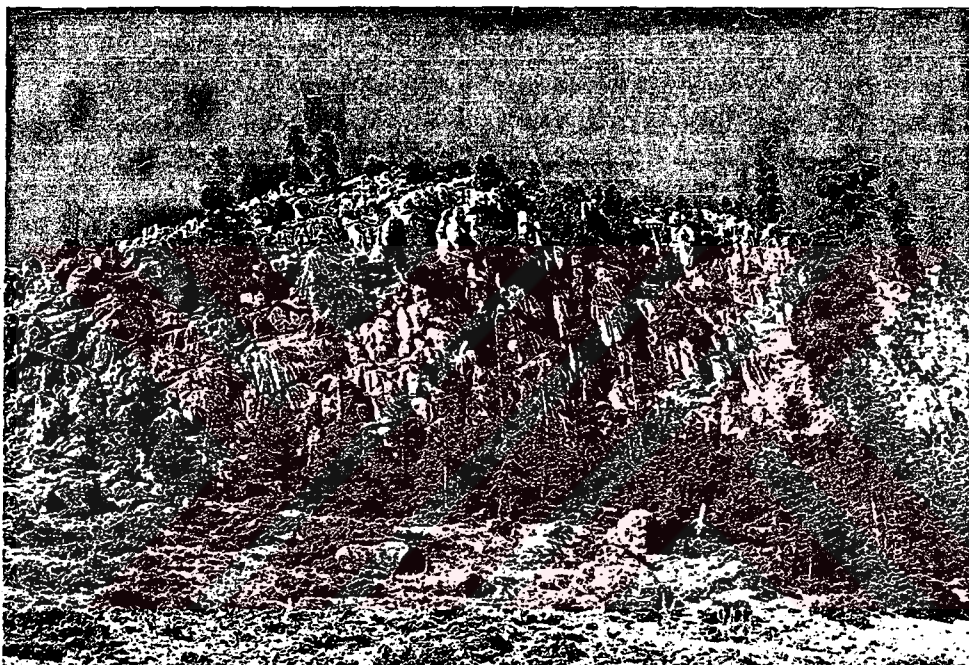
güneydoğuya doğru, ikincisi ise aynı tepenin yaklaşık olarak 400 m. güneybatısından itibaren, güneybatıya doğru uzanmaktadır. Bu kesit hatlarından elde edilen bilgiler genelleştirilmiş bir dikme kesit üzerinde gösterilmiştir (EK-3).

Formasyon, ortalama kalınlığı 300 m olan ve son 50 m'lik bölümü içerisinde yer yer şist-filit ve kalksist merceklerini içeren metakonglomeralarla başlamaktadır. Açık veya koyu gri renkli, masif yapılı, bazen çok kalın tabaklı (50-70 cm) olan metakonglomeralar, genellikle inceleme alanında yüzeylemiş olan daha yaşlı birimlere ait çakıl ve blokları kapsamaktadır. Az veya hiç yuvarlaşmamış, çok kötü boylanmalı bu elemanlar, karbonat cimento veya silt-kum boyutunda malzeme içeren killi bir matriks ile tutturulmuştur. Kayaç içerisinde yer alan en yaygın bileşen koyu gri renkli Üst Permiyen yaşlı Mizzia'lı kireçtaşı bloklarıdır. Bunları İnfraCambriyen ve Alt Paleozoyik yaşlı metakumtaşı, metakuvarsit, şist, filit, dolomit, kireçtaşı ve yumrulu kireçtaşı birimlerinin çakıl ve blokları takibetmektedir. Ayrıca, yaşı ve kaynağı belirlenemeyen daha birçok kırıntılı eleman bulunmaktadır.

Bazen monojenik, bazen de polijenik metakonglomera özelliği gösteren kayaçta genellikle kırıntılı tane miktarı, tutturucudan daha fazladır. Bu haliyle ortokonglomera Özelliği gösteren birim, bazı bölgelerde tane oranının azalması sonucu parakonglomera veya çakılıkireçtaşı Özelliği de kazanabilmektedir. Tektonik hareketler sırasında kırık tektoniginden etkilenen metakonglomeralar, birbirini kesen düzgün eklem sistemleriyle 2-3 m³ lük iri bloklara ayrılmışlardır. Erimeye müsait kimyasal bileşim ve uygun atmosferik şartların desteğiinde kayaç yüzeyinde çok belirgin lapyalar oluşmuştur (Şekil 2.12). Kayaç matriksine ait örneklerin incekesitlerinde; birbilerine paralel bir şekilde dizilim sunan serisit ve muskovit mineralerinin yanısıra, metamorfizma sonucu kısmi bir yönlenme kazanmış olan silt-kum boyutundaki kuvars ve kayaç parçaları izlenmektedir.

Tabandan itibaren 200 m devamlılık gösteren, koyu gri renkli metakonglomeralar, üste doğru 50 m kalınlığa sahip bey renkli polijenik metakonglomeralara tedrici

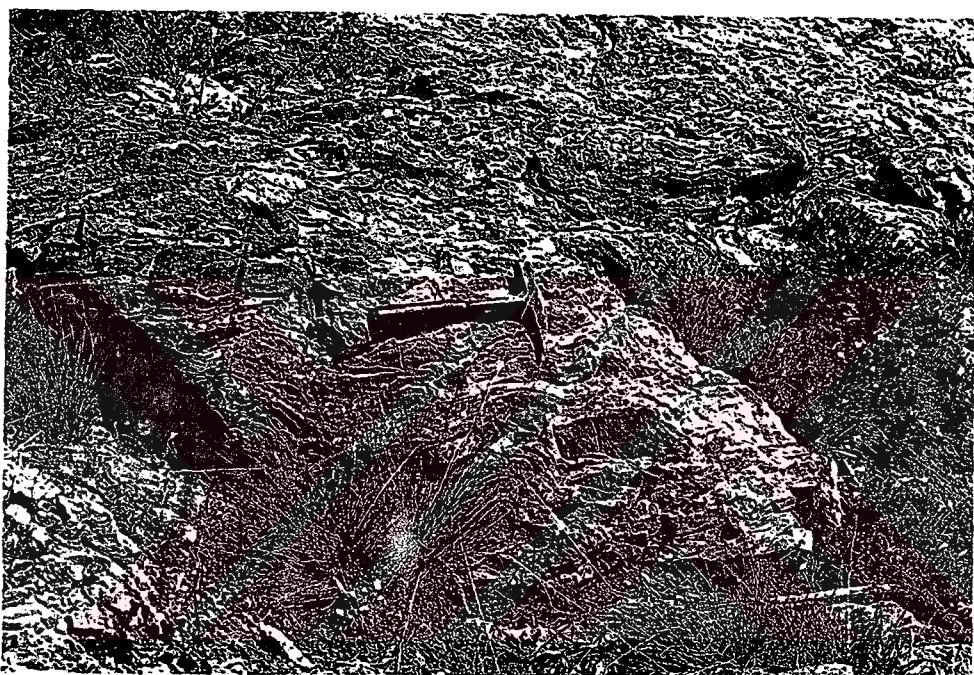
geçiş yaparlar. Genellikle kötü yuvarlaklaşmış, krem renkli killi kireçtaşı çakıl ve bloklarından oluşan karbonat çimentolu kayaç, daha az oranda da yeşil renkli, 20-25 cm boyutuna ulaşan hiç yuvarlaklaşmamış şist, fillit ve yumrulu kireçtaşı parçalarını kapsamaktadır. Bu seviye üzerine ani bir fasiyes değişikliği ile yeşil renkli sık şistozite düzlemlerini kapsayan, yer yer küçük ölçekli kıvrımlanma yapıları gösteren 5 m kalınlığındaki fillitler gelmektedir. Yanal yönde fazla



Şekil 2.12. Kaynarpaşa kuzeyinde birbirini kesen düzgün eklem sistemleriyle iri bloklara ayrılmış, tipik larya şekilleri içeren Karakızolugu formasına ait parakonglomeraller.

devam etmeyen merceksi geometrili fillitler üzerinde 45 m kalınlığında, sert topografyalı, bej renkli, belirgin yönlenmeli bileşenler içeren karbonat çimentolu metakonglomeralar görülmektedir. Yer yer yeşil renkli şist, fillit mercekleri ile birlikte bej renkli kalksist merceklerini de içeren, masif yapılı, az çatlaklı ve kırıklı, genellikle kendi içerisinde kıvrımlı kayacın ana bileşeni, istifin tabanında yer alan metakonglomeralarda

olduğu gibi yine Üst Permiyen yaşlı koyu gri renkli Mizzia'lı kireçtaşçı çakıl ve bloklarıdır. Yıglitepe formasyonuna ait bu blokların bir kısmı 50-60 cm boyutundadır (Şekil 2.13). İkinci derecede bol bulunan sarımsı kahve veya bej renkli dolomit çakıl ve bloklarının, Kartalkaya formasyonuna ait Menteşdere üyesinden kaynaklandığı tahmin edilmektedir. Çimentoya göre daha çabuk erimeleri sebebiyle, kayaç yüzeyinde bu bileşenlerle ilgili



Şekil 2.13. Karakızolugu Tepe'sinin 700 m güneydogusunda yer alan, bol miktarda Üst Permiyen yaşlı koyu gri renkli kireçtaşlarına ait çakıl ve blokları bulunduran ve bileşenleri belirgin yönlenme gösteren metakonglomeralar.

çukurluklar ortaya çıkmıştır. Böllük bakımından üçüncü sırayı alan gri veya mor renkli, sedimanter kökenli hematit laminaları içeren metakuvarsit parçaları, keskin kenarlara sahip, oldukça köşeli hiç yuvarlaklaşmamış bileşenlerdir. Sert olmaları sebebiyle kayaç yüzeyinde belirgin çıkıştılar oluşturmuşlardır. İnceleme alanında yüzeyleyen İnfrakambriyen yaşlı metakuvarsitlerden kaynaklandığı sanılan bu elemanlar, yer yer 15-20 cm boyu-

tunda bloklar şeklindedirler. Kayaç içerisinde görülen diğer bileşenler ise, genellikle yeşil renkli, hiç yuvarlaklaşmamış şist, fillit ve yumrulu kireçtaşları çakıl ve bloklarıdır. Bunların birçoğu, Alt Paleozoyik yaşı formasyonlardan kaynaklanmıştır. Kaynagi ve yaşı belirle-nemeyen değişik litolojilere ait sedimanter kökenli ele-manlar da içeren sözkonusu metakonglomeralardan sonra, taşıyıcı enerjisinin azalması sonucu çökelmiş olan mal-zemeden oluşmuş 80 m kalınlığında fillitler görülmektedir. Bunlar yeşil veya mavimsi yeşil renkli, 15-20 cm de bir hafif dalgılı şistozite düzlemleri içeren, masif görünümülü fillitlerle başlamaktadır. 10 m'lik bu ilk seviyeyi 30 m kalınlığında mavimsi gri renkli fillitler takibetmektedir. Yer yer kalksist özelligi gösteren bu seviyeden sonra tedrici olarak 40 m kalınlığında koyu yeşil renkli, seyrek şistozite düzlemleri kapsayan fillitlere geçilmektedir. Bu fillit-lerden sonra formasyona ait istif, birbirleriyle iç içe bulunan metakonglomera, kalksist ve kireçtaşlarının oluşturduğu 30 m kalınlığındaki bir seviye ile son bul-maktadır (EK-3). Bu seviye içerisinde 10-15 m kalınlığa sahip olan mavimsi gri renkli kalksistler, belirgin şisti yapılı olup, yer yer mermer özelligi göstermek-tedirler.

Yörede etkili olan tektonik hareketler sonucu, buraya kadar anlatılan litolojiler içerisinde gelişmiş çatlak ve kırıkların büyük bir bölümünde limonite dönüşümekte olan hematit ve siderit içerikli sütkuvars dolguları, bir bölümünde ise ikincil kalsit dolguları görülmektedir. Yörenin önemli demir yataklarından biri olan Karakızoluğu yatağı, bu formasyona ait karbonat çimentolu metakonglo-meralar içerisindeki eklem sistemleri boyunca, formasyo-nun doğu sınırına yakın irili ufaklı bir çok zuhur ise, diskordans yüzeyi boyunca epigenetik olarak yerleşmişlerdir. Dolgu ve ornatım yoluyla yerleşmiş olan cevher kütlelerinin yakın çevresi yaygın bir şekilde an-keritleşmiştir. Bu formasyonla ilgili olarak yapılan in-

celemelerde şu özellikler belirlenmiştir. Formasyonda çökelme ortamının oldukça duraysız olduğuna işaret eden farklı kayaç türleri, birbirleriyle yanal ve düşey yönde sık sık fasiyes değişimleri göstermektedirler. Ayrıca, genellikle az veya hiç yuvarlaklaşmamış bileşenleri kapsayan konglomeralarla ilgili malzemelerin çok kısa mesafelerden taşındıkları anlaşılmaktadır. Konglomeralarda boyanmanın çok kötü oluşu ve oldukça iri bloklar içermesi, süratli bir sedimantasyonu ve taşıyıcı enerjinin çok yüksek olduğunu ortaya koymaktadır. Karakızoluğu demir yatağının bu formasyon içerisinde tektonik kontrollü olarak yerleşmiş olması yöredeki demir cevherleşmelerinin Karakızoluğu formasyonundan daha sonra oluştuğunu göstermektedir.

Karakızoluğu formasyonu, inceleme alanında yüzeylenmiş olan Infrakambriyen ve Paleozoyik yaşlı birimler üzerine açısal bir uyumsuzlukla gelmektedir. 410 m kalınlığa sahip olan bu birimin üst kesimleri tamamen aşınmış olup, Maestrihtiyen'de bölgeye yerleşen Delialişağı Ofiyoliti'nin bu birimleri de tektonik bir dokanakla üzerlediği tahmin edilmektedir.

Metamorfizma sonucu ilksel yapı ve dokusunu kısmen kaybetmiş olan birim içerisinde fosil izine rastlanmamıştır. Ancak konglomeraların hakim bileşenlerinden olan köyu gri renkli kireçtaşı çakıl ve blokları, inceleme alanında yüzeylenmiş olan Üst Permiyen yaşlı Mizzia'lı kireçtaşlarına aittir. Buna göre metakonglomeraların çökelimi, Üst Permiyenden sonra, fakat Maestrihtiyen'de bölgeye yerleşen ofiyolitlere ait hiçbir eleman içermemesi sebebiyle de Maestrihtiyen'den önce muhtemelen Jura - Alt Kretase'de gerçekleşmiştir.

Uzaktan bakıldığına genellikle kireçtaşı görünümünde olan formasyon, metamorfizma sonucu sağlam ve dayanıklı bir yapı kazanmış olup, sert topografyalı bir morfoloji sergiler. Sözkonusu birim, Ayhan'ın (1988) çalışmasında Alt-Orta Kambriyen yaşlı Degirmentaş formasyonu içerisinde ele alınmıştır.

Karakızolugu formasyonunun yakın çevrede yeralan Jura-Alt Kretase yaşlı birimlerle litolojik benzerliği yoktur. Genelde inceleme alanının kuzey kesimlerinde Bakırdağı yöresinde 1200 m kalınlık sunan Jura-Alt Kretase zaman aralığında Çökelmanış birimler, Köroglutepe formasyonuna (Metin, 1984) ait komprehensif bir karbonat istifi şeklinde izlenmektedir. İnceleme alanının güneyinde Mansurlu (Feke) yöresinde ise, sözkonusu Jura-Alt Kretase yaşlı birimler, Alt Jura'dan itibaren başlayarak Alt Kretase sonuna kadar çökelmanış olan Köroğlu formasyonuna (Ayhan, 1988) ait karbonat istifi ile temsil edilmektedir. Buna göre kendine has özellikleriyle yakın çevrede yeralan aynı yaşlı birimlerden çok farklı bir çökelme ortamını karakterize eden Karakızolugu formasyonu, oldukça lokal özelliklere sahip bir litofasiyes topluluğudur.

2.1.6. Delaliuşağı ofiyoliti (Kdof)

Toroslar'da yaygın bir şekilde izlenen ofiyolitik kayaçlar, Doğu Toroslar'ın batısında Pozantı'dan başlayarak GB-KD yönünde Faraşa'ya (Kayseri) kadar uzanan 120 km uzunlığında, maksimum 30 km genişliğinde bir kuşak oluşturmaktadırlar. Değişik yazarlar tarafından Ultrabazik masif (Çağatay ve Çağlayan, 1978); Pozantı-Faraşa peridotit napi (Tekeli, 1980); Pozantı-Karsanti ofiyolit karmaşığı (Anıl, 1986) şeklinde isimlendirilen allokton konumlu bu kuşak, Toroslar'ın Aladaglar bölgesinde Maestrihtiyen'de kita kenarına yerleşmiş olup, tabanda ofiyolitli melanj, üzerinde metamorfik dilim ve en üstte de peridotit napi olmak üzere üçlü bir ofiyolit dizisi oluştururlar (Tekeli ve Erler, 1990). Özgül(1976) tarafından Bozkır birligine dahil edilen Pozantı - Faraşa ofiyolit kuşağı içerisinde yeralan Delaliuşağı ofiyoliti, inceleme alanının batı kesiminde K - G uzanımlı bir kuşak şeklindedir. İsmini Delaliuşağı

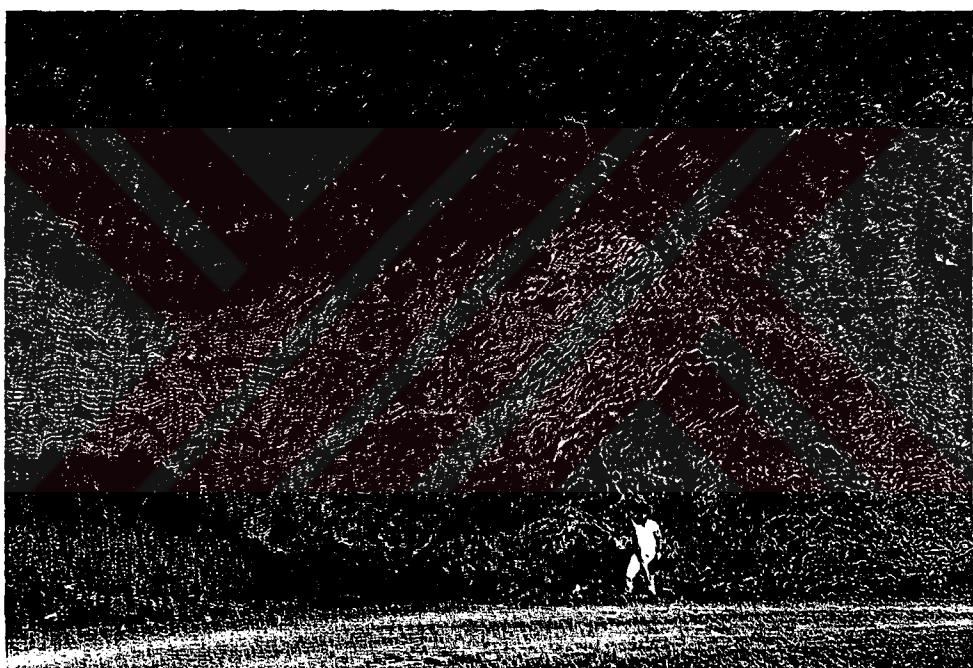
Köyü'nden alan bu birim, yukarıda anılan üçlü ofiyolit dizisine ait, metamorfik dilim ve peridotit napi bölümlerini kapsamaktadır.

2.1.6.1. Metamorfik dilim

. Çalışma alanında tabanı görülemeyen metamorfik dilim içerisinde çört bantlı pelajik şeyller, metakuvarsitler, amfibolit ve metagabrolar ile metaçört ve metaradyolarit gibi metamorfik kayaçlar bulunmaktadır. Düzlemsel yapı unsurları (laminalanma, bantlanma, tabakalanma ve şistozite düzlemleri gibi) birbirlerine uyumlu olan sözkonusu kayaçların birbirleriyle olan sınır ilişkileri net olarak belirlenmemiştir. metamorfik dilim içerisinde en yaygın litolojiyi oluşturan kırmızımsı kahverenkli pelajik şeyller, 20-40 cm aralıklarla 5-6 cm kalınlığında oldukça sert çört bantları içermektedirler (Şekil 2.14).

Yaklaşık olarak 150 m kalınlık sunan çok kıvrımlı ve kısmen de şistî yapılı şeyller, üste doğru amfibolitlere geçer. Şistî yapılı bu birim, 5-10 cm kalınlığındaki açık gri renkli plajiolaslı seviyeler ile koyu yeşil renkli kesimlerin ardalanmasından oluşmaktadır. Daha sert olan ve birçok mikrofaylarla atıma ugratılmış açık gri renkli seviyeler incekesitlerinde amfibol, piroksen ve feldispat içermektedirler. Yaygın serisitleşmelerin gözlendiği kayaç, piroksenli amfibolit bileşimlidir. Koyu yeşil renkli şistî kesimler ise, % 70 oranında, yer yer özşekilli amfibol, % 30 oranında da piroksen içermektedirler. Serisitleşme, serpentinleşme, uralitleşme ve karbonatlaşmaların izlendiği kayaçta amfibol ve piroksenler belirgin bir şekilde yönlenmiştir. Buna göre kayaç, piroksenli amfibolit şeklinde tanımlanmıştır. Amfibolitlerle aynı seviyede görülen açık gri renkli metakuvarsitler incekesitlerinde % 95 kuvars, % 4 oranında mercegimsi klorit ve çubuksu muskovit mineralleri ile %

1 oranında opak mineral kapsamaktadır. Üstte gri ve koyu yeşil renkli bölgelerin ardalandığı bantlı metagabrolar yer almaktadır. Sözkonusu kayaç % 55 oranında plajiolas, % 45 oranında da amfibol ve piroksen minerallerini kapsamaktadır. Hafif yönlenmeli bir doku gösteren amfibol ve piroksen kristalleri genellikle 0,5-1 mm boyutundadır. Feldispatların sınırları boyunca düzensiz adacıklar şeklinde yaygın karbonatlaşmalar ile seyrek olarak serisitleşmeler izlenir. Bazen uralitleşme belirtileri de tesbit edilen birimde feldispatların ağırlık kazanmasıyla açık renkli kesim, diğer minerallerin artmasıyla da koyu



Şekil 2.14. Delaliuşağı Köyü'nün doğu kesiminde
yüzeyleyen kırmızımsı kahverenkli, yoğun çört
bantları içeren pelajik şeyller.

renkli kesim ortaya çıkmaktadır. Metamorfik dilimin en üst kesimlerinde izlenen kırmızımsı vişne renkli metaçört ve radyolaritler, topografyada sert çıkışlı bir morfoloji oluşturmuşlardır. Incekesitlerinde hafif yönlenmeli, ortalama % 30 oranında radyolarya ve % 70 oranında mikrokristalli kuvars içeren kayaç, yer yer ikincil kuvars damarlarıyla katedilmektedir.

2.1.6.2. Peridotit napi

İnceleme alanında Delaliuşağı ofiyolitinin % 80'den fazlasını teşkil eden ve metamorfik dilim üzerine tektonik bir dokanakla gelen, yer yer diyabaz dayklarıyla kesismiş peridotit napi, harzburjit, dunit ve piroksenitler ile bunların ikincil ürünü serpantinitlerden oluşmaktadır. Ayrıca, peridotit napi içerisinde yer yer, tektonik dokanaklı pelajik kireçtaşlı blokları da görülmektedir (EK-1).

Peridotit napi içerisinde birbirleriyle sık sık bir arada görülebilen ultrabazik kayaçlardan en yaygın olanı harzburjitelidir. Ultrabaziklerin yaklaşık olarak 2/3'ünü oluşturan harzburjitel, kırmızımsı kahverenkli dir. Kayaç, farklı yönlerde gelişen eklem sistemleriyle parçalanmıştır. Genellikle mikrokristalli olan birim içerisinde, yeşil renkli, sedefimsi parlaklıktır, bazen 2-3 mm boyutunda iri piroksen (diyallag) kristalleri veya kristal toplulukları görülebilmektedir. Bazı kesimlerde kremit renkli dunit mercek veya bantlarını da kapsayan birimde, seyrek olarak küresel ayırtma yapıları (Eks-folisyon) izlenmektedir.

Ultrabazik kayaçlar içerisinde harzburjiteliden sonra bolluk bakımından ikinci sırayı alan piroksenitler, açık veya koyu yeşil renkli, sedefimsi parlaklıktır 2-8 mm boyutunda iri piroksen kristalleri içermektedir. Yer yer mikrokristalli olarak da izlenen kayaç, bazı kesimlerde oksidasyon etkisi sebebiyle kırmızımsı bir renk gösterebilmektedir. Harzburjitelere göre daha kırılınan olan piroksenitler, birçok eklem sistemiyle katedilerek çok çatlıaklı ve kırıkçı bir yapı kazanmışlardır. Mikrokristalli piroksenitlerde ender olarak 5-10 cm kalınlığındaki açık ve koyu renkli seviyelerin ardalanması sonucu bantlı yapıların oluştuğu görülür. Yer yer % 3-4 oranında saçılımlı kromit mineralleri içeren bu kayaç, özsekilli veya yarı özsekilli piroksen kristallerinden oluşmuştur. Kristal sınırları boyunca yer yer klorit-

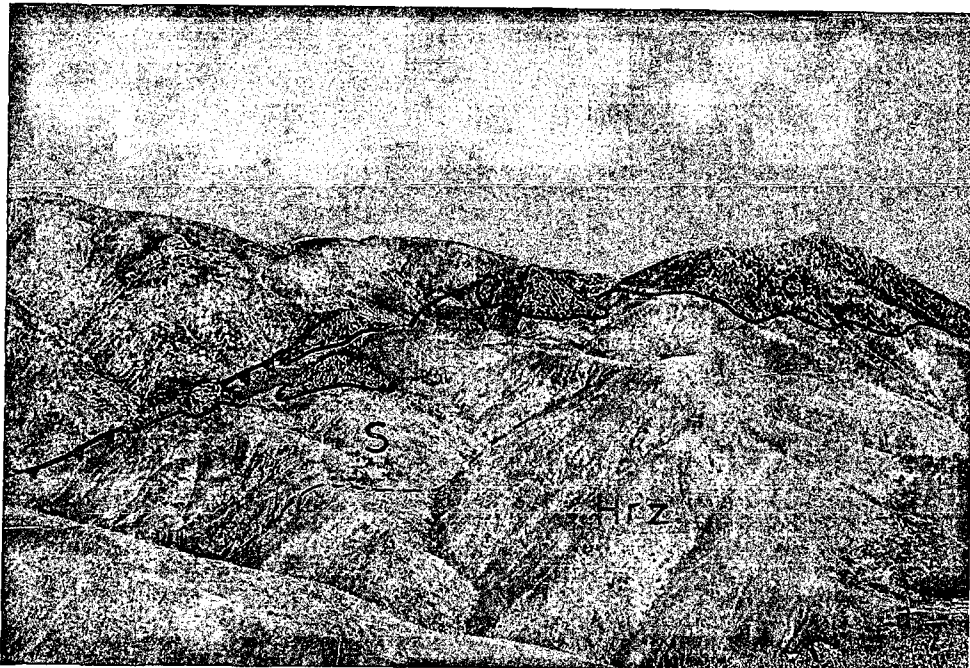
leşmeler izlenmektedir.

Peridotit napsı içerisinde harzburjit ve piroksenitlere göre daha az oranda bulanan dunitler, sarımsı kahve veya hafif yeşilimsi sarı renklidirler. Genellikle mercek, nadiren de ince tabakamsı seviyeler şeklinde görülürler. Dunitler, inceleme alanında yer alan kromit zuhurlarının en önemli yankayacıdır. Yapılan bir incekesitte % 95'in üzerinde, yer yer serpartinleşmiş olivin, % 3 serpentin mineralleri, % 2 oranında da özşekilli kromit kristalleri tespit edilmiştir. Bazen özşekilli olarak izlenen düzensiz çatlaklara sahip olivin kristalleri, çatlakları boyunca serpantinlere dönüşmüştür.

Inceleme alanında yer alan ultrabazik kayaçlar, özellikle tektonik hatlar boyunca etkili olan hidrataşyon olaylarının etkisi ile önemli ölçüde serpantinleşerek yeşil renkli, yumuşak, kaygan yüzeyli serpantinitlere dönüşmüştür. Çok çatlaklı ve kırıklı bu kayaç, birçok yerde toprağımsı bir görünümdedir. Yörede en önemli serpantinleşme Katrançukuru, Çataldaş ve Ovacık tepelerinin doğusundan geçen bindirme hattına paralel, yaklaşık 1 km genişliğindedeki bir kuşak içerisinde görülür (Şekil 2.15). Tektonik hareketlerle yoğun ezilmelerin ortaya çıktığı bu kuşakta serpantinitler büyük ölçüde ayrışarak toprağımsı bir görünüm kazanmışlardır. Sözkonusu serpantinit kuşağı içerisinde Katrançukuru Tepe'nin doğusunda küçük ölçekli bazı kromit zuhurları da yer almaktadır. Bazı kesimlerde oksidasyon sonucu kahverenkli olan serpantinitler, ultrabazik kayaçların yüzeyinde 2-3 cm kalınlığında bir zon oluştururlar. Dıştan içe doğru azalan bir serpantinleşmenin izlendiği bu zonlarda, çatlak ve kırıkların büyük bir bölümü manyezitler tarafından dolgulanmıştır (Şekil 2.16).

Petrografik incelemelerde çok az miktarda olivin ve piroksen reliktleri ile özşekilli kromit kristallerini içerdigi belirlenen serpantinitlerin tamamına yakın bir bölümü serpantin minerallerinden oluşmaktadır.

Peridotit napsı içerisinde yer alan ultrabazik kayaç



Şekil 2.15. Ofiyolit bindirme hattına paralel bir kuşak şeklinde uzanan altere serpantinitler (S), pelajik kireçtaşı blokları (Kçt.) ve ön planda harzburjitter (Hzr.).



Şekil 2.16. Yaşılipinar Dere Mevkii’nde piroksenitlerde eklem düzlemleri boyunca dıştan içe doğru gelişen serpentinleşme ile çatlak ve kırık dolguları şeklinde görülen beyaz renkli manyezitler.

topluluğu, yer yer diyabaz daykları tarafından kesilmektedir. Yeşil renk tonunun hakim olduğu bu damar kayaçları, genellikle 5-10 m uzunlugunda, 2-3 m kalınlığında, mercek geometrili dik veya dike yakın konumlu sert çıkışlılar şeklinde gözlenmektedir. Incekesitlerinde % 45-50 oranında plajiolas, % 50 oranında da amfibol ve piroksen belirlenen kayaçta, karbonatlaşma ve serisitleşmeler yaygındır. Bileşenleri hafif bir yönlenme gösteren kayaç, metadiyabaz özellikle indedir. Metamorfizmadan etkilenmeyen ofitik dokulu bazı kesimler ise dolerit bileşimlidir.

Peridotit napi içinde tektonik dokanaklı olarak gri renkli, masif yapılı, bol çatlaklı ve kırıklı pelajik kireçtaşları blokları yer almaktadır (EK-1). Taze yüzeylerinde beyaz renkli ve kompakt görünümülü bu birim, aşınmaya karşı gösterdiği direnç sebebiyle Delaliuşağı ofiyoliti içerisinde Katrançukuru ve Ovacık Tepe gibi en önemli yükseltileri oluşturmuşlardır. Adı geçen iki tepe arasında yine pelajik kireçtaşlarının oluşturduğu ve bindirme hattına paralel bir dizilim gösteren daha küçük tepecikler yer almaktadır. Boyutları onlarca metreden kilometrelere kadar değişen pelajik kireçtaşları bloklarının alt sınırlarında çok ezikli, bresleşmiş serpantinize zonlar görülür.

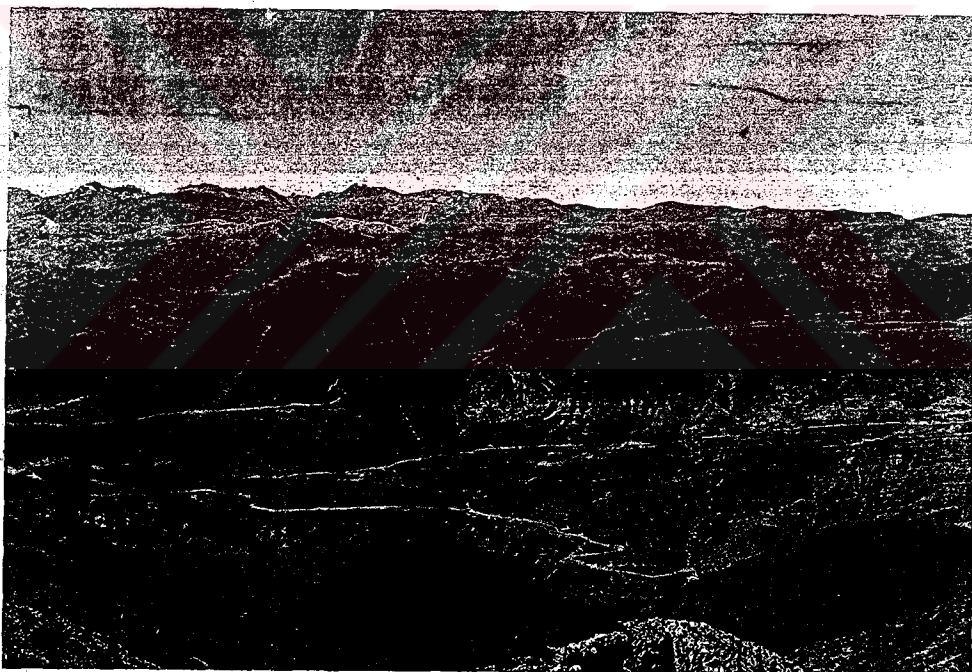
Mikroskobik incelemelerde pelajik kireçtaşlarının mikrokristalin kalsitlerden olduğu ve % 1-2 oranında da opak mineral içerdigi belirlenmiştir. Rekristalizasyon süreci ile ilksel dokusunu kaybetmiş olan kireçtaşlarının, Beyaz Aladaglar'daki Üst Kretase yaşlı pelajik kireçtaşlarıyla yakın benzerlik içerisinde olduğu Blumenthal (1939) tarafından vurgulanmıştır.

Kalınlığı tam olarak belirlenemeyen Delaliuşağı ofiyoliti, Üst Kretase öncesi tüm birimler üzerine tektonik bir dokanakla gelmektedir. Yerleşim sonrasında da tektonik hareketlerden kısmen etkilendiği anlaşılan ofiyolit kuşağı, bindirme hattı boyunca çeşitli yönlerde doğrultu atımlı faylarla kesilerek ötelelmıştır (EK-1).

Katrançukuru doğusunda bindirme hattı boyunca ve inceleme alanının dışında Faraşa (Çamlıca) yöresinde tektonik hatalara bağlı olarak epigenetik kökenli demir cevher zulhuları da içeren Delaliuşağı ofiyoliti, konglomera-marn ardalanmasından oluşan Miyosen yaşlı Zebil formasyonu tarafından açılı bir uyumsuzlukla örtülmektedir (EK-3).

2.1.7. Zebil formasyonu (Mz)

Esas olarak konglomera-marn ardalanmasından oluşan birimde daha az oranda kumtaşı, sittaşı ve kireçtaş gibi kayaçlar da bulunmaktadır (Şekil 2.17). Formasyon adıaması, Ulakoglu (1984) tarafından yapılmıştır. Aladag-



Şekil 2.17. Kendisinden daha yaşlı birimler üzerine açısal bir diskordansla gelen Zebil formasyonunun (Mz) Zamantı İrmagının batısında Meso-zoyik yaşlı kireçtaşları (Kçt) üzerindeki konumu. Arka planda Aladağlar görülmektedir.

lar'ın doğusunda geniş alanlar kaplayan Zebil formasyonu, inceleme alanının kuzeybatı kesiminde küçük bir alanda yüzeylemektedir (EK-1). Başlıca Turgut, Çamurlu, Avkasıl,

Seksenveren ve Şarlak tepeleri ile Kayapınar Sırtı mevkilerinde mostra veren Alt Miyosen yaşlı bu sedimanter istifin tipkesit yeri, inceleme alanının dışında Avluğ'a Köyü'nün 2 km KB'sında yeralan 1486 rakımlı Zebil Tepe'dir (Ulakoglu, 1984).

Formasyon kapsadığı demirli bileşenler sebebiyle kırmızımsı bir oksidasyon rengine sahiptir (Şekil 2.19). Birimin hakim litolojilerinden birini oluşturan konglomeralar, kırmızı veya gri renkli, kalın tabakalı (1-2 m), sağlam ve dayanıklı bir kayaçtır. Marnlara göre daha az aşındıgından vadi yamaçlarında çıkıntılar oluşturur.

Konglomeralar, inceleme alanında ve yakın çevresinde yüzeylemiş olan daha yaşlı birimlere ait iyi yuvarlaklışmış çakıl ve blok boyutundaki elemanları kapsamaktadır. Bu elemanların birçoğu Paleosen-Eosen ve Üst Permiyen yaşlı kireçtaşları ile bölgede yer alan ofiyolitik kayaçlardan türemişlerdir. Bunların yanısıra, daha birçok litolojiye ait kirintılı mälzeme içeren kayaç aynı zamanda yöredeki demir yatak ve zuhurlarından kaynaklanan cevher çakıl ve bloklarını da kapsamaktadır. Silisçe zengin götit ve daha az oranda limonitizé siderit bileşimli cevher parçaları, orta derecede yuvarlaklışmışlardır. Kayacın esasını oluşturan ve genellikle 5 ile 20 cm arasında boyutlara sahip olan çakıl ve bloklar, ya gri renkli bir karbonat çimento, ya da silt-kum boyutunda ince tanelerin oluşturduğu kırmızımsı renkli killi bir matriks tarafından tutturulmuşlardır. Kaba elemanların oranı çimento ve matrikse göre daha fazladır. Bu na göre kayaç polijenik ortokonglomera şeklinde tanımlanabilir. Bazı kesimlerde bağlayıcı oranının artmasıyla birlikte kayaç parakonglomera özelligi kazanmakta veya tamamen kireçtaşı, marn, silttaşısı ve kurtaşı gibi birimlere tedrici geçiş göstermektedir. Yer yer derecelenme yapısı gösteren konglomeralar, bazen bir tabaka içerisinde kaba taneli konglomera ile başlayıp, üste doğru tedrici olarak ince taneli kumtaşlarına ve silttaşlarına geçebilmektedir. Bu geçişler bazen ani bir fa-

siyes degisikligi şeklinde de gözlenebilmektedir.

Konglomeralardan sonra formasyon içerisindeki en önemli kayaç türü marndır. Soluk yeşil, bej ve vişne çürüğü renkler gösteren marnlar, ince tabakalı, oldukça yumuşak ve kırılınan bir birimdir. Atmosferik şartlar altında kolayca ayırsabilen marnlar, vadi yamaçlarında konglomera tabakaları arasında büyük oyuklar oluştururken, düzülüklerde veya hafif yayvan çukurluklarda tarıma elverişli rezidüel karakterli toprakları oluşturmuştur.

Zebil formasyonu, oluşumundan sonra ilksel konumunu bozacak şekilde önemli tektonik hareketlere ugramadığından tabaka konumları yatay veya yataya yakındır (Şekil 2.17). Ancak, bazı kesimlerde gravite etkisiyle ortaya çıkan çökmceler sonucu tabakalar 7-8'lik bir eğim kazanmış, bazı kesimlerde ise epirogenik hareketlere bağlı olarak küçük ölçekli blok faylanmalar gelişmiştir.

Tipkesit yerinde 550 m. kalınlığa sahip olan Zebil formasyonunun tam bir seri şeklinde çökeldiği belirtilmektedir (Ulakoglu, 1984). Mevcut incelemelere göre Zebil formasyonu Adana havzası ile ilgili denizel ortamların kollar şeklinde kuzeye doğru uzanan transgresyon ürünleriidir (Ilhan, 1976). İnceleme alanında bu kalın sedimanter istifin sadece 50 m'lik taban bölümünü görülebilmektedir.

Formasyon, Infrakambriyen, Paleozoyik ve Mesozoyik yaşlı birimler ile Maestrihtiyen yerleşim yaşına sahip ofiyolitik kayaçlar üzerine belirgin bir açılı uyumsuzlukla gelmekte, Kuvaterner yaşlı alüvyon ve yamaç molozları tarafından da açılı bir uyumsuzlukla örtülmektedir. Aladağlar-Yahyalı yöresinde ise sözkonusu formasyon üzerine açısal bir uyumsuzlukla Pliyosen yaşlı volkanik tuf-aglomera ve bazaltlarla temsil olunan Göynük formasyonu gelmektedir (Ulakoglu, 1984).

İnceleme alanı ve yakın çevresinde çogunlukla ayrılmış olarak mostra veren formasyon içerisinde fosil

bulunamamıştır. Ancak, konglomera seviyeleri içerisinde alınan kireçtaşı çakıllarının paleontolojik kesitlerinde Orta Eosen (Lütesiyen) yaşlı şu fosiller belirlenmiştir:

Alveolina sp.,

Fabiania sp.,

Eorupertia sp.,

Discocyclina sp.,

Asterigerina sp.,

Miliolidae

Bu fosillere göre, formasyonun Orta Eosen'den daha genç olduğu kesinlik kazanmaktadır.

Ulakoglu (1984) tarafından yapılan polen analizlerinde, marnlar içerisinde yer alan kömürlü seviyelerde, Alt Miyosen yaşlı çok sayıda polen türü tespit edilmiştir. Buna dayanarak, inceleme alanında Zebil formasyonu'nun alt bölgelerini temsil eden konglomera ve marnları da Alt Miyosen yaşlı olduğu kabul edilmiştir.

Formasyon, Aladaglar güneyinde Miyosen konglomeralleri (Ayhan, 1983); Yahyalı (Ulakoglu, 1984) ve Aladaglar (Tekeli ve dig., 1988) yörelerinde Zebil formasyonu; Dikme yöresinde (Öncel, 1989) Dikme formasyonu; Horzum (Kczan) yöresinde (Temur, 1986) Karahamza formasyonu; Saimbeyli (Tutkun, 1984) ve Fefe (Ayhan, 1988) yörelerinde Sümbüldagi formasyonu; Tufanbeyli yöresinde (Özgül ve dig., 1973) Demiroluk formasyonları ile denestrilebilir özellikle dir. Ancak, Demiroluk formasyonunun yaşı yazarlarca Orta Eosen (Lütesiyen) olarak belirlenmiştir. Dolayısıyla iki formasyon arasında sadece litosstratigrafik bir denetirme söz konusudur.

2.1.8. Aluvyon ve yamaç molozları (Qa)

Kuvarterner yaşlı bu birimler, inceleme alanında ve yakın çevresinde yüzeylemiş olan daha yaşlı birimlere ait kil-blok boyutundaki malzemeleri kapsamaktadır. Az veya hiç tutturulmamış olan bu kırıntılı elemanlar

alüvyon, yamaç molozu, elüvyal yelpaze ve toprak örtüleri şeklinde görülmektedirler.

Dere yataklarında yer alan alüvyonlar, beslenme alanında yüzeyleyen çeşitli litolojilere ait kırıntılı malzemenin değişik oranlarda karışımından ibarettir. Çok kısa mesafelerden taşıdığı anlaşılan oldukça köşeli veya az yuvarlaklaşmış taneler arasında yer yer demir cevher parçaları da bulunmaktadır. Akış rejimindeki düzensizlikler nedeniyle çok kötü bir boyanma ile çökelmiş olan birimin kalınlığı yer yer 50-100 m'ye kadar ulaşmaktadır.

Drenaj ağının yeterince gelişmediği sarp topografyalı kesimlerde, fiziksel ayrışma olayları ile ortaya çıkan kil-blok boyutundaki kayaç parçaları, yerçekimi etkisiyle aşağılara doğru yuvarlanarak yamaç eğiminin azaldığı kesimlerde yamaç molozlarını, dag eteklerinde ise elüvyal yelpazeleri oluşturmuslardır. İnceleme alanında özellikle Ovacık Tepe ve Katrançukuru Tepe'nin güneyi ile Çaldağı'nın doğu kesimlerinde izlenen bu tür oluşuklar, genellikle tutturulmamış ve hiç yuvarlaklaşmamış, kireçtaşçı çakıl ve bloklarını kapsamaktadır. Ineksigmaz Dere'de ise aynı oluşuklar şist, fillit ve metakuvarsit parçalarını içerirler.

Genellikle Alt Miyosen yaşlı Zebil formasyonu ile daha yaşlı pelitik kayaçlar üzerinde görülen toprak örtüleri, belirli fiziksel ve kimyasal ayrışmaların ürünleridir.

İnceleme alanında yer alan Kuvaterner yaşlı bu güncel oluşuklar, daha yaşlı tüm birimler üzerinde açılı bir uyumsuzlukla gelmektedirler (EK-3).

2.2. Tektonik

Toridler ana tektonik birligi içerisinde yer alan inceleme alanı, Doğu Toroslar'ın batısında yoğun naplanma

olaylarının gerçekleştiği Aladaglar'ın hemen doğusunda bulunmaktadır. Bilindiği gibi Toros silsilesi içerisinde, Özgül (1976) tarafından farklı havza şartlarını yansıtan birlikler ayırtedilmiştir. Çalışma alanında yüzeyleyen İnfraCambriyen-Miyosen zaman aralığında çökelmiş otokton konumlu birimler, sözkonusu birliklerden Geyikdağı birliğine; Maestrichtiyen'de bölgeye yerleşen allokton konumlu ofiyolitik kayaçlar ise Bozkır birliğine dahil edilmiştir. Alpin ve Alpin öncesi tektonik hareketlerden etkilenen inceleme alanında, Alpin öncesi tektonik hareketlere ait sadece bir uyumsuzluk yüzeyi belirlenebilmiştir. Muhtemelen Hersiniyen orojenezine bağlı olarak ortaya çıkan bu uyumsuzluk yüzeyi, çok küçük bir alanda yüzeyleyen Üst Permiyen yaşlı karbonat kayaçlar ile daha yaşlı birimler arasında görülür (EK-3). Inceleme alanının diğer kesimlerinde ise, esas olarak Alt Paleozoyik yaşlı birimler yayılım gösterdiginden Alpin ve Alpin öncesi hareketleri birbirinden ayırdetme imkânı yoktur.

Inceleme alanında görülen kıvrımlı, kırıkçı, bindirmeli, devrik yapılar esas alınacak olursa, bunların Neo-Tetis'in evrimiyle ilgili Erken-Orta Alpin hareketleri sonucunda ortaya çıktıkları anlaşılır. Bunur yanısıra, Geyikdağı birliği içerisinde Kambriyen'den günümüze kadar epirogenik hareketlerin de etkili olduğu bilinmektedir (Özgül, 1976). Alpin hareketlerin kesin delilleri arasında iki uyumsuzluk yüzeyi ile ofiyolitik kayaçların kıtalar üzerine yerleşmesine ilişkin bir bindirme yermektedir. Anılan uyumsuzluklardan ilki Paleozoyik'ten Mesozoyik'e geçişte görülür. Muhtemel yaşı Jura-Alt Kretnase olan birimler, Paleozoyik ve Paleozoyik öncesi oluşmuş tüm birimler üzerine açılı bir uyumsuzlukla gelmektedir (EK-3). Inceleme alanı ve yakın çevresinde Üst Kretase sonunda gerçekleşen ve Alp Orijenezinin Laramiyan fazıyla ilgili kompresyonel streslerle ortaya çıktıkları tahmin edilen yoğun kıvrımlanma, naplanma, kırılma, bindirme ve devrilme hareketleri sırasında Neo-Tetis okyanus tabanına ait ofiyolitik kayaçlar, kıtalar üzerine doğru

itimerek, o günün paleotopografyasında yüzeyleyen bütün birimlerin üzerine bindirmiştir. Benzer şekilde Anatolid-Torid Platformu ve Arabistan Platformu'nun kuzey kesimleri Üst Kretase boyunca yaygın ofiyolit bindirmelerine sahne olmuştur (Ketin, 1983). Adı geçen tektonik hareketlerden sonra büyük ölçüde karasallaşan inceleme alanında hızlı bir aşınma dönemi başlamış ve Miyosen'e kadar devam etmiştir. Miyosen'de kuzeye doğru kollar şeklinde ilerleyen Adana havzasıyla ilgili denizel ortamların transgresyon ürünleri olan konglomera ve marnlar (Ilhan, 1976), ofiyolitler dahil Paleozoyik ve Mesozoyik yaşlı tüm birimler üzerine açılı bir uyumsuzlukla çökelmiştir (EK-3). Bu uyumsuzluk yüzeyi, Alpin hareketleriyle ilişkili olarak ortaya çıkan uyumsuzluklardan ikincisini oluşturmaktadır.

Yatay veya yataya yakın bir konumda izlenen konglomera ve marnlar, henüz orojenik faaliyetlerden etkilenmemiştir. Ancak, inceleme alanının dışında sözkonusu birimlerin epirojenik hareketlere bağlı olarak gerçekleşen blok faylanmalarla önemli ölçüde yükseldikleri bilinmektedir.

Inceleme alanının yaklaşık olarak 50 km kadar batısında bulanan sol yanal atımlı Ecemış Fayı, hemen onun doğusunda Aladağlar yöresinde görülen naplar ve ofiyolit bindirmeleri ile blok fayları, yakın yöredeki başlıca tektonik yapıları oluştururlar. Bunlardan naplar, ofiyolit bindirmeleri ve blok fayların büyük bir bölümü Üst Kretase'de gerçekleşmiş hareketlerle ilgilidir. Buna karşılık, Ecemış Fayı ise, Lütesiyen sonrasında ortaya çıkmıştır.

Bu ana tektonik yapıların oluşumunu sağlayan kuvvetler, inceleme alanında da etkili olmuştur. Bölgesel olarak Üst Kretase sonunda karasal hâle geçen çalışma sahasında Alpin Orijenezi'ne ilişkin tektonik hareketlerle kıvrımlı, kırıklı, naplı, bindirmeli ve devrik yapılar ortaya çıkmıştır (EK-1).

2.2.1. Kırımlar

Inceleme alanında etkili olan tektonik hareketler sırasında büyük ölçekli kıırımlardan ziyade, formasyon içi kıırım niteliginde küçük ölçekli çok sayıda kıırımlar meydana gelmiştir. Bu kıırımlar, önem derecelerine göre sırasıyla anlatılacaktır.

2.2.1.1. Büyük Ölçekli Kıırımlar

Eksenleri genellikle KD-GB, KB-GD ve K-G yönünde uzanan büyük ölçekli kıırımlar aşağıda önem sıralarına göre anlatılmışlardır.

- Çökçanınbaşı ve Kurudere senklinalleri

Bu senklinaller toplam 5 km'yi aşan eksen uzunluklarıyla inceleme alanının en önemli kıırımlarını oluştururlar (EK-1). Başlangıçta birbirinin devamı olan bu senklinaller, daha sonra etkili olan tektonik hareketler sırasında Cinnidere fayı ile kesilerek 675 m sol yönlü bir atıma uğramıştır. KB-GD yönünde uzanan senklinallerden birincisi, kuzeybatıda Karakızolugu Gedik Sırtı'ndan başlayarak, güneydoguya doğru Çökçanınbaşı Tepe'nin güneyinden geçerek Yedigöz Mevkii'ne, oradan da Cinni Dere'ye kadar uzanır. İkincisi ise Cinni Dere'den başlar, Kuru Dere yatağını takibederek Cilbeher Tepe'nin kuzeyinden geçer ve yaklaşık 500 m sonra çalışma alanının dışına çıkar (EK-1). Bu senklinallerin oluşumları sırasında Çökçanınbaşı Tepe yakınında yer alan İnfraCambriyen-Alt Paleozoyik ve Jura-Alt Kretase yaşlı birimler birlikte kıırımlanmışlardır. Bu durum yukarıda zikredilen kıırımın, Jura-Alt Kretase'den daha sonra oluştuguna işaret eder. İnfraCambriyen yaşlı birimler içerisinde görülen Kurudere senklinalinin güney kanadı Cilbeher Tepe, kuzey kanadı ise Tozlu Tepe bindirmeleri-

nin altında kalmaktadır. Her iki kesimde de bindirme yüzeyinin altında kalan Infrakambriyen yaşlı Sicimindagi formasyonuna ait birimler ile üzerinde kalan Karaçattepe ve Kartalkaya formasyonlarına ait Alt Paleozoyik yaşlı birimler farklı tabaka konumlarına sahip olup, farklı kıvrım yapıları sergilemektedirler (EK-1 ve 2). Özellikle Tozlutepe bindirme yüzeyinin üzerinde kalan birimler KD-GB uzanımlı yaklaşık 1 km uzunlukunda her iki yönde de dalılımlı bir senkinal yapısı sunmaktadır. O halde, bindirme olayı Çokçanınbaşı ve Kurudere senklinallerinin oluşumundan sonra gerçekleşmiş olmalıdır. Bu veriler, inceleme alanında etkili olan önemli tektonik hareketlerin Üst Kretase ve daha sonraki zaman dilimlerinde meydana geldiği görüşünü desteklemektedir.

- Mağaradere antiklinal ve senkinalı

Inceleme alanının kuzeybatı kesiminde yaklaşık olarak birbirlerine paralel bir şekilde uzanan Mağaradere antiklinal ve senkinalı Üst Kambriyen-Ordovisiyen yaşlı Kartalkaya formasyonuna ait şist-filit türü kayaçlar içerisinde izlemektedir (EK-1 ve 2). GB-KD yönünde uzanan heriki kıvrımdan Mağaradere antiklinalının eksen uzunluğu yaklaşık olarak 5 km'dir. Güneybatıda Karakızolu Dere'sinin 500 m doğusundan başlayan, daha sonra kuzeydoğu yönünde Mağara Dere'yi keserek Şehitler Mezarlığı'na, oradan da kuzeydoguya doğru bükülen Mağaradere antiklinalı bundan sonra Demircolugu Mevkii üzerinden Menteş Dere'sinin 500 m kuzeydogusuna kadar uzanır. Şehitler Mezarlığı yakınında bu antiklinalın kuzey kanadı, Miyosen yaşlı konglomeralar ve Kuvaterner yaşlı alüvyonların altında kalmaktadır. Magaredere antiklinalı ile birlikte gelişmiş olan 3,5 km uzunlugundaki Mağaradere senkinalı, Karakızolu Dere'si'nin 500 m doğusundan başlar ve kuzeydoğu yönünde Magara Dere'yi keser, biraz daha kuzeydoguya doğru bükülerek Degirmen Dere yakınına kadar uzanır.

- Çulfaseki antiklinalı

İnceleme alanının doğu kesiminde yeralan 4 km uzunlugundaki Çulfaseki antiklinalı, İnfraCambriyen yaşlı Sicimindagi formasyonuna ait birimler içerisinde gelişmiştir. Attepe'nin yaklaşık olarak 650 m kuzeybatısında bir fay hattından başlamakta, GB-KD yönünde Cinnikoyak Dere'yi keserek Tahtafırlatan Tepe'ye doğru uzanmaktadır. Antiklinalın dalımı kuzeydoguya doğrudur (EK- 1 ve 2).

- Cinnikoyak senkinalı

Bu senkinal, inceleme alanının doğu kesiminde İnfraCambriyen yaşlı Sicimindagi formasyonuna ait birimler içerisinde görülür. GB-KD yönünde yaklaşık olarak Cinnikoyak Dere'ye paralel bir şekilde uzanan 3 km uzunlugundaki Cinikoyak senkinalı, Ümmügülsüm Dere'de sağ yönlü doğrultu atımlı bir fay tarafından 400 m atıma ugratılmıştır. Güneybatı yönündeki uzanımı Tozludere fayı ile kesiklige ugrayan senkinal, kuzeydoguda Abacı Sırtı mevkiinde yeralan bir fayla sınırlanmaktadır (EK-1).

- Karakızoluğu senkinalı

İnceleme alanının batısında Karakızoluğu formasyonuna ait muhtemelen Jura-Alt Kretase yaşlı metakonglomeralar içerisinde gelişen bu senkinal, GB-KD yönünde 2 km'lik bir uzanıma sahiptir. Senkinal doğrultusu boyunca iki yönlü bir dalım göstermektedir (EK-1 ve 2).

- Mağarabelitepe antiklinalı

Yaklaşık olarak K-G yönünde uzanan ve 2 km uzunluğa sahip olan Magarabelitepe antiklinalı, dom yapıları bir antiklinalıdır. Dom, farklı doğrultularda gelişmiş birçok fay ve kırık sistemi ile katedilerek parçalanmıştır. Bu

yapıyla ilgili olarak Magarabeli Tepe'den Kara-magrabeli'ne kadar izlenen tüm birimler KD'ya; Karançukuru ofiyolit bindirme hattına kadar izlenen birimler ise, GB'ya doğru eğimlidir. Aynı şekilde Magarabeli Tepe'nin kuzeyindeki birimler K-KD ve KB yönünde; güneyindeki birimler ise G-GB ve GD yönünde eğimlidir.

2.2.1.2. Küçük Ölçekli Kırımlar

Esas olarak şist, fillit ve kalksist gibi sünec davranışlı birimler içerisinde görülen küçük ölçekli kıvrımları arasında simetrik, asimetrik, yatık, devrik antiklinal ve senklinaller, izoklinal ve disharmonik kıvrımlar, W, M, S ve Z tipi kıvrımlar, antiklinoryum ve senklinoryum yapıları ile akma kıvrımları son derece yaygındır (Şekil 2.18). Deginilen kıvrımların oluşumları sırasında şist ve fillit türü kayaçlar içerisinde yer alan rijit davranışlı metakumtaşı, metakuvarsit, metasilttaşrı ve rekristalize kireçtaşlarına ait lamina, bant veya tabakalarda; kesme klivajları, yalancı tabakanmalar, budinajlar, akma ve kopma yapıları ile bazı kıvrım kanatlarında incelmeler, eksen bölgelerinde de kalınlaşmalar ortaya çıkmıştır. Sünec davranışlı kesimlerde de yaygın olarak eksen düzlemi klivajı veya yapraklanmalar gelişmiştir.

İnceleme alanında kıvrım tektoniğini aydınlatmak amacıyla Infrakambriyen, Alt-Orta Kambriyen ve Üst Kambriyen-Ordovisiyen yaşlı; Sicimindagi, Karaçattepe ve Kartalkaya formasyonlarına ait tabaka ölçüleri esas alınarak doku diyagramları hazırlanmıştır (Şekil 2.19, 2.20 ve 2.21). Alınan ölçülere göre diyagramları yapılan tüm birimler, muhtemelen kesişen eksen sistemlerine sahip kıvrımlanma geçirmişlerdir. Bu sebeple tabaka ölçümülerine ait doku diyagramlarında dom ve küvet yapılarına has küçük kuşak simetrisi elde edilmektedir. Herbir birimden ayrı ayrı yapılmış olan doku diyagramlarında bile

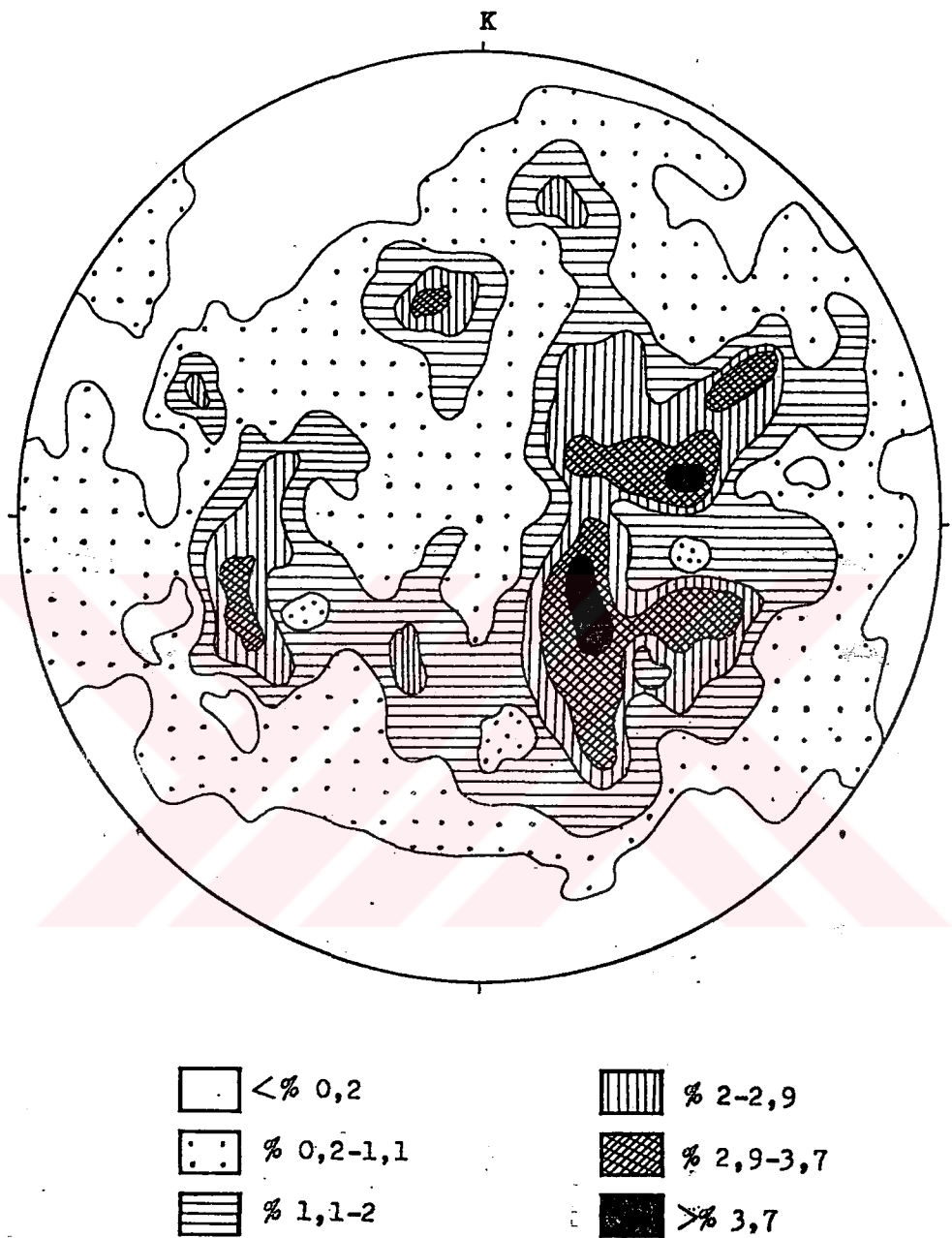
benzer tektonik stilin (konik kıvrım) varlığı bariz olarak görülebilmektedir.



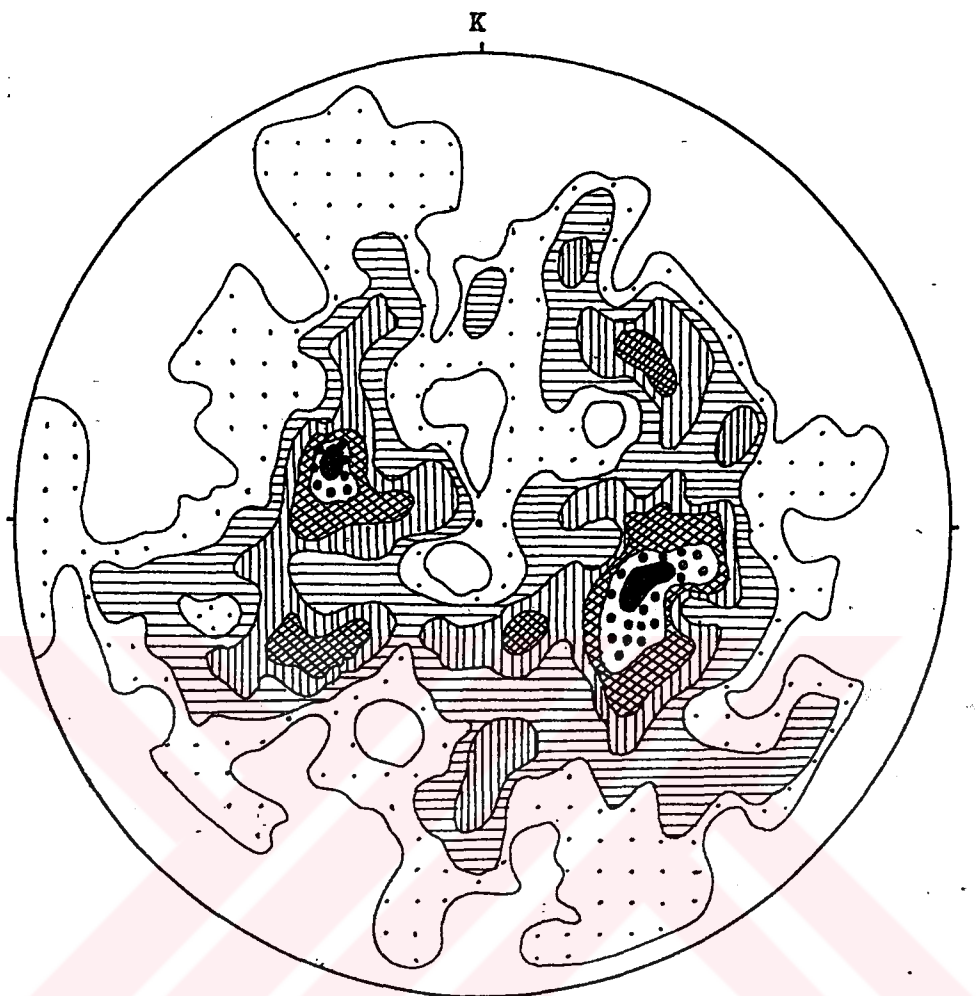
Şekil 2.18. Kılıçkaya yöresinde Üst Kambriyen-Ordovisiyen yaşlı Kartalkaya formasyonuna ait kalkşist (K.Ş.) ve şistler (Ş.) içerisinde görülen Z ve S tipi kıvrım yapıları.

2.2.2. Devrik yapılar

Yörede etkili olan tektonik hareketlerle birlikte gerçekleşen kıvrımlı, kırıkçı, bindirmeli yapıların yanında, devrik yapılar da gelişmiştir. İnceleme alanında Çaldağı, Ovacık Tepe güneydoğusu ve Küçüktahtafırlatan Tepe kuzeybatısında olmak üzere üç ayrı yerde devrik yapı belirlenmiştir. Bunlardan Çaldağı ve Ovacık Tepe yakınında etkili olan devrilme hareketleri sonucunda, İnfraCambriyen-Alt Paleozoyik yaşlı Sicimindağı, Karaçattepe ve Kartalkaya formasyonlarına ait birimler, Küçüktahtafırlatan Tepe civarında ise sadece Alt Paleo-

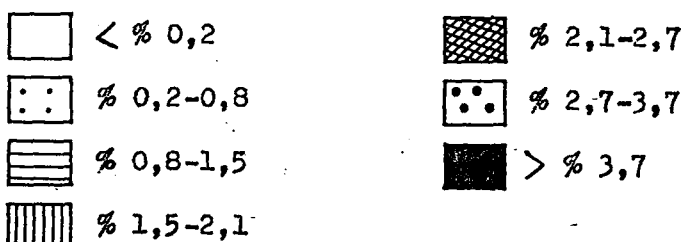


Şekil 2.19. Sicimindagi formasyonuna ait birimlerden alınan 232 adet tabaka ölçüsü için hazırlanan doku diyagramı.



| | | | |
|--|-----------|--|-----------|
| | < % 0,4 | | % 2,5-3,1 |
| | % 0,4-1,3 | | % 3,1-4 |
| | % 1,3-2,5 | | >%4 |

Şekil 2.20. Karaçattepe formasyonuna ait birimlerden alınan 113 tabaka ölçüsü için hazırlanan doku diyagramı.



Şekil 2.21. Kartalkaya formasyonuna ait 305 tabaka ölçüsü için hazırlanan doku diyagramı.

zoyik yaşı Karaçattepe ve Kartalkaya formasyonuna ait birimler devrik bir konum kazanmışlardır (EK-1 ve 2).

2.2.3. Kırıkçı yapılar

Alpin ve Alpin öncesi tektonik hareketler sırasında, kumtaşı, kireçtaşları ve konglomera gibi kompeten birimlerin varlığı inceleme alanında kıvrım tektoniginden çok, kırık tektonığının etkili olmasına imkân sağlamıştır (EK-1). Zira, yaklaşık olarak 146 km^2 'lik küçük bir alanı kapsayan inceleme alanında küçük ve büyük ölçekli olmak üzere ikiyüze yakın fay, bazı bindirme yapıları, büyük fayların sınırladığı bloklu yapılar ile birçok eklem sistemi belirlenmiştir. Yörede belirlenen bu yapıların Alpin veya Alpin öncesi hareketlerden hangisine ait olduğu, İnfraCambriyen ve Paleozoyik yaşı birimlerin geniş alanlar kaplaması nedeniyle ayırtedilememektedir. Ancak, bütün Toroslar'da olduğu gibi bu yapıların esas olarak Alpin hareketleri sonucunda ortaya çıktıkları kabul edilmektedir.

2.2.3.1. Çatlaklar

Inceleme alanında yüzeyleyen kumtaşı ve kireçtaşları gibi rijit davranışlı birimlerde çok evreli deformasyonlarla ilgili olarak değişik doğrultularda gelişmiş düzgün çatlak sistemleri ortaya çıkmıştır. İnfraCambriyen yaşı Sicimindagi formasyonuna ait metakuvarsitler ile Alt-Orta Cambriyen yaşı Karaçattepe formasyonuna ait rekristalize kireçtaşları için kontur diyagramları hazırlanmıştır. Metakuvarsitlerden alınan 300 adet çatlak ölçüsü için hazırlanan kontur diyagramından elde edilen hakim çatlak düzlemlerinin konumu, birinci grup çatlaklar için K89D / 88GD, ikinci grup çatlaklar için K 14D / 70 KB ve K2B / 70 KD'dur. Rekristalize kireçtaşlarından alınan

200 adet çatlak ölçüsü için hazırlanan kontur diyagramından elde edilen hakim çatlak düzlemlerinin konumu, birinci grup çatlaklar için K30D / 84GD, ikinci grup çatlaklar için K46B / 58GB ve K82B/40KD'dur (Şekil 2.22 ve 2.23). Her iki birimde de birinci grup çatlaklar, KD doğrultulu ve GD eğimlidir. Bu durum her iki birimin birlikte deformasyona uğradıklarını göstermektedir.

2.2.3.2. Faylar

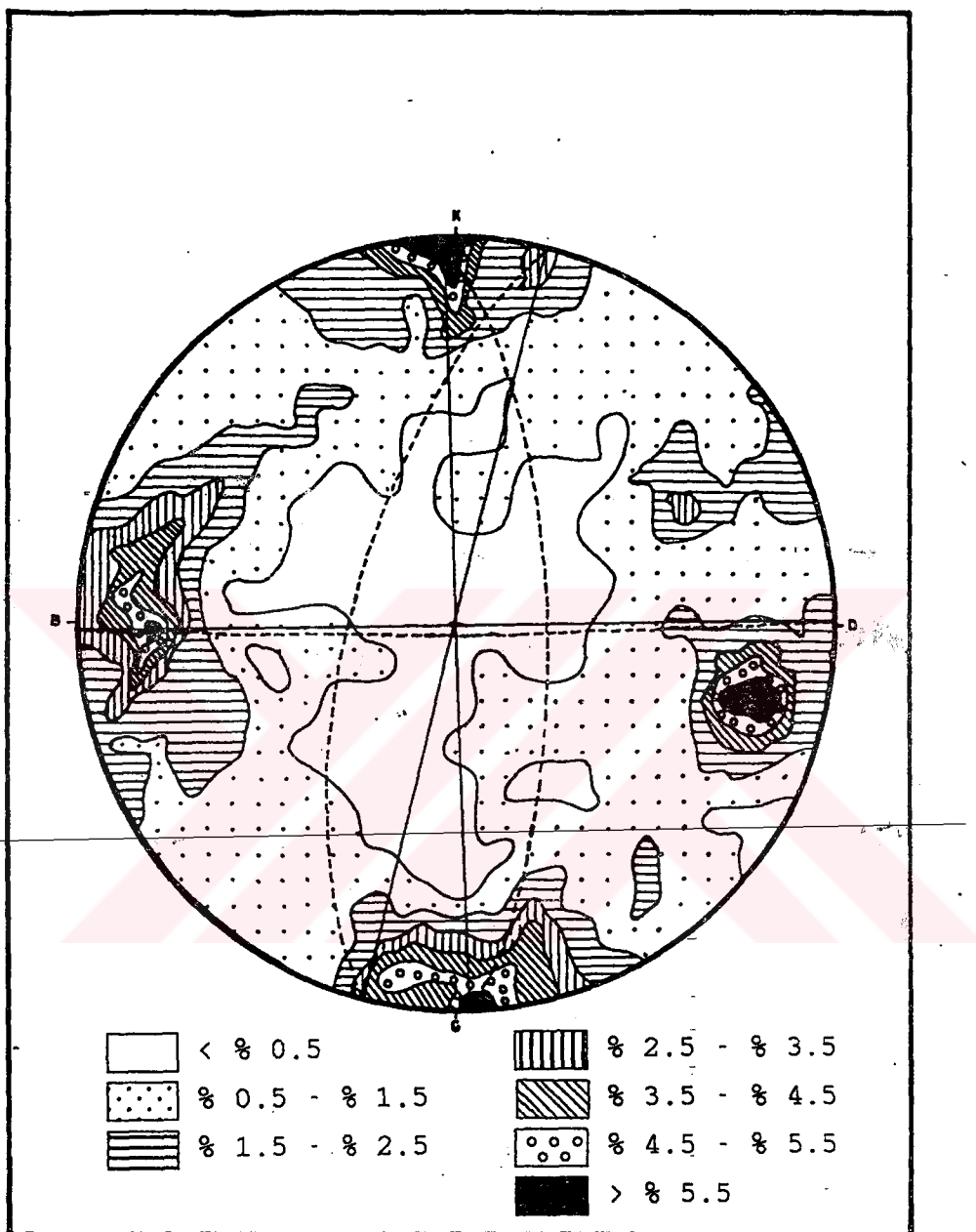
Çalışma alanında belirlenen çok sayıda fay, oluşum mekanizmalarına göre normal, ters ve doğrultu atımlı faylar olmak üzere üç grup altında incelenmiştir.

2.2.3.2.1. Normal faylar

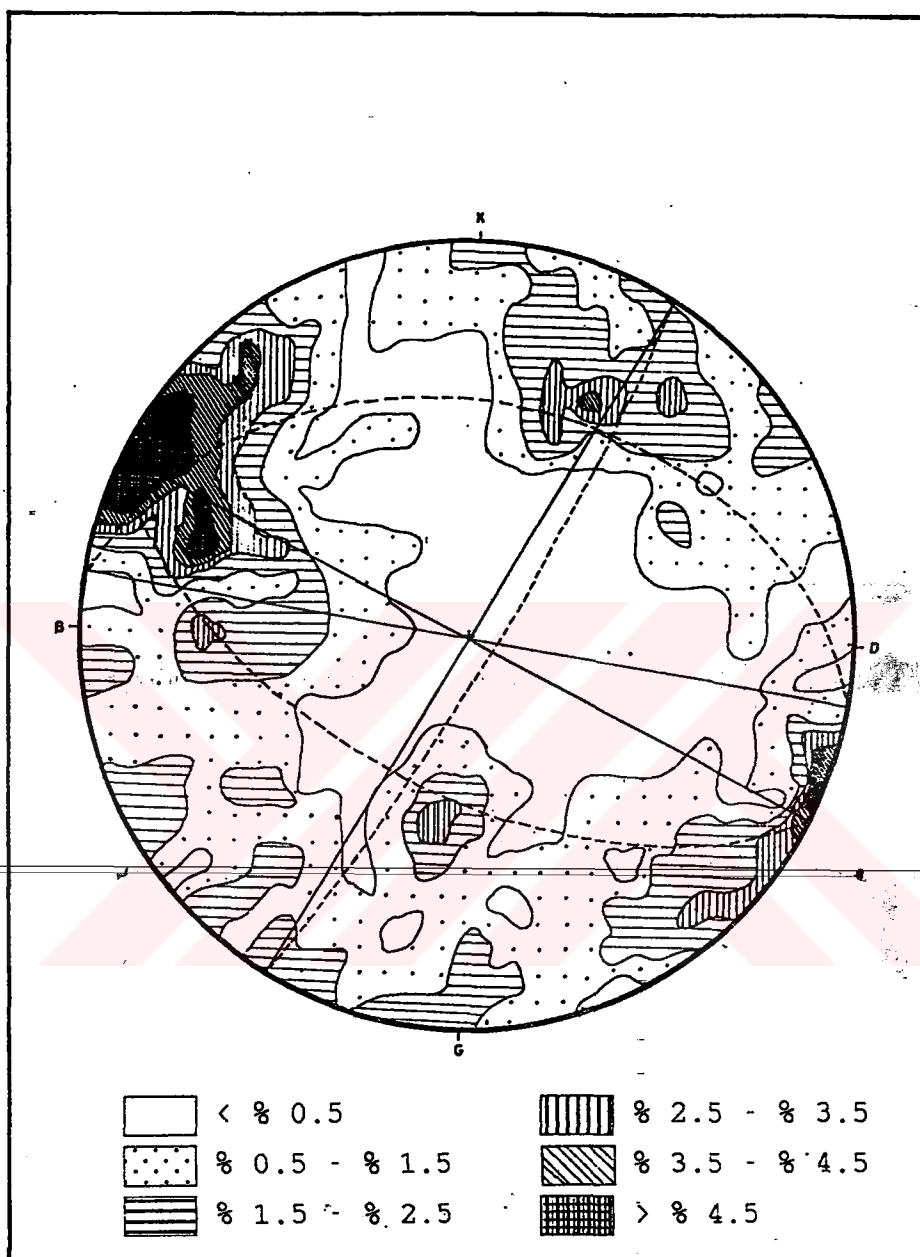
Normal faylar, yörede en fazla gözlenen fay türünü oluşturmaktadır. Cevherli çözeltilerin göçü ve cevher yerleşimi açısından da büyük bir öneme sahip olan bu faylar, farklı doğrultularda gelişmiş olup, yer yer küçük graben ve horst yapılarını sınırlarlar. İnceleme alanının çogu yerinde normal fayların doğrultu atımlı faylarla kesildikleri görülür (EK-1). Bu faylardan önemli olanları aşağıda kısaca tanımlanmıştır.

-Attepe fayı-1

İnceleme alanındaki demir cevherleşmesi açısından büyük bir öneme sahip olan Attepe fayı-1, KB-GD yönünde uzanmaktadır. Her iki yönde de doğrultu atımlı faylarla sınırlanan Attepe fayı, GD'da Ümmügülsüm Dere kavşağından başlayarak KB yönünde Attepe demir yatağına, oradan da Magarabeli demir yataklarının yaklaşık olarak 500 m kuzeydogusuna kadar uzanmaktadır (EK-1). Eğim atımlı normal



Şekil 2.22. Sicimindagi formasyonuna ait metakum-taşlarından alınan 300 çatlak ölçüsü için hazırlanmış kontur diyagramı.



Şekil 2.23. Karaçatıpe formasyonuna ait birimlerden alınan 200 çatlak ölçüsü için hazırlanmış kontur diyagramı.

bir fay şeklinde izlenen yaklaşık 4,5 km uzunlukundaki Attepe fayı, Attepe demir yatağının GD sınırında ve yatağın yaklaşık KB'sında doğrultu atımlı faylar ile önce sol, sonra da sağ yönlü atımlara ugramıştır. Attepe demir yatağının bulunduğu kesimde küçük bir graben oluşturan Attepe fayı, esasında birbirine paralel bir şekilde uzanan küçük faylarla birlikte bir fay zonu hüviyetine sahiptir. Burada yatağın doğu kesimini sınırlayan ana fay, $70-80^{\circ}$ lik açılarla GB'ya doğru eğimlidir. Aynı fay Mağarabeli demir yatağında $50-55^{\circ}$ ile yine GB'ya doğru eğimlidir. Yani kuzeye doğru gidildikçe fayın eğimi önemli ölçüde azalmaktadır.

-Kızıl fayı

Çalışma alanının kuzeyinde yeralan Kızıl fayı, kavisli bir yapıya sahiptir ve iç bükey tarafı güneye doğru eğimlidir. Doğu'da, Uyuzpinarı'nın hemen kuzeydoğusundan başlayan bu fay batıya doğru bükülerken Kızıl demir yatağına ve Degirmendere yatağının yaklaşık 100 m güneybatısına kadar uzanır. Uzunluğu 2,5 km'yi bulan eğim atımlı normal fay niteligideki Kızıl fayının her iki ucu eğim atımlı normal faylar tarafından sınırlandırılmıştır. Ayrıca, Kızıl demir yatağının doğu ve batı kesimlerinde birçok doğrultu atımlı fay tarafından atıma uğratılan Kızıl fayı, doğu ucundan Kızıl yatağının bulunduğu yere kadar $55-60^{\circ}$ lik açılarla güneye doğru eğimli normal bir fay, buradan itibaren Degirmendere yatağının batısına kadar da eğim atımlı ters bir fay şeklinde izlenmektedir. Kızıl ve Degirmendere yataklarının oluşmasına imkân hazırlayan Kızıl fayı, inceleme alanında yeralan önemli cevher taşıyıcı kanallardan ikincisini oluşturur (EK-1).

-Kartalkaya fayı

Inceleme alanının kuzeydoğu kesiminde yeralan bu fay,

GB-KD yönünde uzanmaktadır. Uyuzpinarı'nın hemen kuzeydoğu kesiminden başlayarak kuzeydoğuya doğru Kartalkaya yatağına ve oradan da Kızlap Dere'ye kadar uzanan Kartalkaya fayı, buradan çalışma alanının dışına çıkmaktadır. Saha içerisindeki uzunluğu yaklaşık 2,5 km kadardır. Kartalkaya demir yatağı yanında bu faya 1 km uzunlığında ikinci bir fay daha eşlik etmektedir. Sözkonusu fayların herikisi de 70-80° lik açılarla GD'ya doğru eğimli normal faylar olup, KB-GD yönünde uzanan doğrultu ve eğim atımlı genç faylar tarafından kesilmişlerdir (EK-1).

- Glipos-Tozludere fayı

KB-GD yönünde uzanan bu faylar, başlangıçta birbirinin devamı şeklinde olup, daha sonra etkili olan tektonik hareketler sırasında Cinnidere fayı tarafından sol yanal yönde yaklaşık olarak 200 m'lik bir atıma uğratılmıştır. Doğu Çaldağı zirvesinden başlayan Tozludere fayı, KB'ya doğru Tozlu dere yatağını takibederek Cinnidere fayına ulaşır. Buradan itibaren yatağı boyunca uzandığı Glipos Dere'nin adını alarak kuzeybatı yönünde Magara Dere'ye kadar devam eder. Güneydoğuda doğrultu atımlı bir fay, kuzeybatıda ise düşey atımlı bir fay tarafından sınırlanan Glipos ve Tozludere fayları, düşey atımlı faylardır. Fayların toplam uzunlukları 7 km civarındadır (EK-1 ve 2).

- Akeşme fayı

Güneyde Yedigöz Mevkii'nin 500 m kuzeybatısından başlayan Akeşme fayı, Akeşme Dere yatağını takibederek yaklaşık K-G yönünde Beltepe'nin 500 m kuzeybatısına kadar uzanır. Düşey atımlı bir fay olduğu tahmin edilen, yaklaşık 5 km uzunlığundaki Akeşme fayı her iki yönde de faylarla sınırlanmaktadır (EK-1 ve 2).

- Küçüktahtafırlatan fayı

Yaklaşık D-B yönünde uzanan 3 km uzunluğundaki bu fay, batıda Uyuzpinarı Dere'sinden başlayarak doğuya doğru Küçüktahtafırlatan Tepe'nin 500 m kuzeyinden geçmekte, 750 m sonra da eğim atımlı normal bir fayla sınırlanmaktadır. KB-GD ve KD-GB yönünde uzanan doğrultu atımlı genç faylar tarafından kesilerek atıma uğratılan bu fay, eğim atımlı normal bir faydır. Fay, yaklaşık 65-70°'lik açılarla K ve KB'ya doğru eğimlidir. Bu faylanmayla birlikte aynı kesimde bir de devrik yapı ortaya çıkmıştır (EK-1 ve 2).

2.2.3.2.2. Doğrultu atımlı faylar

Genellikle KB-GD ve KD-GB yönünde uzanan doğrultu atımlı faylar, inceleme alanında belirlenen diğer fay türlerinden daha genç olup, birçok yerde onları keserek atıma uğratırlar. Bir kısmı oblik atımlı olan söz konusu fayların uzunlukları çoğunuğu 1 km'nin altındadır. Saha içerisindeki doğrultu atımlı fayların en önemlisi Cinnidere fayıdır. KD-GB yönünde uzanan bu fay, yaklaşık olarak 10 km uzunlugundadır. Güneyde Yedigöz Mevkii yakınlarından çalışma alanına giren Cinnidere fayı kuzeydoğu yönünde önce Cinnidere, sonra da Cinnikoyak ve Başyurt Dere yataklarını takibederek 2441 rakımlı tepenin 300 m güneydogusundan inceleme alanının dışına çıkmaktadır. Cinnidere fayı, Yedigöz Mevkii yanında birbirinin devamı olan Çokcanınbaşı ve Kurudere senkinal eksenlerini 675 m sol yönde atıma uğratarak birbirinden ayırmıştır. Kuzeydoğuya doğru, yine Glipos-Tozludere faylarını 200 m'lik sol yanal yönlü bir atıma uğratmıştır. Kuzeydoğuya doğru giderek azalan atım miktarı, Ümmügülsüm Dere kavşağında 75 m kadardır (EK-1).

Cinnidere fayının da kuzeydoğu kesiminde daha genç sağ ve sol yönlü doğrultu atımlı faylarla kesilerek 25

ile 60 m arasında değişen atımlara ugratıldığı görülür. Uzunluğu 2,5-3 km arasında olan genç faylar KB-GD yönünde gelişmişlerdir. Bunlardan güneybatıdan kuzey-doguya doğru izlenen oblik atımlı ilk ikisi sağ yönlüdür. Bunlardan birincisi Attepe'nin 750 m, ikincisi ise Sicimindağı'nın 400 m kuzeydoğusundan geçmektedir. Küçüktahtaflıtan Tepe'nin batısında kalan diğer doğrultu atımlı faylardan birincisi sol, ikincisi ise sağ yönlüdür (EK-1).

Yine inceleme alanının güneydoğusunda Çaldağı zirvesinden Oruçlu Dere'ye doğru uzanan KB-GD yönünde gelişmiş sağ ve sol yönlü doğrultu atımlı faylar yer almaktadır (EK-1). Ayrıca, çalışma alanının güneybatı kesiminde Katrançukuru ofiyolit bindirme kuşağıını Çataldaş Tepe yakınında KB-GD yönünde keserek 150 m atıma ugratan sol yönlü doğrultu atımlı bir fay izlenmektedir. Belirtilen verilerin ışığı altında bu fayların Üst Kretase'de gerçekleşen bindirme olayından daha sonra meydana geldikleri söylenebilir.

2.2.3.2.3. Ters faylar ve bindirme fayları

Yörede pek yaygın olmamakla birlikte uzunluğu 1 km'nin üzerinde olan üç ters fay tesbit edilmiştir. Bunlar doğudan batıya doğru Çaldağı, Attepe-2 ve Beltepe faylarıdır. Çaldağı fayı KD-GB yönünde, diğer iki fay ise KB-GD yönünde uzanmaktadır (EK-1).

Inceleme alanında okyanus tabanına ait kayaçların kıtalar üzerine itilmesi sonucu ortaya çıkan ofiyolitik bindirme ve kita içi bindirme olmak üzere jenetik açıdan iki tür bindirme söz konusudur. Bunlardan kita içi bindirmeler, fazla atımları olmayan ekaylanmalar şeklinde dirler (EK-1).

- Katrançukuru ofiyolit bindirmesi

Aladag'ların doğusunda Pozantı'dan başlayarak Faraşa'ya kadar uzanan 120 km'lik bir ofiyolitik kayaç kuşağı izlenmektedir. Bozkır birligine dahil edilen allokton konumlu bu kuşağın, inceleme alanı içerisinde gi- ren, yaklaşık K-G uzanımlı 11 km'lik doğu sınırı, Katrançukuru ofiyolit bindirmesi olarak isimlendirilmiştir. Sözkonusu bindirme kuşagının K ve G yönündeki uzantısı çalışma alanı dışında kilometrelerce devam etmektedir.

Inceleme alanının batı kesiminde yüzeyleyen ve Delialişağı ofiyoliti şeklinde isimlendirilen Neo-Tetis okyanus tabanına ait ofiyolitik diziye ait kayaçların Üst Kretase'de (Maestrichtyen) bölgeye yerleşmesi ile ortaya çıkan ofiyolit bindirme kuşağı, güneyde Ovacık Tepe'nin 1,5 km güneyinden inceleme alanına girmektedir. Kuzeye doğru Ovacık, Çataldaş ve Katrançukuru tepelerinin doğusundan geçerek Koruyeri Tepe'nin 300 m güneyinde Miyosen yaşı Zebil formasyonuna ait konglomeraların altında devam etmektedir. Buradan itibaren Menteş Dere-sine kadar örtülü durumda bulunan bindirme hattının uzanımı saha gözlemleri dikkate alınarak belirlenmiştir. KD-GB ve KB-GD yönünde uzanan doğrultu atımlı faylarla kesilerek atıma ugratılan bindirme hattı boyunca breşik bir yapı kazanan ofiyolitik kayaçlar, bindirmeye paralel bir kuşak boyunca önemli ölçüde serpantinleşmişlerdir. Inceleme alanında ortalama 30-35°'lik bir açıyla batıya doğru eğimli olan bindirme düzlemi boyunca İnfraCambriyen ve Alt Paleozoyik yaşı birimler ile ofiyolitik kayaçlar ve bazen de pelajik kireçtaşları yanyana gelmişlerdir (Ek 1). Hacet Tepe kuzeyinde İnfraCambriyen yaşı birimler üzerinde yer alan allokton konumlu pelajik kireçtaşı blokları dikkate alınırsa, ofiyolit bindirme kuşagının geçmiş zamanlarda daha doğudan geçtiği anlaşılmaktadır. Ancak, zamanla etkili olan aşınma olayları sonucunda bugünkü konumunu kazanmıştır.

- Tozolutepe-Cilbeher-tepe-Ziyarettepe ekayları

Inceleme alanının güney kesiminde yeralan Infrakambriyen yaşlı Sicimindagi formasyonuna ait metakuvarsitler üzerine Alt Paleozoyik yaşlı Karaçattepe ve Kartalkaya formasyonlarına ait karbonatlar ile şist-filit türü kayaç toplulukları faylı bir dokanakla gelmektedir. Tozlu, Cilbeher ve Ziyaret Tepe'de Infrakambriyen yaşlı birimler üzerinde sanki bir şapka şeklinde yeralan Alt Paleozoyik yaşlı birimler, başlangıçta Infrakambriyenin örten büyükçe bir mostranın kalıntılarıdır. Bu birimlerin faylı dokanakları boyunca, özellikle Ziyaret Tepe'nin doğusu ve Cilbeher Tepe'nin kuzey kesimlerinde olmak üzere, rijit davranışlı metakuvarsit ve kireçli dolomitterde breşleşmeler görülür. Cilbeher ve Tozlu tepelerde bindirme yüzeyinin altında ve üstünde bulanan birimler birbirlerinden farklı tabaka konumlarına ve kıvrımlanmalara sahiptir. Ancak, Ziyaret Tepe'de birimler arasında kısmi bir uyumluluk sözkonusudur. Burada sadece tepenin doğu kesiminde yer alan metakuvarsit tabakalarının dikleştikleri görülür. Her üç yüzeylemeye de bindirme hatlarını genellikle KD-GB ve KB-GD yönünde keserek atıma ugratan doğrultu atımlı genç faylar yermaktadır (EK-1). Esas ekaylanma olayı, Infrakambriyen yaşlı birimler ile Alt Paleozoyik yaşlı birimler arasında olmakla birlikte, bindirme hareketleri sırasında Alt Paleozoyik yaşlı birimlerin birbirleri üzerinde kaymaları sırasında, ince dilimler şeklinde izlenen ekaylı yapılar ortaya çıkmıştır. Alt Paleozoyik yaşlı istifin, Infrakambriyen yaşlı metakuvarsitler üzerinde hareketleri esnasında altta bulanan Karaçattepe formasyonuna ait karbonat kayaçların bir bölümü sürtünmelere bağlı olarak mekanik parçalanmaya maruz kalmışlar ve böylece ilksel düzenlerini kaybetmişlerdir. Zira, Tozlu Tepe'de bindirme yüzeyi boyunca Alt-Orta Kambriyen yaşlı Karaçattepe formasyonuna ait üyelerden bazen Menteşdere, bazen Uyuzpınarı, bazen de her ikisi birden kaybolmaktadır (EK-1).

- Kızıltapurtepe ve Uykuçukuru bindirmeleri

Normal stratigrafik istifte birbirleriyle uyumlu olan Infrakambriyen yaşlı Sicimindagi formasyonuna ait metakuvarsitler ile Alt-Orta Kambriyen yaşlı Karaçattepe formasyonuna ait kireçli dolomit ve dolomitli kireçtaşları, Kızıltapur Tepe civarında bölgede etkili olan tektonik hareketler sırasında muhtemelen bulundukları yerde, formasyon sınırları boyunca küçük çaplı kayma hareketleri sonucunda namlı ve bindirmeli bir yapı kazanmışlardır (EK-1). Yer yer breşik zonlar veya kayma kertikleri izlenen bindirme hatları, çeşitli yönlerde gelişen doğrultu atılımlı genç faylarla kesilerek atılmıştır. Kızıltapur Tepe batısından gereken KB'ya doğru uzanan bindirme hattı, Uykuçukuru Tepe'nin 750 m GB'sında Akeşme fayı ile sınırlanmaktadır. Bu kesimde ve Kızıltapur Tepe'nin doğusunda bindirme hatları boyunca küçük çaplı demir cevher zuhurları izlenmektedir. Uykuçukuru Tepe'nin B ve GB'sında Kartalkaya formasyonuna ait Elmadağı üyesi, KD'dan GB'ya doğru itilerek Karaçattepe formasyonuna ait Uyuzpinarı üyesi üzerine bindirmiştir. Uykuçukuru Tepe'nin KB'sında da Kartalkaya formasyonunun Egrisögündere üyesi, ilk önce aynı formasyonun Elmadağı üyesi üzerine, biraz daha kuzeyde ise Karaçattepe formasyonunun Uyuzpinarı üyesi üzerine bindirmiştir (EK-1 ve 2).

2.2.4. Uyumsuzluklar

Inceleme alanında Alpin ve Alpin öncesi hareketleri karakterize eden üç uyumsuzluk yüzeyi belirlenmiştir. Bunlardan Alpin öncesi hareketlere ait uyumsuzluk, Üst Permiyen yaşlı birimlerin tabanında görülmektedir. Yörede çok küçük bir alanda mostra veren Üst Permiyen yaşlı Yiğlitepe formasyonu, Infrakambriyen, Kambriyen ve Ordovisiyen yaşlı birimler üzerine açılı bir uyumsuzlukla gel-

mıştır. Ancak, inceleme alanında yeterli gösterge olmadığı için bu ilişki sadece Infrakambriyen ile Üst Permiyen yaşlı birimler arasında görülebilmektedir. Üst Permiyenin tabanındaki uyumsuzluk, bölgesel ölçekli olup, yakın çevrede çalışma yapan birçok araştırmacı tarafından da belirlenmiştir. Feke (Ayhan, 1988), Saimbeyli (Tutkun, 1984), Tufanbeyli (Özgül ve dig., 1973) ve Gümüşali Köyü (Demirtaşlı, -1979) civarında inceleme yapan araştırmacılar bu uyumsuzluktan bahsetmektedirler. Fakat, bu kesimlerde sözkonusu uyumsuzluk; Üst Karbonifer ile Alt Permiyen'i içine alan bir stratigrafik boşluğa karşılık gelirken, inceleme alanında Ordovisiyen'in en üst kesimleri dahil Silüriyen, Devoniyen, Karbonifer ve Alt Permiyen'i içine alan bir stratigrafik boşluğa karşılık gelmektedir. Bu durumda iki ihtimal ortaya çıkmaktadır; inceleme alanında ya Ordovisiyen'den sonra Üst Permiyen'e kadar karasal ortam şartları hüküm sürmüştür, ya da yakın çevrede olduğu gibi Ordovisiyen'den sonra da denizel ortam şartları bir süre daha devam etmiş ve daha sonra Hersiniyen Orogenezine bağlı hareketlerle karasallaşan bölgede birimler, Ordovisiyen'e kadar aşınarak taşınmış, Üst Permiyen'de ise Yığlıtepe formasyonu, önemli ölçüde peneplenleşmiş olan bu paleotopografya üzerinde çökelmeye başlamıştır. Yakın çevredeki istiflerin Kambriyen'den Alt Karbonifer sonuna kadar devamlılığı ve bu uyumsuzluğun bölgesel nitelikte olduğu dikkate alınacak olursa, ikinci ihtimalin geçerliliği daha fazladır. Ancak, Ordovisiyen'den sonra çökelmenin ne kadar devam ettiği bilinmemektedir.

Alpin hareketleriyle ilgili uyumsuzluklardan birincisi, yöredeki ikinci uyumsuzluk yüzeyini oluşturmaktadır. Sözkonusu uyumsuzluk yüzeyi, Paleozoyik'ten Mesozoyik'e geçişte görülür. Burada muhtemelen Jura-Alt Kretase yaşlı Karakızoluğu formasyonuna ait metakonglomeralar, Paleozoyik ve Paleozoyik öncesi tüm birimler üzerine belirgin bir açılı uyumsuzlukla gelmektedir. Inceleme alanının batı kesiminde K-G uzanımlı bir

kuşak şeklinde görülen metakonglomeralar, yörede yüzey-leyen Üst Permiyen, Kambriyen, Infrakambriyen ve Ordovisiyen yaşlı birimlere ait bol miktarda çakıl ve blok kapsamaktadır. Uyumsuzluk sınırı boyunca demir zuhurları ile su kaynakları yer almaktadır. Bu uyumsuzluk, yörede Triyas'ı da içine alan bir stratigrafik boşluğa karşılık gelmektedir (EK-3).

Alpin hareketleriyle ilgili olarak ortaya çıkan uyumsuzluklardan ikincisi ise, Miyosen yaşlı Zebil formasyonun tabanında yer almaktadır. Alpin Orogenezi'nin Laramiyen-Saviyen fazlarıyla ilgili olarak ortaya çıktığı tahmin edilen bu uyumsuzluk yüzeyi, inceleme alanında Paleojen'i kapsayan bir stratigrafik boşluğa karşılık gelmektedir. (EK-3). Yörede Miyosen başlarından itibaren transgresif olarak Zebil formasyonu çökelmeye başlamıştır. Bir taban konglomerasıyla başlayan bu formasyon; Infrakambriyen, Paleozoyik ve Mesozoyik yaşlı birimler üzerine çok belirgin bir açılı uyumsuzlukla gelmektedir. Birim, bol miktarda Paleosen-Eosen, Permiyen ve daha yaşlı çökellere ait çakıl ve bloklar, Maestrichtiyen bindirme yaşına sahip ofiyolitik kayaç parçaları ile yer yer demir cevher parçalarını kapsamaktadır. Yoğun ofiyolit bindirmelerine sahne olan inceleme alanı ve yakın çevresinde gözlenemeyen Paleojen yaşlı birimlere ait kırıntıları elemanlar, çalışma alanının uzagında bulanan mostralardan kaynaklanmış olmalıdır.

3. MADEN YATAKLARI

3.1. Tarihçe

Yeryüzünde en bol bulunan madenlerden biri olan demirin bilinen tarihi, M.Ö. 4000 yıllarına kadar uzanmaktadır. Bu tarihlerde Mısır'da kullanılmış olan demirin meteorit olduğu ve altından daha büyük bir değer taşıdığı tahmin edilmektedir. Daha sonraki tarihlerde M.Ö. 2700 yıllarında Çin'de demirin ilk defa minerallerinden elde edildiği bilinmektedir (Baydur, 1984). Arkeoloji verileri, Türklerin demir ve bakırı Orta Asya'daki ilk vatanlarındanberi kullandıklarını göstermektedir (Engin, 1986).

Anadolu'da demir ile ilgili ilk çalışmaların M.Ö. 2000 yılında Etiler zamanında başladığı, Boğazköy kitabelerinden anlaşılmıştır (Oral, 1971). Demirin ilk defa Anadolu'da kullanıldığını ileri sürenler de vardır. Hatta manyetitin ismini, Manisa'nın bu devirdeki adından "Magnesia"dan aldığı ileri sürülmektedir (Gümüş, 1979).

Orta Anadolu'daki Zamanti Bölgesi'nde bulunan Kaleköy kurşun- çinko yatakları ile Kozan ilçesi Inniktepe demir yatakları Romalilar zamanında işletmeye açılmıştır. Ayrıca Attepe (Mansurlu- Feke) yöresindeki demir madenlerinin Hitit ve Romalılardan beri bilindiği tahmin edilmektedir. Konu ile ilgili olarak, söz konusu yörede eski işletmelere ait izabe kalıntıları ile yaygın cüruf döküntülerine rastlanmaktadır.

İnceleme alanında yer alan demir yataklarının daha sonraları Osmanlılar tarafından işletildiğini gösteren o döneme ait küçük galeriler, tahkimat kalıntıları, işletmecilikte kullanılan kazma ve kürek kalıntıları (Önder ve Şahin, 1985; sözlü görüşme) ile metal üzerine işlenmiş Osmanlı dönemine ait bir arma bulunmuştur (Küpeli, 1986). Ayrıca, İbrahim Paşa'nın 1877 yılında

Avusturya'lı mühendis Russeger'e Mansurlu yöresinde inceleme yapmıştır, yörede işletmeye yönelik prospektif mahiyetindeki ilk çalışmaları yapan Lucius (1927) tarafından belirtilmektedir. Bu ilk çalışmalarдан sonra, esas işletmeye yönelik kapsamlı çalışmalar 1966 yılından itibaren MTA tarafından başlatılmıştır. Yörenin genel jeolojisini ve sondajlı aramaları kapsayan bu çalışmalar ile bölgenin en önemli demir yatağı olan Attepe'de 21 adet sondaj yapılmış ve sonuçta 3.3 milyon ton cevher rezervi tespit edilmiştir. Bu çalışmaları müteakiben altı yıllık bir aradan sonra 1974 yılında, Mansurlu demirlerinin yeniden ayrıntılı bir şekilde incelenmesini ve önceki çalışmaların revizyonunu amaç edinen, Adana - Feke - Saimbeyli, Kayseri - Develi - Yahyalı ve Nigde - Çamardı sınırları içerisinde kalan sahaların prospektivini yapılmıştır. Bu genel değerlendirmeden sonra diğer bazı bölgelerle birlikte Attepe (Mansurlu - Feke) yöresinde ve özellikle Attepe, Mağarabeli, Kızıl ve Menteş yataklarında detaylı çalışmalar önerilmiştir. 1975 tarihinden itibaren önerilen bu sahalarda detaylı çalışmalarla başlanarak Mansurlu demir yatak ve zuhurlarında 1:25000 ölçekli jeolojik harita çalışmaları yapılmıştır. 1976 yılında önceki çalışmalar ve sondaj neticelerinin de değerlendirilmesinden sonra Attepe, Mağarabeli, Kızıl, Menteş ve Uyuzpinarı yataklarında ayrıntılı çalışmalarla birlikte sondaj faaliyetlerine başlanmıştır. 1977 yılında aynı yataklarda sondajlı aramalar ve 1:1000, 1:2000 ölçekli detaylı harita alımları tamamlanmıştır. Belirtilen çalışmalar sonucu Attepe'de 4901 m'lik 43 adet sondaj ile 34 milyon ton, 509 m'lik 8 adet sondaj ile Mağarabeli yatağında 1.406.000 ton, 635 m lik 11 adet sondaj ile Kızıl ve Menteş yatağında 3.621.000 ton, 72 m'lik 2 adet sondaj ile Uyuzpinarı'nda 326.000 ton cevher rezervi tesbit edilmiştir. Toplam olarak, bu yatakların hepsinde 6118 m'lik 64 adet sondaj yapılarak 39.263.000 ton cevher rezervi tesbit edilmiştir. Sözkonusu yataklarda işletme faaliyetlerine

1978'de başlanmış ve özellikle, 1981'den sonra bu faaliyetler daha da hızlanarak devam etmiştir. Attepe, Kızıl ve Uyuzpinarı yataklarında hâlen işletme faaliyetleri devam etmektedir. Kartalkaya, Menteş ve Magarabeli yataklarında ise üretime son verilmiştir. Ancak, Magarabeli yataklarında bir miktar daha cevher bulunmaktadır. Bu çalışmalara ek olarak genellikle inceleme alanının batı yarısında yer alan yataklarda da benzer şekilde detay jeoloji harita alımları ve sondajlı arama-larla rezerv tesbitine çalışılmıştır.

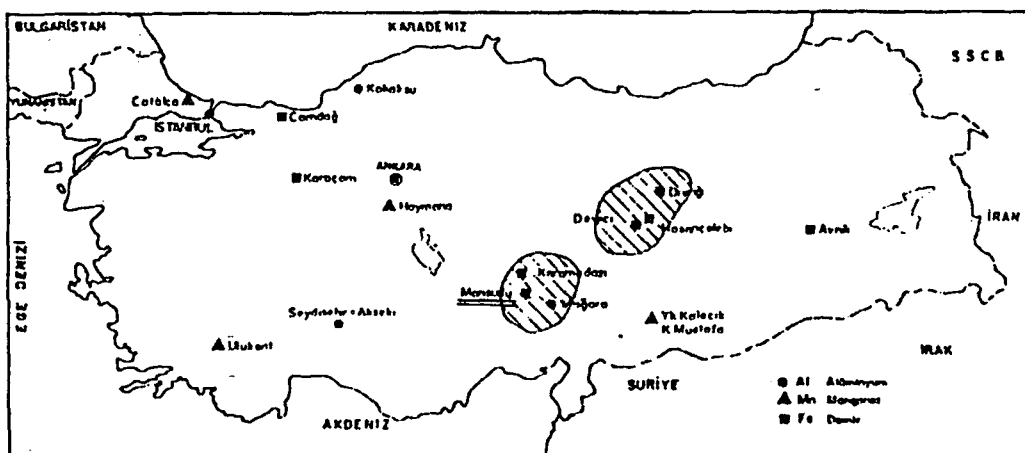
Bilindiği gibi Doğu Toroslar'ın batısında yer alan, Pozantı - Farasa Peridotit Napı, ekonomik değer taşıyan birçok krom yatağını kapsamaktadır. Inceleme alanında görülen ve aynı peridotit napının kuzeydoğu kesimini oluşturan ofiyolitik kayaçlar içerisinde de bazı krom zuhurlarına rastlanmaktadır (EK-1). Adı geçen yörelerde ilk olarak 1948 yılında belirlenen krom cevherleşmeleri, 1951 yılında işletilmeye başlanmıştır (Helke, 1955). Hâlen devam etmekte olan krom işletme faaliyetleri, özel madencilik kuruluşları tarafından yürütülmektedir.

3.2. Demir Yatak ve Zuhurları

Doğu Toros Kuşağı'nın Kayseri ile Adana il sınırlarında, Feke ilçesine bağlı Mansurlu Kasabası'nın hemen kuzeyinde yer alan ve yaklaşık olarak 146 km²'lik bir alanı kapsayan inceleme alanı, Divriği (Sivas) bölgesinden sonra Türkiye'nin işletilebilir nitelikteki ikinci büyük demir provensini oluşturmaktadır (Şekil 3.1). Sözkonusu provens Attepe, Kızıl, Magaradere, Magarabeli, Kartalkaya, Karakızoluğu, Menteş, Uyuzpinarı ve Magarabelitepe gibi önemli demir yatakları ile birçok zehuru kapsamaktadır (EK- 1),

Kökenleri, kapsadıkları cevher mineralleri ve geçirdikleri karstik süreçler açısından önemli ölçüde

birbirlerine benzeyen bu yataklardan Attepe ve Kızıl, provensin en önemli yataklarını oluşturmaktadır.



Şekil 3.1. Türkiye'nin önemli demir provensleri (Engin, 1986).

3.2.1 Attepe yatağı

Yörenin en büyük rezervine sahip olan Attepe demir yatağı, ismini yatağın 1,5 km doğusunda bulunan 2012 rakımlı Attepe'den almaktadır. Diliboz Pinarı'nın 800 m doğusunda yer alan yatak, 1801 rakımlı tepenin güneydoğu yamacındadır (EK-1).

3.2.1.1. Yatak geometrisi ve yankayaç ilişkileri

Kuzey ucu geniş ve yuvarlagımsı yatak bir (L) harfine benzeyen Attepe yatağının doğu ve batı bölümleri faylarla sınırlanmıştır (EK-1, Şekil 3.2). Yatağın 2:3'ünden daha fazlasını oluşturan geniş kuzey kesimi, KB-GD yönünde uzanmakta olup, 50 m uzunlugunda ve ortalamada 140 m genişligindedir. yatağın BKB-DGD uzanımlı güney bölümü ise 250 m uzunlugunda, 75 m genişliginde,

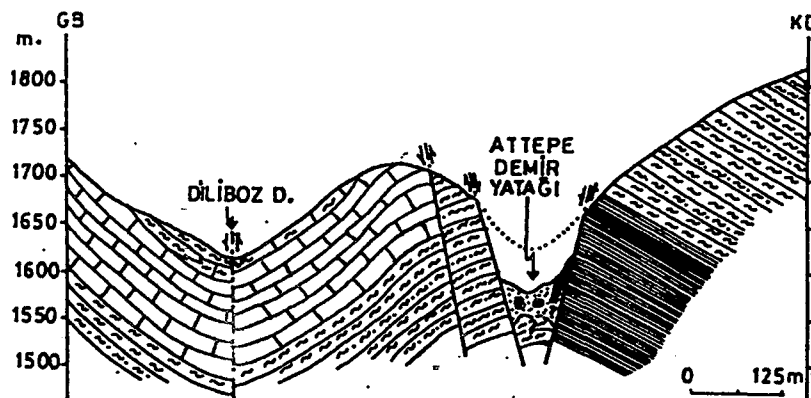
ince uzun bir cevher kütlesi ile temsil edilmektedir. Yataktaki yapılan sondaj çalışmalarına göre cevher kütlesinin tabanı, 1480 m kotuna kadar inmektedir (Henden ve Önder, 1980). Yatağın genişliği ise derinlere doğru azalmaktadır (Şekil 3.3. ve 3.2).



Şekil 3.2. Attepe demir yatağına güneydoğudan bakış.

Yatağı çevreleyen yankayaçaların büyük bir bölümü şist ve fillitlerden ibaret olmakla birlikte, cevherin geniş olan kuzeybatı kesimi Karaçattepe formasyonuna ait dolomit ve kireçtaşları içerisinde yer almaktadır. Cevher kütlesinin doğu sınırında yörenin en yaşlı birimi olan Sicimindagi formasyonuna ait organik madde ve pirit kapsamı yüksek şeyle, fillit ve şistlerin oluşturduğu Attepe üyesi yüzeyler (EK-1, Şekil 3.3). Cevher kütlesinin yan kayaçlarla olan ilişkisi, güneydogu ve kuzeybatı uçları dışında tamamen faylıdır. Yatağın doğusunda bulunan faylar $70\text{--}80^\circ$ ile güneybatıya, batısında bulunanlar ise $70\text{--}75^\circ$ ile kuzeydoğuğa eğimli olup, Attepe yatağının bulunduğu kesimde derine doğru daralan bir graben ve

yatağının batı kesiminde de ince bir dilim şeklinde yukarıya doğru yükselen horst yapısı gösterirler (Şekil 3.3, EK; 2, D-D', H-H') .



AÇIKLAMALAR

| | | | |
|-----------------------|-----------------|-----------------------|-----------------|
| [Brick pattern] | KARAÇATTEPE FM. | [Dotted pattern] | LIMONİT - GÖTİT |
| [Wavy pattern] | SİCİMİNDAĞI FM. | [Cross-hatch pattern] | SİDERİT |
| [Solid black pattern] | | [Solid black pattern] | KARTALKAYA FM. |

Şekil 3.3. Attepe demir yatağının jeolojik konumu.

Yatağın doğu ve batı bölgelerini sınırlayan faylar, güney kesimde BKB- DGD yönünde etkili olan sol yanal atımlı bir fay tarafından kesilmiştir. Muhtemelen Cevher yerleşiminden sonra ortaya çıkan bu fayın etkisi sebebiyle belirtilen kesimlerde cevherler tamamen bresik veya ezikli bir görünüm kazanmıştır. Ayrıca, buralarda sık sık kayma yüzeylerine rastlanmaktadır.

Cevher kütlesinin yerleşmiş olduğu grabenin oluşum mekanizmasına yatağın batı ve kuzeybatı kesimlerinde görülen, nisbeten az deform olmuş birimler ışık tutmaktadır. Buna göre, yörede etkili olan tektonizma sırasında kıvrımlanan kayaçlar yatağın batısında bulunan Diliboz Pınarı'ndan itibaren doğuya doğru bir antiklinal

ve bir de senkinal oluşturulmuşlardır. Ancak, kumtaşı, kireçtaşı ve kalksist gibi kayaçların rijit davranışları, antikinal ekseninde ve senkinalin kanat uçlarında kırımlara sebep olmuştur. Böylece, kanat uçlarından faylanan senkinalin tabanı derinlere doğru çökerek sözkonusu graben yapısını oluşturmuş ve bu arada çöken blokta yer alan karbonat kayaçlar; çakıl ve blok boyutuna kadar parçalanarak cevher yerlesimi için son derece uygun bir ortam hazırlanmıştır. Böyle breşik bir ortama yerleşmiş olan cevher kütlesinin yankayaçlarla olan dokanakları oldukça düzenlidir (Şekil 3.2). Sadece kuzeybatı kesiminde kireçtaşlarının içerisinde doğru düzensiz bazı sokulumlar yapmaktadır ve bunu, tedrici olarak 100-125 m genişliğinde ankeritik bir kuşak izlemektedir. Grabenin oluşumu sırasında çöken blokta yer alan karbonat kayaçlar, tektonik bir dokanakla yatağın doğu, batı ve güney kesimlerinde Sicimindagi formasyonuna ait pelitik kayaçlarla yan yana gelmişlerdir. (EK-2; D-D, -H-H').

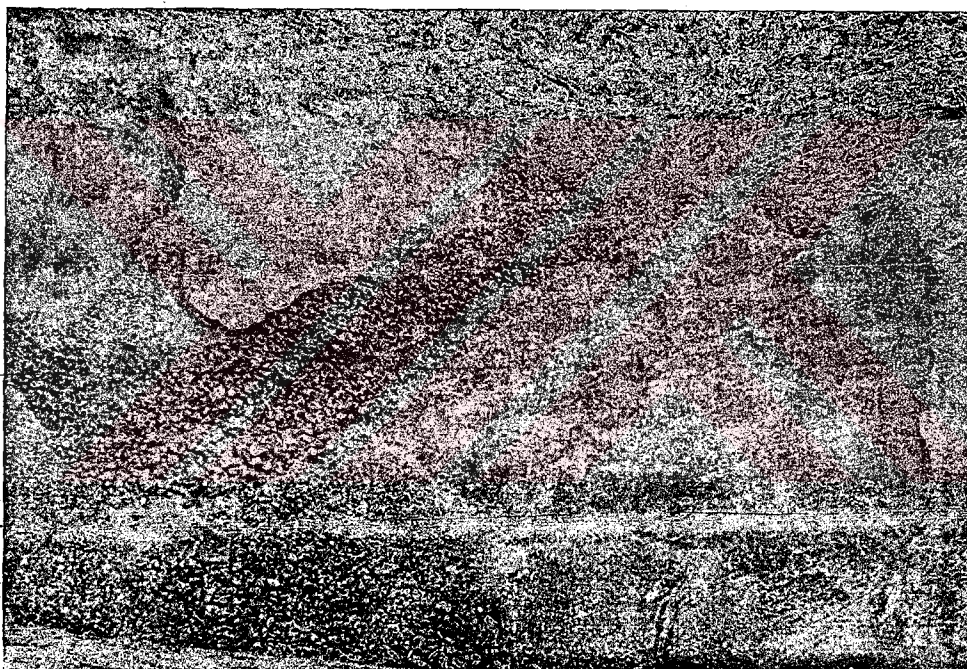
3.2.1.2. Yatağın kuzey bölümünün özellikleri

Hâlen açık işletme yöntemiyle üretim yapılan yataktaki çeşitli işletme basamakları teşkil edilmiş ve 1989 yılı işletme sezonu sonunda yatağın kuzeybatı kesimindeki basamak sayısı onikiye ulaşmıştır. Basamak yükseklikleri 10-20 m arasında değişmektedir. İşletme sırasında 1800 m kotundan itibaren yaklaşık 1550 m kotuna kadar yatağın merkezi kısmından cevher alınmıştır. Böylece, cevher kütlesinin uzunluğu, genişliği ve derinliği boyunca gözlem yapabilme imkânı doğmuştur. Yatağın en üst bölümünde tektonik hareketlerden sonra kireçtaşlarının kazanmış oldukları milonitik yapıyı yansitan ve cevherli çözeltiler tarafından ornatılamamış çakıl ve blok boyutlu kireçtaşları görülmektedir. Breşler içerisindeki kovuklar çogunlukla, ikincil nitelikli kalsit ve aragonit mineral-

leri tarafından dolgulanmıştır. Bazı kovuk yüzeylerinde de limonitli yüzey suları tarafından oluşturulan sarı renkli boyanmalar görülür. Yine cevher kütlesinin en üst seviyelerinde ankeritik kuşak içerisinde yer alan bir kırık boyunca % 30-40 oranında masif yapılı spekülaritler ile % 60-70 oranında da topragimsi limonitler izlenmektedir. Düzensiz sınırlara sahip olan damar şeklindeki bu cevher kütlesi içerisinde sık sık iri özçekilli kalsit kristallerine rastlanmaktadır. Yatağın üst kesimlerinden aşağılara doğru inildikçe kısmen breşik, kısmen de kovuklu bir yapı sunan, çatlak ve kırıkları boyunca önemli ölçüde sarı renkli topragimsi limonitlere dönüşmüş ve hâlen güncel olarak da yer yer limonite dönüşmekte olan hematitler yer almaktadır. İkincil ürünlerden sarı renkli limonitler, vişne kırmızısı rengeindeki hematitleri kuşatmaktadır. Hematit ve limonitlerin içerisinde yer yer yarı özçekilli siderit kristallerine rastlanmaktadır. Bazen karbonatların içerisinde doğrudan düzensiz damarlar şeklinde sokulumlar yapan cevher, bütünüyle asimile edilememiş ankeritik özellikteki dolomit bloklarını kapsamaktadır. Yaklaşık olarak 1730 m ko-tunda cevher kütlesi hâlâ kireçli dolomitler içerisinde bulunmaktadır. Bu kesimde, yankayaçtan cevhre doğru bir zonlanma ayırtedilir. En dışta ankeritlerle başlayan zonlanma iç tarafa doğru, sideritik kireçtaşları blokları, kovuklu yapıya sahip çok az miktarda hematit ve bol miktarda da limonit kapsamaktadır. Limonitler, topragimsi görünümülü, kısmen de kovuklu bir yapıya sahiptirler. Çok az miktarda hematit kalıntıları ve bol miktarda da özçekilli kalsit kristalleri içerirler. Yaklaşık olarak aynı seviyelerde cevher kütlesinin merkezi kesiminde oluşan karstik bir boşluk içerisinde, kil-blok boyutunda hematit, limonit, götit ve karbonat kayaç parçaları tabakamsı yapılar oluşturacak şekilde depolanmışlardır (Şekil 3.4). İşletme faaliyetleri sırasında büyük ölçüde tahrip edilmiş olan bu karstik oluşuk, cevher yerleşiminden sonra etkili olan karstik faaliyetlerin en

Önemli delilleri arasındadır.

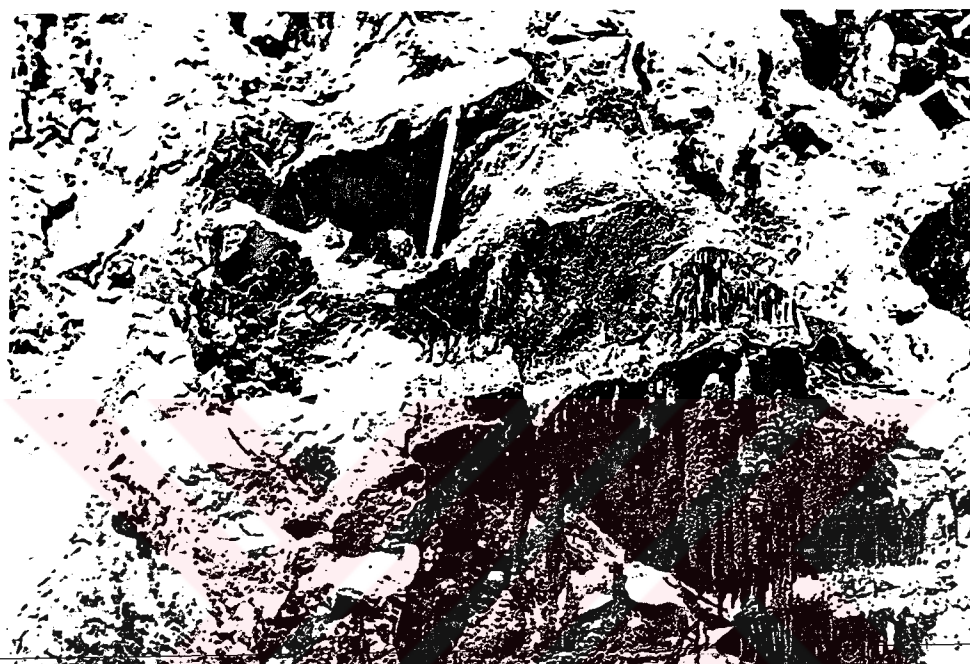
Cevher kütlesinin tabanına yakın kesimlerinde, yaklaşık olarak 1550 m kotunda başlıca cevher bileşenlerini götit, hematit, siderit ve limonitler oluşturmaktadır. Birçok yatak içi karstik boşluğun yeraldığı bu kesimde boşluk yüzeylerinde kolloform yapılı götitler çökelmiştir. Sideritler, genellikle hematitler içerisinde izlenen kısmen hematitleşmiş veya limonite dönüşümüş düzensiz sınırlı reliktler şeklindedir. Hematitler içerisinde yer alan çatlak ve kırıklar boyunca sık sık ikincil kalsit damarlarına rastlanmaktadır.



Şekil 3.4. Attepe demir yatağının kuzeybatı kesiminde, cevher kütlesi içerisinde gelişmiş karstik bir boşlukta çökelmiş tabakamsı yapılar gösteren karst sedimanları (Sag alt köşe civarı).

Cevher kütlesinin daha alt kesimleri genellikle hematit ve götit minerallerinden ibarettir. Cevher içerisinde yer yer boyutları 20-30 m³'ü bulan, yoğun siderit damarlı ankeritik kireçtaşlı blokları görülmektedir. İrili ufaklı birçok karstik boşluk içeren bu bloklarda boşluk yüzeyleri bögüregimsi, kabugumsu,

sarkit-dikit yapılı götitler tarafından sıvanmıştır. Adı geçen Kandilcik Dere'nin cevher kütlesini katettiği hat boyunca güncel karstik boşluklar gelişmiştir. Çapları desimetre ile birkaç metre arasında değişen bu boşluklar içerisinde de tipik kolloform yapılı götitler izlenmektedir (Şekil 3.5).



Şekil 3.5. Attepe yatağında cevher kütlesinin taban kesiminde yer alan karstik boşluklarda gelişen sarkit-dikit yapılı götitler ve kalsit sivaları.

Genel olarak Attepe yatağının kuzeybatı bölümünde, cevher kütlesinin üst kesimlerinde limonitlerin, alt kesimlerinde ise hematit ve götitlerin hakim olduğu söylenebilir.

3.2.1.3. Yatağın güney bölümü ve siderit damarları

Attepe yatağının üçte birinden daha az bir bölümünü teşkil eden ve oluşum sonrası tektonik hareketlerin etkisinde kalan güney kesimdeki cevherler, oldukça kırıkçı,

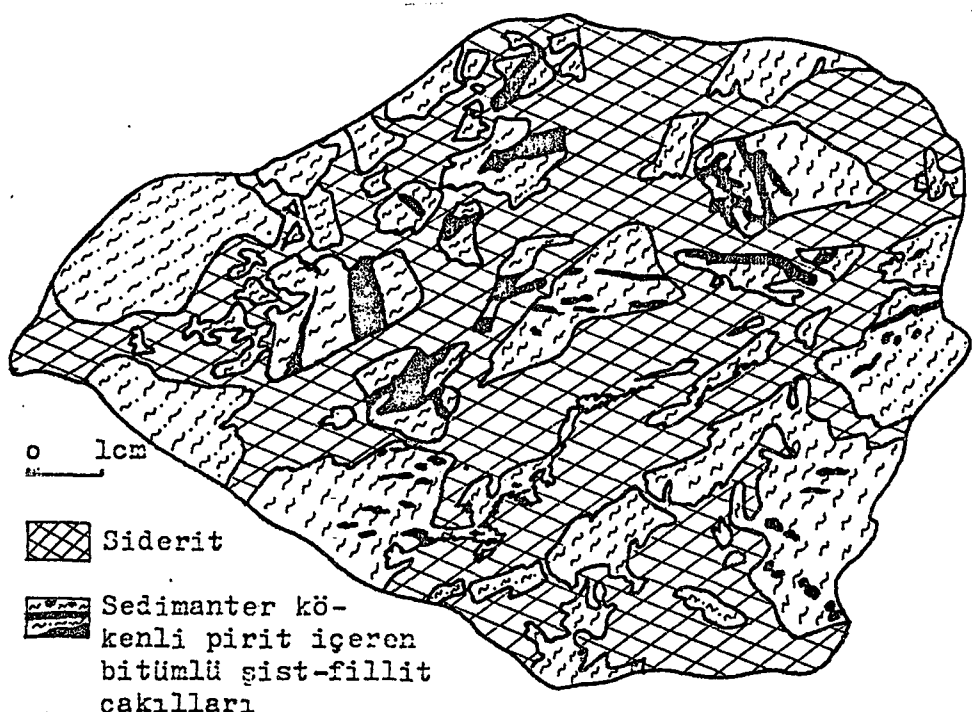
bloklu, yankayaçlarla karışık bir yapı kazanmışlardır. Kandilcik Dere'nin güneydoguya doğru uzanan küçük kolu makaslama hareketlerinin en etkili olduğu bu kesimin içerisinde geçmektedir.

Kandilcik Dere'nin küçük kolu boyunca son derece ezikli bir yapı gösteren şistlerin çatlak ve kırıkları üst seviyelerde limonit dolguludur. Limonitlerin bir kısmı, daha sonra yüzey sularıyla taşınarak yerlerinde boşluklar kalmıştır. Ezik zon boyunca alt seviyelere inildikçe çatlak ve kırıklarda spekülarit ve götit mineralleri görülmektedir. Yakın çevrede ise kısmi ankeritleşmeler gözlenir. Ayrıca, ezik zon içerisinde yer yer sütkuvars damarlarına da rastlanmaktadır. Bu kesimde cevher kütlesinin doğu sınırında yer alan bitümlü şistler içerisinde siderit damarları bulunmaktadır. Attepe yatağında hematitlerle birlikte esas birincil cevherleşmeyi temsil eden sideritler, yatağın diğer kesimlerinde yoğun bir şekilde etkili olan karstik faaliyetler sonucu limonit, götit ve ikincil hematitlere dönüşmüştür. Yaklaşık olarak 1600 m kotunda 1 m kalınlığında bir damar şeklinde başlayarak yatak tabanına doğru kalınlığı 10 m'nin üzerine çıkan, KD-GB tuzanımlı siderit damarı, Attepe yatağında günümüze kadar korunabilmiş en önemli siderit mostrasıdır (Şekil 3.6). İlksel kalınlığı muhtemelen daha fazla olan bu siderit damarları önemli ölçüde limonitlere dönüşmüştür. Yaklaşık olarak 1500 m kotunda yer alan siderit damarıyla ilgili olarak; soldan sağa doğru 5-6 m kalınlığında masif yapılı ayırmamış sideritler, bunun hemen yanında 3-4 m kalınlığında ayırmış limonitize sideritler ve daha sağda ise metrelerce izlenebilen topraklı limonitler görülür (Şekil 3.6). Buradaki limonitlerin tamamı sideritlerden türemişlerdir. Bej veya sarımsı kahve renkli olan ayırmamış sideritler, masif veya breşik yapılidırlar. Bazen mikrokristalli olarak da izlenen sideritler genellikle iri (6-8 mm) kristalli olup, ortalama kristal boyu 3-4 mm civarındadır. Breşik yapılı cevher örneklerinde

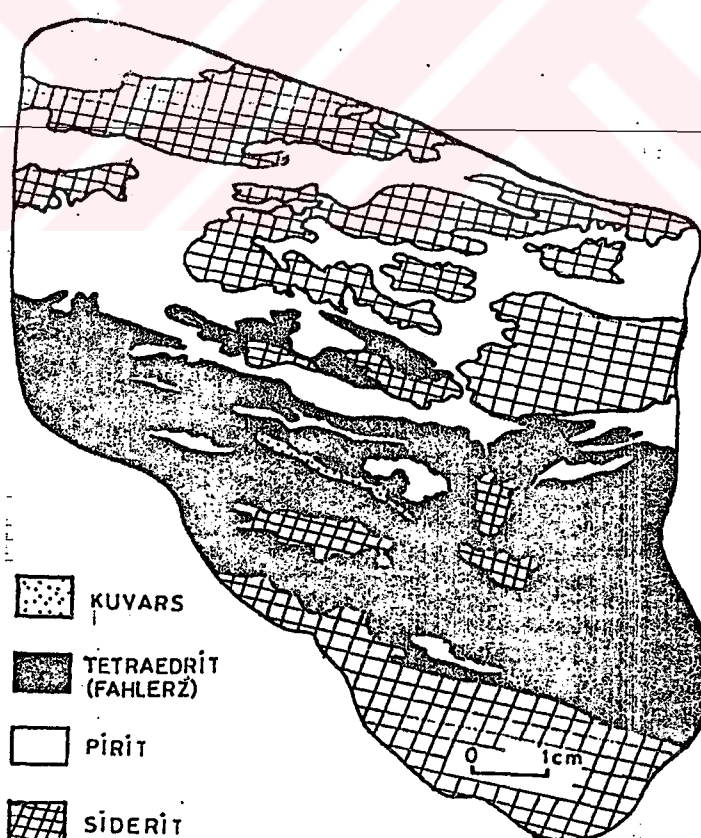


Şekil 3.6. Attepe demir yatağının doğu sınırlarında yüzeyleyen bitümlü şistler içerisinde oksidasyon ve karstlaşma olaylarından kısmen korunmuş bir siderit damarının görünümü (S: Ayırmamış siderit ; LS : kısmen ayırmış siderit)

tam olarak ornatılamamış Infrakambriyen yaşlı Attepe üyesine ait sedimanter kökenli pirit içeren bitümlü şist ve fillit çakılları yaygındır (Şekil 3.7). Attepe'de en önemli birincil cevher mineralini oluşturan sideritlere başlıca tetraedrit (fahlerz), pirit ve kalkopirit gibi cevher mineralleri ile kuvars ve kalsit gibi gang mineralleri eşlik etmektedir. Birbirleriyle çok girift sınır ilişkilerine sahip olan birincil cevher parajenezindeki bu mineralller tipik ornatım dokuları sergilemektedirler (Şekil 3.8). Örnekte yaklaşık 2.5 cm kalınlığında bir tetraedrit bandı ile bu bant içerisinde siderit, pirit ve kuvarstan ibaret adacıklar izlenmektedir. Bazı siderit örneklerinde yer alan gri renkli metalik parlaklık gösteren tetraedritler ile masif yapılı piritler, oldukça düzensiz sınırlara sahip süreksız damarlar şeklinde dirler (Şekil 3.9).

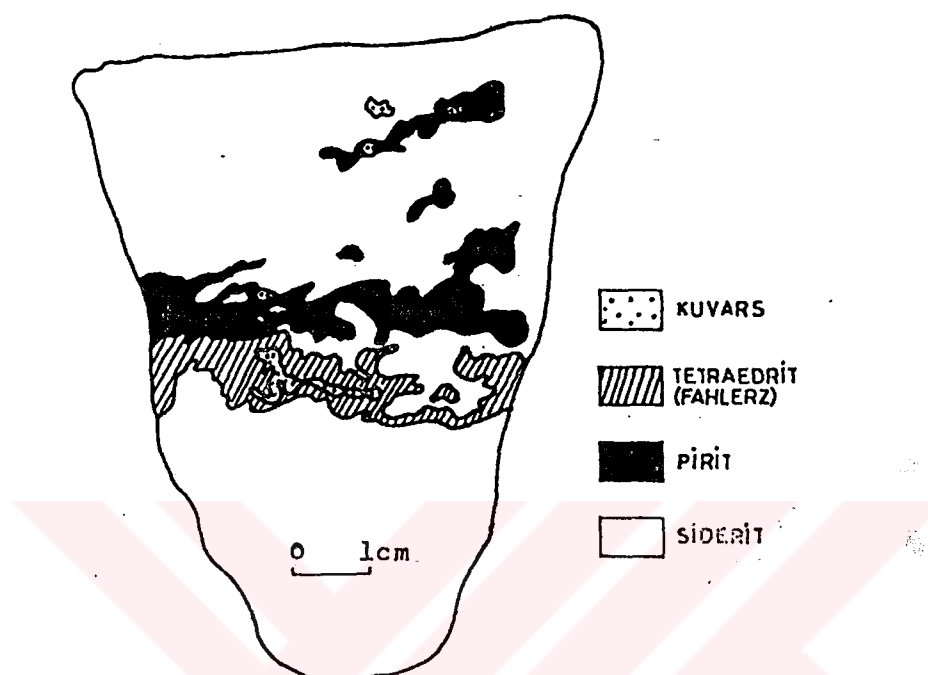


Şekil 3.7. Piritli sist-fillit çakılları içeren breşik yapılı sideritler.



Şekil 3.8. Attepe yatağında, siderit, pirit, fahlerz ve kuvars ilişkisi.

Yapılan incelemelere göre sideritlerden ikincil nitelikli hematit, götit ve limonitler, piritlerden limonitler, tetraedrit ve bunlara göre daha az olan kalkopiritlerden ise malahit ve azuriler ile tetraedritlerden zinnober türemiştir.



Şekil 3.9. Sideritler içerisinde süreksiz pirit ve tetraedrit damarları.

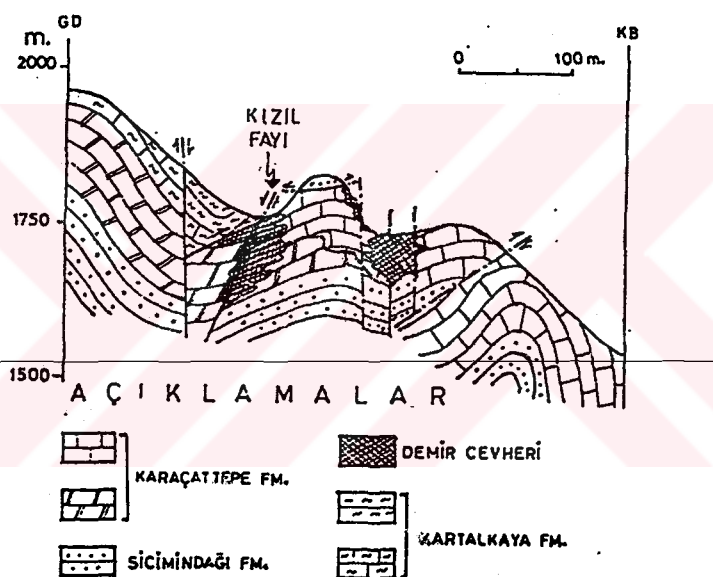
Attepe yatağının güneydoğu kesiminde hakim olan cevher bileşeni topragımsı limonitlerdir. Cevher içerisinde yer yer korunmuş kireçtaşısı, sist ve fillit blokları görülür. Yer yer 1 m^3 boyutuna ulaşan bazı fillit bloklarında ornatma sonucu dıştan içe doğru gelişmiş, 4-5 cm kalınlığında ince sideritli kuşaklar izlenmektedir.

3.2.2. Kızıl yatağı

Karaçat Tepe'nin 700 m kuzeybatısında, 1831 rakımlı tepenin üzerinde yer alan Kızıl demir yatağı, Attepe'den sonra yörenin ikinci büyük demir yatağını oluşturur. Yataga Kızıl ismi, cevherin kırmızı renk tonuna izafeten

yöre halkı tarafından verilmiştir.

Ortalama 60° lik bir açıyla güneye doğru eğimli olan Kızıl Fayı, yatağın bulunduğu kesimde Karaçattepe formasyonuna ait karbonat kayaçları ile Kartalkaya formasyonuna ait pelitik kayaçları yanyana getirmiştir (EK-1). Karaçat Tepe'nin kuzey yamacından itibaren Kızıl yatağına, oradan da Menteş Deresi'ne kadar uzanan, yaklaşık GD-KB yönü bir kesit hattı boyunca, birbirini takipeden küçük ölçekli kıvrım yapıları ile bu kıvrımların genellikle eksen bölgelerinde gelişmiş olan aşırı kırılma ve blok faylanmalar görülmektedir (Şekil 3.10). Cevher yerleşि-



Şekil 3.10. Kızıl demir yatağının jeolojik konumu

minde büyük rol oynayan bu tektonik yapıların oluşumu sırasında özellikle Karaçattepe formasyonuna ait karbonat kayaçlar, cevherli çözeltilerin göçü ve yerleşimi açısından son derece müsait breşik bir yapı kazanmışlardır. Yatağın bulunduğu kesimde Kızıl Fay düzlemi boyunca 20-30 m kalınlığında çok ezikli, breşik bir zon ortaya çıkmıştır. Ayrıca, karbonat kayaçlarının içerisinde oluşan tâlî fay düzlemleri boyunca da yer yer benzer breşik zonlar izlenmektedir. Bu tip breşik zonların

îçerisine, büyük çapta ornatım, kısmen de dolgu biçiminde yerleşen cevherler, genellikle düzensiz sınırlara sahip kütle ve damarları oluşturmışlardır. Birincil cevherler ile zamanla bunlardan türeyen ikincil cevherler, Kızıl Fayı boyunca 350-400 m uzunlukunda, ortalama 100 m genişliğinde KD-GB uzanımlı cevherli bir zon şeklinde ortaya çıkmışlardır (Şekil 3.11).



Şekil 3.11. Kızıl demir yatağını temsil eden ve Karaçattepe formasyonuna ait karbonatlar (EOK.) içerisinde yer alan cevherli kuşağı (C.K.) kuzeyden görünümü. EOK. : Kartalkaya fm., Ies : Sici mindağı fm.

Bu zonun genişliği güneybatı kesiminde 150-200 m, kuzeydoğu kesiminde ise 50-60 m kadardır. Ana cevherleşmelerden uzaklaşıkça izlenen kısmi ankeritlesmeler de dikkate alınırsa cevherli zonun uzunluğu 450 m'yi, ortalama genişliği 100 m'yi bulmaktadır. Cevherin tamamen karbonat kayaçlar içerisinde kalan kuzey kesimi, ornatımlarla ilgili olarak son derece düzensiz girintili çıkışlı bir sınıra sahiptir. Buna karşılık, Kızıl Fayı ile sınırlanan güney kesiminde ise, Kartalkaya formasyon-

nuna ait ornatılması zor, düşük permeabilite li pelitik kayaçların yer almazı sebebiyle sınır daha düzenlidir (EK-1, Şekil 3.10).

3.2.2.1. Yatak bölümleri

Kızıl yatağını temsil eden cevherli zon içerisinde yapısal ve litolojik faktörlerin yanısıra, karstik süreçlerin de etkisiyle ortaya çıkan düzensiz geometrili üç ayrı ocak bulunmaktadır (EK-1). Bunlar güneybatıdan kuzeydoğuya doğru; I., II. ve III. Ocak şeklinde isimlendirilmişlerdir. Birbirleriyle baglantılı olan bu ocaklılardan I. ve III. Ocak, Karaçattepe formasyonuna ait karbonat kayaçlarının içerisinde, II. Ocak ise, Kızıl Fay hattı üzerinde Karaçattepe formasyonuna ait karbonatlar ile Kartalkaya formasyonuna ait şist ve fillitlerin tektonik dokanlığında yer almaktadır. Bugüne kadar yapılan işletme faaliyetleri sonucu I. ve III. Ocak'taki cevherin tamamına yakın bir bölüm alınımıştır. Esas işletme faaliyetleri ise, II. Ocak'ta yürütülmektedir.

3.2.2.1.1. I. Ocak

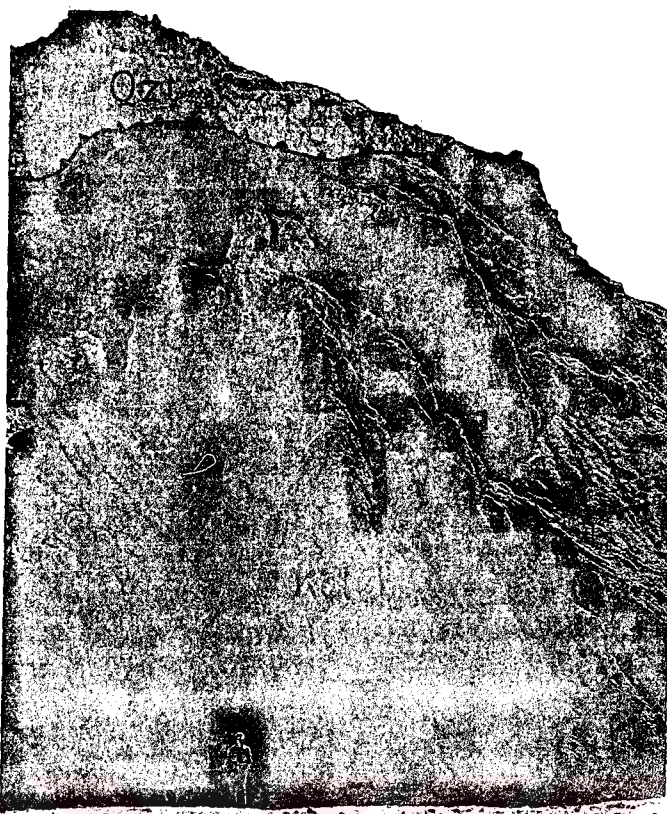
Yatakta yapılan işletme sonrasında, I. Ocak'ta yer alan esas cevherin birbirleriyle irtibatlı üç ayrı karsilik boşluk: içerisinde depolanmış olduğu anlaşılmaktadır. Güneybatıdan itibaren bu ocaktaki ilk iki karstik boşluk, K70B doğrultulu bir cevher damarının üzerinde gelişmiştir. Bu kesimde birincil cevherleşmeyi temsil eden hematit damarı, yaklaşık olarak 50 m uzunluğunda ve 15 m genişliktedir. Kuvars ve barit gibi gang mineralleri içeren masif yapılı hematitli kısımlar, çatlak ve kırıkları boyunca limonitlere veya kolloform yapılı götitlere dönüşmüştür. Yankayaç olarak izlenen ortakalın tabakalı kireçli dolomitler, oldukça kırıklı ve

bloklu bir yapı sunmaktadır.

I. Ocak'taki genellikle tabana doğru daralan dolinlerin birbirleriyle birleşerek oluşturduğu karstik boşluklardan birincisi 70×50 m, ikincisi ise 40×15 m boyutunda elipsoidal kesitler vermektedirler. Bunlar, taban topografyaları çok düzensiz boşluklar olup, derinlikleri yamaç eğimine bağlı olarak kuzeye doğru gittikçe azalmaktadır. Sözkonusu boşlukların güney kesimindeki derinlikleri 25-30 m civarındadır. I. Ocak'ta yer alan üçüncü karstik boşluk, uzun ekseni K75D doğrultusunda uzanan güneybatı ucu kapalı bir U şeklinde olup, yaklaşık 100 m uzunlığında, 70-80 m genişliğinde ve ortalama 15 m derinligindedir. Dar bir erime kanalıyla ikinci karstik boşluğa bağlanır. Bu karstik oluşğun hemen güneyinde 1831 rakımlı tepede, Karaçattepe formasyonuna ait karbonat kayaçları üzerine tektonik bir dokanakla gelen Sicimindagi formasyonuna ait metakuvarsitler, cevher kütlesini üstten sınırlamaktadırlar (Şekil 3.12).

3.2.2.1.2. II. Ocak

Karstik etkilerin pek görülmemiği II. Ocak'ta Kızıl Fayı boyunca yerleşen cevher, fay düzlemi boyunca 20-30 m kalınlığında bir cevher damarı oluşturmuştur. Çoğunlukla hematitlerin hakim olduğu damarda ayrışma süreçlerine bağlı olarak birincil cevherlerin önemli bir bölümü, limonit ve götit gibi ikincil cevher bileşenlerine dönüşmüştür. Bu kesimde işletme amacıyla açılmış olan K32D doğrultusunda uzanan 20-30 m genişliğinde, 50-60 m uzunlığında bir yarma bulunmaktadır. Yarmanın duvarlarında karstik şekillerden değişken boyutlu dolinlerin kesitleri görülmektedir. Bu ocaktaki cevher damarı, güneybatıya doğru 10-15 m daha devam ettiğinden sonra incelerek son bulmaktadır.



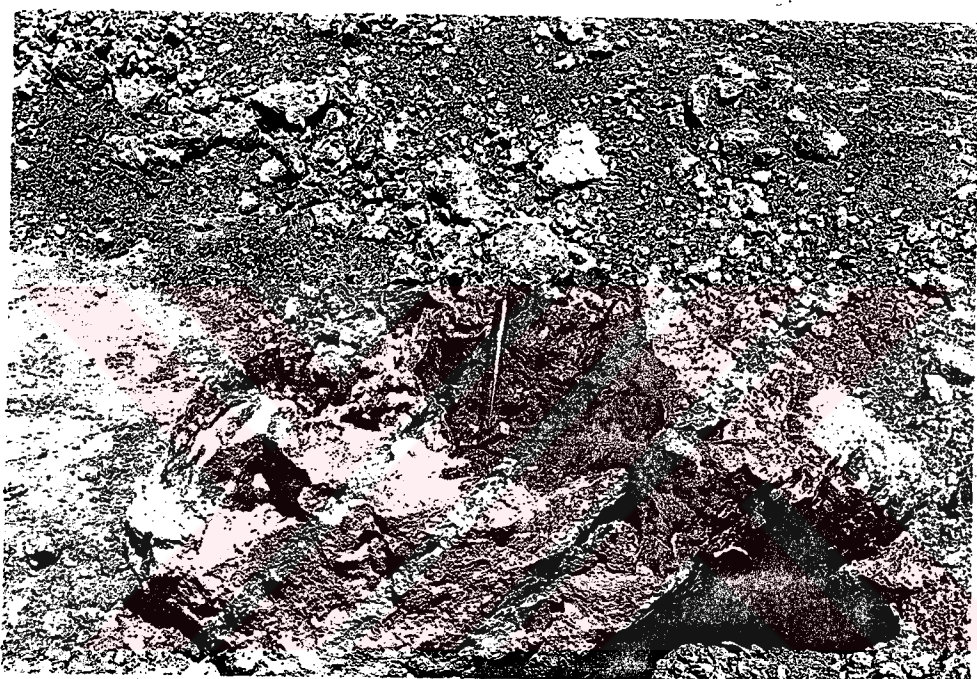
Şekil 3.12. 1831 rakımlı tepede, Karaçattepe formasyonuna ait karbonatlar (Kçt) üzerine tektonik bir dokanakla gelen Sicimindagi formasyonuna ait metakuvarsit (Qzt) birimi.

3.2.2.1.3. III. Ocak

Masif yapılı kalın tabakalı kireçli dolomitlerin içerisinde yer alan bu ocakta karstlaşmanın etkisi daha da belirgindir. Cevher alındıktan sonra geriye birbirle-riyle irtibatlı 20-30 m çaplarında dairesel yapılı kesitler veren iki karstik boşluk kalmıştır. Bunlar yak-laşık olarak 7-8 m çapında daha küçük bir boşluk ile birbirlerine bağlanmaktadır. Oldukça düzensiz bir taban topografyası gösteren bu dolinler, ortalama 10-15 m derinlige sahiptirler.

Kızıl demir yatağını temsil eden cevherli zon içerisinde yapılan ayrıntılı incelemelere göre, inceleme alanında görülen birçok demir yatağında olduğu gibi Kızıl demir yatağında da birincil cevher yerleşiminden sonra karstlaşma süreçleri son derece etkili olmuştur.

Tâlî faylar ve eklem sistemleri ile kontrol edilen birçok karstik boşluğun yeraldığı bu yataktak, karstik olaylar Attepe ve diger bazı demir yataklarından daha da etkili olmuştur. Bu sebeple yataktaki esas cevher bileşenlerini ikincil nitelikli, topraklımsı görünümlü limonitler, kolloform yapılı götitler ve hematitler oluşturmaktadır (Şekil 3.13). Ayrışma olaylarından korunabilmiş, bazı yankayaç kütlelerinin içerisinde görülen



Şekil 3.13. Kızıl yatağında hakim cevher bileşenlerini oluşturan limonitler (kirmızımsı pas renkli) ile bôbregimsi, kabugumsu kolloform yapılar gösteren götitlerden (siyah) bir görünüm.

birincil cevher mineralleri siderit, ankerit ve hematitlerden; bunlara eşlik eden gang mineralleri ise kalsit, kuvars ve baritlerden ibarettir.

3.2.3. Degirmendere yatağı

Kızıl fay hattında yeralan bu yatak, Degirmendere'nin

400 m kuzeydogusunda, Kızıl yatağının ise, 750 m güneybatisındadır (EK-1). Hâlen devam eden işletme faaliyetleri sonucunda yataktaki cevherin önemli bir bölümü alınmıştır. Kızıl Fayı bu kesimde birbirine paralel bir şekilde uzanan eğim atımlı ters fayların oluşturduğu bir fay zonu niteligidir. Belirtilen fay zonu ile İnfraCambriyen yaşılı metakuvarsitler, doğudan batıya doğru önce Alt-Orta Kambriyen yaşılı dolomitler, sonra da Üst Kambriyen-Ordovisiyen yaşılı şist ve fillitlerle yan yana gelmişlerdir. Bu birimlerin bresik yapılı tektonik dokanlığı boyunca yerleşen cevher, KD-GB yönünde uzanan 300 m uzunlugunda, ortalama 30 m kalınlığında cevherli bir kuşak oluşturmuştur. (Şekil 3.14). Bu kuşak içerisinde en önemli cevherleşme, kuşağın güneybatı kesi-



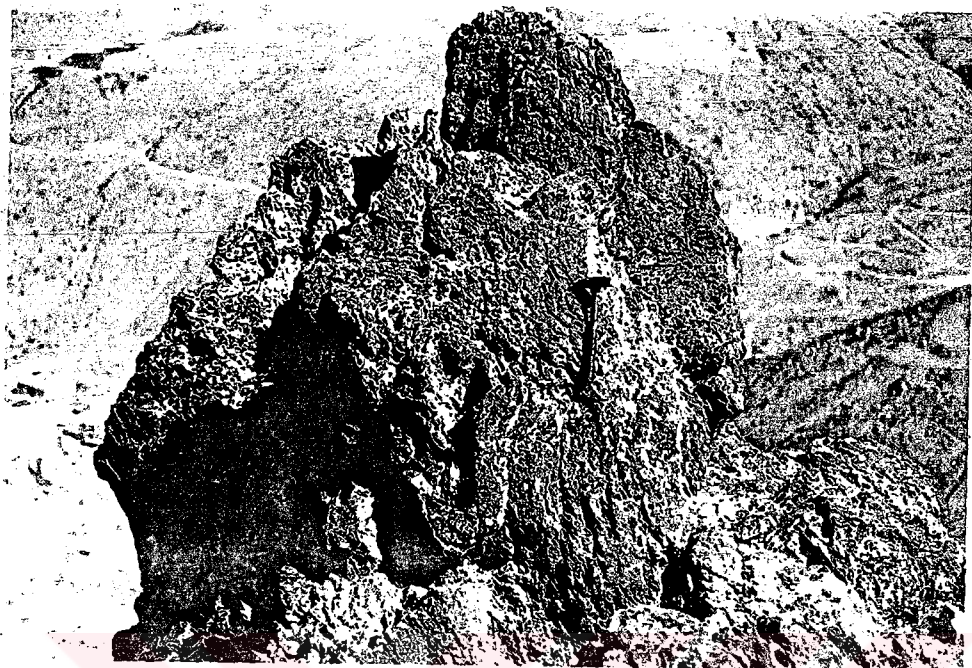
Şekil 3.14. Kızıl Fayı boyunca gelişen cevherli kuşak ile Degirmendere yatağına kuzeydogudan bakış. Qzt : Metakuvarsit (İçs); Dol : Dolomit (EK) Ş-F : Şist, fillit (ÇOK).

minde gerçekleşmiştir. Burada 20 m kalınlığa sahip olan kuşağın alt ve üst kesimini sınırlayan fay düzlemleri boyunca yoğun hematit cevherleşmeleri görülür. Bu cev-

herleşmelerle birlikte alta bulunan birinci ters fay boyunca 100 m uzunlukunda, 10-15 m kalınlığında, K75D / 45GD konumlu, masif yapılı hematit cevher kütlesi ortaya çıkmıştır. Kartalkaya formasyonuna ait pe litik kayaçlar içerisinde yer alan cevher kütlesinin fay aynasıyla belirlenen üst sınırı oldukça düzenli iken, karbonatça zengin kesimlerde gerçekleşen ornatımlar dolayısıyla alt sınırı az çok düzensiz bir görünüm sunmaktadır. Dalım yönünde giderek incelen cevher kütlesinin derinlerde kireçtaşlarına bağlı olarak tekrar kalınlaşabileceği muhtemeldir.

Tavanında metakuvarsitler, tabanında şist ve fillitler bulunan ikinci ters fay boyunca izlenen cevherleşme, taban bloğuna ait kayaçlar içerisinde gelişmiştir. Mineralizasyonla ilgili demirli çözeltilerin, silisce zengin kısmen breşik, kısmen de şistî yapılı yankayacı tam olarak ornatamadıklarından breşik ve şistî yapılı bir cevher damarı ortaya çıkmıştır. Yer yer 2-4 cm boyutunda iri barit kristalleri içeren hematit cevherleşmesinin fay hattı boyunca izlenebilen mostralları, dayk görünümlü sert morfolojiler sunmaktadır (Şekil 3.15). K70D / 50GD konumlu bu cevher damarının uzunluğu 150 m, kalınlığı ise 10-15 m kadardır. Uzanımı boyunca yer yer kesiklige uğrayan hematit damarı, hem kuzeydoğu, hem de güneybatı yönünde daralmaktadır.

Cevher kuşağı içerisinde kuzeydoğu yönünde giderek cevher konsantrasyonu azalmaktadır. Metakuvarsit-dolomit dokanlığı boyunca ince damalar şeklinde siderit-hematit cevherleşmeleri ile bunların çevresinde belirgin ankeritleşmeler gözlenmektedir.. Kızıl yatağında olduğu gibi burada da etkili olan karstlaşma ve oksidasyon olayları ile hematit, siderit ve ankerit gibi birincil cevher mineralleri götit ve limonitlere dönüşmüşlerdir. Yer yer 10-70 cm çapında gelişen karstik boşlukların da izlendiği cevherli zonda, boşlukların çeperlerinde kolloform yapılı götitler görülmektedir.



Şekil 3.15. Değirmendere yatağında Kartalkaya formasyonuna ait şistleri ornatarak yerleşen dayak görünümülü baritli hematitler.

3.2.4. Menteşdere bölgesi yatak ve zuhurları

3.2.4.1. Menteşdere yatağı

İsmini Menteş Deresi'nden alan yatak, Domuztümsegî Tepesi'nin 750 m batısında, Karaçattepe formasyonuna ait karbonat kayaçlar içerisinde yer almaktadır (EK-1). Cevher, K80D / 75KB konumlu ters bir fay hattına yerleşmiştir. Şu anda terkedilmiş olan yataktaki daha önce yapılan işletme faaliyetleri sonucunda yaklaşık 500 m uzunlukta, 8-10 m genişliğinde, tabana doğru daralan uzun bir yarım açılarak cevherin tamamı alınmıştır. Sadece, tavan blogunda yer alan yanal atımlı faylar boyunca izlenen işletilmesi zor cevherler bırakılmıştır. Bu cevherler, Domuztümsegî Tepesi'nin batısında, KD-GB yönünde uzanan

dik bir yamaçta 15-20 m kalınlığındaki kireçli dolomit seviyesi içerisinde yüzeylemektedirler (EK-2, I-I'). Yataktaki birincil cevherleşmeyi; yer yer kuvars ve kalsit mineralleri içeren siderit, 10-15 cm uzunlugunda iri barit kristalleri kapsayan hematit ve ankeritler temsil etmektedir. Ancak, yataktaki etkili olan karstlaşma süreçleri sonucunda sözkonusu birincil cevher mineralleri, büyük çapta limonit ve götitlere dönüştür. Bu sebeple Menteşdere yatağında izlenen hakim cevher bileşenleri götitler ile topragımsı görünümlü limonitlerdir. Karstik olaylarla, birincil cevherleşmeye ilişkin geometriler önemli ölçüde bozulmuştur. Özellikle tavan bloğu içerisinde yer alan doğrultu atımlı faylar ve bazı kırık hatları boyunca gelişmiş, çapları 10-15 cm ile 70-80 cm arasında değişen, irili ufaklı birçok karstik boşluklar görülmektedir. Bu boşluklarda kolloform yapılı götitler, yaklaşık 1.5 cm boyutunda iri özşekilli kalsit ve kuvars kristalleri ile işinsal veya konsantrik yapılı limonit boyamalı aragonit kristalleri izlenmektedir.

3.2.4.2. Menteşdere zuhurları

Menteşdere yatağının yaklaşık olarak 400 ve 750 m kuzeydogusunda iki ayrı zuhur bulunmaktadır (EK-1). Menteşdere yatağına daha yakın olan birinci zuhur, Domuztümseği Tepesi'nin 500 m kuzeybatısındadır. Cevherleşme, KB-GD yönünde uzanan muhtemel bir fay ile KD-GB yönünde uzanan sol-yanal atımlı fayın kesişme noktasında, Kartalkaya formasyonuna ait şist ve fillitlerin içerisindeindedir. Dolgu ve kısmen de ornatım biçiminde gerçekleşen cevher yerleşimleri sonucunda, D-B yönünde uzanan 30-40 m uzunlugunda, oldukça düzensiz sınırlara sahip cevherli bir zon oluşmuştur. K-G yönünde açılan üç adet yarıma ile cevherleşmenin 2-3 m derinlere kadar devam ettiği belirlenmiştir.

Zuhurdaki başlıca cevher minerallerini sert götit,

yer yer speküleritleşmiş hematit ve siderit oluşturmaktadır.

Menteşdere yatağına daha uzak bir konumda bulunan ikinci bir demir zuhuru, Domuztümsegı Tepesi'nin 375 m kuzeybatısındadır. Sag-yanal atımlı bir fay hattına yerleşen bu zuhur, Kartalkaya formasyonuna ait kalksistler ile fillitlerin faylı dokanlığında yer almaktadır. K80B / 85KD konumlu bir damar şeklinde izlenen cevher kütlesi, 20 m uzunlukunda, 3 m genişligindedir. Breşik yapılı götit, hematit ve sideritlerin oluşturduğu cevher kütlesi, tabana doğru 2-3 m kadar bir devamlılık göstermektedir.

3.2.5. Uyuzpinarı yatağı

İsmini Uyuzpinarı'ndan alan yatak, inceleme alanının kuzey kesiminde, Karaçat Tepe'nin 1 km kuzeydogusundadır (EK-1). Cevherleşme, Karaçattepe formasyonuna ait karbonatlar ile Kartalkaya formasyonuna ait pelitik kayaçların faylı dokanlığında yer almaktadır (EK-1). K15B / 70GB konumlu ters fay hattında bulunan yatağın uzunluğu 70 m, genişliği ise 10-30 m arasında değişmektedir. Breşik yapılı şist ve fillitler içerisinde çökelmiş olan demirli çözeltiler, oldukça düzensiz bir cevher kütlesi oluşturmuşlardır. Yataktaki birincil cevher mineralini temsil eden iri (2-4 cm) barit kristalli hematitler, genellikle masif, bazen de breşik ve kovuklu yapılidirler. Cevherli kuşak içerisinde, hematitlerin oluşturduğu damar tipi cevherleşmeler ile düzensiz geometrili oldukça iri hematit blokları yaygındır.

Karstlaşma olaylarının birçok yatakte olduğu gibi Uyuzpinarı yatağında da son derece etkili olduğu belirlenmiştir. Karstlaşma sırasında pelitik kayaçlar içerisinde yer alan karbonatlı bölgeler eriyerek küçük çaplı dolinler ve bunları birbirine bağlayan yatay veya yataya yakın konumlu karstik kanallar meydana gelmiştir.

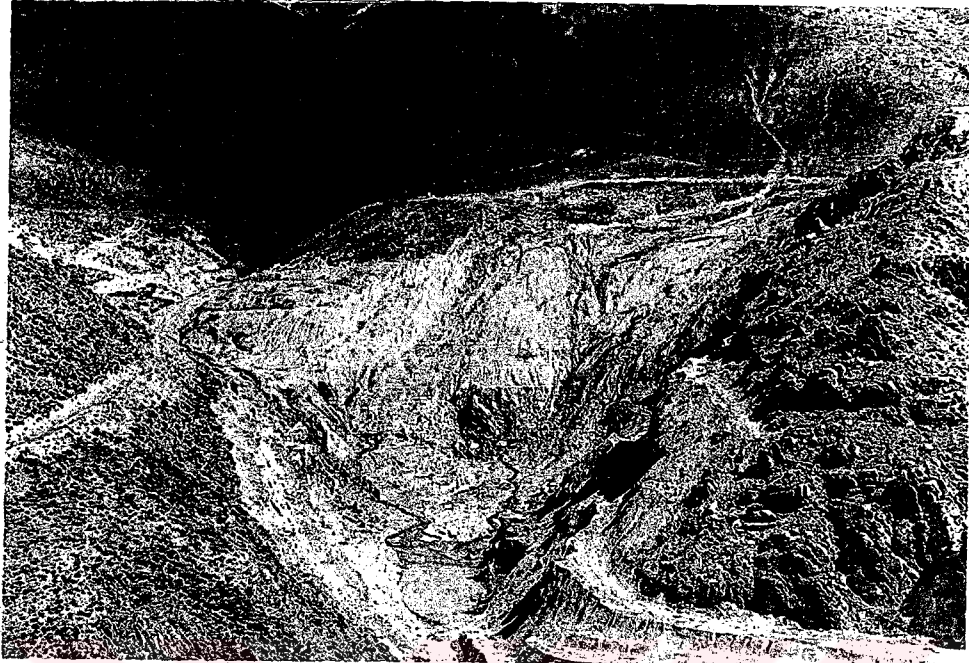
Bu süreçler sırasında hematitlerin büyük bir bölümü de limonitlere dönüştür. Daha sonra yüzey suları tarafından kolloidal çözeltiler şeklinde taşınan bu limonitler ve kıl-silt boyutundaki yankayaç parçacıkları, karstik boşluklar içerisinde konsantrik yapılar oluşturacak şekilde çökelmiştir. Buna karşılık cevher ve yankayaç parçalarına ait kum-blok boyutlu kırıntılı malzemeler, yer yer tabakası yapılar oluşturacak şekilde kötü bir boyanma ile depolanmışlardır.

Karstik boşluklar içerisinde çökelen limonitler, özellikle ana fay boyunca açılan ve karstik kanalları takibeden 8-10 m uzunluğundaki küçük galerilerden kazılarak alınmakta, daha sonra yatağın doğu tarafından geçen dere yatağında birbiri ardına yapılmış küçük havuzlarda kaba kırıntılar ayrılarak elde edilen kıl-silt boyutundaki son ürün, boyaya yapımında kullanılmak üzere iç piyasaya sürülmektedir.

3.2.6. Kartalkaya yatağı

İnceleme alanının kuzeydoğu kesiminde bulunan yatak, Domuztümseği Tepesi'nin 750 m güneydoğusunda, Kartalkaya ile 1881 rakımlı tepenin arasında yer almaktadır (EK-1).

Yapısal olarak KD-GB yönünde uzanan eğim atımlı normal bir fay hattında bulunan yatağın, doğu ve batı kesimlerini biri ters, diğeri normal olmak üzere KB-GD gidişli diğer iki fay sınırlamaktadır. Şu anda terkedilmiş olan yataktan daha önce yapılan işletme faaliyetleri ile ekonomik nitelikteki cevherin tamamı alınmıştır. Açık işletme yöntemlerinin uygulandığı üretim sonucu, yatak yerinde, KB-GD yönünde uzanan üç tarafı faylarla sınırlı tabana doğru daralan bir boşluk ortaya çıkmıştır (Şekil 3.16). Pasa sahasında yapılan gözlemlere göre, yataktan çıkarılan yankayacıın büyük bir bölümünü Karaçattepe formasyonuna ait dolomit blokları oluşturmaktadır. Ayrıca, yatağın doğu ve batı bölgelerinde aynı birime ait küçük



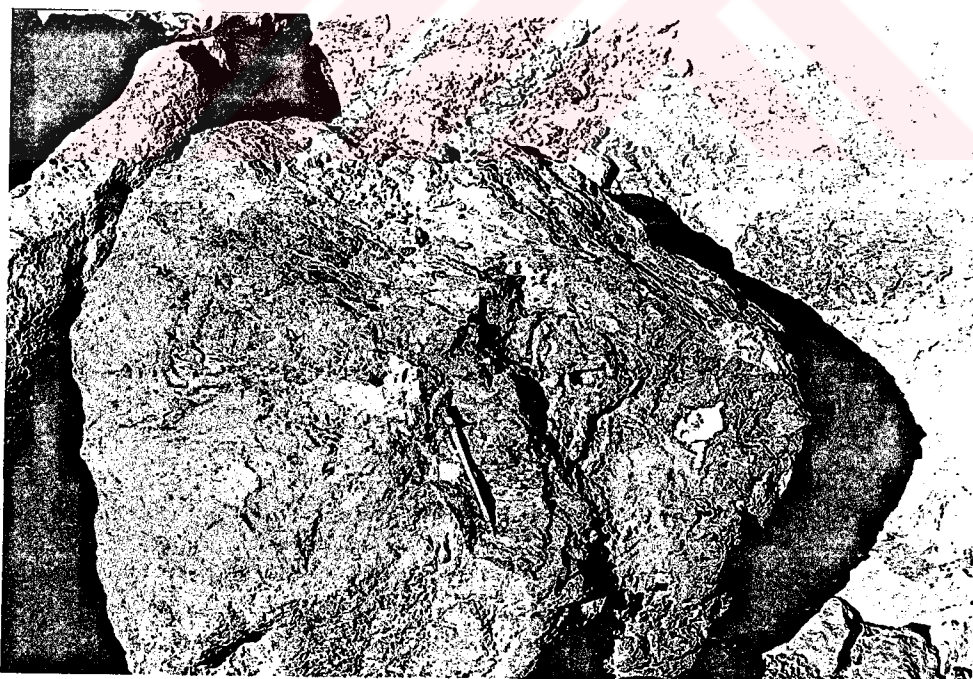
Şekil 3.16. Üç tarafı faylarla sınırlı Kartalkaya yatağına kuzeybatıdan bakış; sağda metakvartsitler, diğer kesimlerde ise şist ve fillitler izlenmektedir.

mostralalar izlenmektedir. Buna göre, cevherleşme öncesinde, ortalama 30-40 m derinlige sahip olan sözkonusu boşluğun bulunduğu kesimde dolomitlerin yeraldığı anlaşılmaktadır. Tektonizma sırasında son derece kırıklı, kısmen de milonitik bir yapı kazanan bu birim, faylanmalarla birlikte yatağın doğu ve güney tarafında Kartalkaya formasyonuna ait şist ve fillitlerle; batı tarafında ise Sicimindagi formasyonuna ait metakvartsitlerle dokanak haline gelmiştir (EK-2, A-A'). Büyük çaptaki ornatımlarla gerçekleşen esas cevher yerleşimi, yatağın güney kesimini sınırlayan $70-75^{\circ}$ ile güneydoguya doğru eğimli normal fay hattı ile ilişkilidir. Ornatım doku örneklerine yatağın güneybatı kesiminde Kartalkaya zirvesine doğru uzanan ince damar tipi cevherleşmenin kalıntılarında ve yataktan çıkarılan iri yankayaç bloklarında sıkça rastlanmaktadır. Kartalkaya zirvesini kateden bir fay boyunca oluşan cevher damarı, metakvartsit-

lerle düzenli, dolomitlerle oldukça düzensiz bir sınır ilişkisine sahiptir. Cevherli bileşenler dolomitler içerisindeki çatlak ve kırıklara doğru düzensiz sınırlı sokulumlar yapmış ve yankayacı önemli ölçüde ornatmışlardır. Ayrıca, yataktaki yapılan incelemelere göre, cevherli çözeltilerin yatağın kuzeyi dışında 3 tarafını saran sist, fillit ve metekuvarsitleri, ornatmadıklarından bu birimler içerisinde ince (cm-dm) damar tipi hematit cevherleşmeleri ortaya çıkmıştır. Kısmen stokvörk yapılı olan bu cevherleşmeler, sistozite düzlemleri ile çatlak ve kırıklar boyunca izlenmektedir.

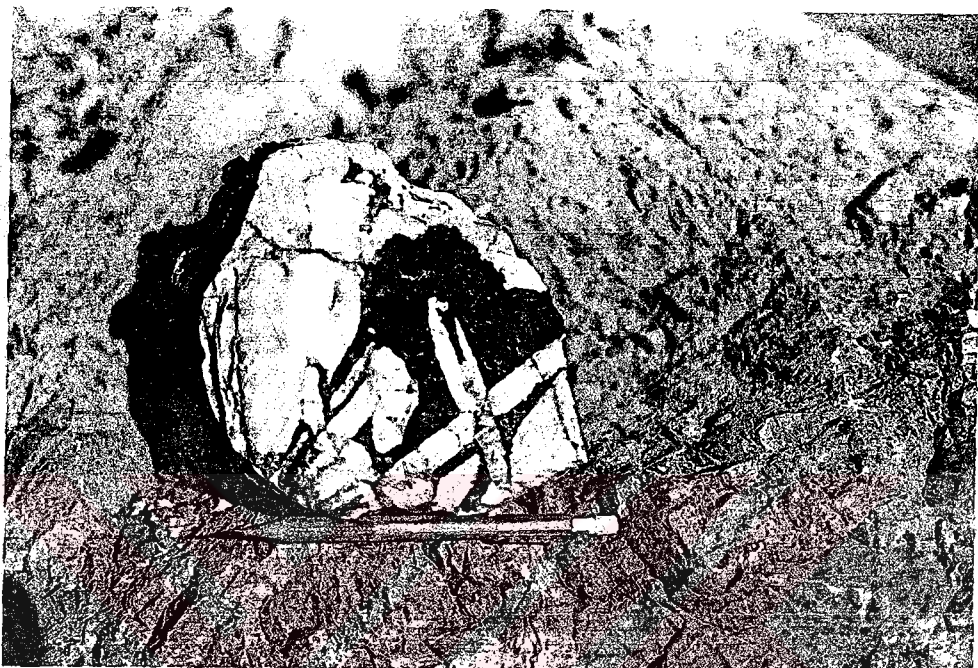
Kartalkaya yatağında hakim cevher bileşenleri; toprağımsı görünümülü limonitler ile kovuklu yapı gösteren götitlerdir.

Cevherleşme sonrasında karstik faaliyetlerle ilgili olarak, gelişen çözeltiler; hem yankayaç içerisinde, hem de cevherli bölgelerdeki kovuk yüzeylerinde çökelerek tipik kolloform yapılı götit ve limonitleri oluşturmuştur (Şekil 3.17). Yataktaki az miktarda rastlanan



Şekil 3.17. Kartalkaya yatağında, karstik etkilerle oluşmuş konsantrik yapılı götit (siyah renkli), limonit (kızılımsı sarı renkli) ve kalsitler (beyaz renkli) topluluğu.

birincil cevher mineralleri arasında en yaygın olanı, 7-8 cm boyutunda iri özçekilli barit kristalleri içeren hematitlerdir (Şekil 3.18). Yer yer götit veya limonite dönüşmüş olan masif yapılı hematitlerin yanısına daha az



Şekil 3.18. Kartalkaya yatağında birincil cevherleşmeyi temsil eden, iri özçekilli barit kristalleri (beyaz) içeren ve yer yer götite dönüşmüş siyah renkli hematitler.

oranda iri kristalli (1-6 mm) sideritler ile kısmen stokvörk yapılı çok sayıda ince hematit ve siderit damalarını kapsayan ankeritik kütleler bulunur. Yatağın başlıca gang minerallerini ise, makro olarak da izlenebilen barit, kalsit ve kuvars temsil etmektedir.

3.2.7. Mağarabeli yatakları

İnceleme alanının kuzey kesiminde, Mağarabeli mevkii nin yaklaşık 1.5 km kuzeydoğusunda birbirine yakın konumda üç yatak bulunmaktadır. 500 m'lik bir mesafe içerisinde yer alan bu yataklar, uzanımları yönünde

dogudan batıya doğru I., II. ve III. yatak şeklinde i-simlendirilmişlerdir. MTA tarafından yapılan çalışmalarda % 53.85 Fe, % 7.42 SiO₂ ve % 1.37 MnO içeren 1.406.000 ton demir cevher rezervi tesbit edilmiştir. Ancak bugüne kadar yapılan işletme faaliyetleri ile II. ve III. yataktaki cevherlerin tamamı, I. yataktaki cevherin ise tamamına yakın bir bölümü alınmıştır.

I. Yatak, rezerv bakımından en büyüktür. Cevherleşme, Sicimindagi formasyonuna ait metakuvarsitler ile Karaçattepe formasyonuna ait kireçtaşlarının faylı dokanında oluşmuştur. Yatağın kuzeydoğu kesiminde kalan cevher kütlesi, K-G / 44B konumlu Attepe Fayı boyunca, kireçtaşlarının altına doğru incelerek dalan, mercek geometrili bir damar görünümündedir (EK-2, B-B').

Magarabeli yataklarının en küçüğü olan II. Yatak, Karaçattepe formasyonuna ait kireçtaşları içerisinde, K40D / 80KB konumlu bir fay hattında bulunur (EK-1). Yataktaki işletme faaliyetleri sırasında KD-GB yönünde uzanan 75 m uzunlığında, ortalama 12-13 m genişliğinde, tabana doğru daralan bir yarıma açılarak cevher alınmıştır.

III. Yatak, Karaçattepe formasyonu içerisinde yer alan K43D / 50-70KB konumlu, eğim atımlı normal bir fay hattındadır. Cevher yerleşimi, tektonik hatlar boyunca izlenen ornatımlar sonucunda gerçekleşmiştir. Bu sebeple, yatağın batı kesiminde kısmen düzenli olan cevher-yankayaç ilişkisi, diğer kesimlerde tamamen düzensizdir. Yapısal özellikleri bakımından karstlaşmaya müsait olan kireçtaşlarının içerisinde bazı karstik boşluklar görülmektedir. Özellikle, yatağın batı kesiminde yer alan bu boşluklar içerisinde ıshınsal yapılı kalsit ve aragonit mineralleri çökelmiştir. Karbonat mineralerinden büyük bir bölüm boşluk çeperlerinden içe doğru büyürler. Bunların bir bölüm de boşluk içerisinde düşen yankayaç bloklarının yüzeylerine dik konumda bûyümüşlerdir.

Magarabeli yataklarının üçünde de hemen hemen aynı mineral parajenezleri izlenmektedir. Az oranda görülen

birincil cevher mineralleri; siderit, ankerit ve hematitlerden ibarettir. Bu minerallerin ikincil ürünü olan toprağımsı görünümlü limonitler ile kovuklu yapıya sahip olan götit ve hematitler, hakim cevher bileşenlerini oluşturmaktadır (Şekil 3.19). Başlıca gang mineralleri ise kalsit, kuvars ve barittir.



Şekil 3.19. Mağarabeli yataklarından I. Yataktaki izlenen toprağımsı limonitlerden bir görünüm.
Kçt: Dolomitli kireçtaşı.

3.2.8. Mağarabeli Tepe civarındaki yatak ve zehurlar

Mağarabeli Tepe civarında yaklaşık olarak 4 km^2 'lik bir alan içerisinde Mağaradere, I., II. ve Mağarabelitepe yatağı şeklinde isimlendirilen dört yatak ile I. ve II. zehur şeklinde isimlendirilen iki zehur bulunmaktadır (EK-1).

3.2.8.1. Magaradere yatağı

Yörede hâlen işletilen önemli demir yataklarından biri de Mağaradere yatağıdır. İsmini Mağara Dere'den alan yatak, inceleme alanının batı kesiminde bulunan

Magarabeli Tepe'nin yaklaşık olarak 1 km kuzeydogusunda yer almaktadır (EK-1).

Yatak, yapısal olarak her iki yönde dalımlı Magarabelitepe antiklinalinin doğu kanadındadır. Cevherleşme, antiklinal eksenini verev olarak kesen eğim atımlı normal bir fay hattında oluşmuştur (EK-2, C-C'). Tamamen metazomatik süreçler sonucu yerleşen cevher kütlesi; KD-GB yönünde uzanan 350-400 m uzunlığında, 30-40 m kalınlığında, $45-50^{\circ}$ ile güneydoguya doğru dalımlı bir damar şeklindedir. Batı kesiminde kalınlığı yaklaşık olarak 100 m'yi bulan cevher damarı, kuzeydoguya doğru giderek incelmekte ve yaklaşık 350 m sonra da yer yer birbirini kateden stokvörk yapılı ince damar tipi cevherleşmelerle dönüşerek son bulmaktadır. Yataktaki cevherleşmeyi kontrol eden eğim atımlı normal fayla birlikte Karaçattepe formasyonuna ait dolomitler ile kireçtaşları dokanak haline gelmişlerdir (EK-1). Ana fayla birlikte yatağın doğu ve batı ucunu sınırlayan tektonik hatların oluşumları sırasında oldukça çatlaklı ve kırıkçı bir yapı kazanan taban blogu durumundaki kireçli dolomitler, cevher yerleşimi sırasında kırık hatları boyunca önemli ölçüde ornatılmışlardır. Buna karşılık, yer yer kalksist seviyeleri içeren tavan blogu konumundaki kireçtaşları ise hemen hemen hiç ornatılamamışlardır. Sadece, bazı kırıklar boyunca dolgu biçiminde bir yerleşmeyi yansitan ince damar tipi cevherleşmeler görülür. Cevherler, kimyasal bileşimleri, aşırı ölçüde kırıklanmış olmaları ve yapısal konumları sebebiyle ornatıma daha müsait olan kireçli dolomitler içeresine doğru yerleşmiştir. Bunun sonucu olarak cevher damarının fay aynasına karşılık gelen tavan sınırı oldukça düzenli, buna karşılık taban sınırı son derece düzensiz bir konum kazanmıştır (Şekil 3.20).

Yer yer küçük karstik ceplerin de görüldüğü taban kesiminde cevher alındıktan sonra girintili çıkışlı bir morfoloji ortaya çıkmaktadır. KD-GB yönünde uzanan Magarabeli Sırtı'nın oldukça eğimli kuzey yamacında yera-

lan Magaradere yatağında 1984 yılında bir madencilik şirketi tarafından işletme faaliyetlerine başlanmıştır. Açık işletme yöntemiyle üretim yapılan yataktta güneydoğuya doğru dalımlı cevheri alabilmek için cevher damarının üst kesiminde çok sayıda basamak oluşturulmuştur. 1984 yılında 100.000 ton üretim yapılan yataktta, günümüze kadar devam eden işletme faaliyetleri ile cevherin önemli bir bölümü alınmıştır.



Şekil 3.20. Mağaradere yatağına kuzeyden bakış.

Mağaradere yatağında karstlaşmanın yoğun etkisi sebebiyle birincil nitelikli cevher mineralleri yok denecek kadar azalmıştır. Yataktta ana cevher bileşenlerini topraklısı limonitler ile sert ve kovuklu yapılı götitler temsil etmektedir. Bunlara bazen topraklısı, bazen de kovuklu yapılı olabilen ikincil hematitler eşlik etmektedir.

Birincil cevher minerallerine, ayırtmanın daha az etkili olduğu ana tektonik hatların uzagında yankayaçlar içerisinde görülen ince damar tipi cevherleşmelerde rastlanmaktadır. Bu mineraller arasında masif yapılı hematit-

ler, iri kristalli sideritler ve ornatım dokulu ankeritler yer almaktadır. Başlıca gang mineralalleri ise kuvars, kalsit ve az miktarda görülen barittir.

Magaradere ve yakın çevresinde ortaya çıkan diğer cevherleşmelere bağlı olarak Karaçattepe formasyonuna ait dolomitler büyük çapta ankeritleşmişlerdir. Kırmızımsı pas rengiyle çok uzaklardan kolaylıkla fark edilebilen bu ankeritik zonlar içerisinde kuvarslı siderit ve hematit damarları yaygındır. Bazı bol kuvarslı birincil siderit damarlarında sideritler, ayrışma olayları sonucunda tamamen veya kısmen limonite dönüşerek taşındığından, geriye sadece süt kuvars iskeletleri kalmıştır.

Magaradere yatağının taban kesiminde, cevher kütlesinin birincil yapısını da etkileyen bazı endokartik çukurluklar görülmektedir. Bu çukurluklar içerisinde kıl-blok boyutunda ikincil ve kısmen de birincil cevher parçacıkları depolanmışlardır. Düşey yönde tane boyuna dayalı derecelenme ve bantlanma gibi tipik sedimentasyon izlerinin yanısıra, kolloidal cevherli çözeltilerin kovuk yüzeylerinde oluşturduğu kolloform yapılı ikincil mineral büyümeleri ve konsantrik halkalar şeklinde izlenen ritmik çökelme yapıları yaygındır. Genellikle götitlerin oluşturduğu kolloform yapılar arasında kabugumsu, böbreğimsi, sarkıt-dikit ve işinsal yapılı oluşumlara sık sık rastlanmaktadır.

3.2.8.2. I. Yatak

Mağarabeli Tepe'nin 900 m doğusunda yer alan yatak, Karaçattepe formasyonu içerisinde KD-GB yönünde uzanan doğrultu atımlı bir fay hattında görülmektedir (EK-1). Tektonizma sırasında doğrultu atımlı fayın yanısıra, farklı doğrultularda gelişmiş küçük ölçekli birçok kırık sistemi izlenmektedir.

Cevherleşme, doğrultu atımlı fay ile K-G / 70B konumlu normal bir fayın kesişme noktasında ortaya

çıkmıştır. Esas olarak küçük ölçekli normal faya bağlı olarak gelişen cevher kütlesi, 25-30 m uzunlığında;ortalama 8 m kalınlığında, batıya doğru dalaklı bir damar şeklindedir. İşletilebilir cevherin hemen hemen tamamı alınan yataktta, yankayaç içerisinde doğru sokulum yapan düzensiz sınırlı ince cevher damarlari ile cevherleşme sırasında tam olarak ornatılamamış, kısmen ankeritik kireçtaşı blokları kalmıştır. Bu bölümler üzerinde yapılan incelemelere göre, dolgu ve ornatım biçiminde yerleşen cevheri; birincil nitelikli siderit, ankerit ve iri barit kristalleri içeren hematitler temsil etmektedir. Çoğu zaman ankeritler içerisinde birbiriyle kesişen ince damarlar şeklinde görülen sideritlere, kuvars ve kalsit gibi gang mineralleri eşlik etmektedir. Birincil cevher mineraleri çoğulukla ikincil mineralere dönüşmüşlerdir. Cevherli zonun özellikle kuzey ve batı kesimlerinde karstik olaylara işaret eden birtakım erime boşlukları ve bunların içerisinde yer alan kolloform yapılı götitler görülmektedir.

3.2.8.3. II. Yatak

Bu yatak, Mağarabeli Tepe'nin 800 m güneydoğusunda, Karaçattepe formasyonu içerisinde yer almaktadır (EK-1). Yatağın 50-60 m kuzeyinde bulunan doğrultu atımlı fayın cevherleşme ile olan ilişkisi belirlenmemiştir. Cevherleşme muhtemelen eklem sistemlerinin yoğunlaşlığı bir zon içerisinde gerçekleşmiştir.

Cevheri tamamen alınan yataktta 7-8 m çapında, 15-20 m derinliğinde tabana doğru daralan karstik bir boşluk ortaya çıkmıştır. Bu boşluğun duvarlarında izlenen ornatım dokulu, masif yapılı hematitler ile, bunların ayrışması sonucunda ortaya çıkan götit ve limonitler yataktaki başlıca cevher bileşenleridir. Bunların yanısıra az miktarda rastlanan sideritler, çoğulukla limonite dönüşmüşlerdir. Güncel olarak da devam eden karstik fa-

liyetlerle, hematitler içerisinde çapları 1-1.5 m'ye ulaşan düzensiz geometrili bazı küçük boşluklar oluşmuştur. Bu boşluklarda karstlaşmayı simgeleyen sarkıt-dikit yapılı kalsit ve aragonitler ile, kolloform yapılar gösteren götitler çökelmıştır (Şekil 3.21). Ayrıca, ana karstik boşluğun hemen KD kesiminde yer alan

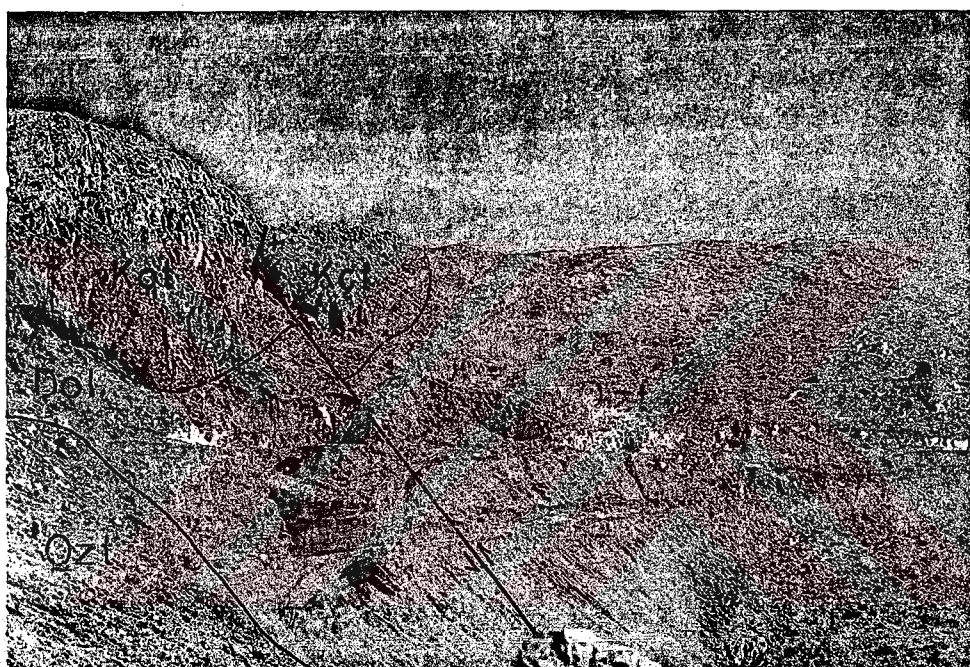


Şekil 3.21. Hematitler içerisindeki düzensiz geometrili karstik boşluklar ile bunların içerisinde oluşmuş sarkıt-dikit yapılı ikincil nitelikli kalsit ve aragonitler (beyaz renkli) (Magarabelitepe yataklarından, II. Yatak)

10-15 m derinligindeki ikinci bir karst kalıntısında kil-blok boyutunda malzemeden oluşan çok kötü boylanmalı karst sedimanları izlenmektedir. Esas olarak yörede yüzeyleyen şist, fillit, metakumtaşı, kireçtaşısı ve dolomit parçalarını kapsayan bu sedimanlar içerisinde sık sık cevher parçalarına da rastlanmaktadır. Bazen karst breslerinin de görüldüğü yatak tabanındaki cevher çakıl ve blokları, karbonatça zengin karstik sulardan çökelen ikincil nitelikli beyaz renkli kalsitler tarafından cimentolanmıştır.

3.2.8.4. Mağarabelitepe yatağı

Mağarabeli Tepe'nin 500 m kadar güneybatısında yer alan yatak, KB-GD yönünde uzanan eğim atımlı normal bir fay hattındadır (Şekil 3.22). Fay boyunca izlenen cevherleşme 20 m genişliğindeki bresik bir zon içerisindeindedir. Cevher yerleşimi sırasında, demirli çözeltiler özellikle kireçli dolomitleri ornatmış ve böylece çok düzensiz bir geometri sergileyen siderit ve



Şekil 3.22. Mağarabelitepe yatağına güneyden bakış. Kct : Dolomitli kireçtaşı, Dol : Ankeritik kireçli dolomit Qzt: Metakuvarsit.

hematit küteleri ile bunların yakın çevresinde görülen ankeritler oluşmuşlardır. Genellikle, ana fay hattında rastlanan masif yapılı hematitleri, fay hattından uzaklaşıkça, iri kristalli masif yapılı sideritler ile ankeritler takip etmektedir. Hematitlerin bir kısmı, ayrışma olayları sonucunda sideritlerden türemişlerdir. Ankeritik kuşaklar içerisinde birbirlerini kesecek şekilde gelişmiş siderit ve hematit damarları yaygındır.

Bu damarlarda birincil cevher minerallerine kuvars, kalsit ve barit gibi gang mineralleri eşlik etmektedir.

Yataktaki karstik olaylar da etkili olmuşlardır. Bu olaylarla birlikte birincil cevherler, önemli ölçüde limonitleşerek ana fay boyunca, yaklaşık 8-10 m çapında gelişen karstik bir boşlukta depolanmışlardır.

3.2.8.5. Magarabelitepe zuhurları

Magarabeli Tepe'nin güneybatı kesiminde birbirine yakın üç zuhur bulunmaktadır (EK-1). Bunlar Magarabeli Tepe'ye en yakın olanından başlamak üzere I., II. ve III. zuhur şeklinde isimlendirilmişlerdir.

I. Zuhur : Magarabelitepe yatığının 400 m güneybatısında, Karaçattepe formasyonuna ait dolomitler içerisindeinedir. Dolomitler, bu kesimde KB-GD doğrultulu iki normal fay arasında mostra vermektedir. Kuzeydeki fay boyunca yerleşen cevher, 30 m uzunluğunda, 2-3 m genişliğinde cevherli bir zon oluşturmuştur.

II. Zuhur, Magarabeli Tepe'nin 850 m güneybatısında, 2082 rakımlı tepenin 150 m kuzeybatısındadır. Burada, KB-GD uzanımlı normal bir fay ile kesilerek sökülmüşen üç ayrı fay izlenmektedir. Bu faylardan ikisi KD-GB yönünde, digeri ise KB-GD yönünde uzanmaktadır (EK-1). Tektonizmanın yoğun olduğu bu kesimde, Sicimindagi formasyonuna ait metakuvarsitler üzerinde küçük bir mostra şeklinde Karaçattepe formasyonuna ait karbonat kayaçları, bunların üzerinde de açılı bir uyumsuzlukla Karakızoglu formasyonuna ait metakonglomeralar görülmektedir.

Dolomit, kireçtaşları ve metakonglomeraları kesen fay hatları boyunca, genellikle ornatım, kısmen de dolgu biçiminde gerçekleşen cevher yerleşimleri sonucu çok düzensiz geometrili cevher küteleri ortaya çıkmıştır. Yaygın ankeritleşmelerin görüldüğü zuhurda, metakonglomeralar mermer özelliği gösteren kireçtaşlarına göre daha fazla ornatılmışlardır. Kireçtaşları içerisinde gelişen

yaklaşık 4 m çapındaki karstik bir boşluğu, limonitize hematit ve götit blokları çevresinde işinsal olarak büyüyen sarımsı beyaz renkli, limonit boyamalı aragonit ve kalsit kristalleri dolgulamıştır.

III. Zuhur, Magarabeli Tepe'nin yaklaşık olarak 1150 m güneybatısında, Karaçattepe formasyonu ile Kartalkaya formasyonunun tektonik dokanagında yer almaktadır. Cevherleşme, yaklaşık birbirine paralel bir şekilde uzanan KKD-GGB doğrultulu iki normal fay arasında gerçekleşmiştir (EK-1). Tektonizma sırasında bresik bir yapı kazanan dolomit, kireçtaşı, sist, fillit ve metakuvarsitler içerisinde dolgu, saçılım ve ornatım biçiminde yerleşen cevher, KD-GB yönünde uzanan 250-300 m uzunlugunda, 30-40 m genişliğinde, batıya doğru dalımlı cevherli bir kuşak oluşturmıştır.

Magarabelitepe zuhurlarında başlıca cevher bileşenlerini, karstik faaliyetler sonucu hematit, siderit ve ankeritlerden türeyen ikincil nitelikli bresik, kovuklu, kolloform yapılı sert götitler ile topragımsı görünümülü limonitler oluşturur. Hematit ve sideritlere karstik etkilerden kısmen korunabilmiş ankeritik kütleler içerisinde, genellikle ince damalar (mm - dm) şeklinde rastlanmaktadır. En önemli gang mineralierini ise, kuvars ve kalsitler ile yankayaca ait kireçtaşı ve dolomit parçaları oluşturmaktadır.

3.2.9. Karakızoluğu yatağı

Attepe yöreninin en önemli demir yataklarından biri olan Karakızoluğu yatağı, inceleme alanının batısında Karakızoluğu Tepe'sinin 400 m kuzeydogusunda bulunmaktadır. Polijenik metakonglomeralar içerisinde oluşan merceksi görünümülü cevherli zon; 200 m uzunlugunda ve 75 m genişligindedir (EK-1, Şekil 3.23).

Karbonat cimentolu yankayacın hakim bileşenini kireçtaşı çakıl ve blokları oluşturmaktadır. Alpin hare-



Şekil 3.23. Karakızoluğu demir yatağına kuzeyden bakış.

ketlerinden etkilenen birim içerisinde birimi kateden düzensiz eklem sistemleri ve faylar gelişmiştir. Tektonik hatlar boyunca yerleşen oldukça düzensiz geometrili cevher kütlelerinin sınırlarına yakın kesimlerde, yan kayaç içeresine doğru sokulan cevher bileşenlerinin düzensiz metazomatik ornatım sınırları belirgindir (Şekil 3.24). Bunlarla birlikte yapısal kontrolü net bir şekilde yansitan damar tipi cevherleşmeler de yaygındır. Bu tip cevherleşmeler, ana cevher kütlelerini birbirine baglayan, nisbeten kalın kanal dolguları (10-20 cm) şeklinde olabildikleri gibi, cevherleşme sırasında etkili olan hidrotermal alterasyon sonucu gelişen ankeritik zonlar içerisinde de daha ince damarlar (1-5 cm) şeklinde görülürler.

Karakızoluğu yatağında 1984 yılında başlayan ve günümüzde kadar aralıklarla devam eden işletme faaliyetleri sonucunda yataktaki cevherin hemen hemen tamamına

yakın bir bölümü alınmıştır. Yataktan, 337.85 m sondaj yapılarak % 53.47 Fe tenörlü 192368.5 ton demir cevher rezervi tesbit edilmiştir (Şahin ve Bakırdağ, 1986).

(Jkk) Metakonglomeralar



Şekil 3.24. Karakızoluğu demir yatağında düzensiz geometrili ana cevher küteleri ve cevheri alınmış karstik bir boşluğun (KB) görünümü.

Tamamen açık işletme yöntemleriyle işletilen yataktan tez çalışmaları sırasında yapılan gözlem ve incelemeler, ana cevher kütelerini almak amacıyla açılan birbirleştirence irtibatlı iki ayrı ocakta yürütülmüştür. Derinliği 20-25 m'yi geçmeyen, oldukça düzensiz geometrili bu ocakların yan duvarlarında ve çıkarılan cevherlerde cevherleşmeye ait ilksel özellikler belirlenebilmektedir. Buna göre yataktan izlenen esas cevher bileşenlerini, makro olarak gözlenebilen hematit, siderit ve ankerit gibi birincil minerallerin ayrışması sonucunda ortaya çıkan topraklı limonitler ile yaygın bir şekilde kovuklu, kolloform ve breşik yapılar gösteren sert götitler oluşturmaktadır. Breşik yapılı cevherler içerisinde sık sık ornatılamamış yankayaç parçalarına

rastlanmaktadır. Yaygın bir şekilde izlenen kovukların bir kısmı cevher yerleşimiyle ilgili ornatımlarla, bir kısmı yankayacı kazandığı bresik yapılara bağlı olarak, büyük bir bölüm ise endokarstik olaylar sonucu ortaya çıkmıştır. Bundan dolayı cevher yerleşimi esas alınarak birincil ve ikincil kökenli boşluklar ayırtedilebilmektedir. Bu boşluklar içerisinde genellikle kolloidal halde taşınan ikincil karakterli cevherli çözeltilerden, başlıca kolloform yapılı götitler çökelmiştir. En önemli kolloform yapıları; sarkıt-dikit, böbreğimsi, işinsal ve kabugumsu cevher çökelim biçimleri oluşturur. Götitlerin yanısıra, bazı boşluk yüzeylerinde yine ikincil kökenli, işinsal yapılı aragonitler ile iri özşekilli kalsit ve siderit kristalleri büyümüştür. Kars-
tik boşlukların bir kısmında değişik boyutlu birincil cevher parçacıklarıyla birlikte, yankayaç parçalarını da içeren kil-blok boyutlu ikincil cevher bileşenleri çökelmişlerdir.

Yatağın birincil ve ikincil mineral parajenezleri öteki yataklarda olduğu gibidir. Başlıca gang minerallerini kuvars, kalsit ve çok az miktarda rastlanan baritler oluşturmaktadır.

3.2.10. Sicimindagi formasyonu içerisinde yer alan zuhurlar

Infrakambriyen yaşlı Sicimindagi formasyonu, genel olarak şist, fillit, metakumtaşı ve metakuvarsitlerden oluşmaktadır. Genellikle, inceleme alanının doğu kesiminde, bu formasyon içerisinde benzer özelliklere sahip ekonomik boytlarda olmayan birçok demir zuhuru bulunmaktadır. Sözkonusu cevherleşmelerin en tipik örneklerine Attepe Fay hattı boyunca rastlanmaktadır. Fay boyunca izlenen ve bazen 30-40 m genişliğe ulaşan bresik zon, içerisindeki 10 adet zuhur ile inceleme alanının en önemli cevherleşme kuşağıını oluşturmaktadır. Bunun

dışında Attepe fayının güneydogu kesiminde yaklaşık bir-birlerine paralel bir şekilde uzanan iki ayrı fay hattında, Sicimindağı'nın 400 m kuzeydogu ve 1150 m güneydogu kesiminde; Attepe'nin yaklaşık 1 km kuzey-dogusunda, Tozlu Tepe'nin 750 m ve 1 km kuzey-kuzeydogusunda; Abacı Sırtı'nın kuzeydogu kesimleri ile Yukarıarpaçukur Tepe'nin güneydogu ve kuzeydogu kesimlerinde bu tip cevherleşmeler görülmektedir (EK-1).

Inceleme alanının batı kesiminde Katrançukuru ofiyolit bindirme hattının hemen doğusunda da benzer nitelikte zuhurlar vardır. Ancak bunlar, ofiyolit bindirme siyle cevherleşme arasındaki ilişkinin belirlenebilmesi açısından ayrı bir başlık altında incelenmiştir. Yine aynı formasyon içerisinde yer alan Çöndü Köyü'nün güneybatısındaki manyetit zuhuru da kendine has özelliklerini sebebiyle ayrıca ele alınmıştır. Cevher yerleşimi, yankayaç, cevher geometrisi, parajenez ve cevherleşme sonrası oksidasyon süreçleri bakımından birbirine benzeyen sözkonusu zuhurlar, ayrı ayrı anlatılmamış, bunun yerine tekrarlardan kaçınmak amacıyla bütün zuhurlara ait önemli ortak özellikler topluca verilmiştir.

Tektonik hatlar boyunca meydana gelen bresik zonlar içerisinde yer alan küçük rezervli bu zuhurlar, çoğunlukla silis oranı yüksek, düşük tenörlü sert cevherlerle temsil edilmektedir. Dolgu, saçılım ve kısmen de ornatım biçiminde gerçekleşen cevher yerleşimleri ile yankayaç agırlıklı, bresik yapılı oldukça düzensiz geometrili cevher, kütleleri ile çatlak ve kırıklar boyunca görülen ince damar tipi cevherleşmeler ortaya çıkmıştır. Hemen hemen bütün zuhurların etrafında limonitli yüzey suları ile cevher ve cevher içerikli yankayaç döküntülerinin oluşturduğu, geniş alanlar kaplayan kırmızımsı sarı renkli bir yüzey kirlenmesi görülür.

Bazen bu tip zuhurlar, Attepe ve Magarabeli demir yataklarının oluşumunda büyük rol oynayan, Attepe Fayı gibi önemli cevher taşıma kanalları üzerinde bulunmalarına rağmen, cevherli çözeltilerin kolayca ornatabile-

cekleri karbonat kayaçların bu çevrede bulunmayışları ve cevher yerleşimi için uygun tektonik ortamların gelişmemesi sebebiyle sadece yankayacın çatlak, kırık ve gözeneklerine yerleşmiş küçük zuhurlar şeklindedirler. Yankayaç bileşenlerinin büyük oranda silisli veya kuvarsça zengin olması çok sınırlı bir ornatıma yol açmıştır. Bu ornatımlarla birlikte cevherin silis oranı yükselmiştir. Zuhurlarda başlıca cevher bileşenlerini, yer yer speküleritleşmiş hematitler ile bunlardan türeyen limonitler ve kovuklu yapıya sahip sert götitler oluşturur. Silis oranı yüksek sert breşik yapılı hematitlerde, ikincil olarak boşluk yüzeylerinde gelişmiş sarkıt-dikit yapılı götit ignecikleri gözlenmektedir. Yer yer sütkuvars damarlarının görüldüğü bu tip zuhurlarda en önemli gang minerallerini kuvars ve kalsitler oluşturmaktadır.

3.2.11. Katrançukuru zuhurları

Katrançukuru Tepe'nin güneydogu ve kuzeydögu kesimlerinde, yaklaşık olarak K-G yönünde uzanan, Katrançukuru ofiyolit bindirme hattıyla ilişkili altı zuhur bulunmaktadır. Güneyden kuzeye sıralanan bu zuhurların özellikleri aşağıda verilmiştir (EK-1).

I. Zuhur, Katrançukuru Tepe'nin 525 m GGD'sunda, bindirme hattının ise 50 m doğusunda; $30 \times 15 \text{ m}^2$ 'lik düzensiz sınırlara sahip mercek geometrili bir alan içerisinde izlemektedir. Cevher, ankeritlesmiş dolomitler ve bunları çeşitli yönlerde kateden baritli hematit damarlarından ibarettir.

II. Zuhur, Katrançukuru Tepe'nin 400 m güneydogusunda, bindirme hattının 100 m doğusundadır. Alt-Orta Kambriyen yaşlı dolomitleri alt sınırı boyunca ornatarak yerleşen cevher kütlesi, 8 m uzunlugunda, 5 m kalınlığında $40-45^\circ$ ile batıya doğru dalımlı merceksi bir damar görünümündedir.

III. Zuhur, Katrançukuru Tepe'nin 250 m güneydogusunda, bindirme hattının 50 m doğusundadır. Ankeritik dolomitler içerisinde yeralan zuhur, baritli hematitlerin oluşturduğu iki cevher damarını kapsamaktadır. Tabakamsı damar şeklinde izlenen cevher kütlelerinden birincisi, 10-15 m uzunlugunda, 1-1.5 m kalınlığında olup, K10D / 50KB konumludur. İkincisi ise 35 m uzunlugunda, ortalama 60 cm kalınlığında ve K20D / 55KB konumludur. Yankayacı oluşturan ankeritik dolomitler içerisinde de 2-10 mm kalınlığında stokvörk yapılı yoğun siderit damarlari izlenmektedir. Cevher kütlelerinden ayrışma sonucu zamanla türeyen çakıl ve bloklar geniş bir alana yayılmışlardır.

IV. ve V. Zuhurlar, Katrançukuru Tepe'nin 375 ve 650 m kuzeydogusunda, bindirme hattında yer almaktadırlar. 1-1.5 m³'lük bloklar şeklinde izlenen bresik yapılı cevher, metakuvarsitler içeresine yerleşen baritli hematitlerden ibarettir.

VI. Zuhur, Koruyeri Tepe'nin 500 m güneyinde, ofiyolit bindirme hattının 100 m doğusundadır. K-G uzanımlı normal bir fay hattında izlenen cevherleşme, infrakambriyen yaşlı metakuvarsitler içerisinde yer alan bresik yapılı baritli hematit veya hematitli baritlerin oluşturduğu ince damarlardan ibarettir.

Bütün zuhurlarda birincil cevher minerallerinden yaygın bir şekilde türeyen limonitler, yüzey sularıyla çevreye taşınarak kırmızımsı pas renkli yüzey kirlenmelerini oluşturmuşlardır.

3.2.12. Çondu zuhuru

İnceleme alanının güneydogu kesiminde, Çondu Köyü'nün yaklaşık olarak 1 km güneybatısında yer alan zuhur, Sicimindagi formasyonuna ait pelitik kayaçlar içerisinde görülen iki ayrı kireçtaş merceği ile ilişkilidir. Zuhurun 30-40 m güneybatısında KD-GB uzanımlı normal bir

fay görülür (EK-1). Ancak cevherleşmenin bu fay ile ilişkisi belirlenmemiştir. Tekonizma sırasında çok kırıkçı bir yapı kazanan kireçtaşları içerisinde eklem sistemleri boyunca yerleşen manyetitler, uzanımları yönünde 10-30 m kadar devamlılık gösteren K5D / 20KB konumlu iki cevher merceği oluşturmuşlardır. 7-8 m aralı ile izlenen 3 ve 15 m kalınlığındaki mercek geometrili cevher kütlelerini, masif yapılı, sert spekülaritli manyetitler oluşturmaktadır. Yüzeyde birbirinden ayrı olarak mostra veren bu cevherler 1-1.5 m³ boyutunda iri bloklar şeklinde parçalara ayrılmışlardır. Manyetit bloklarının yayılım gösterdiği cevherli alanın uzun ekseni yaklaşık K70B doğrultusunda uzanmaktadır. Manyetitler tarafından ornatılan ince-orta tabakalı, bazen laminalı, çört bantları içeren açık gri renkli dolomitli kireçtaşları bazen ankeritleşmiştir. Üstte bulunan manyetit merceği içerisinde cevher yerleşimi sırasında tam olarak ornatılmamış çörtlü ankeritik kireçtaşı seviyeleri mevcuttur. Sağlam ve dayanıklı bir yapı arzeden manyetit blokları içerisinde oksidasyon süreçleri ile 1-3 cm çapında düzensiz sınırlı limonit öbekleri ortaya çıkmıştır. Bunalıların bir kısmı yüzey sularıyla taşınarak yerlerinde boşluklar oluşmuştur. Çatlak ve kırıklar boyunca kısmen şist ve fillitler içeresine de yerleşen cevherler, ince spekülaritli manyetit damarları şeklinde dirler. Benzer şekilde Oruçlu Köyü'nün 500 m güneydoğusunda dere yatakları içerisinde damar tipi manyetit cevherleşmeleri izlenir. İnceleme alanının dışında kalan bu cevherleşmeler, Infrakambriyen yaşlı Sicimindagi formasyonuna ait mavimsi yeşil renkli orta-kalın tabakalı metakumtaşları içerisinde yer almaktadır. 1-15 cm arasında kalınlıklar sunan cevher damarları, dolgu biçiminde bir yerleşimi yansıtan düzenli sınırlara sahiptir. Masif yapılı cevherlerin gözlendiği damarlarda manyetitlerle birlikte pirit, kuvars ve kalsit mineralleri bulunmaktadır.

3.2.13. Ankeritik kuşaklar ve bunlarla ilgili bazı küçük zuhurlar

Inceleme alanında yaygın olarak görülen ankeritleşmeler ve karbonatlara bağlı cevher yerleşimleri, esas olarak Karaçattepe formasyonuna ait kireçli dolomitler içerisinde, daha az olarak da dolomitli kireçtaşları ve Karakızolugu formasyonuna ait metakonglomeralar içerisinde gerçekleşmiştir.

Kolay kırılımlı, genellikle masif veya kovuklu yapıya sahip olan ankeritler, yaygın olarak siderit ve hematit cevher damarlarını kapsarlar. Kalınlıkları mm ile dm arasında değişen, kısmen stokvörk yapılı bu damarlarda birincil cevher mineralleriyle birlikte makro olarak ayırtedilebilen kuvars, kalsit ve barit gibi gang mineraleri izlenmektedir. Bu mineralerden kuvarslar sideritlere, baritler ise daha çok hematitlere eşlik etmektedir. Parajenezde bulunan gang mineralerinin yer yer ağırlık kazanması sonucu sideritli kuvars, hematitli barit, sideritli, hematitli kalsit ve hiç cevher minerali içermeyen sütkuvars ve kalsit damarları ortaya çıkmıştır. Cevher yerleşiminden sonra da etkili olan tektonik olaylarla birçok cevher damarında mikrofaylar oluşmuş ve bunlar değişik doğrultularda atıma uğramışlardır.

Inceleme alanında en önemli ankeritleşmeler, Mägarabeli Tepe kuzeydoğusu, Mağaradere yatağı batısı, Uykuçukuru Tepe'nin güneybatısı ile Ziyaret Tepe ve Kızıltapur Tepe'lerinin etrafında, kireçli dolomitler içerisinde izlenmektedir (EK-1). Bu kesimlerde bazı küçük çaplı cevher zuhurlarını da kapsayan ankeritler, ayrışma olayları sonucu önemli ölçüde limonitlere dönüşerek uzak mesafelerden farkedilebilen tipik kırmızımsı sarı renkli yüzey kirlenmelerini oluşturmuştur.

Kızıltapur Tepe'den başlayarak kuzyeye doğru Uykuçukuru ve Beltepe'ye kadar uzanan sırtın doğu ve batı yamaçlarında karbonat kayaçlar içerisinde bazı demir zuhurları bulunmaktadır (EK-1). Bu sırtın doğu tarafında

Yeralan zuhurlarla ilgili bilgiler bir tablo şeklinde verilmiştir (Tablo 3.1). Daha önceki çalışmalarında Hanyeri demir cevherleri şeklinde geçen batı taraftaki cevherleşmeler, Uykuçukuru Tepe'nin yaklaşık olarak 750-800 m güneybatısında önemli ölçüde ankeritleşmiş kireçli dolomitlerle, dolomitli kireçtaşlarının tektonik dokanın da yer almaktadır. Çatlak ve kırıklar boyunca çok düzensiz ornatım saçakları oluşturan cevherleşme, bindirmeye paralel bir şekilde yer yer kesikliklere ugrayarak yaklaşık 75-100 m kadar devam etmektedir. 35-40° lik bir açıyla güneydoğuya doğru dalım gösteren cevher kuşağında başlıca cevher minerallerini bresik yapılı hematit ve sideritler, gang minerallerini ise barit, kalsit ve kuvarslar temsil etmektedir.

Ankeritik zonlar içerisinde benzer özelliklere sahip daha küçük çaplı siderit-hematit cevherleşmeleri vardır. Bunlar: Ziyaret Tepe'in 500 m güneydogusunda, Kızıltapur Tepe'nin 500 m güneybatısında (burada hematitler speküleritleşmiştir), Karaçat Tepe'nin 350 m kuzeybatısında (siderit ağırlıklı), Cilbeher Tepe'nin 350 m kuzeybatısında (siderit ağırlıklı) ve Tavşankırı Tepe'nin 150 m doğusunda yer almaktadır (EK-1).

Inceleme alanında yeralan bütün yataklarda etkisini gösteren karstik olaylar, ankeritik kuşaklar üzerinde de etkili olmuştur, ankeritler kovuklu yapısını, ornatım esnasındaki mineral dönüşümü, limonitleşen cevherin iyice ayrışarak taşınması ve karstlaşma gibi etkenlerle kazanmıştır. Ayışma olaylarıyla birlikte ankeritik kuşakta yeralan birincil nitelikli cevher bileşenleri, limonit ve götit gibi ikincil cevher bileşenlerine dönüşmüştür.

3.2.14. Magaradere zuhuru

İsmini Magara Dere'den alan zuhur, Koruyeri Tepe'nin 1300 m güneydogusunda, Mağara Dere'nin 375 m batısındadır.

Tablo 3.1. Kırçılardan İçerisinde Yerliliklerin Zihuruların Özellikleri

| Zihurun yeri | Zihurun şekli | Zihurun yanıkayaçları ilişkisi ve cehver yerleşimi | Zihurdaki cehver mineraleri | Zihurda görülen oksalatyon dayaları |
|---|--|---|--|--|
| Kızılıapur T.'nın 750 m KD'sundadır. | Kuzey-güney uzanımlı 50 m uzunlığında 1,5 m genişliğinde, 45°lik bir açıyla batıya doğru eğimli bir da- mardır. Damarın batı tarafındaki uzanımı berrakıdır. | Prekristalize dolomitli kireçtaşları îçerisinde yer almaktadır. Cehver da- marının alt ve üst sınırları düzendir, konumu ile yanıkayaçların tabakalı yapısına uyum- sudur. Cehver dolgu şeklinde yerleş- miştir. | Kırmızımsı siyah renkli, masif yapı hematit, götit ve limoniterdir. | Cevher : Yanıkayaçta yaptığı dokanaklar boyunca çok hafif bir limonitesmeye uğramıştır. Bazı kovuk- larda ise böbreğimsi, yahut sarkıt-dikit şeklinde götit mineraleri gelişmiştir. |
| Kızılıapur T.'nın 700 m KD'sundadır. | K50B/33 KD konumu bir kırk boyunca yerleşmiş olan cev- her damarı 3-4 m uzunluğunda ve 70 cm kalınlıktadır. | Dolomitli kireçtaşları içeren içerisinde ye- reklir. Ornatum yoluyla yerleşmiştir. Dokanakları griştili çöküntülerdir. | Sarı renkli torbağımsı limonitler, siyah renkli bükögünsi götit ve hematitlerdir. | Götit ve limonitler oluşmuş olup, limonitlerin bir kaşm yüzey suları ile taşınarak çavredeki kayaç- ların kırıklarını dolgulamıştır. |
| Kızılıapur T.'nın 575 m KD'sundadır | K70B/30GB konumu 30 m uzunlığında 10 m kalınlığında bir damar şeklidindedir. Damar boyunca acılmış yarıma ve galeri girişleri bulunmaktadır. | Prekristalize dolomitik kireçtaşları ile an- keritik kusatmış sınırdında yer alır. Cehver damarnın dokanakları kısmen de griştili çöküntü olup, cehver dolgu ve ornatum bölümünde yerleşmiştir. | Siyah renkli, orta derecede sert, masif yapılı hematit, sarkıt-dikit şeklinde siyah renkli götit ve az miktarda da sarı renkli toprağımsı limonitlerdir. | Yüzey kesimlerde limonitesme, galeri girişlerinin tar- ban ve tavandında sarkıt-dikit şekilli götit oluşumları. |
| Kızılıapur T.'nın 500 m Kuzey-İn- derdir. | 2 x 5 m boyutlarında bir mercek şeklindeür. | Dolomitli kireçtaşları içerisinde yer alır. Sınırlar oldukça düzensiz olup, ornatum bölümünde yerleşim gözlemlmektedir. Ceh- verde dokanak halindeki kireçtaşları anke- ritleşmiştir. | Limonitter ve göttiter içerir. | Yüzey sularıyla çavreye taşınan limonitter, zihurun etrafında kirmızımsı sarı renkli kırıldımış bir zon oluşturur. |

Magaradere senkinal eksenine yakın bir kesimde gelişen normal bir fay hattında görülen cevherleşme, Kartalkaya formasyonuna ait pelitik kayaçlar içerisinde yer almaktadır. Cevher kütlesi K15D / 70GD konumlu fay düzlemi boyunca yerleşmiş dayk görünümlü bir damardır (Şekil 3.25). Yüzeyde yer yer 1-1.5 m yüksekliğinde sert

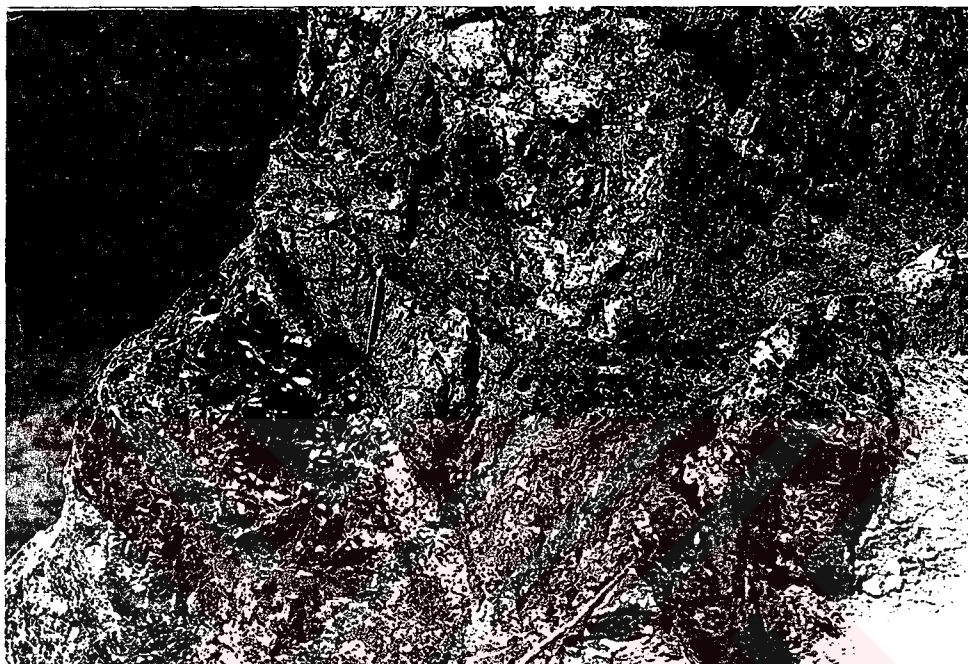


Şekil 3.25. Kartalkaya formasyonuna ait şist ve fillitler içerisinde yer alan baritli hematit veya hematitli barit damarı(B.D.).

çıkıntıları oluşturan 250 m uzunluğundaki bu damar, 2 ile 4 m arasında değişen kalınlıklara sahiptir. Cevher damarının fay aynasıyla sınırlanan üst yüzeyi oldukça düzenli, alt yüzeyi ise kısmen düzensizdir. Fay düzlemi boyunca taban blogunda meydana gelen tektonik zon içerisinde dolgu, saçılım ve kısmen de ornatım biçiminde yerleşen cevher, kuvarsca zengin şist ve fillitleri ornatamamıştır. Bu sebeple cevher kütlesi içerisinde yer yer şist-filit bloklarına rastlanmaktadır (Şekil 3.26).

Birincil nitelikli hematit ve bunların ikincil ürünü olan götitler, zuhurdaki başlıca cevher bileşenlerini oluşturmaktadır. Genellikle breşik, kısmen de kovuklu bir

yapı sunan cevher, bol miktarda iri (3-8 cm) barit kristallerini kapsamaktadır. Genel olarak baritli hematitlerin oluşturduğu cevher kütlesi içerisinde, barit oranının yer yer % 50'nin üzerine çıkmasıyla birlikte baritli hematitlerden hematitli baritlere geçiş yapılmaktadır.



Şekil 3.26. Magaradere zuhurunda, iri barit kristalleri (beyaz renkli) içeren hematitler (siyah renkli) ve bunlar içerisinde yer alan ornatılamamış şist ve fillit kalıntıları (sarimsı kahve).

3.2.15. Diğer zuhurlar

3.2.15.1. Domuztümseg̤i zuhuru

Domuztümseg̤i Tepe'sinin 250 m güneydogu kesiminde yüzeyleyen bu zuhur, KB-GD yönünde uzanan eğim atımlı iki normal fayın kesişme noktasında, Karaçattepe formasyonuna ait kireçtaşları ile Kartalkaya formasyonuna ait

fillitlerin normal dokanagında oluşmuştur (EK-1). Yaklaşık olarak K40B / 42GB konumlu 30-40 m uzunlugunda, 8-10 m kalınlığında mercek geometrili bir zonda kısmen limonitleşmiş hematit ve az miktarda siderit yer almaktadır. Cevherleşme sırasında kireçtaşlarının kısmen ornatılması sebebiyle zuhurun taban kesimi düzensizdir.

3.2.15.2. Sicimindagi zuhuru

Zuhur, Sicimindagi'nın 300 m güneybatısındadır (EK-1). 75 m uzunlugunda, 10-15 m kalınlığında tabakamsı bir damar görünümünde olan cevher kütlesi, Sicimindagi formasyonu ile Karaçattepe formasyonunun tektonik dokanagındadır. Yaklaşık olarak K-G yönünde uzanan cevher damarı, karbonat kayaçların altına doğru dalmaktadır. Başlıca cevher minerallerini, masif veya breşik yapılı silisli hematitler ile bunların ikincil ürünü limonitler oluşturmaktadır.

3.2.15.3. Dilibozpinarı zuhuru

Diliboz Pinarı'nın 300 m güneybatısında yer alan cevherleşme, Karaçattepe formasyonu ile Kartalkaya formasyonunun faylı sınırında oluşmuştur (EK-1). BKB-DCD yönünde uzanan cevher, kireçli dolomitler içerisinde tektonik hattar boyunca izlenen ornatım süreçleriyle yerleşmiş olup, yoğun siderit damarlarını kapsayan ankeritik kesimler görülür. Başlıca cevher bileşenlerini topraklısı görünümlü limonitler, sarkıt-dikit şeklinde izlenen kolloform yapılı götitler ile masif yapılı sert hematitler oluşturmaktadır.

Yer yer küçük çaplı karstik boşlukların da görüldüğü düzensiz geometrili zuhurda, daha önce yapılan işletme faaliyetleri ile işletilebilir cevherin tamamına yakın bir bölüm alınımıştır.

3.2.15.4. Cinnidere zuhuru

İnceleme alanının güney kesiminde, Yağbağ Tepe'nin 625 m BKB'sında yeralan zuhur, Cinni Dere'nin yaklaşık 400 m doğusundadır (EK-1). KD-GB uzanımlı normal bir fay hattında görülen cevherleşme, Sicimindagi formasyonu ile Karaçattepe formasyonunun tektonik dokanlığında yeralır. Dolgu ve ornatım biçiminde gerçekleşen cevher yerleşimleri sonucu 15 m uzunlukta 2-3 m kalınlığında, doğuya doğru dalaklı bir cevher kütlesi oluşmuştur. Bu kesimde küçük bir alanda yüzeyleyen dolomitlerin büyük bir kısmı aşınarak ancak 3-5 m kalınlığındaki bölümü kaldığından dolomitlerle ilişkili olan cevher kütlesi de daha fazla gelişmemiştir. Cevher damarının doğu sınırında, işinsal yapılı kalsitlerin dolguladığı yaklaşık 3 m çapında karstik bir boşluk izlenmektedir. Zuhurdaki en önemli cevher bileşenleri; hematit, götit, limonit ve siderittir. Masif yapılı hematitler yer yer spekülaritleşmiştir. Sideritler, ankeritler, içerisinde ince damalar şeklindekdir.

Zuhurun yakınında bulunan izabe kalıntılarına göre önceden işaretildiği anlaşılan Cinnidere zuhurunda, günümüzde yapılan çalışmalarla birlikte cevherin bir bölümü daha alınmıştır. Geriye metakuvarsitler içerisindeki silis oranı yüksek breşik yapılı cevherler kalmıştır.

3.2.15.5. Karakızolugu zuhurları

Karakızolugu Tepesi'ne 1.5 km kadar uzaklıkta, yaklaşık olarak K-G yönünde bir dizilik sunan dört adet demir zuhuru bulunmaktadır. Karakızolugu formasyonuna ait metakonglomeralar içerisinde görülen bu zühurlardan kuzeydekiler, adıgeçen formasyonun tabanında bulunan diskordans hattında, güneydekiler ise diskordans hattının hemen üst kesiminde yer almaktadırlar (EK-1).

Oldukça düzensiz sınırlara sahip damar ve mercek geometrili bu zuhurlarda breşik yapılı götit ve hematitler en önemli cevher bileşenleridir. Eklem sistemleri boyunca konglomeralar içeresine doğru sokulum yapan ornatım doku-lu bazı cevher damarlarının etrafında kısmi ankeritleşmeler izlenmektedir.

Karakızolugu zuhurlarından güneyde bulunanı, K-G yönünde uzanan 35-40 m uzunluğunda, yaklaşık olarak 20 m kalınlığında doğuya doğru dalaklı bir damar, kuzeydeki ise, 80 m uzunluğunda, 8-10 m yüzey genişliğinde cevherli bir kuşak şeklindedir. Ortada kalan çok düzensiz sınırlı diğer iki zuhur ise, kısmen mercek geometrili dir. Kuzey kesimde yer alan zuhurlarda 337.8 m, 10 adet sondaj yapılarak % 42.79 Fe, % 26.38 SiO₂, % 2.44 Al₂O₃ ve % 0.92 MnO içerikli toplam 192368.5 ton cevher rezervi tesbit edilmiştir (Şahin ve Bakırdağ, 1985).

3.3. Demir Yatak ve Zuhurlarının Karstlaşması

İnceleme alanında özellikle karbonat kayaçlarının içerisinde yer alan demir yatak ve zuhurlarında değişik geometrik özellikler sunan irili ufaklı birçok karstik boşluga rastlanmaktadır.

Karstlaşma süreçleriyle ilgili olarak yörenedeki herbir yatak ve zuhurda ortaya çıkan ikincil cevher bileşenleri hakkındaki ayrıntılı bilgiler, daha önce verildiğinden bu bölümde sadece konu ile ilgili genel özelliklere deгinilecektir.

Ereme süreçlerinin bir sonucu olan karstlaşma, eriyebilir nitelikteki kayaç kütlelerinin mevcudiyetine, karstik şekillerin korunması ise, eriyen kütlenin dayanımlılığına ve erime hızına bağlıdır. Buna göre çok kolay eriyebilir nitelikteki jips ve kayatuzu gibi kütlelerin yanında karbonatlar; erime hızlarının düşük oluşu ve dayanıklı olmaları sebebiyle karstik şekillerin

korunması açısından karstlaşmaya uygun en önemli küteleri oluştururlar. Bununla birlikte bütün karbonatların aynı oranda karstlaştığı söylenemez. Çünkü karstlaşmada karbonatların;

- Kimyasal bileşimleri,
- Erime ve çökelme Özellikleri,
- Porozite ve permeabiliterleri,
- Kalınlık ve stratigrafik konumları

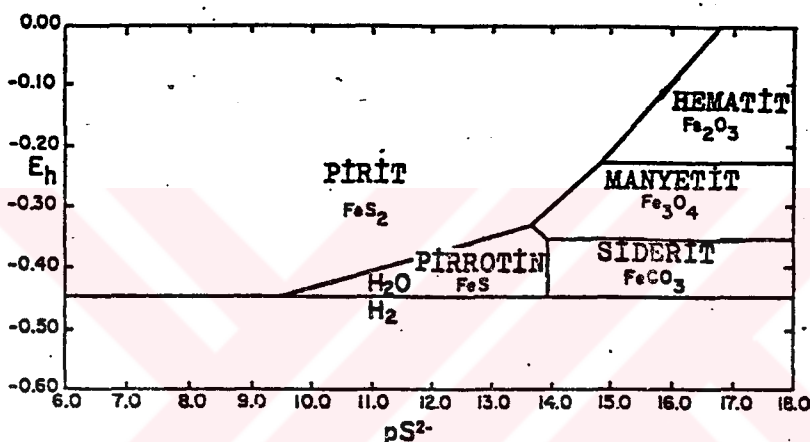
önemli rol oynamaktadır. Bu kriterlerin yanısıra, klimatolojik etkiler, topografya, bitki örtüsü ve zaman karstlaşmada çok önemli diğer faktörleri oluşturur (Lukashev, 1970; Zuffardi, 1976; Ketin, 1982).

İnceleme alanında karstlaşmanın gerçekleştiği en önemli birimler, cevher yerleşimi açısından da büyük bir öneme sahip olan Karaçattepe formasyonuna ait kireçli dolomit, dolomitli kireçtaşları ve Karakızolugu formasyonuna ait karbonat çimentolu metakonglomeralardır. Tekraranan tektonik hareketler sırasında yoğun çatlaklı ve kırıklı bir yapı kazanan sözkonusu birimler ile bunlarda bulunan tektonik kontrollü karbonatlı cevherleşmeler; gerek bileşimleri, gerekse yapı ve dokuları bakımından karstlaşmaya elverişli bir konumdadırlar. Özellikle, cevherleşme sonrasında etkili olan tektonik hareketler sonucunda cevher küteleri içerisinde makro ve mikro-seviyede ortaya çıkan süreksizlikler, yatak içi karstlaşmada önemli rol oynamışlardır. Toros kuşağında yaygın olan karbonat kayaçlarının Miyosen öncesi ve sonrasında olmak üzere çok fazlı karstlaşmalara sahne olması ve bu olayların hâlen devam etmesi (Ayhan, 1983; Kuşçu, 1983; Temur, 1986; Çevrim ve diğ., 1986; Lengeranlı ve diğ., 1986; Karadag, 1987), günümüzde olduğu gibi geçmişte de karstlaşmaya müsait CO_2 'ce zengin karstik suların oluşabileceği bol yağışlı, nemli iklim şartlarının hüküm sürdüğünü göstermektedir. Ancak, inceleme alanında yüzeyleyen Karaçattepe formasyonuna ait karbonat kayaçlarının maksimum 240 m kalınlığında, nispeten ince bir stratigrafik seviye oluşturma ve bu formasyonun

altında geçirimliliği fazla, aşırı ölçüde kırıklanmaya uğramış metakumtaşı ve metakuvarsit gibi birimlerin yer almazı, karstlaşmada yatay yönlü su dolaşımını önemli ölçüde engellemiştir. Bu sebeple, çalışma alanında Zuffardi (1976) ve Bernard (1976) tarafından belirlenen tipik olgun bir karst sisteminin bütün zonları gelişmemiştir. Genellikle derin vadilerle birbirinden ayrılmış olan yüksek tepe ve yamaçlarda mostra veren kireçtaşısı ve bunlara bağlı cevherleşmeler, muhtemelen yeraltı su seviyesinin üzerinde kalan süzülme zonu çerçevesinde karstlaşmışlardır. Yatak ve zuhurlarda çoğunlukla, düşey yönde gelişmiş olan dolin ve boşlukların yaygınlığı da bu tezi doğrulamaktadır. Ekzo-karstik oluşumların yaygın olmadığı inceleme alanında daha ziyade tektonizma, litoloji ve topografya ile kontrol edilen cevher içi endokarstik oluşumlar izlenmektedir. Attepe, Karakızolugu ve diğer bazı yataklarda kars- tık boşlukların içerisinde yer yer süperjen kökenli cevherli çözeltilerden kimyasal olarak çökelmiş olan ikincil sideritlerin varlığı, karstlaşma sırasında bazen Eh degerinin negatif, pH degerinin ise nötr veya nötre yakın olduğunu göstermektedir. Zira, sideritin çökelebilmesi için düşük pS^2 , yüksek CO_2 basıncı, nötre yakın pH değeri (düşük pH degerinde siderit çözünür), yüksek Fe^{+2} / Ca^{+2} oranı (bu durumda kalsit ve aragonit oluşumu azalır) ve düşük Eh, yani indirgeyici bir ortam gerekmektedir. (Şekil 3.27).

Birincil cevher yerleşiminden sonra etkili olmaya başlayan karstlaşma süreçleriyle birlikte sözkonusu cevherler, birincil geometri, yapı, doku ve bileşimlerini önemli ölçüde kaybederek ikincil nitelikli cevher bileşenlerine dönüşmüş ve bunlar gelişen endokarstik boşluklarda yeniden çökelerek karst sedimantasyonuna ait tipik yapılar gösteren, ekonomik nitelikteki karstik cevherleşmeleri oluşturmuşturlardır. Yapılan gözlemlere göre karstlaşmaya ilişkin birinci evrede; özellikle cevher kütleleri içinde ve yankayaçılarda oluşan süreksizlik zon-

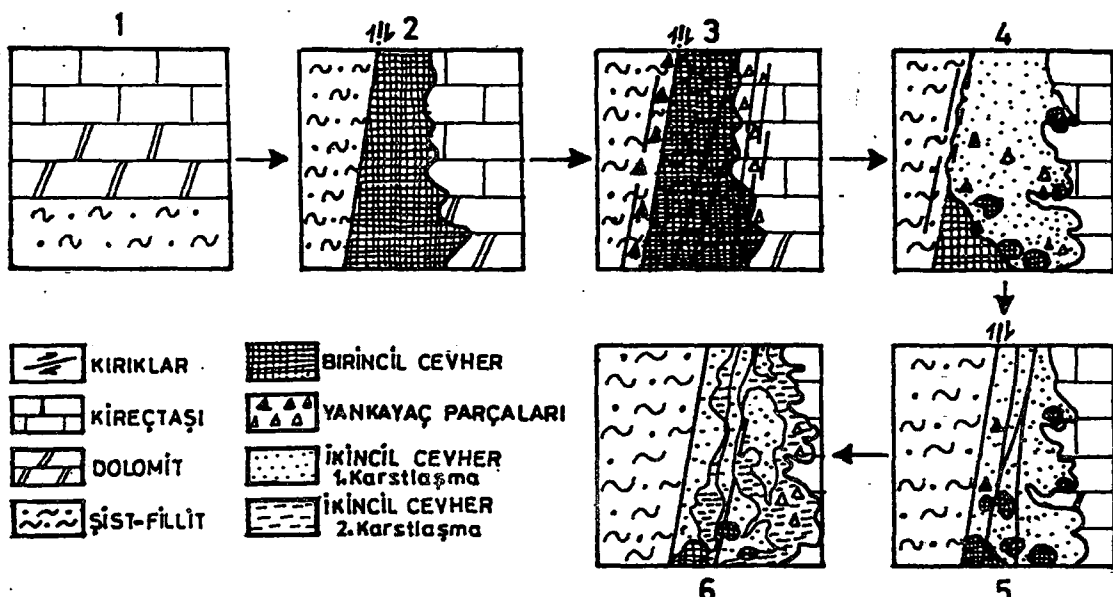
lari ile karbonatlı cevher minerallerinin kristal sınırları ve dilinimleri boyunca süzülen. CO_2 , H_2SO_4 ve $\text{Fe}_2(\text{SO}_4)_3$ bileşenlerince zengin, eritme kapasiteleri yüksek asitik karakterli yüzey sularının etkisiyle birincil cevherler ile karbonat kayaçları farklı oranlarda ayırmışlardır. Ayırışma ile birlikte yavaş yavaş ilksel dokusunu kaybeden masif yapılı birincil cevherlerden topragımsı görünümülü ikincil cevher bileşenleri türemeye başlamıştır. Zamanla daha da etkili olan müteakip karst-



Şekil 3.27. Anaerobik ortam şartlarında Eh ve pS^2 'nin fonksiyonu olarak bazı demir mineralerinin stabilite alanları (Berner, 1964).

laşma evreleri sonucunda ortaya çıkan ikincil cevherler, kolloidal çözeltiler veya kıritılı malzemeler şeklinde yatak içi taşınmalara maruz kalmışlardır. Çoğunlukla düşey yönde etkili olan taşınmalarla birlikte muhtemelen çok dar boru şeklindeki erime kanalları meydana gelmiştir. Daha sonra tekrarlanarak devam eden ayırışma ve taşınma olaylarıyla birlikte bu dar kanallar, daha da genişleyerek bugün izledigimiz magaramsı boşluklar ve dolinler gelişmiştir. Ancak, sürekli olarak tekrarlanan bu olaylarla birlikte bir taraftan karstik boşluklar oluşurken, diğer taraftan mekanik olarak taşınan birincil

ve ikincil cevher parçaları ile yankayaç elemanları oluşan bu boşlukları doldurmuşlardır (Şekil 3.28).



Şekil 3.28. Attepe yöresinde karstlaşma evrelerinin şematik olarak gösterilmesi.

Karstlaşma süreçleriyle birlikte demirin taşınması ve yaygın olarak sarkıt-dikit ve konsantrik yapılar oluşturacak şekilde yeniden çökelmesi ortamın Eh ve pH değerleriyle yakından ilgiliidir. Bilindiği gibi demir genellikle iki değerlikli olarak çözeltide kalabilmekte, pH'ın 5 ile 9 arasında değiştiği hafif asit veya bazik bir ortamda süratle yükseltgenerek sulu demir oksitler şeklinde çökelmektedir (Mason, 1966). Su'da kolayca çözünmeyen ve dolayısıyla kolloidal süspansiyonlar şeklinde taşınan ferrik oksitler $[Fe(OH)_3]$ ise çökeldikten belli bir zaman sonra götit'e, götitler de sularını kaybederek hematite dönüştürmektedir (Sarılı, 1978).

Attepe (Mansurlu-Feke) yöresinde yapılan incelemelere göre, bölgedeki birincil cevherleşmenin muhtemelen Paleosen - Alt Eosen zaman sürecinde gerçekleştiği belirlenmiştir. Bu sebeple, demir yatak ve zuhurlarında özellikle endokarstik faaliyetler şeklinde izlenen karstlaşma olaylarının başlangıcı da Alt Eosen'den yani, birincil cevher yerleşiminden sonra olmalıdır.

Karstlaşmanın daha yoğun olduğu inceleme alanının batı kesimindeki Aladagliar yöresinde de benzer karstik faaliyetlerin başlangıcı yine bu döneme rastlamaktadır (Ayhan ve Küpeli, 1989).

Yöredeki birçok yatakda bol miktarda cevher çakıllarının varlığı, özellikle limonitleşmenin yaygın olduğu Attepe, Menteş ve Kızıl yataklarında çok sayıda boşluğun bulunması ve bu boşlukların götitlerle sıvanması, götitlerin sarkıt ve dikit benzeri şekiller oluşturması, sözkonusu karstlaşmanın en belirgin delilleri arasındadır. Karstlaşmanın güncel olarak da devam ettiği bazı boşluk yüzeylerinde henüz yeni çökelmanış hidroplastik haldeki ikincil cevher bileşenlerinin varlığından anlaşılmaktadır. Bu tip yeni oluşumlar, özellikle Attepe demir yatağında çok yaygındır.

3.4. Sedimanter Kökenli Piritler ve Organik Madde Çökelimi

Inceleme alanında temeli oluşturan Infrakambriyen yaşlı Sicimindagi formasyonu, pirit ve hematit gibi sedimanter kökenli cevher minerallerini kapsamaktadır. Bu yönyle sözkonusu formasyon sedimanter maden yatakları açısından büyük bir öneme sahiptir. Ekonomik boyutlarda yataklanma oluşturmayan bu cevher minerallerinden hematitlere, daha önce "Genel Jeoloji" bölümünde debynildiği. Bu bölümün konusunu oluşturan sedimanter kökenli piritler ve organik madde artıkları, inceleme alanının en yaşlı birimlerini kapsayan Sicimindagi formasyonuna ait Attepe üyesi içerisinde yer almaktadır. Sadece Attepe demir yatağının doğu ve güneydoğu kesimlerinde küçük bir alanda mostra veren bu üye, 1080 m kalınlığındaki Sicimindagi formasyonunun en alt seviyelerini oluşturmaktadır (EK-3). Esas olarak şist ve fillitlerden ibaret olan koyu gri - siyah renkli bu birim, bazı kesimlerde oldukça fazla kırıkçı ve kıvrımlı bir yapı

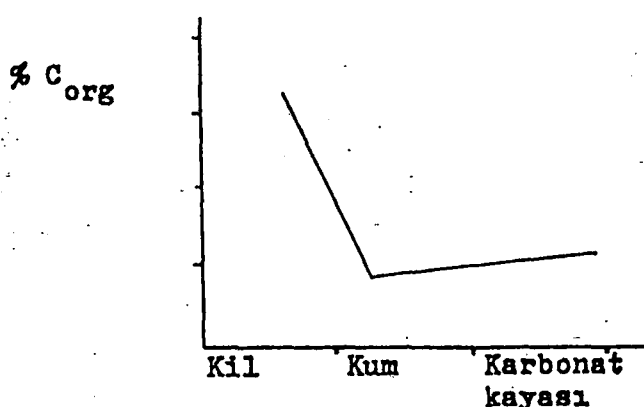
gösterir. İçerisinde % 20- 30 oranına varan organik madde artıkları ile sedimanter kökenli piritler bulunmaktadır. Adı geçen oluşuklar bu bölümdeki incelemenin temelini oluşturduğundan tipik özellikleri ayrıntılı bir şekilde incelenmiştir. Üyeye ait kayaçların petrografik incelemesi "Genel Jeoloji" bölümünde detaylı olarak verildiginden bu konuya tekrar değinilmeyecektir.

Dünya'da Prekambriyen yaşlı birimler içerisinde yaşamış canlıların varlığına dair çok az izler bulunabımıştır. Bunların arasında "Shungit kömürleri" ve bitümlü şistler içerisindeki organik madde artıkları da yer almaktadır. Bu özelliğiyle yer yüzündeki hayatın ilk izlerini taşımakta olan Attepe üyesi, aynı zamanda Türkiye'nin de bilinen en yaşlı bitümlü şist birimini oluşturmaktadır. Diğer taraftan aynı formasyon içerisinde yer alan sedimanter kökenli pirit ve hematitler, yine Türkiye'nin en yaşlı sedimanter metalik devher oluşumlarını karakterize eder.

Literatürde, ince taneli (pelitik), şistî yapılı organik madde içeren sedimanter kayaçlar bitümlü şist veya bitümlü şeyl olarak tanımlanmıştır. Bu tanımlamalar birbirinin eşdegeri olup, kayacın içerdiği organik madde miktarına bakılmaksızın ekonomik olarak petrol üretilemeyen bitüm (organik madde artığı = kerojen) içerikli şistî kayaçlarla verilen bir addır (Akkuş, 1981). İnceleme alanında yüzeylemiş olan organik madde içerikli, şistî yapılı kayaçlar bu tanımlama çerçevesinde, petrografik özellikleri de dikkate alınarak bitümlü şeyl, fillit ve şist şeklinde isimlendirilmişlerdir. Tissot ve Welte (1978) ve Hunt'a (1975) göre, organik madde kalıntıları yani kerojen; indirgeyici maddelerce bileşimi etkilenen bitki ve hayvan kalıntılarından meydana gelmiş, organik çözücü ve asitlerde çözünmeyen, kimyasal yapısı tam olarak belirlenemeyen katı organik artıklardır. Bu tanım çerçevesinde değerlendirilen organik madde kalıntıları, Attepe üyesi içerisinde oldukça yaygındır. Yapılan mikroskopik ince-

lemelere göre, sözkonusu üyenin kil boyutundaki tanelerden oluşan ince taneli kesimlerinde % 30- 40 ve hatta yer yer % 50-60 oranına ulaşan organik madde kapsamı, birimin silt-ince kum boyutunda tanelere sahib olan kesimlerinde ise % 4-6 oranına kadar düşmektedir. Buna göre, tane boyu ile organik madde kapsamı arasında zit bir ilişki görülmektedir.

Barker'e (1979) göre, yaşılı kayaçlar içerisinde bulunan organik maddeler, kayaçların çökelmeleri sırasında üstlerinde bulunan su kütlesinin içinden sedimanlar içerisinde geçmişlerdir. Özellikle kil mineralleri su kütlesi içerisinde aşağıya doğru çökelirken, çözünmüş halde bulunan organik maddeleri absorbe ederek onlarla birlikte çökelirler. Sedimanların içerisinde çökelmiş organik madde miktarı ve cinsi, çökelme ortamına bağlı olarak bazı faktörlerce kontrol edilmektedir. Meselâ, Ronov'un (1958) yaptığı bir araştırmada güncel tortullar içerisinde tane boyu ve organik madde dağılımı arasında iyi bir ilişkinin varlığı tesbit edilmiştir (Şekil 3.29). Buna göre ince taneler, kaba tanelere göre daha fazla organik madde taşıyabilme özelliğine sahiptirler. Ayrıca, çökelme ortamının indirgeyici nitelik taşıması organik maddelerin parçalanmadan korunmasını



Şekil 3.29. Organik madde kapsamı ile tane boyu arasındaki ilişkiyi gösteren diyagram (Ronov, 1958).

saglamaktadır. Yine Ronov'a (1958) göre organik madde miktarında ortamın enerji düzeyi de önem taşımaktadır. Yüksek enerjili bir ortamda çökelmiş kayaçlar; az miktarda organik madde içерirken, düşük enerjili bir ortamda çökelmiş olan pelitik kayaçlar; yüksek oranda organik madde içermektedir. Bunun sonucu olarak organik maddeler; kaba taneli kesimlerde taneler arasındaki boşlukları doldurulan bir çimento şeklinde çökelirken, ince taneli kesimlerde detritik elemanların, tamamen organik madde içinde yüzdüğü görülür. Üye içerisinde bazı seviyelerde yoğunluk kazanan organik artıkların ritmik olarak tekrarlanan bir çökelim sonucu 1- 2 cm kalınlığında paralel veya çapraz konumlu organik madde kapsayan laminaları oluşturduğu, bu laminaların da bir araya gelmesi sonucunda 2- 3 cm kalınlığa erişen organik madde bantlarının ortaya çıktığı görülmektedir.

Kalınlığı 80 m'yi bulan Attepe üyesi içerisinde yer alan piritli tabakalar öteki kayaçlarla sürekli ardalanmaktadır. Çoğunlukla özçekilli biçimde kristalleşen piritler, genellikle saçılımlar şeklinde gözlenirler. Ayrıca, ince pirit şerit ve merceklerine rastlanır. Piritlere başlıca kalsit mineralleri eşlik etmektedir. Piritli tabakalarda, yük kalibi ve diyajenetik kopma yapıları ile mikroçapraz laminalanma ve iç sedimantasyon gibi tipik sedimanter özellikler ayırtedilebilmektedir.

3.4.1. Piritli oluşukların sedimanter özellikleri

Bu oluşuklar bölgede yüzeyleyen istifin taban kesiminde yer alan açık veya koyu gri renkli kalsitçe zengin tabakalarda ve laminalarda bulunmaktadır. Bunlar, genellikle yankayaçlarla sürekli bir ardalanma gösterirler. Tabaka ve laminaların bir bölümü oldukça düzenli bir yapı gösterirken, diğer bir bölümü farklı sedimanter ve sindiyajenetik deformasyon yapıları sebebiyle kısmen düzensiz bir konumda bulunurlar. Ayrıca tüm birim diy-

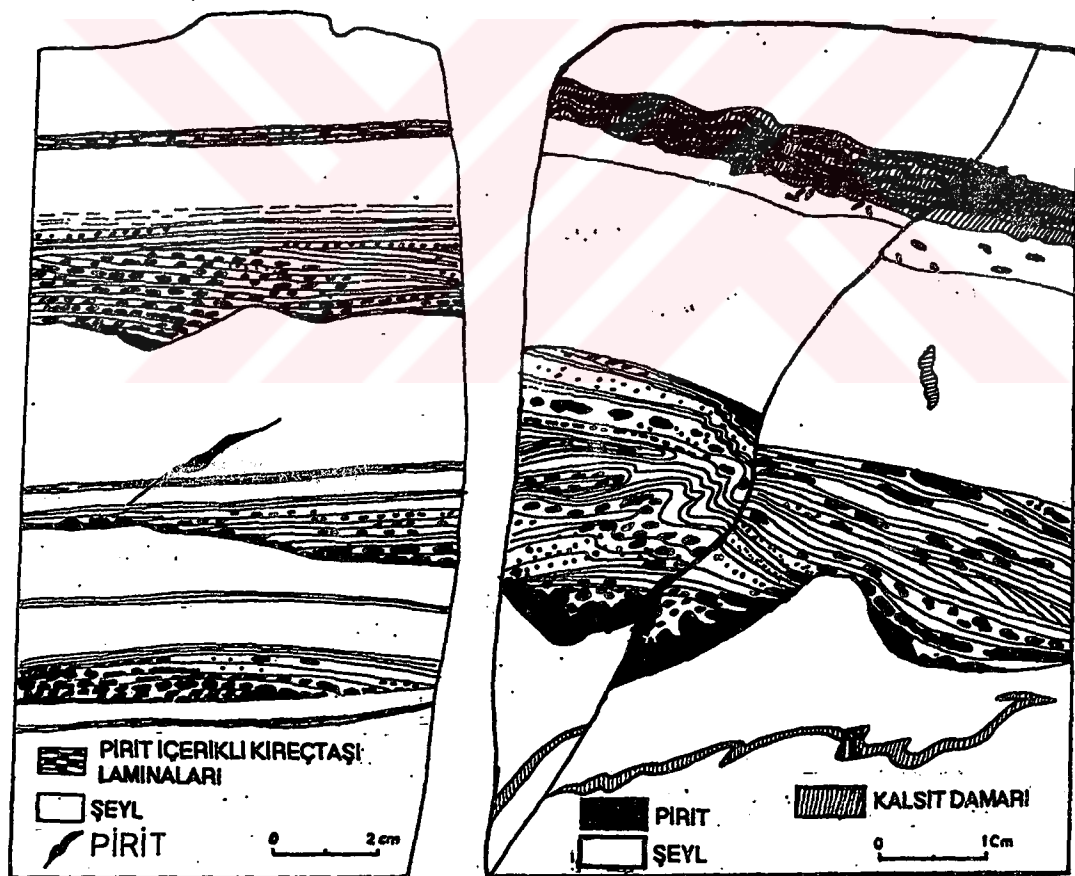
jenez sonrası tektonik kuvvetlerden belirli ölçülerde etkilenmiştir. Gerek arazi gözlemleri, gerekse el örneklerinde yapılan petrografik incelemelerle aşağıda ayrıntılı olarak tanımlanan önemli yapısal ve tektonik özellikler belirlenmiştir.

3.4.1.1. Tabaka taban-tavan yapıları

Pirit oluşukları, çok sayıdaki süreksiz laminaları kapsayan seviyelerde veya belirli tabakalar içinde bulunurlar. Makro düzeyde siyah renkli olan lamina ve tabakaların petrografik incelemelerinde organik madde ve saçılımlı pirit bakımından zengin oldukları, buna karşılık açık gri renkli tabakaların iri kalsit kristalleri ile temsil edildikleri belirlenmiştir. Tabakaların büyük çoğuluguunun alt sınırları düzensiz, üst sınırları ise oldukça düzgündür (Şekil 3.30). Benzer oluşumlar Ekshalatif-Sedimanter kökenli Meggen (Almanya) sülfidli barit yatağında da incelenmiş (Zimmermann, 1970) ve bu tür tabaka altı ve üstü yapıların tipik bir sedimantasyon ortamını yansittığı vurgulanmıştır. Tabaka altlarının düzensiz bir yapıda olmaları deniz tabanı akıntıları ve yük kalibi yapılarını şekillendiren süreçlerle ilgilidir. Deniz tabanı akıntıları henüz hidroplastik çamur niteligindeki şeylleri mekanik erozyona ve hatta kısmen kimyasal erozyona uğratarak düzensiz bir yüzeyin oluşması sağlanmıştır. Şeyl tabakalarının üst yüzeylerinde gelişen çıkışlıkların derinliği farklıdır. Ayrıca, kayacın üzerine piritlerin yığışmaları ile gelişen yük kalibi yapılarında söz konusu çukurların derinlikleri daha da artmıştır.

İncelenen kesimin hemen her yerinde piritçe zengin tabaka ve laminalar ile hidroplastik şeyl tabakaları arasında diyajenetik yük kalibi yapıları gelişmiştir. Bazı piritli ve kalsitli tabakaların tabanlarında piritler daha fazla yığışarak kalınlıkları 1 cm ile 2 cm arasında değişen tabakalar oluşturmuşlardır.

Pirit tabakalarında çogunlukla yanal uzanım yönünde bir kaç cm'lik bir mesafede bile sürekli bir kalınlık değişmesi izlenmektedir. Bunlar şekil 3.30 ve 3.31'de görüldüğü gibi şeyl tabakaları veya organik madde içerikli laminalarla yanal geçişlidir. Bu tür yanal geçişli pirit yığışmaları aynı zamanda yük kalıbı yapılarına sahiptirler (Şekil 3.31). Yük kalıbı yapıları iki yolla gelişmiştir. Bazı örneklerde piritlerin belirli bir tabaka oluşturacak şekilde doğrudan şeyl tabakalarının üzerine çökelmesi nedeniyle yük kalıbı yapıları ortaya çıkmıştır. Buna karşılık bazı yük kalıbı yapıları iki basamakta gelişmiştir. Buna göre şeyl çökellerinin üst yüzeylerinde çukurluklar oluşacak şekilde akıntı



Şekil 3.30. Piritçe zengin laminalar ile şeyl tabakalarının ardalanması, uyumsuz taban yapıları ve pirit damarcığı.

Şekil 3.31. Uyumsuz taban yapısı, yanal geçiş ve tabaka içi kıvrımlar.

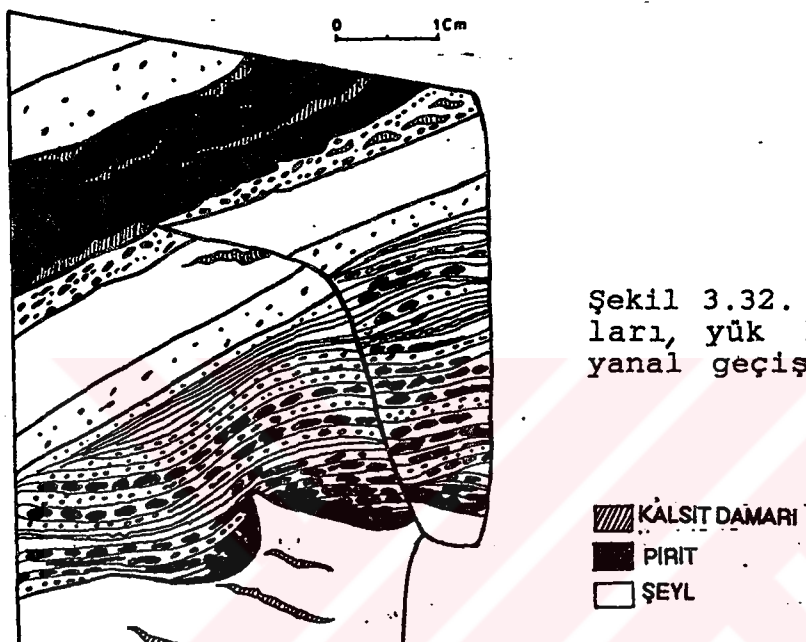
erozyonuna ugraması ve bunu izleyen dönemde demir gelimiyle ilgili olarak buralarda çok fazla miktarda pirit kristalinin çökelmesi sonucunda da sözkonusu yük kalıpları şekillenmiştir. Bu süreçleri izleyen dönemde özellikle geç diyajenetik dönemde gerçekleşen sıkışma kuvvetlerinin etkimesi ile birlikte pirit tabakalarının tabanında var olan düzensiz şeyl çıktıları daha da belirginleşerek üstte bulunan tabaka ve laminalarda belirli ölçülerde kıvrımlanmalara yol açmıştır (Şekil 3.31). Hatta bazı laminalar bu tür şeyl çıktıları tarafından kesilmişlerdir.

Her piritli seviyenin altında yük kalıbı yapıları görülmemektedir. Bu durum, Şekil 3.31'in en üst bölümünde iri kristalli kalsit merceklerinin eşlik ettiği yaklaşık 1 cm kalınlıkta piritli bir seviyede sergilenmektedir. Piritli seviye ile alttaki şeyl tabakası arasında yaklaşık 0.5 cm kalınlıkta saçılımlı pirit kristalleri bulunduran bir geçiş zonu bulunmaktadır. Burada yük kalıbı yapısının gelişmemesi, bu geçiş zonunun varlığına bağlanabilir. Zira, tüm yük kalıbı yapıları doğrudan şeyl tabakaları üzerine gelen piritçe zengin tabakalarla ilgilidir. Sözkonusu pirit tabakasının tabanında yük kalibinin oluşamamasına karşılık, birçok sedimanter ya-takta karakteristik bir öneme sahip olan taban sınırı düzensizliği burada da hemen göze çarpan önemli bir hu-sustur.

3.4.1.2. Uyumsuz lâminalar

Birçok el örneğinde üst yüzü düzensiz şeyl tabakalarına uyumsuz konumda çökelmiş piritli tabakalar bulunmaktadır. Bu tabakalarda pirit oranı yüzde yüze ulaşmaktadır (Şekil 3.30 ve 3.32). Pirit kristalleri genellikle tabaka uzanım yönüne uyumlu olarak dizilmişlerdir. Hatta şekil 3.32'de görüldüğü gibi piritli laminaların bir kısmı tabandaki şeyl tabakasına uyumlu ko-

numda iken, diger bir kısmının üç kesimleri ise uyumsuz bir ilişkiye sahiptir. Bu durum, pirit çökelimi öncesinde denizaltı akıntılarının etkisi ile şeyl tabakalarında ortaya çıkan düzensiz yüzeylerden ileri gelen bir yapıdan kaynaklanmaktadır. Bu yüzeyler üzerinde çökelen pirit laminaları hem organik maddece zengin laminalarla, hem de öteki laminalarla yanal geçişlidir.



Şekil 3.32. Pirit tabakaları, yük kalıpları ve yanal geçişler.

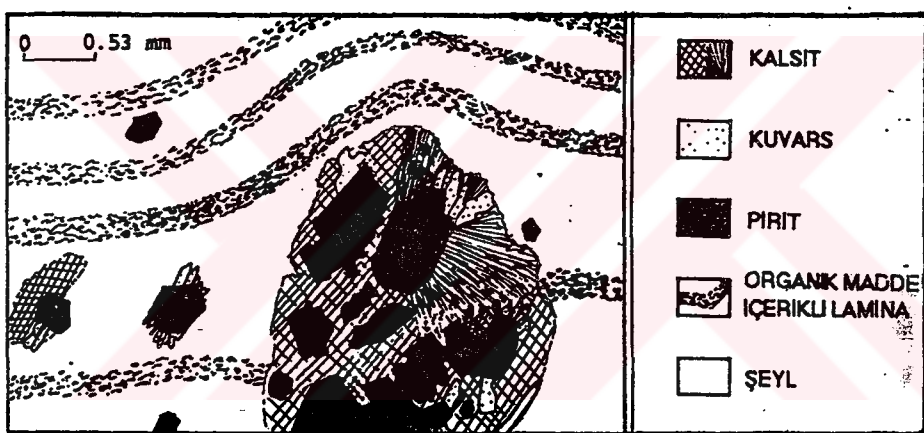
Pirit ve organik madde içerikli seviyelerin kendi içlerinde de bazı uyumsuzluklar gözlenir (Şekil 3.30). Burada en üstteki kalın tabakanın alt bölgeleri piritçe zengin laminaları bulundurmasına karşılık, üst bölgelerinde bunlara uyumsuz konumda bulunan ve bir çeşit mikro çapraz laminasyon olarak tanımlanabilen organik maddece zengin laminalar çökelmiştir. O halde, bütün örneklerde belirgin olarak biri açılı, öteki açısız olmak üzere iki mikro uyumsuzluk söz konusudur.

Bunların yanısıra, bazı kalın tabakalarda tabaka içi kıvrımlanmalar da mevcuttur (Şekil 3.31). Deginilen kıvrım türleri özellikle şeyl ve organik madde içerikli ince laminalarda çok yaygın iken, pirit içerikli laminalarda çok daha az oranda ve zayıf olarak gelişmiştir. Belirtilen mikro kıvrımlar laminaların düşey gravite

vektörü ile yatay sıkışma vektörlerinin etkinliğinde ortaya çıkmıştır. Böylece diyajenetik-tektonik hareketler yoluyla birincil yapılar belirli ölçülerde değişikliğe uğramışlardır.

3.4.1.3. İç sedimantasyon oluşukları

Hem organik madde içerikli laminalarda, hem de bunlarla ardalanmalı şeyllerde belirli bir yönlenme kazanmış, genellikle boyları 3-4 mm'yi bulan mercek görünümülü pirit toplulukları, dikkati çeker (Şekil 3.33). Pirit toplulukları yaklaşık birbirlerine paralel olup, kayacın tabakalanma yüzeyine göre 50-70° arasında değişen

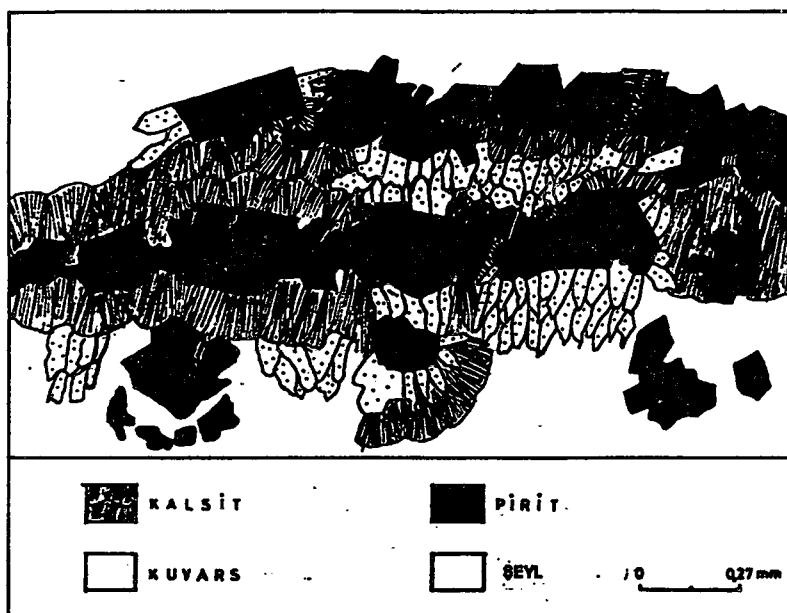


Şekil 3.33. İç sedimantasyon oluşuğu ile üstteki laminaların oluşturduğu jeopedal yapı örneği.

açılarda dizilmişlerdir. Bu pirit toplulukları ile altlarında ve üzerlerinde bulunan organik maddece zengin ince laminalar arasında jeopedal yapılar ortaya çıkmıştır. Hatta, aynı yapılar doğrudan çok sayıda ince laminadan oluşan seviyeler içinde de görülür. Tabakalanmaya verev konumda dizilen bu piritler, büyük bir ihtimalle diyajenetik süreçler sırasında hareketlenen demirli çözeltilerle ilişkilidir. Pirit kümelerinde genellikle piritler 1-2 mm'ye ulaşan iri özşekilli kristaller

şeklindedir. Kristal aralarında degişen oranlarda kalsit ve kuvars ile birlikte çok az miktarda serisit izlenmektedir. Bazı yerlerde yankayaçtan boşluga doğru büyüyen bu piritler, yer yer kalsitli çözeltiler tarafından kimyasal korrozyona ugratılarak sanki kemirilmiş bir görünüm kazanmışlardır. Böyle yerlerde kalsitli çözeltilerin etkisi ile çözünen demirli bileşiklerden ileri gelen kırılmalar oldukça yaygındır.

Benzer oluşuklar Bleiberg Kreuth (Kärnten) - Avusturya sedimanter Pb-Zn yataklarında da gözlenmektedir (Schulz, 1968). Özşekilli pirit kristallerinin kenarlarına dik olarak büyüyen ve kabuksu yapılar gösteren kalsit kılıfları bulunmaktadır. Bu şekilde, diyajenetik süreçlerle henüz hidroplastik özellikteki katılaşmamış şeyller gibi çökeller içinde oluşan çatlak ve kanalların madde göçü ve hareketi sırasında kimyasal çözelti erozyonu şeklinde yer yer genişlemesi ve genişleme sonrası ortaya çıkan boşluklarda piritli kalsit ve kuvars gibi minerallerin birlikte çökelmeleri ile "iç sedimentasyon" olarak tanımlanan bir olay gerçekleşmiştir. İç sedimentasyonun gözleendiği çözelti boşluklarının taban ve orta seviyelerinde özşekilli piritlerle temsil edilen "iç tabakanma" oluşukları ayırtedilmektedir. Buralarda kuvars kristalleri de kalsitler gibi pirit kristallerinin kenarlarına dik olarak büyümüşlerdir. Pirit kristallerini çoğulukla kalsitler, daha az olarak da kuvarlar çevrelemektedir (Şekil 3.34). Ancak, birçok yerde kalsit kılıfları kuvars kılıflarından daha önce ortaya çıkmışlardır. O halde, pirit, kalsit ve kuvarstan oluşan iç sedimentasyona ait maddeler aynı çözeltinin ürünleridir. Bunlar ritmik-kimyasal çökelme süreciyle aynı anda farklı birçok bileşen şeklinde çökelmişlerdir.



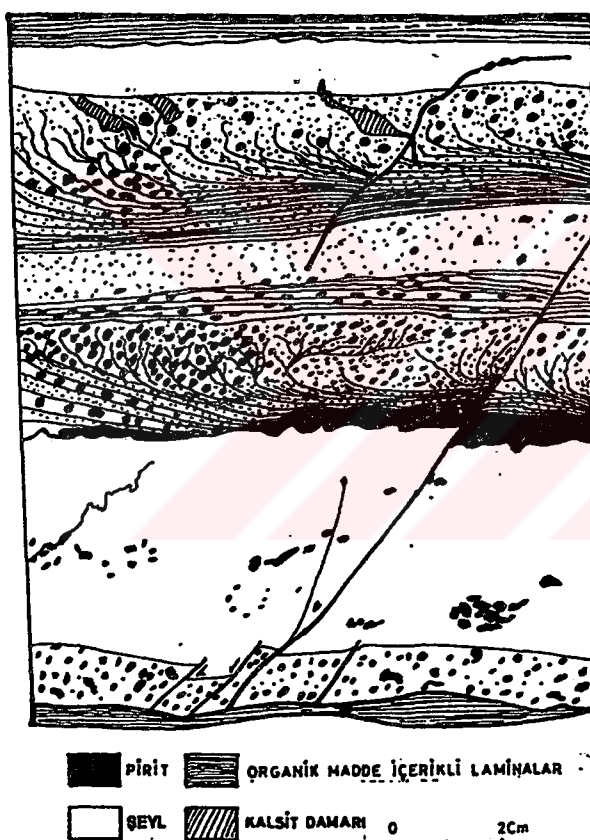
Şekil 3.34. İç sedimentasyon oluşuklarının mikroskopik görünümü.

3.4.1.4. Mikroçapraz laminalanmalar

Kalınlıkları 2.5-3 cm'yi bulan piritli ve organik madde içerikli laminalardan oluşan seviyelerde mikroçapraz laminalanmalar gözlenmektedir (Şekil 3.35).

Bunların tabanlarında yer alan pirit tabakaları ile dokanakları düzensizdir. Piritçe zengin bu kesimi izleyen ve belli bir mesafeye kadar buna paralel konumda uzanan organik maddeli ve piritli laminaların hemen hemen tamamı daha sonra ana tabakanın tavanına doğru kıvrımlı bir yapı kazanmıştır. Bu yapı tipik bir mikroçapraz laminalanmayı karakterize etmektedir. Yapının oluşumunu sağlayan çökellerin hareket yönü Şekil 3.35'de görüldüğü gibi sağdan sola doğrudur. Mikroçapraz laminalarda görülen seviyenin alt bölümünde bir kısmı organik maddede, bir kısmı ise iri ve özşekilli pirit kristalleri içeren kalsitçe zengin laminalar gözlenir. Ayrıca, seviyenin üst bölümlerinde piritin ve kalsitin giderek zenginleştiği, buna karşılık organik maddelerin çok azaldığı görülmektedir. Bu çapraz laminali bölüm üzerine, genel

tabakalanmaya uyumlu olarak çökelmanış pirit içerikli laminalarla temsil edilen bir bölüm gelmektedir. Nisbeten hareketsiz kapalı bir çökelme ortamını karakterize eden şeyllerin üzerinde 2-3 cm'lik ince bir tabaka içinde farklı sedimanter yapıların ortaya çıkışları, herşeyden önce tabakaları oluşturan maddelerin hareketleri ve bunların hızları ile kimyasal bileşimin farklılığı gibi ana unsurlara bağlı olarak gelişmiş olmalıdır. Şekil 3.35'de olduğu gibi mikroçapraz laminalanmalı seviyeler arasında yer alan şeyl tabakaları da saçılımlı pirit içerirler.

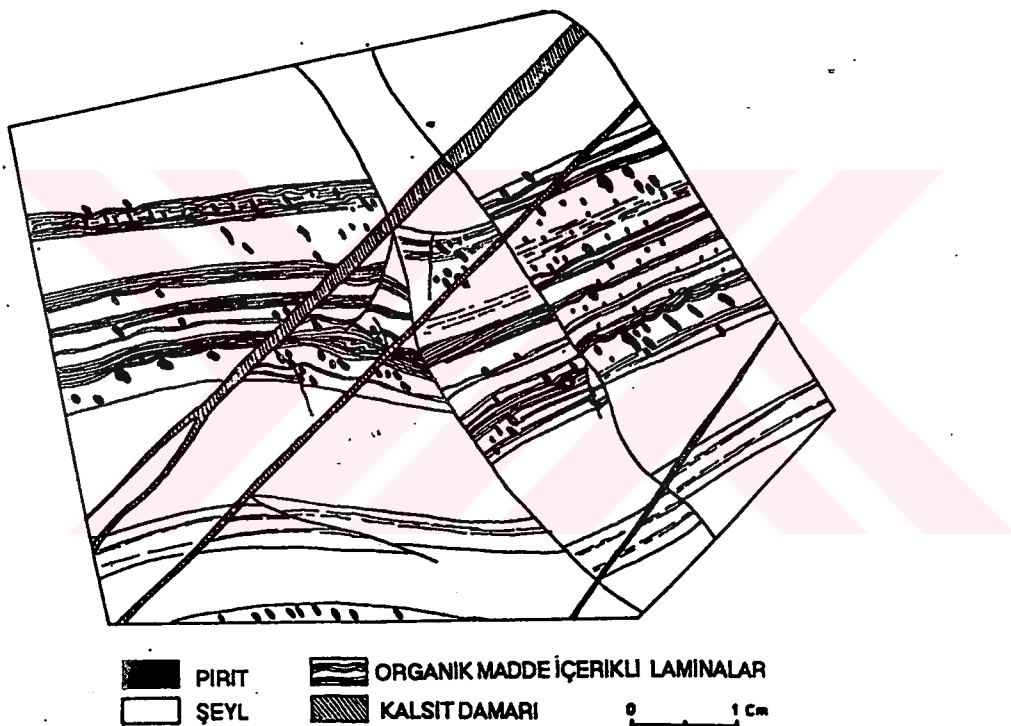


Şekil 3.35. Piritli ve organik madde içerikli seviyelerde mikroçapraz laminalanma yapıları.

İncelenen laminalarda piritler oldukça iri taneli olup, basit ikizli büyümelere sahiptirler. Piritler özellikle kalsitçe zengin bölgelerde daha iri kristaller halinde bulunurlar. Pirit kristallerinin araları bunlara dik konumda büyüyen ve onları kuşatan işinsal kalsitler tarafından dolgulanmıştır.

3.4.1.5. Öteki jeopedal yapılar

İncelenen el örneklerinde sık sık makro ve mikro düzeyde jeopedal yapılara rastlanmaktadır (Şekil 3.36). Şekil 3.36'da görüldüğü gibi iç sedimentasyon süreciyle çökelen pirit, kalsit ve az miktarda kuvarstan oluşan merceğişî şekillerin altlarında ve üzerlerinde yer alan organik madde içerikli laminallarda bu oluşukların şekillerine uyumlu kıvrımlar ortaya çıkmıştır. Aynı yerlerde diyajenezden sonra zayıf bir şekilde etkiyen meta-



Şekil 3.36. Yönlenmeli pirit toplulukları ve jeopedal yapılar.

morfik süreçlerle seyrek sistozite yüzeyleri gelişmiştir. İncelenen geopedal yapılar, çökellerin partikül boyutunun büyüğlüğü, boyut şekli, gömülme derinliği, vizkozite ve özgül ağırlık gibi bazı özelliklerin farklılık göstermesinden ileri gelmektedir. Böyle yapılar bir çok

sedimanter maden yatağında çökelme ortamına düşen veya taşınan birey kayaç parçaları veya fosil kırıntılarının altında veya üzerinde bulunan laminaların sıkışma sırasında bu katı maddelerin yüzeylerine uyumlu olarak şekil kazanmaları ile ortaya çıkarlar (Ayhan, 1982). İnceleme alanında iç sedimantasyon vasıtasyyla çözelti boşluklarında daha yoğun pirit topluluklarının çökelmesi ve bunlara sıkışma kuvvetlerinin etkimesi ile klasik anlamdaki jeopedal yapılardan biraz daha farklı bir oluşum şekli gerçekleşmiştir.

3.4.1.6. Plastik deformasyon yapıları ve diyajenetik çatlak dolguları

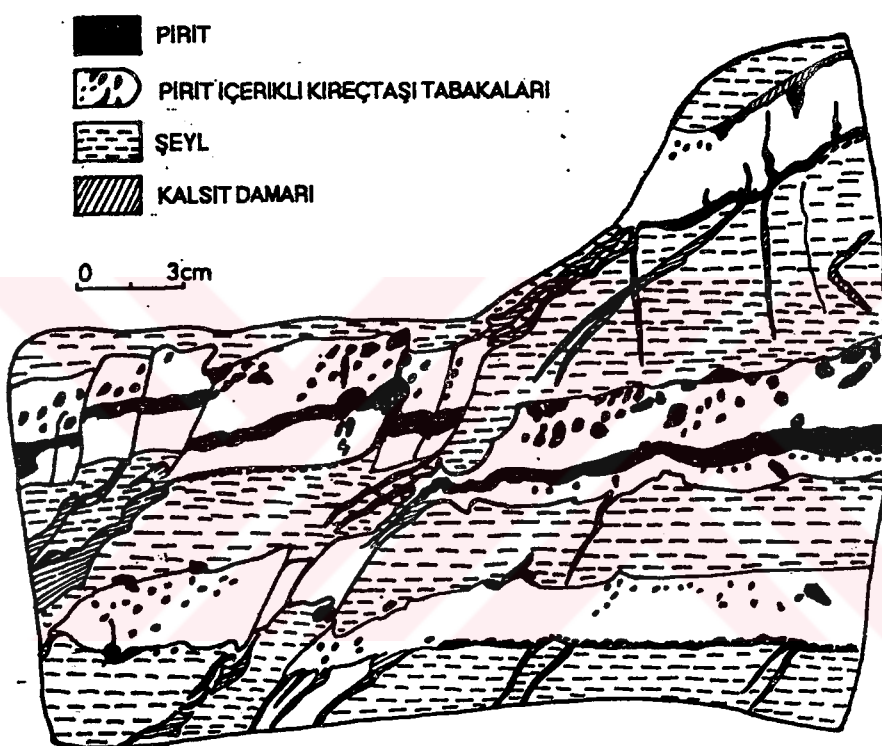
Pirit toplulukları kalsitçe zengin tabaka ve laminalarda ya saçılımlı halde, ya da masif görünümlü pirit mercekleri ve tabakacıkları şeklinde gözlenirler (Şekil 3.32 ve Şekil 3.37).

Sindiyajenetik deformasyona ugrayan piritli kireçtaşı tabakalarında plastik akmalar, incelmeler ve kopmalar ortaya çıkmıştır. Böylece, tabakaların bir bölümünden diğerlerine göre 5 cm kadar öteleşmişlerdir (Şekil 3.37). Kireçtaşı tabakalarında yer alan ince pirit laminaları da yankayaçlarla birlikte diyajenetik süreçlerden etkilenmiş ve yer yer kıvrımlı bir yapı kazanmışlardır. Özellikle, sıkışma kuvvetleri sonucu henüz katılaşmamış pirit laminalarında kıvrımlanma yanısıra, akma dokuları da gelişmiştir.

Gerek çökelme sırasında, gerekse çökelme sonrasında etkili olan tektonik kuvvetlere bağlı olarak belirli çatlak ve kırık sistemleri ortaya çıkmıştır. Bunlardan sintektonik hareketler henüz hidroplastik çamur halinde bulunan çökellerde bazı çatlakların olmasını sağlamıştır (Şekil 3.37).

Bu yolla oluşan çatlaklara şeyl sınırında yerleşen pirit laminalarından ya kalsitli tabakaların içine doğru,

ya da şeyllere doğru genellikle düşey yönde göçeden demirli çözeltilerden kaynaklanan kama şekilli pirit mineraleri yerleşmiştir. Bu durum sülfidli mineraler için tipik diyajenetik bir davranış olup, congruent (uyumlu) bir şekli ifade eder (Amstutz ve dig., 1968). Benzer sindiyajenetik süreçlerle hem organik maddece, hem de piritçe zengin laminalardan göç eden çözeltilerle ilgili



Şekil 3.37. Piritli kireçtaşı tabakalarında plastik deformasyon yapıları.

olarak boyları 3-4 cm'yi bulan düzensiz ince uzun mercekleri andıran pirit damarcıkları ortaya çıkmıştır (Şekil 3.30).

Kalsitçe zengin tabakaların plastik deformasyona ugramasına paralel olarak fazla deforme olan bölmelere karbonatlı çözeltilerin göçetmesi sonucu, bu bölgeler beyaz renkli iri kalsitlerle dolgulanmıştır. Ayrıca, kalsitçe zengin tabakaların tavan ve tabanından şeyllere doğru uzanan kalsitli damarlar bulunmaktadır. Bu damar-

lar, piritli damarlardan daha sonra ortaya çıkmışlar ve kalsitli damarlardan hareketlenme (mobilizasyon) yolu ile çatlaklara yerleşmişlerdir. Kalsit damarlarından bir kısmının öteki yapıları kesmesi, iki fazlı bir deformasyonu ve bunlarla bağlantılı kalsit yerleşimini yansımaktadır.

Belirtilen diyajenetik damar dolguları diyajenez sonrası oluşan çatlaklardan ve bunların dolgularından kolaylıkla ayırt edilebilinmektedir. Diyajenez sonrasını temsil eden kırıklär, mevcut tabakaları ötelemişler ve daha sonra kısmen iri kalsit mineralleri ile dolgulanmışlardır. Kalsitli damarların kalınlıkları 1 ile 7 mm arasında değişmektedir.

3.5. Mikroskopik İncelemeler

İnceleme alanında yer alan demir yatak ve zuhurlarının başlıca cevher bileşenlerini; demir oksit ve demir karbonat mineralleri ile sülfitli mineraller oluşturmaktadır. Demir silikatların bulunmadığı yataklarda, az miktarda da bakır karbonatlar görülmektedir.

En önemli cevher bileşenini oluşturan demir oksitler, birincil ve ikincil kökenli olmak üzere iki gruba ayrılmaktadırlar. Bunlardan birincil kökenli olanlar; esas olarak hematit ve çok az oranda görülen manyetitlerden ibarettir.

Birincil demir oksitlere göre çok daha yaygın olan ikincil demir oksitler ise götit, lepidokrosit, ikincil hematit ve limonitlerden oluşmaktadır. Parajenezde bulunan diğer mineral gruplarından demir karbonatlar; siderit ve ankeritlerle, sülfidler; tetraedrit, pirit, kalkopirit ve markazitlerle, ikincil nitelikli bakır karbonatları ise; malahit ve azuritlerle temsil edilmektedir. Ayrıca, Attepe demir yatağında bakır karbonatlarla birlikte çok az miktarda ikincil nitelikli zinnober mineraline de

3.5.1. Birincil cevher mineralleri

3.5.1.1. Hematit

Hematitler, sulu demir oksit grubu mineralerden sonra ikinci yaygın cevher mineralini oluşturmaktadır. Demir yataklarında birincil ve ikincil nitelikli olmak üzere başlıca iki farklı dönemde oluşmuşlardır. Bu bölümde, birincil hematitler incelenecektir.

Genellikle masif yapılı özsekilsiz olarak izlenen birincil hematitler, yer yer ince uzun çubuksu kristaller şeklinde gözlenirler. Yaygın olarak baritleri, daha az oranda da sideritleri çatlak, dilinim ve kristal sınırları boyunca değişen oranlarda ornatarak kateden birincil hematit damarlari, sık sık iskelet dokusu oluşturan barit ve siderit kapanımlarını kapsamaktadır.

Çubuksu hematitler ile masif yapılı hematitler hemen her yerde birarada bulunurlar. Parlak beyaz renkli çubuksu hematitler, diğerlerine göre daha yüksek bir refleksiyona sahiptir. Genellikle, birbirlerine paralel veya ıshınsal bir şekilde dizilen, yer yer kıvrımlı ve kırıklı yapılar gösteren çubuksu hematitler, bazen de birbirlerine dik olarak büyümüş demetler şeklindedir. Çubuksu hematitlerin masif yapılı hematit ve tetraedritlerle olan dokanaklarında büükülme, kıvrımlanma ve kırılmalar daha yaygındır. Özellikle hematitleri kateden tetraedrit damarlari boyunca hematit çubukları, damarlara uyumlu bir yönlenme kazanmış ve bazen küçük parçalar şeklinde koparak tetraedritler içerisinde kalmışlardır (Şekil 3.38).

Hematitler, kumtaşlarına yakın kesimlerde izlenen ve yankayaç parçalarını da içeren, silis oranı yüksek sideritleri kısmen ornatmışlardır. Buna karşılık, tamamen kumtaşları içerisinde yer alan hematit mineralizasyonlarında yankayaçta ornatma izine rastlanmaz ve hematitlerin, sadece tane aralarına, ya da yoğun kataklastik kırılım gösteren kuvarların çatlaklarına yerleşikleri görülür.



Şekil 3.38. Çubuksu hematitler içerisinde doğru sokulum yapan bir tetraedrit damarı (gri renkli) ve damar içerisinde yer alan çubuksu hematit parçaları (H), (Yagda, //N, 320 X).

3.5.1.2. Siderit

Inceleme alanındaki demir yataklarında makro olarak pek izlenemeyen siderit damarları, en tipik şekilde, Attepe demir yatığının doğu sınırında yüzeyler. Mikroskopik olarak hemen her parlatma kesitinde reliktleri görülen sideritler, Attepe ve yöresindeki demir cevherleşmeleriyle ilgili en önemli birincil cevher mineralidir. Cevher mikroskopunda; soluk gri rengi, düşük refleksiyonu, çatlaklı yapısı, kuvvetli anizotropi ve iç refleksiyonuya tanınan sideritler, geniş bir tane boyu dağılımı gösterirler. Sideritler, genel olarak iri ve küçük taneli olmak üzere iki gruba ayrılırlar. Incekesitlerinde soluk sarımsı gri renk gösteren iri kristalli sideritlerde ortalama kristal boyu 1-1.5 mm

civarındadır. Yer yer 3-4 mm boyutunda çok iri kristallerin de görüldüğü bu bölgelerin içerisinde, sideritler genel olarak özşekilli veya yarı özşekillidirler. Bazen, oldukça tipik romboedrik kristaller şeklinde izlenen siderit topluluklarında, özellikle iri kristalli sideritler iki yönde gelişmiş, çok belirgin dilinimlere sahiptirler. Ayışma olayları ile ilgili ikincil cevherlerin oluşumunda bu dilinimler büyük rol oynamışlardır. Ayrıca, iri kristalli siderit yerlesiminden hemen sonra etkili olan bir deformasyon fazında, cevheri kateden bazı çatlak ve kırıklar ortaya çıkmıştır. Bu süreksizlikler boyunca yer yer breşik yapılı ve kataklastik kırılımlı sideritler bulunmaktadır. Tektonik etkiler; iri kristalli sideritlerde yaygın mekanik ikizlenmeleri, siderit breşlerinin çevresinde de basınç çözünmelerine bağlı stilolitik yapıların gelişmesini sağlamışlardır.

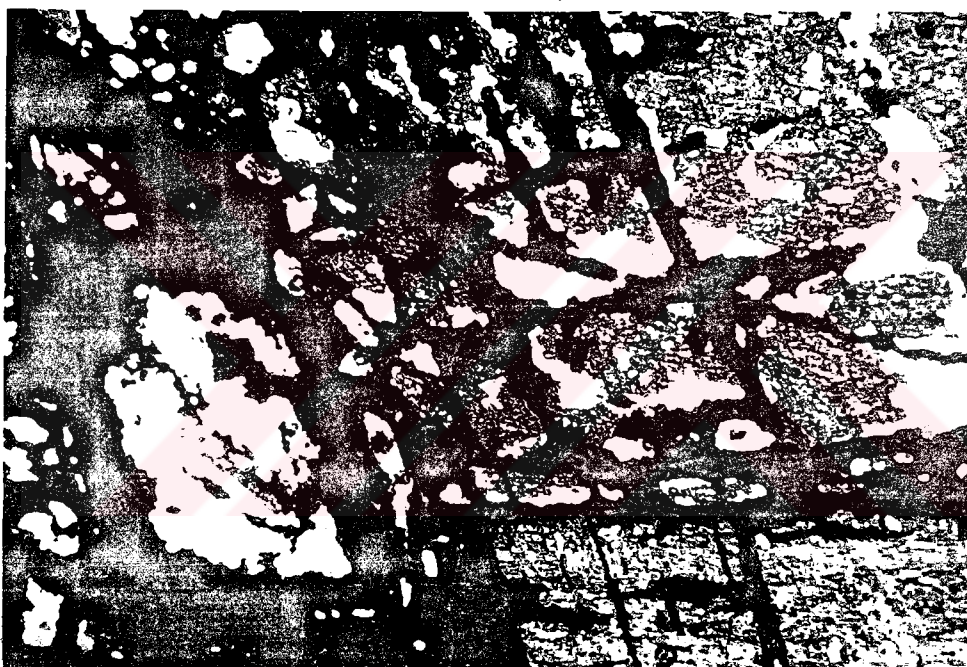
İncekesitlerde daha şeffaf ve açık renkli olan küçük kristalli sideritler, iri kristalli sideritlerin çatlak ve kayma zonlarında yer almırlar. İri kristalli sideritleri baştan başa kateden bu genç siderit topluluklarında tane boyu dağılımı, iri kristalli sideritlere göre daha düzenlidir. Bunların ortalama kristal boyu 0.2 mm civarındadır. Yer yer kendilerinden daha yaşlı iri kristalli sideritlerin kapanımlarını içeren genç sideritler, çogunlukla yarı özşekillidirler. Bunlarda dilinimlenme ve basınç ikiz lamelleri pek belirgin degildir.

Attepe demir yatağının doğu kesiminde bitümlü şistlerin içerisinde doğru tektonik hatlar boyunca sokulum yapan sideritler, breşik yapılı cevherleri oluşturmuştur. Bu tip cevherlerde yapılan mikroskopik incelemelerde 1-2 mm boyutunda yaygın yankayaç breşleri görülmektedir. Bitümlü kuvars fillit veya şistlerin oluşturduğu yankayaç breşlerini kısmen ornatın sideritler, çok ince taneli, siyah renkli kömürümsü materyal ile yer yer küçük kristal toplulukları şeklinde izlenen sarımsı kahve renkli grafitleri kapsarlar. Ayrıca, bu kesimden alınan siderit örneklerinde bol miktarda pirit

ve tetraedrit mineralleri ile az oranda kalkopirit ve markazit minerallerine rastlanmaktadır. Gang minerali olarak da kuvars ve kalsitlerin yaygınlığı dikkati çeker.

Sideritler bütün örneklerde çatlak, dilinim ve kristal sınırları boyunca sulu demir oksit ve ikincil hematitlere dönüşmüşlerdir.

Sideritlerin ayırtması ürünü olan ve genellikle sideritlerin dilinimleri boyunca izlenen götit, lepidokrosit ve limonitler, çok sık olarak rastlanan ağsal bir doku oluşturmuşlardır (Şekil 3.39).



Şekil 3.39. Sideritlerin dilinimleri boyunca izlenen sulu demir oksitlerin oluşturduğu ağsal doku (//N, 32X).

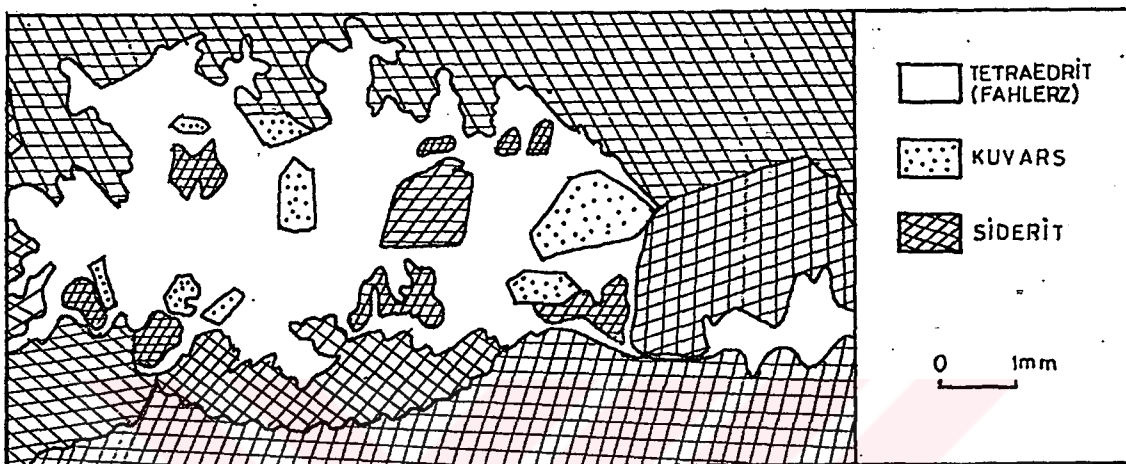
Bu yolla gelişen ikincil bileşenler grubu içerisinde, yaygın olarak iskelet dokusu gösteren siderit reliktlerine rastlanmaktadır.

3.5.1.3. Tetraedrit

Esas olarak sideritlerin, daha az olarak da hematitlerin içerisinde görülen tetraedritler, onları çatlak ve

kristal sınırları boyunca katetmişlerdir.

Tamamen özsekilsiz olarak izlenen bu mineral, oldukça düzensiz sınırlara sahip adacıklar veya ince damarlar şeklindedir (Şekil 3.40). Birçok yerde kuvars ve piritlerle birlikte görülürler. Hem piritler, hem de kuvarslar tetraedritlerden önce ve sonra olmak üzere iki ayrı



Şekil 3.40. Sideritler içerisinde yer alan ornatım dokulu tetraedritler ve bunlar içerisinde görülen özsekilli kuvars kristalleri ile ornatılmayan siderit kapanımları.

fazda gelişmişlerdir. Tetraedrit yerleşimiyle ilgili olarak; tetraedrit-siderit ilişkilerinde sideritler, özellikle dilimimleri boyunca tetraedrit tarafından net bir şekilde ornatılmıştır. Ornatılmayan bazı siderit bölgeleri, tetraedritler içerisinde yüzen ornatım dokulu adacıklar şeklinde gözlenirler. Tetraedritler, muhtemelen sideritlerin içerisindeki çatlak ve stiolitik yapılar boyunca izlenen boşluklar içerisinde büyümüş, özsekilli kuvars kristallerinin arasını bir çimento şeklinde dolgulamış ve bu esnada bazı kuvars kristallerini ise dıştan içe doğru kısmen ornatmışlardır (Şekil 3.40).

3.5.1.4. Pirit

Gezgen bir mineral olarak hemen hemen bütün yataklar-

larda bulunabilen pirit minerali, inceleme alanındaki yataklarda da gözlenmektedir. Özellikle Attepe demir yatağında izlenen masif görünümlü siderit kütlelerinin içerisinde yer alan piritler, yapılan mikroskopik incelemelere göre üç ayrı oluşum evresine sahiptir.

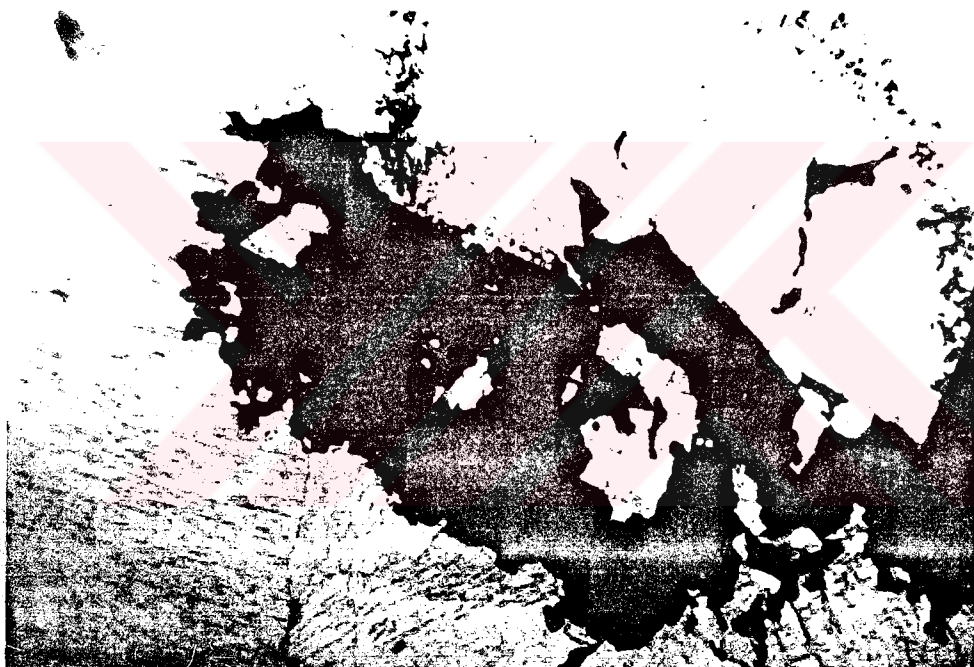
a- Birinci evre piritleri (Sedimanter kökenli piritler)

Cevherleşmeyle doğrudan ilişkili olmayan birinci evredeki piritler, cevher yerleşimi sırasında İnfraCambriyen yaşlı Attepe üyesine ait bitümlü şeyl-filit ve şistlerden alınmış olup, siderit cevherleşmesinden önce var olan yaşlı sedimanter kökenli piritlerdir. Bunlar 1-1.5 mm boyutunda iri özşekilli, yoğun kataklastik kırılımlı kristal toplulukları veya masif pirit laminalarının çok evreli deformasyonlar sonucu parçalanmasıyla ortaya çıkan kataklastik kırılımlı pirit toplulukları şeklindedirler. Piritlerin ara boşlukları ve çatlakları siderit ve tetraedritler tarafından dolgulanmıştır. Çok yaygın bir şekilde izlenen bu tip piritlerin bitümlü şeyl-filit ve şistlerle olan doğrudan ilişkisi birçok kesitte açıkça görülebilmektedir. Bazen bu şeklindeki birçok pirit biraraya gelerek % 60-70 oranında pirit içeren sideritli yankayaç breslerini kapsayan pirit damarlarını oluşturmuşlardır. Sedimanter kökenli piritler ve oluşturdukları sedimanter yapılar, Bölüm 3.4'de ayrıntılı bir şekilde incelenmiştir.

b- Ikinci ve üçüncü evre piritleri (Cevherleşmeyle ilişkili piritler)

Ikinci evredeki piritler, tetraedritlerde olduğu gibi, genellikle sideritlerin çatlak ve kristal sınırları boyunca yerleşerek onları özellikle dilinimleri boyunca ornatmışlardır. Tetraedritlere göre daha düzenli sınırlar oluşturan ornatım dokulu bu pirit adacıkları, yer yer 2-

3 mm boyutundadır. İçerisinde sık sık küçük siderit kapanımlarına rastlanmaktadır (Şekil 3.41). Esas olarak birçok özşekilli piritin birarada büyümeleri sonucu ortaya çıkan bu pirit kümeleri, genelde özşekilli kristal toplulukları şeklindedir. Bunun yanısıra, sideritlerin içerisinde tek tek görülen 0.8 - 1.5 mm boyutunda altigen şekilli kesitler veren iri pirit porfiroblastları da yaygındır. Bazen, bu evrede gelişen piritler, tetraedritlerin içerisinde kapanımlar şeklinde bulunurlar. İkinci evre piritleri ilk evredeki lere göre, daha parlak sarı renkli, az kataklastik kırılımlı ve daha az ayırmışlardır.



Şekil 3.41. Sideritlerin kristal sınırlarına yerleşerek onları dilinimleri boyunca önemli ölçüde ornatılan pirit ve içerisinde yer alan siderit kapanımları (//N, 32X).

Üçüncü evredeki piritler ise çok az miktardadır ve ikinci evre piritlerine benzemektedir. Bunlar daha küçük, 0.1-0.3 mm boyutlu, yer yer özşekilli ornatım dokulu adacıklar şeklinde olup, sık sık tetraedrit kapanımları içerirler.

Tektonizmanın fazla etkili olduğu, yoğun kataklastik kırılımlı piritler başta olmak üzere bütün piritler; al-

terasyon süreçleriyle birlikte kısmen veya tamamen ikincil hematit ve sulu demir oksit modifikasyonlarına dönüşmüştür.

3.5.1.5. Kalkopirit

Özsekilsiz ve iç yapısız 0.5-0.7 mm boyutunda küçük adacıklar ve ince damalar şeklinde izlenen yeşilimsi sarı renkli kalkopiritler, iki evrede kristalleşmişlerdir. Tetraedritlerin oluşumundan önce ortaya çıkan kalkopiritler, sideritlerin çatlak ve kristal sınırlarına ornatım dokulu küçük öbekler halinde yerleşmişlerdir. Bunlar, bazen siderit kapanımları içerirler. Tetraedrit yerleşiminden daha sonra gerçekleşen ikinci evre kalkopiritleri ise genellikle tetraedritleri baştan başa kateden ince damarcıklar şeklinde gözlenirler. Bunlar bazen, düzensiz sınırlı küçük topluluklar oluştururlar. Bunların içerisinde seyrek olarak tetraedrit kapanımlarına rastlanmaktadır. Birçok yerde piritlerle yanyana bulunan bu tip kalkopiritler, piritleri de katederler. Kalkopiritler ayrisma derecesine göre kısmen veya tamamen malahit ve azurite dönüşmüştür.

3.5.1.6. Ankerit

Incekesitlerinde kahverenkli görünen ankeritler, genellikle özsekilsiz, bazen de, romboederler şeklindedir. Dolomit ve kalsit kristallerinde yarılm kalan ankeritleşmeye işaret eden düzensiz sınırlar görülür. Genelde kristal sınırları boyunca dıştan içe doğru izlenen ankeritleşmeler sonucu demir içерigindeki farklılıklara bağlı olarak zonlu yapılar ortaya çıkmıştır. Ankeritlerde gelişen kalsit ağırlıklı bazı damarların kenarlarına dik olarak özsekilli siderit ve kuvars kristalleri büyümüş ve bunların arası kalsit kristalleri tarafından

dolgulanmıştır. Ayrıca, ankeritler içerisinde sık sık özşekilli iri kristal toplulukları veya ince damarcıklar şeklinde sideritlere ve bunlardan türeyen sulu demir oksit modifikasyonlarına rastlanmaktadır. Bu tür oluşumlarda sideritlere özellikle özşekilli kuvars kristalleri eşlik etmektedir. Daha az olarak gözlenen hematit damarlarında ise gang minerali olarak özşekilli baritler bulunmaktadır. Her iki durumda da gang mineralleri cevher minerallerinden daha önce kristalleşmiştir.

3.5.1.7. Markazit

Cevher mineralleri arasında çok az miktarda bulunan ve ortalama 0.8 mm boyutunda olan markazitler, Attepe üyesi içerisinde yer alan siderit damarlarında piritlerle birlikte görülürler. Genellikle, dolgu, kısmen de ornatım biçiminde yerleşen markazitler, cevher mikroskopunda nisbeten daha yüksek refleksiyonları ve daha açık sarı-beyaz renkleri ile piritlerden kolaylıkla ayırt edilebilmektedir. Çoğunlukla, özşekilli olan markazitler, yer yer sideritleri ornatmış ve onların romboedrik formunu almışlardır.

3.5.1.8. Manyetit

Tamamen özşekilsiz veya yarıözşekilli olarak izlenen manyetitler, yer yer hematit ve limonitlere dönüşmüşlerdir. Bazen, özşekilli pirit kristalleri de içeren manyetitlerin içerisinde küçük topluluklar şeklinde görülen limonitler, genellikle kovuk yüzeylerinde böbrekimsi kolloidal dokular oluşturmaktadırlar. Martitleşme sonucunda ortaya çıkan ornatım dokulu, hematitler ise, yer yer speküleritleşerek ince uzun çubuksu demetler oluşturmuşlardır. Manyetitlerle birlikte gang minerali olarak, kataklastik

kırılımlı ve özçekilli olan dalgalı sönmeli kuvars kristalleri ile tamamen ksenomorf kalsit ve klorit mineralleri de görülmektedir. Bu minerallerin yanısıra manyetitlerin içerisinde sık sık sist-filit ve kireçtaşı gibi yankayaç breşlerine de rastlanmaktadır. Piritler manyetitleri, manyetitler de eşoluşum dokuları sergileyen kuvars ve kalsit kristalleri ile yankayaç parçalarınıornatmışlardır. Genellikle çatlak dolguları şeklinde görülen kloritler ise, cevher ve diğer gang minerallerinden daha sonra oluşmuşlardır.

3.5.2. İkincil cevher mineralleri

3.5.2.1. Götit ve lepidokrosit

İnceleme alanında yer alan demir yatak ve zuhurlarının en yaygın bileşeni olan sulu demir oksitler, cevher kütlelerinin % 80-90'ını oluştururlar. Bu bileşenler, parlak kesitlerinde tane boyu ve porozite özelliklerine göre değişen renk ve refleksiyon özellikleri gösterirler. İnce taneli, yoğun poroziteli, kahvemsi gri renkli limonitik bölgeler, oldukça düşük bir refleksiyona sahiptir. Buna karşılık, götit ve lepidokrositlerin değişik oranlarda bulunduğu kaba taneli bölgelerde ise daha yüksek bir refleksiyon gözlenir. Hafif kahvemsi, parlak gri renkli bu minerallerde belirgin refleksiyon pléo-kroizması ve mavimsi gri renkli bir iç refleksiyon izlenir.

Esas olarak siderit, hematit ve piritlerin ayrışma ürünü olan sulu demir oksitler, hemen her yerde birbirleriyle iç içe olup, çok grift sınır ilişkilerinin görüldüğü tipik ornatım dokuları sergilemektedirler. Bunalırin bir kısmı işinsal yapılı kristaller şeklinde olmakla birlikte, genellikle özsekilsizdirler. Çogunlukla, masif yapılı hematitlerin içerisindeki kovuk yüzeylerinde, yüksek refleksiyonlu götit veya lepidokrosit-

lerde tipik jel strüktürleri izlenmektedir. Boşluk yüzeylerine dik olarak büyüyen bu minerallerde konsantrik yapılı renk hâleleri kolloform yapıya işaret eden karakteristik oluşumlardır (Şekil 3.42).



Şekil 3.44. Masif yapılı hematitler içerisinde izlenen kolloform yapılı götit veya lepidokrositlerden bir görünüm (//N, 32X).

Yukarıda anılan lepidokrosit ve götitler birbirlerinin tam anlamıyla polimorfik modifikasyonları olmayıp, FeO(OH) bileşimindeki lepidokrosit gerçek anlamda bir hidroksildir. Buna karşılık FeOOH formülüyle ifade olunan götit mineralinin bileşimindeki hidrojenler ise, hidrosilik iyonu oluşturmuyıp, oksijenler arasında birer katyon şeklindedirler (Ramdohr, 1980). Limonitler ise, adsorbe su içeren götit, lepidokrosit, hidrohematit ve diğer matoryallerden ibaret bir topluluktur (Erkan, 1978).

3.5.2.2. İkincil hematit

Birincil hematitlere göre daha yaygın olan ikincil hematitler, genellikle sideritlerin ayrışma ürünleridir. Başlangıç aşamasındaki ayrışma safhalarında ortaya çıkan

hematitler, sideritin romboedrik şeklinin korundugu 1.6-3 mm boyutunda iri siderit psöydomorfları ile sideritlerin dilinimleri boyunca gelişmişler ve hemen her yönde birbirleriyle bağlantılı ağısal bir doku oluşturmuşlardır. Bu tür oluşumlarda dilinimler boyunca birbirleriyle kesiserek izgara yapısı oluşturan ornatım dokulu ikincil hematit damarlarının aralarında baklava dilimi, ya da iskelet dokulu adacıklar şeklinde kenarlarından itibaren içe doğru ornatılmış siderit reliktleri görülmektedir. Ayrışmanın ileri boyutlara ulaşığı bazı kesimlerde ise, sideritlere ait kristal ve dilinim izleri tamamen siliğerek geriye sadece, yer yer izlenebilen konkav sınırlı limonitize küçük siderit adacıkları kalmıştır.

Hematitler içerisinde çok az miktarda da olsa, yer yer düzensiz sınırlı manyetit reliktlerine rastlanmaktadır. Bu durum, ikincil hematitlerin çok az bir kısmının da martitleşme sonucu manyetitlerden türedigini göstermektedir.

Yaygın bir cevher minerali olan ikincil hematitler, ayrışma süreçleriyle hemen her yerde değişen oranlarda limonitlere dönüşmüştür.

3.5.2.3. Malahit ve azuritler

Genellikle kalkopiritler, bazen de tetraedritlerden ikincil süreçler vasıtasiyla türeyen malahit ve azuritler, türedikleri mineraler, kristal sınırları boyunca dıştan içe doğru değişen oranlarda ornatılmışlardır. Bundan dolayı bu mineraler arasında, girintili çıkışlı çok düzensiz sınır ilişkilerinin gözlendiği belirgin ayrışma dokuları ortaya çıkmıştır.

3.5.2.4.. Zinnober

Makro gözlemlere göre sadece Attepe yatağında bir iki yerde sıvalar halinde izlenebilen zinnober minerali, kan kırmızısı rengindedir. Bunlar muhtemelen sideritlerin

içerisinde yaygın olan tetraedritlerin ayrışma ürünü olarak ortaya çıkmışlardır.

3.5.3. Gang mineralleri

Ana cevher küteleri içerisinde cevher gelimiyle ilgili gang mineralleri son derece azdır. Cevher içerisindeki esas gang türünü, cevherleşme sırasında tam olarak ornatılamayan yankayaç parçaları oluşturmaktadır. Bazen, kuvars bileşenince zengin metakumtaşı, metakuvarsit, kuvarsfillit ve şist gibi kayaçların içerisinde gerçekleşen cevherleşmelerde, yankayaç oranı cevherden çok daha fazladır. Ankeritleşmiş olan kireçtaşları blokları da, ayrışma sonucu ikincil cevherlere dönüşmemiş iseler gang olarak değerlendirilmektedir. Öte yandan, ankeritik zonlar içerisinde görülen ince damar tipi siderit cevherleşmeleri ile çogunlukla inceleme alanının kuzey kesiminde yer alan damar tipi hematit cevherleşmelerinin en, yaygın gang minerallerini kuvars- ve baritler oluşturmaktadır.

3.5.3.1. Kalsit ve dolomit

Kalsit ve dolomitler genellikle yarıözsekilli veya özsekilsiz olup, ince damarcıklar, ya da diğer cevher mineralleri arasında yer alan ornatım dokulu kristal veya kristal toplulukları şeklinde bulunurlar. Cevher mineralerinin ornattığı yankayaçlara ait birincil kalsit ve dolomitlerden başka, cevher içerisindeki çatlak ve kırıklar boyunca izlenen cevherleşme sonrası ikincil genç kalsitler oldukça yaygındır. Cevher gelimiyle ilgili kalsitler ise ankerit ve sideritlerden daha sonra, manyetit ve hematitlerden daha önce çökelmişlerdir.

Genç kalsitlerin bir kısmı cevher içerisindeki çatlak ve boşluklarda 2-3 mm boyutunda iri özsekilli kristaller şeklinde dirler. Cevherleşmeye ilişkin ikincil dolomitleşme olayı tam olarak belirlenememiştir. Ankeritler

İçerisinde yeralan bazı cevher damarcıklarının etrafında zonlu yapılar gösteren dolomit rombedelerlerine rastlanmaktadır. Ancak, bunların büyük bir bölümü ankeritlere dönüşmüştür.

3.5.3.2. Kuvars

En yaygın gang minerallerinden biri olan kuvarslar, üç ayrı oluşum evresini karakterize ederler. Bunlardan ilkini, sideritlerin kısmen ornattığı ve katettiği kuvarslar temsil ederler. Yoğun kataklastik kırılımlı ve dalgalı sönmeli olan özşekilsiz kuvarslar, muhtemelen sideritlerin içerisinde yerleşmiş olduğu kuvars fillit ve sistlerden alınmıştır ve zamanla bu tip kuvarsların bir kısmında ikincil büyümeler sonucu, kısmi zonlanmalar ortaya çıkmıştır. Manyetit ve hematitler içerisinde de aynı evreye ait kuvarslar yaygındır.

Sideritlerin çatlaklarında yeralan ve diğer cevher mineralleri tarafından araları dolgulanmış ve yer yer ornatılan veya katedilen, kısmen dalgalı sönmeli, iri özşekilli ikinci tip kuvarslar, birincilere göre daha açık gri renklidirler. Bunlar, çok az kataklastik kırılım gösterirler. Aynı evreye ilişkin kuvarslara baritli hematit damarlarında baritlerle, piritli manyetit damarlarında ise kalsitlerle birlikte rastlanmaktadır. Ince damarlar şeklinde izlenen üçüncü tip kuvarslar ise genellikle özşekilsizedirler. Bunlar muhtemelen cevherleşmeden sonra gelişmiş ve onları baştan başa kateden genç ikincil kuvars damarlarıdır.

3.5.3.3. Barit

İnceleme alanının kuzey kesiminde yüzeyleyen ince damar tipi hematit cevherleşmelerinde çok yaygın olan baritler, çoğulukla iri özşekilli kristaller şeklinde dir. Makro seviyede boyutları 12-13 cm'ye ulaşan ince uzun özşekilli kristallerine rastlanmaktadır. İncekesitlerinde

tipik dilinimleri ve rölyefleri ile kalsit ve kuvarstan kolayca ayırtedilebilen baritler, ornatma süreci ile hematitler içerisinde düzensiz sınırlı adacıklar veya konkav sınırlı damarlar şeklinde kalmışlardır. Birçok iri barit kristali, kenarlarından itibaren hematitler tarafından büyük ölçüde ornatılarak tipik iskelet dokuları oluşturulmuştur. Bazen, özçekilli hematit kristalleri içerisinde barit kapanımları da bulunmaktadır. Bazı baritler kuvarslarla yanyana görülmektedir. Bu durum, eşlösüm dokusunu yansıtmaktadır.

3.5.3.4. Klorit

Genellikle şist, fillit ve metakumtaşları içerisinde yerleşen manyetitlerle birlikte görülen klorit mineralleri, çok düzensiz sınırlara sahip ince damarcıklar şeklinde dirler. Çoğunlukla parajenende yer alan manyetit, pirit, kalsit ve kuvars gibi birincil mineralleri katederler. Bazen de belirtilen mineralleri kristal sınırları ve çatlakları boyunca, ornatmışlar ve böylece tipik saçaklar şeklinde bir doku ortaya çıkmıştır.

3.5.3.5. Aragonit

Karstik boşluklar içerisinde ikincil olarak çökelmiş olan aragonitler, incekesitlerinde birbirlerine paralel veya işinsal bir şekilde dizilmiş olan ince uzun çubuksu kristaller şeklinde gözlenirler. Aragonitler içerisinde sık sık limonit içерiginden ileri gelen konsantrik yapılı renk hâleleri görülmektedir.

3.5.4. Sükseyon

İnceleme alanında, basit mineral parajenezleri ile temsil edilen başlıca iki ayrı cevherleşme süreci ayırtedilmiştir. Bunların ilkinde genellikle karbonatlı, ikincisinde ise oksitli demir cevher mineralleri hakimdir.

Cevherleşme süreçleriyle ilgili mineral toplulukları ve herbir topluluğa ait minerallerin muhtemel oluşum sırası ilgili bölümlerde verilmektedir.

I. Karbonatlı cevherleşmeler

Çalışma alanında yer alan ekonomik nitelikteki demir yatak ve zuhurlarının en önemli birincil cevher minerallerini oluşturan siderit ve ankeritler, yöredeki karbonatlı cevherleşme fazını temsil ederler. Damar ve ornatım dokulu çok düzensiz geometrili cevher kütelerini oluşturan bu fazın ürünlerini, genellikle Alt-Orta Kambriyen yaşlı Karaçattepe formasyonuna ait dolomit ve kireçtaşlarının içerisinde yer almaktadırlar. Bununla birlikte, inceleme alanında yüzeyleyen diğer karbonat ve karbonatlı kayaçların içerisinde de izlenen bu tip cevherleşmeler ile yaygın ankeritik zonlar ve bu zonların içerisinde görülen kısmen stokvörk yapılı siderit damalları ortaya çıkmıştır. Attepe yöresinde bu faza ilişkin en tipik cevherleşme, Attepe demir yatağında görülmektedir. Attepe yatağında karbonatlı cevherleşmelerle ilgili birincil ve ikincil mineral parajezeleri ile bunların oluşum sırası aşağıda gösterilmişdir:

Kuvars 1

-Siderit 1

-Siderit 2

-Ankerit

-Dolomit (az)

Kalsit

Kuvars 2

Hematit

Pirit 1

Kalkopirit (az)

Tetraedrit

Pirit 2

Kalkopirit 2

Markazit (az)

Birincil
mineraller

Hematit
Götit
lepidokrosit
Limonit
Malahit İkincil
mineraller
Azurit
Zinnober
Kuvars
Kalsit
Aragonit

II. Oksitli cevherleşmeler

Oksitli demir cevher minerallerinin hakim olduğu cevherleşmelerle birlikte esas olarak üç ana mineral topluluğu ortaya çıkmıştır. Herbiri ayrı bir cevherleşme fazını karakterize eden bu topluluklar, piritli manyetitler, kuvarslı hematitler, baritli hematit veya hematitli baritlerden oluşmaktadır. Piritli manyetitelere inceleme alanının sadece birkaç yerinde rastlanılmıştır. Daha yaygın olan oksitli cevher türünü ise, kuvarslı hematitler ile baritli hematitler oluşturmaktadır.

a- Piritli manyetitler

İnce damarlar ve küçük merceğimsi kütleler şeklinde izlenen piritli manyetitler, inceleme alanının doğu kesiminde, İnfraCambriyen yaşlı şist-filit ve metakumtaşları içerisinde oluşmuşlardır. Piritli manyetitlerin en önemli mostraları, Çondu Köyü'nün güneybatısı ile Oruçlu Köyü'nün güneydogu kesimlerinde görülmektedir. Bunlarla ilişkili mineral parejenezi ve mineral oluşum sırası aşağıda verilmiştir:

| | |
|-----------------|--|
| <u>Kuvars</u> | |
| <u>Kalsit</u> | |
| <u>Manyetit</u> | Birincil mineraller |
| <u>Pirit</u> | |
| <u>Klorit</u> | |

HematitGötítlimonitIkincil
mineralller

b- Kuvarslı hematitler

Çoğunlukla ince damar ve düzensiz geometrili breşik cevher kütlelerini oluşturan ve yer yer speküleritleşmiş kuvarslı hematitler, inceleme alanının hemen her yerinde yaygın bir şekilde yüzeylemektedirler. Esas olarak, İnfraCambriyen ve Üst Kambriyen - Ordovisiyen -yaşlı pe- litik kayaçlar içerisinde yer alan bu tip cevherleşmeler, bazen siderit damarlarıyla birlikte ankeritik zonlar içerisinde de görülürler. Kuvarslı hematitlerle ilişkili süksesyon şöyledir:

KuvarsBarit (az)HematitPiritTetraedrit (az)GötítLepidokrositLimonitMalahitAzuritZinnoberBirincil
mineralllerIkincil
mineralller

c- Baritli hematitler veya hematitli baritler

Genellikle damar, bazen de düzensiz geometrili masif cevher kütlelerini oluşturan bu fazın ürünlerini, inceleme alanının kuzey kesiminde yer alan yatak ve zuhurlarda yaygın bir şekilde yüzeylerler. Bazen yüzeyde dayak görünümü sert çıkışlıklar oluşturan baritli hematitlerin en tipik yüzeylemeleri, Mağaradere zuhuru ile Degirmendere, Uyuzpinarı, Kartalkaya ve Mağarabeli demir

yataklarında izlenmektedir. Bu zuhur ve yataklarda ayırt edilen mineral parajenezi ile bunlarla ilgili süksesyon aşağıda verilmiştir:

Barit

Kuvars (az)

Hematit

Pirit

Götít

lepidokrosit

Limonit

Birincil

mineraller

İkincil

mineraller

3.6. Jeokimyasal Incelemeler

Inceleme alanında yer alan demir yatak ve zuhurlarının jeokimyasal özelliklerini aydınlatmak amacıyla yörenin en önemli demir yatağını oluşturan ve öteki yataklara göre daha fazla jeolojik verilerin toplanabildiği Attepe yatağına ait siderit ile bunlardan türeyen ikincil cevherleri temsil eden örnekler ve bazı sülfidli cevher mineralerinin analizleri yapılmıştır.

3.6.1 Sideritlerin jeokimyasal Özellikleri

Demir yatak ve zuhurlarının en önemli birincil cevher mineralini sideritler oluşturmaktadır. Esas olarak Attepe demir yatağının doğu kesiminde yüzeyleyen sideritler, karstik etkilerden korunmuş damarlar şeklinde gözlenirler. Bu damarlardan alınan 19 adet masif siderit numunesinin mineralojik ve kimyasal analizleri yapılmıştır. X-Ray difraktometre cihazında yapılan incelemelerde siderit, kalsit ve kuvars mineralleri tesbit edilmiştir.

Kimyasal analiz çalışmaları, O.D.T.Ü. laboratuvar imkânlarından yararlanılarak yürütülmüştür. Çalışmalar sırasında cevher numunelerine ilişkin FeO ve SiO₂ konsan-

trasyonları kolorimetrik spektrofotometrede, diğer element konstantrasyonları ise atomik absorpsiyon spektrofotometre (AAS) cihazında okunmuştur. Elde edilen analiz sonuçları, Tablo 3.2'de topluca gösterilmiştir. Bu tabloda yer alan uygun elementler arasındaki ilişkiler, korelasyon katsayıları hesaplanarak incelenmiştir. Korelasyon katsayısı 0,7000'den büyük olanlar kuvvetli; 0.7000 ile 0.4500 arasında olanlar zayıf; 0.4500'den daha küçük olanlar ise çok zayıf korelasyonlu element çiftleri olarak kabul edilmiştir (Tablo 3.3).

Attepe sideritlerinin FeO konsantrasyonları % 39.02 ile % 61.09 (ortalama % 51.45) arasında, FeO'e bağlı Fe konsantrasyonları ise, % 30.36 ile % 47.53 (Ortalama % 40.03) arasında değişmektedir (Tablo 3.2.). Nisbeten düzenli bir dağılım sunan FeO konsantrasyonları, diğer elementlerle çok zayıf korelasyonludur. Buna göre, cehherleşme sırasında büyük ölçüde bağımsız olarak hareket eden FeO ve buna bağlı Fe, çok zayıf da olsa Cu ile negatif bir korelasyona sahiptir (Tablo 3.3). Dünyanın önemli bazı siderit yataklarının ana element içerikleri (Tablo 3.4)'de Attepe demir yatağından elde edilen sonuçlarla karşılaşıldığında, yataklara ait Fe konsantrasyonlarının yaklaşık olarak % 30 ile 40 arasında değişikleri görülür. Bu açıdan ele alındığında, siderit yataklarında Fe içeriklerinin genellikle birbirlerine yakın olduğu ortaya çıkmaktadır. Ancak, Fe içeriği yönünden Attepe sideritleri, tabloda yer alan hidrotermal kökenli diğer yataklar arasında daha çok Ouenza ve Jerissa sideritlerine yakın bir benzerlik gösterirler.

Analiz edilen siderit numunelerinin SiO_2 konsantrasyonları ; %0.46 ile 13. 38 (ortalama % 5.30) arasındadır. Mg, Cu ve Zn ile çok zayıf negatif, diğer elementler ile de pozitif korelasyonlar göstermektedir. SiO_2 içeriği yönünden Attepe sideritleri, Quenza ve Jerissa, Bilbao, Vares-Drozkovac, Alquife ve Las Piletas yatağı sideritlerine benzemektedir. Bu yataklardan ilk ikisi; hidrotermal-metazomatik kökenli olmasına karşılık, Vares-Drozkovac

| Numune numarası | % | | | ppm | | | | | | | | | |
|-----------------------|-------|-------|------------------|------|-------|--------|------|-------|------|------|------|------|------|
| | FeO | Fe | SiO ₂ | Zn | Mn | Cu | K | Ca | Mg | Pb | Co | Ni | Cr |
| U 1 | 59.24 | 46.09 | 8.77 | - | 38.50 | 3.76 | 0.76 | 9.50 | 0.60 | Eser | Eser | 0.28 | Eser |
| U 2 | 47.94 | 37.29 | 2.89 | 1.33 | 41.50 | 50.00 | 0.88 | 9.00 | 0.66 | " | " | 0.20 | - |
| U 3 | 59.46 | 46.26 | 5.51 | 2.95 | 63.00 | 49.50 | 0.65 | 9.40 | 0.50 | " | " | 0.55 | - |
| U 4 | 60.87 | 47.36 | 6.01 | 0.55 | 48.50 | 45.00 | 1.05 | 8.00 | 0.60 | " | " | 0.50 | - |
| U 5 | 60.76 | 47.27 | 5.73 | 0.93 | 45.50 | 25.00 | 1.15 | 8.00 | 0.77 | " | " | 0.55 | - |
| U 6 | 48.91 | 38.05 | 9.28 | 1.48 | 44.00 | 38.00 | 0.98 | 10.00 | 0.72 | " | " | 0.28 | - |
| U 7 | 60.98 | 47.44 | 9.20 | 2.60 | 36.50 | 57.00 | 1.04 | 6.00 | 0.50 | " | " | 0.50 | - |
| U 8 | 61.09 | 47.53 | 3.62 | 0.38 | 50.00 | 3.25 | 1.80 | 9.00 | 0.55 | " | " | 0.50 | - |
| U 9 | 40.63 | 31.61 | 10.00 | 2.00 | 33.00 | 122.00 | 1.30 | 6.00 | 0.45 | " | " | 1.20 | - |
| U 1.0 | 54.35 | 42.28 | 3.19 | 2.80 | 47.00 | 154.00 | 1.03 | 2.50 | 0.68 | " | " | 0.08 | - |
| U 1.2 | 50.33 | 39.15 | 1.01 | 3.18 | 45.00 | 119.00 | 0.93 | 5.00 | 0.70 | " | " | 0.05 | - |
| U 1.3 | 41.96 | 32.64 | 0.73 | 4.65 | 44.00 | 146.00 | 0.95 | 7.50 | 0.65 | " | " | 0.20 | - |
| U 1.4 | 53.91 | 41.94 | 5.87 | 5.48 | 40.00 | 150.00 | 1.48 | 7.00 | 0.74 | " | " | 0.04 | - |
| U 1.5 | 46.30 | 36.02 | 8.81 | 3.08 | 51.10 | 170.00 | 0.93 | 8.00 | 0.38 | " | " | 0.13 | - |
| U 1.6 | 53.04 | 41.27 | 1.15 | - | 48.00 | - | 0.88 | 9.50 | 0.63 | " | " | 0.15 | - |
| U 1.8 | 58.80 | 45.75 | 4.04 | 0.78 | 58.00 | 33.00 | 0.80 | 7.50 | 0.40 | " | " | 0.10 | - |
| U 1.9 | 39.46 | 30.70 | 1.09 | 1.28 | 20.00 | 171.00 | 0.88 | 3.50 | 0.50 | " | " | 0.28 | - |
| U 2.0 | 40.54 | 31.54 | 13.38 | 0.55 | 64.00 | 8.00 | 0.73 | 9.00 | 0.55 | " | " | 0.10 | - |
| U 3.0 | 39.02 | 30.36 | 0.46 | 1.23 | 66.00 | 18.00 | 0.73 | 8.50 | 0.55 | " | " | - | - |
| Aritmetik ortalama | 51.45 | 40.03 | 5.30 | 1.85 | 46.53 | 71.71 | 0.99 | 7.52 | 0.59 | 0.30 | 0.30 | - | - |

Tablo 3.3. Siderit numunelerine ait bazı element çiftleri arasındaki korelasyon katsayıları.

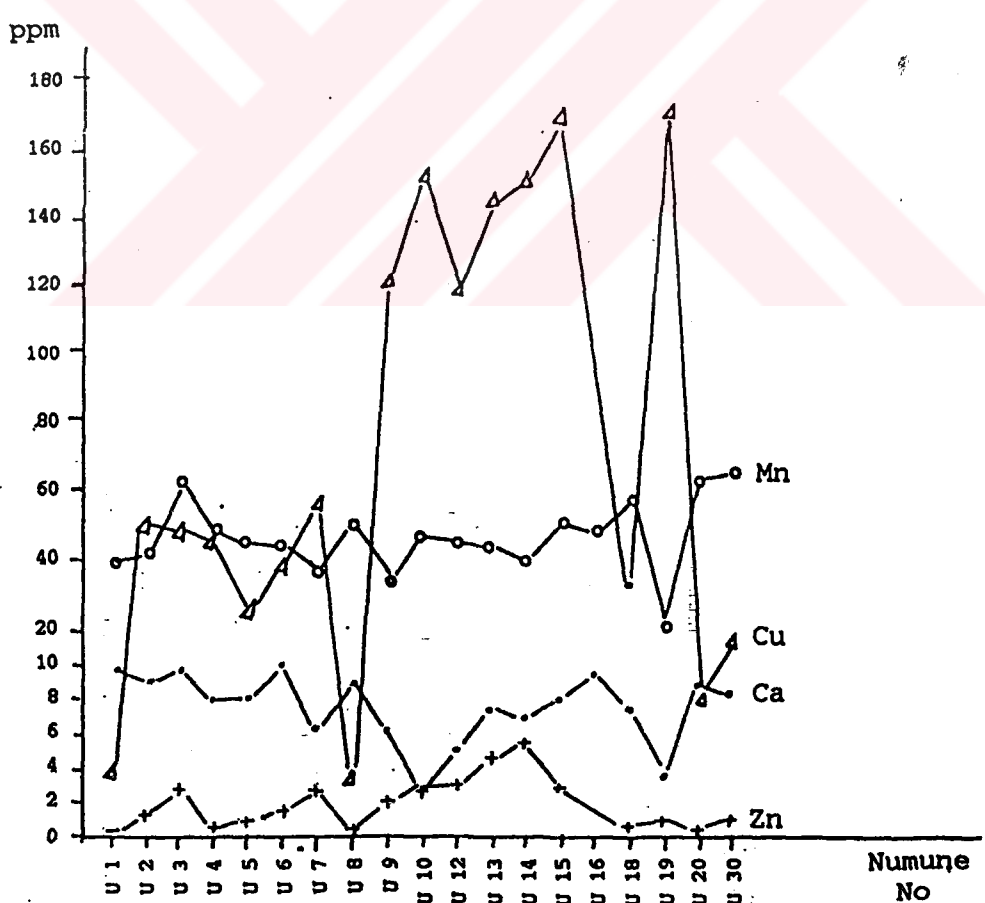
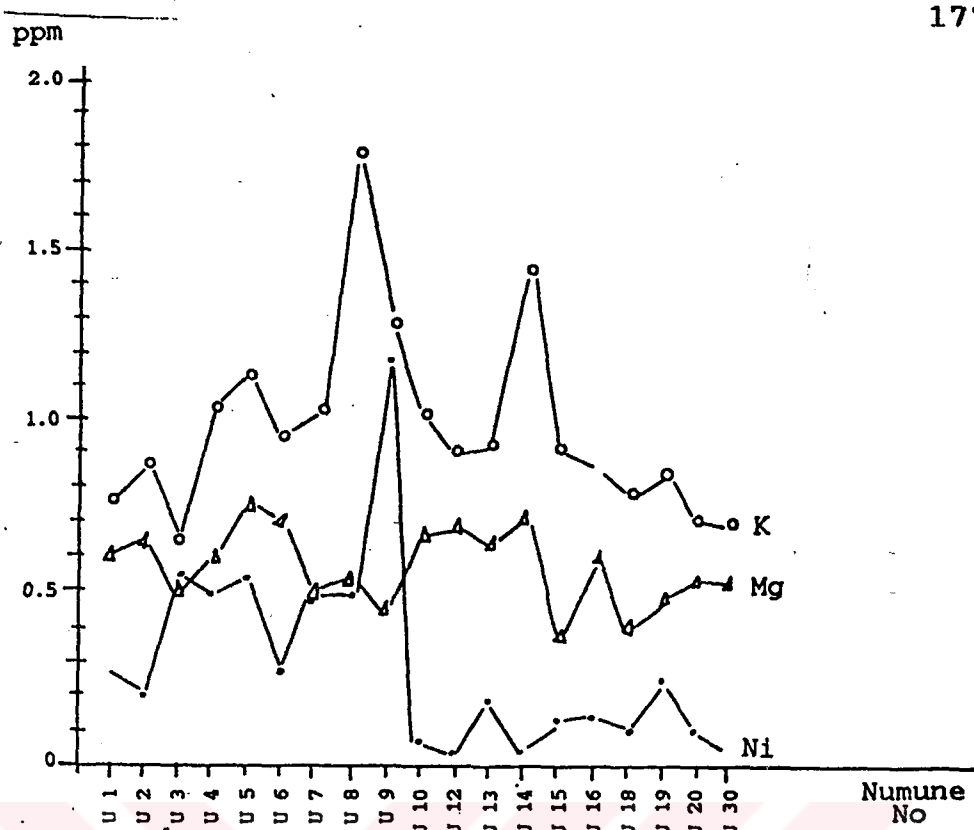
| FeO | SiO ₂ | Ni | Zn | Mn | Cu | K | Ca | Mg |
|-------------------------|------------------|---------|---------|---------|---------|--------|--------|--------|
| FeO 1.0000 | | | | | | | | |
| SiO ₂ 0.0698 | 1.0000 | | | | | | | |
| Ni 0.1359 | 0.3557 | 1.0000 | | | | | | |
| Zn -0.1632 | -0.1136 | -0.1456 | 1.0000 | | | | | |
| Mn 0.0888 | 0.0511 | -0.3119 | -0.1310 | 1.0000 | | | | |
| Cu -0.3918 | -0.1693 | -0.0581 | 0.7424 | -0.4727 | 1.0000 | | | |
| K 0.2631 | 0.0299 | -0.3569 | 0.1637 | -0.3120 | 0.1260 | 1.0000 | | |
| Ca 0.1680 | 0.2642 | 0.0056 | -0.3682 | 0.4849 | -0.7206 | 0.1174 | 1.0000 | |
| Mg 0.1497 | -0.2284 | -0.2401 | 0.1703 | -0.1427 | -0.0612 | 0.1976 | 0.0225 | 1.0000 |

vulkano-sedimanter, diğerleri ise sedimanter ve/veya erken diyajenetik kökenlidirler. Tablo 3.4'de de görüldüğü gibi, SiO₂ ve Fe içerikleri benzer kökenli yataklarda da birbirlerinden farklı olup, bu bileşenlerle demir yataklarının kökenleri arasında belirgin bir ilişki bulunmamaktadır.

Ancak, kökeni bazik bir magmatizmaya ilişkili olan Siegerland yatağında SiO₂ içерiginin, diğer yataklara göre çok daha yüksek, buna karşılık Fe içерiginin ise daha düşük değerler aldığı görülmektedir.

Zn konsantrasyonları iki numunede ölçülememiştir. Diğer numunelerde ise, 0.38 ile 5.48 ppm (ortalama 1.85 ppm) arasında değişen değerler gösterdikleri belirlenmiştir. Sadece Cu elementi ile kuvvetli pozitif bir korelasyon gösteren Zn, diğer elementlerle çok zayıf korelasyonludur (Tablo 3.3, Şekil 3.43). Hidrotermal-metazomatik kökenli Ouenza ve Jerissa sideritlerinde 63 ile 107 ppm arasında değişen Zn içerikleri (Pohl ve dig., 1986), bazik volkanizmaya ilişkili vulcano-sedimanter kökenli Deveci sideritlerinde 10 ile 850 ppm arasındandır (Ünlü, 1985).

| Yatak İsmi | Köken | Fe | SiO ₂ | CaO | MgO | Mn | Literatür |
|--|--|-------|------------------|-------------------|------------------|-----------|--------------------------------|
| Attepe (Türkiye) | Hidrotermal metazomatik | 40.03 | 5.30 | 7.52 ppm (CaO) | 0.59 ppm (Mg) | 46.53 ppm | Bu Çalışma |
| Ouenza ve Jerissa (Kuzey Afrika) | " | 41.00 | 2.7 | 0.50 | - | (1.42) + | Walter ve Zitzman (1977) |
| Erzberg (Avusturya) | " | 33.48 | 3.89 | 7.07 | 4.40 | 1.94 | Holzer ve Pirkl (1977) |
| Billbao (İspanya) | " | 30.58 | 4.72 | 2.19 | 12.19 | 1.05 | Botke (1981) |
| Siegerland (Almanya) | Hidrotermal (Bazik-magmatik) | 29-31 | 16-20 | 0.80-1 | 2-3 | 5-6 | " |
| Vares-Smreka (Yugoslavya) | Vulkano-sediman- ter (Bazik kökenli) | 37.27 | 8.36 | 0.62 | 0.80 | 3.50 | " |
| Vares-Drozkovac (Yugoslavya) | " | 38.89 | 4.10 | 0.67 | 1.47 | 3.80 | " |
| Deveci (Türkiye) | " | 36.65 | 3.52 | 1.97 (Ca) | 2.22 (Mg) | 4.57 | Ünlü (1985) |
| Alquife ve Las Piletas (İspanya) | Sedimanter ve/veya erken diyajenetik | 39.00 | 4.43 | 1.35 | 1.75 | 1.40 | Torres-Ruiz (1983) |



Şekil 3.43. Siderit numunelerinde ölçülen bazı element içeriklerinin grafiksel gösterimi.

Bu verilere göre, Attepe sideritlerinin her iki yatak grubundan da çok daha düşük oranlarda Zn içerdigi ortaya çıkmaktadır.

Analizi yapılan siderit numunelerinin Mn konsantrasyonları, 20 ile 66 ppm (ortalama 46.53 ppm) arasında ölçülmüştür. Mn, Cu ile zayıf negatif, Ca ile de zayıf pozitif korelasyonludur (Tablo 3.3, Şekil 3.43). Tablo 3.4'de görüldüğü gibi bazik kayaçlarla ilişkili hidrotermal ve volkano-sedimanter kökenli yataklarda belirgin bir artış gösteren Mn içerikleri, sedimanter ve diğer hidrotermal-metazomatik kökenli yataklarda daha düşüktür. Attepe sideritlerinin Mn içerikleri ise, her iki yatak grubundan daha da düşüktür.

Örneklerdeki Cu konsantrasyonu, 3.25 ppm ile 171 ppm (ortalama 71.71 ppm) arasında değişen değerler gösterirler. Zn ile kuvvetli pozitif, Ca ile kuvvetli negatif, Mn ile de zayıf negatif korelasyonlu Cu, esas olarak sideritler içerisinde yer alan kalkopirit ve tetraedrit mineralerinden kaynaklanmaktadır (Tablo. 3.3; Şekil 3.43).

Oenza ve Jerissa sideritlerinde 8 ile 15 ppm arasında değişen Cu konsantrasyonları (Pohl ve dig., 1986), Siegerland sideritlerinde 1000 ile 3000 ppm (Botke, 1981), Deveci sideritlerinde ise, 10 ile 5800 ppm (ortalama 222 ppm) arasındadır (Ünlü, 1985). Bu verilere göre, bazik magmatik ve volkanik aktivite ile ilişkili Siegerland ve Deveci yataklarında Cu değeri yüksek, buna karşılık, hidrotermal metazomatik kökenli Oenza ve Jerissa yataklarında oldukça düşük değerdedir. Attepe sideritlerinde ise Cu içeriklerinin her iki yatak tipine de benzemediği, ancak bazik bir kökene dayalı volkano-sedimanter ve hidrotermal-metazomatik kökenli yataklara göre, çok daha düşük olduğu görülmektedir (Tablo 3.2).

Siderit numunelerinin K konsantrasyonları, 0.65 ppm ile 1.80 ppm (ortalama 1.00 ppm) arasında ölçülmüştür. Diğer elementlerle çok zayıf korelasyonlar gösteren K, bu elementlerden bağımsız olarak hareket etmektedir (Tablo

3.3; Şekil 3.43).

K içeriği; Ouenza ve Jerissa sideritlerinde 24 ile 938 ppm (ortalama 209.20 ppm) (Pohl ve dig., 1986), Deveci sideritlerinde 500 ile 2530 ppm (ortalama 1800 ppm) olarak ölçülmüştür. Bu değerlere göre, Attepe sideritlerinin K içerikleri çok düşüktür. Volkano-sedimanter kökenli Deveci sideritlerinde yüksek K içeriği, sideritler içerisinde yer alan killi seviyelerdeki kıl minerallerine baglanmıştır (Ünlü, 1985).

Analiz edilen siderit numunelerinin Ca konsantrasyonları, 2.50 ile 10 ppm (ortalama 7.52 ppm) arasında, Mg içerikleri ise 0.38 ile 0.77 ppm (ortalama 0.59 ppm) arasında değişmektedir (Tablo 3.2).

Ca, Cu ile kuvvetli negatif, Mn ile de zayıf pozitif korelasyonlar gösterirken; Mg, dağılımı hiçbir elementle ilişkili degildir (Tablo 3.3, Şekil 3.43).

Attepe sideritlerinde, diğer yataklara göre son derece düşük olan Ca, Mg ve Mn içerikleri, sideritlerin önemli ölçüde saf olduğunu göstermektedir (Tablo 3.3). Oysa siderit-manyezeit ve siderit-rodokrodit mineralleri arasında katı çözelti serilerinin olduğu bilinmektedir (Deer ve dig., 1975). Attepe sideritleri içerisinde manyezeit ve rodokrodit minerallerine rastlanmamış olması, siderit çökelimi sırasında cevherli çözeltilerin yeterince Mg ve Mn içermedinini göstermektedir.

Siderit numunelerinin Pb, Co ve Cr konsantrasyonları, atomik absorbsiyon spektrofotometresinin dedeksyon limitlerinin altında kalması sebebiyle ölçülememiştir. Ancak, Pb ve Co içeriklerinin bu cihazın minimum okuma sınırı olan 2 ppm'den daha düşük değerlerde olduğu söylenebilir. Sadece bir numunede eser miktarda ölçülen Cr konsantrasyonu, diğer numunelerde çok daha azdır.

Siderit örneklerinin Ni konsantrasyonları ise, Ni içeriği belirlenemeyen bir numune dışında, diğer örneklerde 0.04 ppm ile 1.20 ppm (ortalama 0.30 ppm) arasında değişmektedir.

Ni konsantrasyonları, Ouenza ve Jerissa sideritlerinde

4 ile 24 ppm (ortalama 12.50 ppm) (Pohl ve dig., 1986); Deveci sideritlerinde ise 9 ile 310 ppm (ortalama 70 ppm) arasında değişmektedir (Ünlü, 1985).

Ouenza ve Jerissa sideritlerinde ölçülen Ni içeriğinin, Erzberg sideritlerindeki lere yakın, Rudnany sideritlerinden ise çok daha düşük olduğu belirtilmektedir (Pohl ve dig., 1986). Buna göre, Attepe sideritlerinin Ni içeriği söz konusu yataklardan ve Deveci sideritlerinden çok daha düşüktür.

3.6.2. İkincil cevherlerin jeokimyasal özellikleri

3.6.2.1. Attepe Yatağı

Birincil cevherlerde olduğu gibi, ikincil cevherlerin jeokimyasal özelliklerinin aydınlatılması hususundaki inclemeler de Attepe yatağında yürütülmüştür. Bu amaçla, yataktan alınan nokta numunelerinin yanısıra, 1985, 1986 ve 1987 yıllarında üretilen ikincil cevherlere ait komple kimyasal analiz sonuçları da kullanılmıştır. Ayrıca, iki nokta numunesi, mineralojik bileşim yönünden X-Ray Difraktometre cihazında incelenmiştir. X-Ray analizleri sonucunda ATP-11 numunesinde hematit, götit ve lepidokrosit, ATP-15 numunesinde ise sadece götit mineralleri belirlenmiştir.

Karabük Demir Çelik İşletmeleri laboratuvarlarında gerçekleştirilen komple kimyasal analiz sonuçları, Tablo 3.5'de topluca verilmiştir. Tabloda yer alan uygun element çiftleri arasındaki ilişkiler, korelasyon katsayıları hesaplanarak araştırılmıştır. Korelasyon katsayıları, sideritlerin incelenmesinde olduğu gibi kuvvetli, zayıf ve çok zayıf olmak üzere üç grupta toplanmaktadır (Tablo 3.6).

İkincil cevher örneklerinde en düşük Fe içeriği % 52,06, en yüksek değer ise % 61,98 (ortalama % 58,17) olarak ölçülülmüştür. Attepe yatağının kuzey kesiminde daha

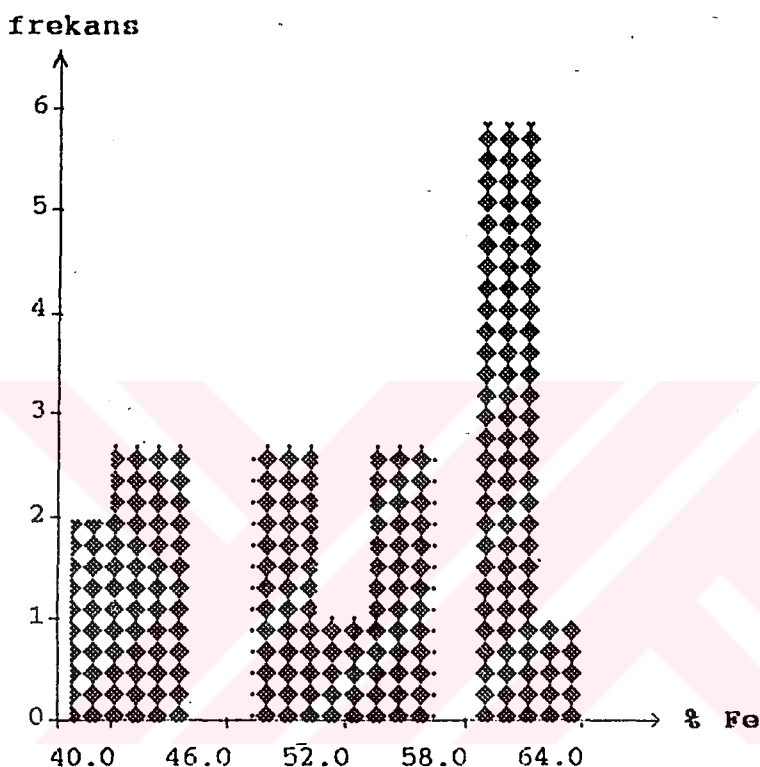
Tablo 3.5. Attepe demir yatağına ait ikincil cehher örneklerinin bazi ana ve iz element konsantrasyonları.

| Numune numarası | Fe | SiO ₂ | Al ₂ O ₃ | % | CaO | MgO | Mn | Cu | Pb | Zn | Pb PPM As | S | P | Ti |
|-------------------------|-------|------------------|--------------------------------|-------|------|------|------|--------|--------|--------|-----------------|--------|--------|-----|
| ATP-15 | 60.30 | 2.94 | 0.57 | 0.04 | 0.42 | 0.25 | 1.09 | 50 | 10 | 10 | eser | 200 | eser | |
| ATP-16 | 61.42 | 1.48 | 0.58 | 0.08 | 0.47 | 0.99 | 50 | 10 | 10 | eser | 300 | eser | | |
| ATP-17 | 60.86 | 0.78 | 0.50 | 0.07 | 0.42 | 0.18 | 0.85 | 50 | 10 | 10 | eser | 300 | eser | |
| ATP-18 | 61.98 | 0.66 | 0.45 | 0.11 | 0.28 | 0.14 | 1.10 | 40 | eser | 10 | eser | 200 | eser | |
| ATP-19 | 61.98 | 0.74 | 0.23 | 0.05 | 0.14 | 0.43 | 0.72 | 40 | eser | 10 | eser | 400 | eser | |
| ATP-20 | 60.58 | 1.18 | 0.62 | 0.06 | 0.28 | 0.29 | 0.56 | 50 | 10 | 10 | eser | 500 | eser | |
| ATP-13 | 59.47 | 2.04 | 0.45 | 0.07 | 0.28 | 0.25 | 0.62 | 50 | 10 | 10 | eser | 300 | eser | |
| ATP-14 | 63.10 | 1.96 | 0.85 | 0.04 | 0.28 | 0.25 | 0.62 | 40 | eser | 10 | 10 | 300 | eser | |
| ATP-7 | 51.37 | 2.34 | 0.36 | 0.09 | 8.54 | 0.50 | 0.75 | 40 | - | 10 | eser | 400 | eser | |
| ATP-9 | 60.58 | 3.18 | 0.53 | 0.06 | eser | 0.43 | 0.61 | 40 | - | 10 | eser | 200 | eser | |
| ATP-10 | 61.14 | 2.68 | 0.48 | 0.07 | 0.14 | 0.21 | 0.62 | 50 | - | 10 | 10 | 200 | eser | |
| ATP-11 | 59.47 | 2.80 | 0.68 | 0.09 | 0.14 | 0.18 | 0.75 | 40 | - | 10 | eser | 400 | eser | |
| ATP-12 | 61.70 | 2.18 | 0.69 | 0.10 | 0.14 | 0.14 | 0.52 | 50 | - | 10 | eser | 200 | eser | |
| 1985 Yılı | 57.28 | 4.24 | 0.23 | 0.05 | 1.04 | 0.14 | 0.90 | 100 | - | 100 | 100 | 700 | eser | |
| 1985 Yılı | 57.77 | 3.41 | 0.41 | 0.08 | 0.62 | 0.09 | 1.03 | 100 | - | 100 | 100 | 100 | eser | |
| 1985 Yılı | 54.84 | 6.62 | 1.00 | 0.18 | 0.99 | 0.21 | 1.34 | 100 | - | 200 | 200 | 100 | 100 | 180 |
| 1986 Yılı | 55.80 | 6.13 | 0.90 | 0.16 | 0.99 | 0.24 | 1.30 | 100 | - | 200 | 100 | 300 | 200 | 180 |
| 1987 Yılı | 58.36 | 2.52 | 0.31 | 0.06 | 1.82 | 0.14 | 0.96 | 200 | - | 100 | 400 | 300 | 200 | 60 |
| 1987 Yılı | 55.87 | 5.47 | 0.56 | 0.17 | 0.79 | 0.24 | 1.41 | 200 | - | 100 | 400 | 300 | 400 | 180 |
| 1987 Yılı | 58.88 | 3.65 | 0.21 | 0.05 | 1.30 | 0.15 | 0.97 | 100 | - | 100 | 100 | 300 | 100 | 60 |
| Aritmetik Ort. | 59.14 | 2.85 | 0.55 | 0.08 | 0.93 | 0.25 | 0.89 | 74.50 | 110 | 110 | 295 | | | |
| 1985 Yılı | 57.67 | 3.41 | 0.41 | 0.08 | 0.62 | 0.09 | 1.03 | 100 | 100 | 100 | eser | 100 | 60 | |
| 1985 Yılı | 57.93 | 3.99 | 0.46 | 0.08 | 0.36 | 0.10 | 0.94 | 100 | 100 | 100 | - | eser | 60 | |
| 1985 Yılı | 52.06 | 9.87 | 1.85 | 0.04 | 0.49 | 0.42 | 1.29 | 100 | 100 | 500 | - | 200 | 360 | |
| 1986 Yılı | 53.13 | 8.84 | 1.64 | 0.03 | 0.44 | 0.45 | 1.38 | 100 | 200 | 400 | 300 | 300 | 360 | |
| 1987 Yılı | 56.29 | 6.32 | 1.04 | 0.20 | 0.58 | 0.28 | 0.86 | 100 | 100 | 600 | 400 | 200 | - | |
| 1987 Yılı | 52.77 | 9.61 | 1.62 | 0.27 | 0.19 | 0.38 | 1.43 | 200 | 200 | 500 | 500 | 400 | 120 | |
| 1987 Yılı | 57.94 | 4.84 | 0.56 | 0.12 | 0.65 | 0.23 | 0.90 | 100 | 100 | 100 | 300 | 100 | 100 | 120 |
| Aritmetik Ort. | 55.40 | 6.70 | 1.08 | 0.12 | 0.48 | 0.28 | 1.08 | 114.30 | 128.60 | 328.60 | 214.30 | 185.70 | 154.30 | |
| Genel Aritmetik Ort. | 58.17 | 3.85 | 0.69 | 0.093 | 0.81 | 0.25 | 0.94 | 84.80 | 114.80 | 274.07 | | | | |

Tablo 3.6. Attepe Yatağına ait ikincil cehher örneklerinin bazi ana ve iz element konsantrasyonları arasındaki korelasyon kat sayıları.

| | Fe | SiO ₂ | Al ₂ O ₃ | Mn | CaO | MgO | Cu | Zn | As | S | P |
|--------------------------------|---------|------------------|--------------------------------|---------|---------|---------|--------|--------|--------|--------|--------|
| Fe | 1.0000 | | | | | | | | | | |
| SiO ₂ | -0.8066 | 1.0000 | | | | | | | | | |
| Al ₂ O ₃ | -0.5891 | 0.8374 | 1.0000 | | | | | | | | |
| Mn | -0.6477 | 0.7233 | 0.5838 | 1.0000 | | | | | | | |
| CaO | -0.4863 | -0.0584 | -0.1853 | -0.0462 | 1.0000 | | | | | | |
| MgO | -0.3200 | 0.2471 | 0.4230 | 0.0724 | 0.2721 | 1.0000 | | | | | |
| Cu | -0.5347 | 0.5914 | 0.3451 | 0.6530 | -0.0164 | -0.1548 | 1.0000 | | | | |
| Zn | -0.7029 | 0.8211 | 0.5387 | 0.7848 | -0.0372 | -0.0472 | 0.7064 | 1.0000 | | | |
| As | -0.6643 | 0.7988 | 0.6994 | 0.6138 | -0.0449 | 0.1658 | 0.7635 | 0.6995 | 1.0000 | | |
| S | 0.0031 | -0.0824 | -0.0850 | -0.1851 | 0.1591 | 0.2564 | 0.0396 | 0.0674 | 0.0189 | 1.0000 | |
| P | -0.6587 | 0.7794 | 0.6771 | -0.0446 | 0.1580 | 0.8533 | 0.7521 | 0.8572 | 0.8572 | 0.0413 | 1.0000 |

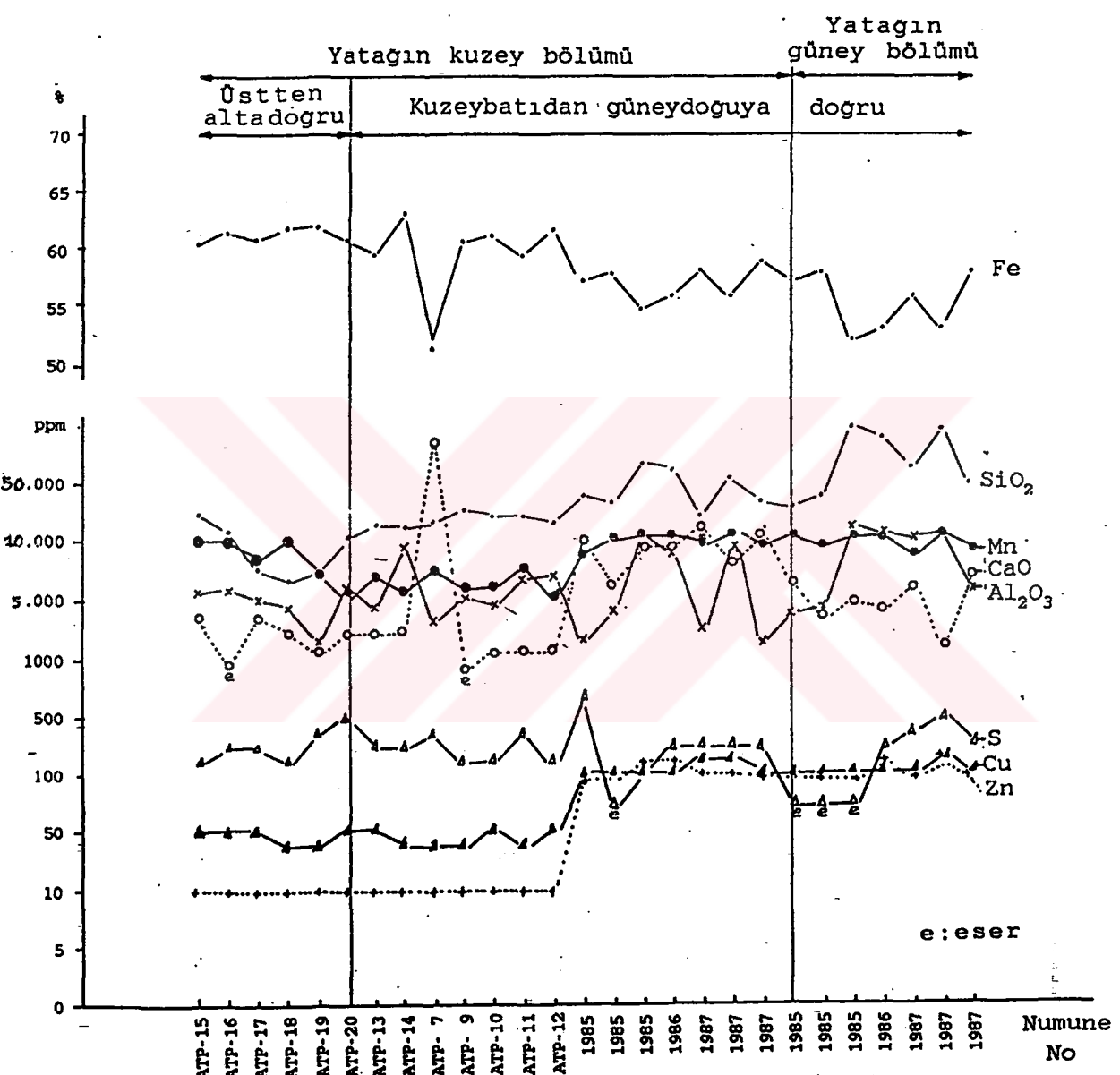
yüksek olan Fe içerikleri, güneye doğru giderek azalmaktadır (Tablo, 3.5). Nisbeten düzenli bir dağılım sunan Fe konsantrasyonlarının ikincil cevherler içerisindeki frekansı Şekil 3.44'de gösterilmiştir. Esas olarak götit, lepidokrosit ve ikincil hematitlere bağlı olan Fe elementi, SiO_2 ve Zn ile kuvvetli As, P, Mn, Al_2O_3 , Cu ve CaO ile de



Şekil 3.44. Attepe Yatağı ikincil cevher örnekleri içerisindeki Fe elementinin dağılım frekansı.

zayıf negatif korelasyonludur (Tablo 3.6; Şekil 3.45). Bazı demir yataklarına ilişkin siderit ve ikincil cevher örneklerinin ana ve bazı iz element içerikleri Tablo 3.7'de gösterilmiştir. Attepe yatağına ait ikincil cevherlerin demir içeriği, bu tabloda yer alan diğer yataklara göre daha yüksektir. Öte yandan sözkonusu yatakların ikincil cevherlerinde ölçülen Fe değerleri sideritlerdekiere göre daha yüksektir.

Fe ile kuvvetli negatif bir korelasyon gösteren SiO_2



Şekil 3.45. Attepe Yatağına ait ikincil cevher örneklerinin bazı ana ve iz element içeriklerini gösteren grafik.

Tablo 3.7. Degişik yataklara ait birincil (siderit) ve ikincil cevher örneklerinin bazı element konsantrasyonları (%) olarak.

| Yatak İsmi | Cevher türü | Fe | SiO ₂ | Al ₂ O ₃ | CaO | MgO | P | S | Yazar adı |
|------------------------------|----------------|-------|------------------|--------------------------------|-------------------|-------------------|----------|--------|---------------------------------|
| Attepe | (Siderit) | 40.03 | 5.30 | | 7.52 ⁺ | 0.59 ^x | | | Bu çalışma |
| | İkincil | 58.17 | 3.85 | 0.69 | 0.81 | 0.25 | es.-0.04 | 0.0274 | |
| Quenza ve Jerissa | (Siderit) | 41.00 | 2.7 | 0.80 | 0.50 | - | 0.036 | 0.01 | |
| Quenza | İkincil | 54.20 | 2.7 | 0.80 | 4.00 | - | 0.036 | 0.01 | Walther ve Zitzman (1977) |
| Jerissa | İkincil | 45-63 | 3.80 | 0.40 | 6.20 | - | 0.002 | 0.05 | |
| Bilbao | (Siderit) | 30.58 | 4.72 | 1.68 | 2.19 | 12.19 | 0.015 | 0.25 | Botke (1981) |
| | İkincil | 47.58 | 11.46 | 4.62 | 0.78 | 1.25 | 0.038 | 0.08 | |
| Alquife ve Las Piletas | (Siderit) | 39.00 | 4.43 | 1.55 | 1.35 | 1.75 | 0.008 | 2.04 | |
| | İkincil | 52.78 | 5.50 | 1.45 | 4.09 | 0.41 | 0.007 | 0.02 | Torres Ruiz (1983) |

+ Ca için okunmuştur. x Mg için okunmuştur (ppm)

Not: Yatakların kökeni Tablo 3.4.de verilmiştir.

konsantrasyonları, % 0.66 ile % 9.87 (ortalama % 3.85) arasında değişen değerler almaktadır. Yankayaç bileşimiyle yakından ilişkili olan SiO₂ konstrasyonları, kuvars bileşenince zengin metapelitik kayaçların yeraldığı yatağın güney bölümünde daha yüksektir (Tablo 3.5, Şekil 3.45). Metapelitik kayaçlar içerisinde ortalama % 46.71 oranında SiO₂ ölçülmüştür (Ünlü ve Stendal, 1986). Önemli ölçüde yankayaçtan kaynaklanan SiO₂; Al₂O₃, Zn, As, P, Mn ve Cu ile kuvvetli pozitif bir korelasyona sahiptir (Tablo 3.6, Şekil 3.45). Attepe yatağında sideritlere göre, ikincil cevherlerde daha düşük olan SiO₂ konsantrasyonu, Quenza ve Jerissa yataklarında birbirlerine eşit veya yakın, diğer yatak örneklerinde ise ikincil cevherlerde daha

yüksektir (Tablo 3.7).

Attepe yatağı ikincil cevher örneklerinde % 0,21 ile % 1.85 (ortalama % 0,69) arasında değişen Al_2O_3 konsantrasyonları, yatağın güney bölümünde daha yüksek olup, muhtemelen alüminyum içерigindeki bu artış, yankayacı oluşturan Infrakambriyen yaşılı metapelitik kayaçlar içerisindeki kil minerallerinden kaynaklanmaktadır. Bu kayaçlar içerisinde X-Ray analizleri sonucunda smektit, illit ve kaolinit grubu kil minerallerinin varlığı tespit edilmiştir. Ayrıca, aynı kayaçlar içerisinde Ünlü ve Stendal (1986) tarafından ortalama % 12,15 oranında Al_2O_3 konsantrasyonu ölçülmüştür. Al_2O_3 içeriği yönünden, Attepe yatağı hidrotermal-metazomatik kökenli Quenza ve Jerissa yataklarına kısmen benzerlik gösterirken, Tablo 3.7'de yer alan diğer yataklara göre çok daha düşük oranda Al_2O_3 içermektedir.

Analiz edilen cevher örneklerinde düzensiz bir dağılım sunan K_2O değerleri, % 0.03 ile % 0.18 (ortalama % 0.09) arasında değişmektedir (Tablo 3.5). Quenza ve Jerissa sideritlerinde K oranı % 0.002 ile % 0.094 (ortalama % 0.029) arasındadır (Pohl ve dig., 1986). Attepe sideritlerinde ortalama % 0.0001 olan K içeriğinin ikincil cevherlerde yüksek olması, muhtemelen pelitik ve kırıntılı yan kayaçlar içerisinde yer alan K'ca zengin bazı minerallerin ayrışması sonucunda ortaya çıkan süperjen kökenli bir zenginleşmeye işaret etmektedir.

Attepe yatağı oksidik (ikincil) cevher örneklerinde CaO oranları eser ile % 1.82 arasında, MgO konsantrasyonları ise % 0.09 ile % 0.50 arasında (ortalama % 0.25) değişmektedir. Attepe yatağı oksidik cevherleri, CaO içeriği açısından Bilbao yatağı oksidik cevherlerine yakın benzerlik göstermektedir. Ancak Quenza, Jerissa, Alquife ve Las Piletas yatağı oksidik cevherlerine göre çok daha düşük oranlarda CaO içermektedir (Tablo 3.7).

Tablo 3.7'de birbirleriyle karşılaştırılan yataklardan Bilbao yatağı hariç, diğer yataklarda CaO oranının, sideritlerde ikincil cevherlere göre daha düşük olduğu

görülmektedir.

MgO oranı, Ouenza ve Jerissa yataklarına ait cevher örneklerinde ölçülememiş olmasına rağmen, Bilbao, Alquife ve Las Piletas yataklarına ait cevherlerinde ölçülen değerler Attepe yatağı cevherlerine göre daha yüksektir (Tablo 3.7).

Zn ve P ile kuvvetli, Cu ve As ile de zayıf pozitif korelasyonlar gösteren Mn, analiz edilen ikincil cevher örneklerinden % 0.52 ile % 1.43 (ortalama % 0.94) arasında değişen değerler almaktadır (Tablo 3.5-3.6 ve Şekil 3.45). Değişik kökenli demir yataklarına ait birincil ve ikincil cevherlerdeki Mn içerikleri Tablo 3.8'de sunulmuştur. Tabloda görüldüğü gibi Attepe yatağı, Mn içeriği yönünden diğer yataklara göre daha düşüktür.

Tablo 3.8. Bazı demir yataklarına ait siderit ve ikincil cevherlerdeki Mn içerikleri.

| Yatak ismi | Köken | Cevher türü | % Mn | Yazar adı |
|------------------------------|---------------------------------|--------------------|------------------|-----------------------|
| Ikincil | | | | |
| Attepe (Türkiye) | Hidrotermal metazomatik | | 0.94 | Bu çalışma |
| siderit | | | | |
| | | | 0,0047 | |
| Ikincil | | | | |
| Bilbao (İspanya) | " | | 1.24 | Botke (1981) |
| | | siderit | 1.05 | |
| siderit | | | | |
| Alquife ve Las Piletas | Sedimanter ve diyajenetik | Ikincil siderit | 1.5 - 2 1-1.5 | Torres-Ruiz (1983) |

Analizi yapılan cevher örneklerinde 40 ile 200 ppm (ortalama 84.80 ppm) arasında değerler alan Cu elementi, P, As ve Zn ile kuvvetli pozitif bir korelasyona sahiptir (Tablo 3.5-3.6, Şekil 3.45). Attepe yatağı sideritleri içerisinde kalkopirit ve tetraedrit mineralleri şeklinde konsantré olan Cu, oksidik cevherler içerisinde de bu bi-

rincil minerallerden türeyen malahit ve azurit gibi bakır karbonat minerallerinin bünyesinde konsantr olmuşlardır. Güney kesiminde 114.30 ppm, kuzey kesiminde ise 74.50 ppm civarındadır. Yatağın orta kesiminden güneye doğru Cu içeriklerinin giderek yüksek değerlere sahip olması bu kesimde yankayacı oluşturan Infrakambriyen yaşılı bitümlü ve bol piritli metapelitik kayaçlar içerisinde Cu bulunması ile ilgilidir. Ünlü ve Stendal (1986) tarafından söz konusu yankayaçlar içerisinde ortalama 126.10 ppm Cu ölçülmüştür.

Attepe yatağının kuzey kesiminden alınan 13 nokta numunesinde yapılan Pb analizleri sonucunda, beş örneğin 10'ar ppm, diğer örneklerin ise eser miktarda Pb içerdikleri görülmüştür (Tablo 3.5). Birincil cevher örnekleri içerisinde de son derece düşük olan Pb içerikleri, yankayaç analizlerinde 3 ppm ile 21 ppm (ortalama 10 ppm) arasında ölçülmüştür. (Ünlü ve Stendal, 1986).

10 ppm ile 200 ppm (ortalama 114.80 ppm) arasında değişen Zn konsantrasyonları, P ile kuvvetli, As ile de zayıf pozitif bir korelasyona sahiptir (Tablo 3.6, Şekil 3.45). Attepe yatağının orta ve güney kesimlerinde daha yüksek olan Zn içeriği, 100 ile 200 ppm arasında değişirken, kuzey kesimde 10 ppm gibi sabit bir değer göstermektedir. Aynı yataktan alınan siderit numumelerinde çok düşük olan Zn içeriklerinin, ikincil cevherlerde yüksek oluşu, karstlaşma süreçleriyle birlikte ortaya çıkan süperjen kökenli bir zenginleşmeye işaret etmektedir (Tablo 3.2).

Attepe yatağının kuzey kesimlerini temsil eden numunelerde daha düşük olan As konsantrasyonları, Tablo 3.5'de yer alan ilk 13 numunenin 11'inde eser miktarda ölçülmüştür. Maksimum 600 ppm'e ulaşan As konsantrasyonu, yatağın güney kesiminde ortalama 328.60 ppm civarındadır. P, SiO_2 ve Cu ile kuvvetli; Zn, Mn ve Al_2O_3 ile de zayıf pozitif korelasyonlar gösteren As, Fe ile de zayıf negatif bir korelasyona sahiptir (Tablo 3.6, Şekil 3.45). Hidro-

termal-metazomatik kökenli Ouenza ve Jerissa sideritlerinde 80 ile 225 ppm arasında değişen As içerikleri (Pohl ve dig., 1986) , Kanada'da yer alan Cuyuna, Marquette, Menominee ve Mesabi yatağı bantlı demir formasyonlarında eser ile 140 ppm arasındadır (Ohle, 1972). Bu verilere göre, sedimanter kökenli yataklarda As içeriğinin hidrotermal kökenli yataklara göre daha düşük oranda olduğu anlaşılmaktadır.

Tablo 3.5'de yatağın kuzey kesimini temsil eden numunelerin ilk 14'ünde eser miktarda ölçülen P, maksimum 400 ppm'e kadar çıkmaktadır. P, As, Cu, SiO₂, Mn ve Zn ile kuvvetli, Al₂O₃ ile de zayıf pozitif korelasyonludur (Tablo 3.6, Şekil 3.45). Attepe yatağının güney kesiminde daha yüksek oranda bulunan P, ortalama 185.70 ppm civarındadır. hidrotermal-metazomatik kökenli Ouenza ve Jerissa yatağı cevherlerinde ölçülen P oranı, Pohl ve dig., (1986) tarafından sedimanter kökenli yataklarla karşılaşabilecek kadar düşük bulunmaktadır. Bu yatağa göre Attepe'de daha düşük olan P oranı, sedimanter kökenli yataklara daha da yakındır. Mesela sedimanter kökenli Alquife ve Las Piletas yatağında ortalama P oranı birincil cevherlerde 80 ppm , ikincil cevherlerde ise 70 ppm civarındadır (Tablo 3.7) .

Analiz edilen ikincil cevher örneklerinde S konsantrasyonları eser ile 700 ppm arasındadır. Tablo 3.7'de bazı siderit yataklarına ait birincil ve ikincil cevher örneklerindeki S konsantrasyonları görülmektedir. Tablodan da görüleceği gibi benzer kökenli Attepe, Bilbao, Ouenza ve Jerissa yatakarında S konsantrasyonları birbirlerinden farklıdır. Buna karşılık Attepe yatağı ikincil cevherleri S içeriği yönünden sedimanter kökenli Alquife ve Las Piletas yataklarına daha çok benzemektedir.

Attepe yatağı ikincil cevher örneklerinde Ti içerikleri eser ile 360 ppm arasında değişmektedir. Yatağın güney kesimine ait örneklerde ortalama Ti içeriği 154.30 ppm civarındadır (Tablo 3.5) .

Hidrotermal-metazomatik kökenli Ouenza yatağı oksidik

cevherlerinde ölçülemeyen Ti içeriği, Jerissa oksidik cevherlerinde 500 ppm olup, Attepe yatağı cevherlerine göre daha yüksek orandadır (Walther ve Zitzmann, 1977).

3.6.2.2. Faraşa zuhuru

İnceleme alanının yaklaşık 30 km batısında yer alan Faraşa zuhuru, Kayseri ile, Yahyalı ilçesi, Faraşa Köyü yakınındadır.

Önder (1978) tarafından incelenen bu zuhur, ofiyolitik kayaçların içerisindeki bir kireçtaşı bloku ile radyolarit blokunun faylı dokanagında yer almaktadır. Metasomatik süreçler sonucunda yerleşen cevher, oluşum yönünden Attepe ve yakın çevresindeki yatak ve zuhurlara büyük benzerlik göstermektedir. Zuhurdaki başlıca cevher bileşenlerini limonitler, gang minerallerini ise kuvars ve kalsitler oluşturur. Jeokimyasal incelemeler için bu zuhurdan alınan 7 adet cevher numunesinin MTA Laboratuvarlarında ana ve bazı iz element analizleri yapılmıştır. Analiz sonuçları, (Tablo 3.9)'da Attepe yatağı ikincil cevher örneklerine ait analiz sonuçlarıyla karşılaştırmalı olarak verilmiştir.

Faraşa zuhurunda hakim cevher bileşenlerini, Attepe'de olduğu gibi limonit ve ikincil hematitler oluşturmamasına rağmen, Fe içerikleri Attepe yatağı ikincil cevher örneklerine göre çok daha düşüktür. Buna karşılık SiO_2 ve Al_2O_3 oranları önemli ölçüde yüksektir. Meselâ % 19.55 ile % 35.85 arasında değişen SiO_2 konsantrasyonu, Attepe siderritlerindeki SiO_2 konsantrasyonundan beş misli daha fazladır. Aynı şekilde, % 1.07 ile % 3.94 arasında değişen Al_2O_3 içerikleri ise, Attepe yatağı ikincil cevher örneklerindeki Al_2O_3 oranına göre, üç misli daha fazla olup, Cevherli çözeltilerin çökelmeden önce, tektonik hatlar boyunca ofiyolitik kayaçlar içerisinde göçetmeleri, Faraşa zuhurunda SiO_2 ve Al_2O_3 gibi bileşenlerin yoğunluk kazanmasına, demir tenörünün ise düşmesine sebep olmuştur.

Tablo 3.9. Attepe Yatağı ve Farasa zuhuru ikincil cevher öreklerinin ana ve iz element içeriğinin karşılaştırılmış tablosu.

| Yatık adı | Fe | SiO ₂ | Al ₂ O ₃ | Mn | Ca | Mg | Cu | Pb | Zn | As | S | P | Ti | Co | Cr | Ni | V | ppm | |
|--------------|------|------------------|--------------------------------|------|-------|-------------------|-------------------|------|------|------|------|------|------|-----|-------------------|--------------------|-------------------|------|------|
| | | | | | | | | | | | | | | | | | | Mak. | Min. |
| Farasa | Mak. | 46.27 | 35.85 | 3.94 | 0.07 | 0.15 | 0.04 | 8900 | 20 | 1500 | 120 | 1200 | 2100 | 400 | 70 | 100 | 70 | 150 | |
| | Min. | 34.85 | 19.55 | 1.07 | 0.004 | 0.02 | 0.02 | 400 | - | - | 10 | 200 | 500 | 400 | - | 40 | 20 | - | |
| Attepe | Mak. | 61.98 | 9.87 | 1.85 | 1.43 | 1.82 ^x | 0.50 ^x | 200 | 10 | 200 | 600 | 700 | 400 | 360 | eser ⁺ | 0.007 ⁺ | 1.20 ⁺ | | |
| | Min. | 52.06 | 0.66 | 0.21 | 0.52 | eser | 0.09 | 40 | eser | 10 | eser | eser | eser | - | eser ⁺ | - | 0.04 ⁺ | | |

+ Attepe Yatağı birincil cevher (siderit) örneklerinde ölçülmüştür.

x Değerler CaO ve MgO için okunmuştur.

ve Al_2O_3 gibi bileşenler bakımından zenginleşmiştir.

Ofiyolitik kayaçlar içerisinde yer alan Faraşa zuhuru-nun iz element içeriği açısından Attepe yatağına göre; Pb ve As elementleri dışında, konsantrasyonu ölçülen diğer element içerikleri daha yüksektir. Özellikle Cr, Co, Ni, Ti, Cu, Zn ve S oranları, Faraşa'da önemli ölçüde artmıştır. Iz element içeriklerinin artışı, özellikle Cr, Co, Ni ve Ti gibi bazik bir kökene işaret eden iz element-lerin yüksek değerler vermesi, cevherli çözeltilerin bu elementleri ofiyolitik kayaçlardan çözüldüğünü gös-termektedir. Diğer taraftan lateritik Fe-Ni-Co yatak-larında olduğu gibi, süperjen kökenli ayırmalara bağlı bu elementlerden bazılarının zenginleşmeleride gözardı edil-memelidir.

Faraşa zuhuruna ait cevher numunelerinin element kon-santrasyonları arasındaki ilişki, korelasyon katsayıları hesaplanarak araştırılmıştır (Tablo 3.10). Buna göre, Fe ile SiO_2 arasında kuvvetli, Fe ile Mg ve Al_2O_3 arasında da zayıf negatif korelasyonlar görülmektedir. Fe ile Co ve Ni arasında çok zayıf negatif, Fe ile V arasında zayıf, Fe ile Cr arasında da çok zayıf pozitif korelasyonlar izlen-mektedir.

3.6.3. Bazı sülfidli minerallerin analizleri

Attepe demir yatağında yüzeyleyen siderit damarlari içerisindeki pirit, tetraedrit ve kalkopirit mineralleri ile yatağın doğu bitişiginde yer alan İnfraCambriyen yaşlı Attepe üyesi içinde oluşan sedimanter kökenli piritlerin analizleri de yapılmıştır. Heidelberg (Almanya) Üniversitesi Mineraloji-Petrografi Enstitüsü'nde yürütülen analizler sırasında, ARL Seme-Semq. Molibden tipi mikrop-rop cihazı kullanılmıştır.

3.6.3.1. Piritlerin ana ve bazı iz element analizi-leri

Analiz için seçilen pirit numuneleri, makro ve mikro

Tablo 3. 10. Farasa zehuruna alt element konsantrasyonları arasındaki korelasyon katsayıları

| | Al ₂ O ₃ | As | Ca | Co | Cr | Cu | Fe | Mg | Mn | Ni | P | S | SiO ₂ | V | Zn |
|--------------------------------|--------------------------------|---------|---------|-----------|---------|---------|---------|---------|---------|---------|---------|---------|------------------|---------|--------|
| Al ₂ O ₃ | 1.0000 | | | | | | | | | | | | | | |
| As | -0.4383 | 1.0000 | | | | | | | | | | | | | |
| Ca | -0.0610 | 0.2130 | 1.0000 | | | | | | | | | | | | |
| Co | 0.8828 | -0.2959 | 0.0252 | 1.0000 | | | | | | | | | | | |
| Cr | 0.6632 | -0.6440 | -0.3965 | 0.6757 | 1.0000 | | | | | | | | | | |
| Cu | 0.8562 | -0.3872 | 0.1491 | 0.7886 | 0.5709 | 1.0000 | | | | | | | | | |
| Fe | -0.3604 | 0.1869 | -0.1929 | -0.3975 | 0.1120 | -0.0668 | 1.0000 | | | | | | | | |
| Mg | 0.7813 | 0.0859 | -0.0187 | , -0.7864 | 0.2402 | 0.5270 | -0.6057 | 1.0000 | | | | | | | |
| Mn | 0.8939 | -0.3546 | 0.1739 | 0.9814 | 0.6524 | 0.8346 | -0.4030 | 0.7354 | 1.0000 | | | | | | |
| Ni | 0.8466 | -0.3631 | 0.1862 | 0.9699 | 0.6910 | 0.8357 | -0.3116 | 0.6518 | 0.9906 | 1.0000 | | | | | |
| P | -0.5474 | 0.7483 | -0.0265 | -0.5239 | -0.6200 | -0.2708 | 0.5247 | -0.2689 | -0.5785 | -0.5592 | 1.0000 | | | | |
| S | -0.1070 | 0.7559 | -0.0215 | -0.1262 | -0.1588 | -0.1866 | 0.4269 | 0.1592 | -0.1749 | -0.1832 | 0.4610 | 1.0000 | | | |
| SiO ₂ | -0.0562 | -0.0314 | 0.1597 | -0.0826 | -0.4401 | -0.3731 | -0.8754 | 0.2730 | -0.0739 | -0.1698 | -0.3329 | -0.3264 | 1.0000 | | |
| V | -0.1194 | 0.3631 | -0.3920 | -0.1263 | 0.2764 | -0.1510 | 0.7457 | -0.1448 | -0.1973 | -0.1515 | 0.3044 | 0.7953 | -0.6698 | 1.0000 | |
| Zn | 0.7765 | -0.3476 | 0.0988 | 0.9158 | 0.6641 | 0.8341 | -0.2232 | 0.6144 | 0.8793 | 0.8936 | -0.3182 | -0.2873 | -0.2634 | -0.1669 | 1.0000 |

seviyede yapılan gözlemler sonucunda damar tipi ve sedimanter kökenli olmak üzere iki ana gruba ayrılmışlardır. Damar tipi piritler, siderit damarları içerisinde tetraedrit ve kalkopirit gibi diğer sülfidli minerallerle birlikte bulunurlar. Sedimanter kökenli piritler ise, yer yer siderit damarlarını da kapsayan Infrakambriyen yaşı At-tepe üyesine ait bitümlü metapelitik kayaçlar içerisinde sindedirler. Sedimanter piritler, sinjenetik özçekilli pirit kristalleri, sinjenetik masif yapılı pirit tabakaları ve diyajenetik pirit kümeleri olmak üzere kendi aralarında üç alt gruba ayrılırlar.

Jeokimyasal incelemeler için mikroskopik gözlemlere dayalı olarak sideritlerle ilişkili piritlerden 7, sedimanter kökenli piritlerden de toplam 32 adet örnek seçilerek ana ve bazı iz element analizleri yapılmıştır. Analiz sonuçları Tablo 3.11, 3.12, 3.13 ve 3.14'de topluca görülmektedir. Tablo 3.15'de ise herbir gruba ait pirit numunelerinin ana ve iz element konsantrasyonları karşılaştırmalı olarak verilmiştir.

Yapılan incelemeler sonucunda, Co, Ni, Ti, V, Se ve As gibi elementlerin birçok araştırmacı tarafından piritlerin kökenini belirlemeye yönelik iz elementler olarak kullanıldığı görülmüştür (Fleischer, 1955; Coleman ve Delevaux, 1957; Hawley ve Nichol, 1959, 1961; Loftus-Hills ve Solomon, 1967; Cambel ve Jarkovsky, 1968; Anderson 1969; Raiswell ve Plant, 1980). Bu çalışmada pirit numunelerinin As, Co, Ni, Cu, Se, Hg, Sb, Te, Bi, Tl, Ag ve Au içeriklerini belirlemek amacıyla yapılan iz element analizlerinde, örneklerin ilk yedi element dışında, diğer iz elementleri içermeydikleri belirlenmiştir.

Analizi yapılan pirit numunelerinin ortalama Fe konsantrasyonları, sideritlerle ilişkililerde % 42.84, sedimanter kökenlilerden özçekilli piritlerde % 44.46, masif yapılı pirit tabakalarında % 45.92, diyajenetik piritlerde % 43.20 dir. Ortalama S konsantrasyonları ise aynı sıraya göre % 50.99, % 52.40, % 53.30 ve % 52.40 dir. Pirit örneklerinin tamamı dikkate alındığında düzenli bir

Tablo 3.11. Siderit damarları içerisinde yer alan piritlere ait ana ve bazı iz element içerikleri.

| Numune No | Fe | S | As | ppm | | | | | |
|-----------------------|-------|-------|------|------|------|------|------|------|------|
| | | | | Co | Ni | Cu | Se | Hg | Sb |
| AT - 1 | 43.16 | 51.18 | 1.49 | Eser | 290 | 630 | 1010 | 1710 | Eser |
| AT - 2 | 43.30 | 51.81 | 0.33 | - | Eser | Eser | Eser | Eser | - |
| AT - 3 | 42.27 | 50.02 | 1.66 | - | 380 | 6790 | 1360 | 1770 | 4070 |
| AT - 4 | 42.51 | 50.90 | 1.03 | - | Eser | 2140 | 390 | Eser | 1110 |
| AT - 9 | 42.88 | 51.14 | 0.54 | - | - | 4140 | 380 | - | Eser |
| AT - 10 | 43.47 | 51.79 | 0.41 | - | - | 330 | Eser | - | - |
| AT - 11 | 42.25 | 50.07 | 2.52 | - | - | 4300 | - | 2410 | - |
| Aritmetik Ortalama | 42.84 | 50.99 | 1.14 | | | | | | |

Tablo 3.12. Sedimanter kökenli özçekilli pirit porfiroblastlarının ana ve bazı iz element içerikleri.

| Numune No | Fe | S | As | ppm | | | | | |
|-----------------------|-------|-------|------|------|------|--------|------|------|------|
| | | | | Co | Ni | Cu | Se | Hg | Sb |
| P 1 | 45.04 | 53.58 | Eser | Eser | Eser | Eser | Eser | - | Eser |
| P 2 | 44.54 | 53.58 | Eser | - | 460 | - | - | - | - |
| P 3 | 44.50 | 52.15 | 0.06 | 590 | 240 | - | - | Eser | - |
| P 4 | 44.10 | 51.11 | 0.09 | Eser | 280 | - | - | - | - |
| P 5 | 43.88 | 52.97 | Eser | 210 | Eser | - | - | - | - |
| P 6 | 44.56 | 52.02 | Eser | Eser | 210 | 430 | 280 | - | - |
| P 9 | 45.17 | 51.55 | 0.06 | - | 310 | Eser | 360 | Eser | - |
| P 10 | 44.96 | 53.49 | Eser | - | 790 | - | 190 | - | - |
| P 11 | 43.89 | 52.07 | 0.05 | - | 570 | - | Eser | - | - |
| P 12 | 43.86 | 51.75 | 0.07 | - | 740 | - | 300 | - | - |
| P 13 | 44.61 | 52.14 | 0.06 | 4650 | Eser | 320 | Eser | - | - |
| Aritmetik Ortalama | 44.46 | 52.40 | | | | 327.27 | | | |

Tablo 3.13. Sedimanter kökenli masif pritlerin ana ve bazı iz element içerikleri.

| Numune No | Fe | S | As | ppm | | | | | |
|-----------------------|-------|-------|------|------|------|------|------|------|------|
| | | | | Co | Ni | Cu | Se | Hg | Sb |
| MP 1 | 46.13 | 53.42 | Eser | Eser | 40. | 400 | Eser | Eser | Eser |
| MP 2 | 46.38 | 52.95 | 1.00 | - | Eser | 360 | - | - | - |
| MP 3 | 45.63 | 52.36 | 0.13 | - | - | 520 | - | - | - |
| MP 4 | 46.09 | 54.05 | 0.11 | - | 340 | 830 | - | - | - |
| MP 5 | 45.54 | 52.89 | 0.16 | - | Eser | 1230 | - | - | - |
| MP 6 | 46.15 | 52.96 | 0.06 | - | - | Eser | - | - | - |
| MP 7 | 45.71 | 53.94 | Eser | - | - | 360 | - | Eser | - |
| MP 8 | 45.76 | 53.83 | - | - | 600 | Eser | 400 | - | - |
| Aritmetik Ortalama | 45.92 | 53.30 | - | | | | | | |

Tablo 3.14. Diyajenetik kökenli pritlerin ana ve bazı iz element içerikleri

| Numune No | Fe | S | As | ppm | | | | | |
|-----------------------|-------|-------|------|------|--------|------|------|------|------|
| | | | | Co | Ni | Cu | Se | Hg | Sb |
| P 1 | 43.15 | 52.18 | 0.07 | Eser | 760 | 240 | Eser | Eser | Eser |
| P 2 | 42.46 | 52.15 | 0.08 | - | 300 | 220 | - | - | - |
| P 3 | 42.36 | 52.22 | Eser | - | 450 | 460 | - | - | - |
| P 4 | 41.16 | 52.57 | 0.12 | - | 330 | 260 | - | - | - |
| P 6 | 42.91 | 53.18 | Eser | - | 220 | Eser | - | - | - |
| P 7 | 43.33 | 53.30 | - | - | 300 | - | 430 | - | - |
| P 8 | 43.63 | 52.53 | - | - | 1210 | - | 420 | 1350 | - |
| P 9 | 43.07 | 52.41 | - | - | 1210 | 200 | Eser | 1380 | - |
| P 10 | 43.69 | 52.29 | - | - | 750 | Eser | 200 | Eser | - |
| P 11 | 44.30 | 52.40 | 0.06 | - | 1140 | - | Eser | - | - |
| P 13 | 43.20 | 51.85 | Eser | - | 1090 | - | 300 | - | - |
| P 14 | 44.25 | 52.31 | - | - | 650 | - | 290 | - | - |
| P 15 | 44.04 | 51.81 | - | - | 330 | - | Eser | - | - |
| Aritmetik Ortalama | 43.20 | 52.40 | - | | 672.31 | | | | |

Tablo 3.15. Damar tipi ve sedimenter kökenli piritlerin ana ve bazı iz element içerdiklerinin minimum ve maksimum değerleri.

| Köken | Degerler | Fe | S | As | Co | Ni | Cu | ppm | Se | Hg | Sb |
|--|----------|-------|-------|------|------|------|------|------|------|------|----|
| Damar tipi Piritler | Mak. | 43.47 | 51.81 | 2.52 | Eser | 380 | 6790 | 1360 | 2410 | 4070 | |
| | Min. | 24.25 | 50.02 | 0.33 | Eser | Eser | Eser | Eser | Eser | Eser | |
| Sinjenetik özşekilli Pirit kristalleri | Mak. | 45.17 | 53.58 | 0.94 | 4650 | 790 | 430 | 360 | Eser | Eser | |
| | Min. | 43.88 | 51.11 | Eser | Eser | Eser | Eser | Eser | Eser | Eser | |
| Sinjenetik masif yapıllı pirit tabakaları | Mak. | 46.38 | 54.05 | 0.16 | Eser | 600 | 1230 | 400 | Eser | Eser | |
| | Min. | 45.54 | 52.36 | Eser | Eser | Eser | Eser | Eser | - | Eser | |
| Diyajenetik pirit kümeleri | Mak. | 44.30 | 53.30 | 0.12 | Eser | 1210 | 490 | 430 | 1380 | Eser | |
| | Min. | 41.16 | 51.81 | Eser | Eser | 220 | Eser | Eser | Eser | Eser | |

dagılım sunan Fe ve S konsantrasyonları, sedimanter piritlerde, öteki piritlere göre daha yüksektir. Sedimanter piritlerden de masif yapılı olanların Fe ve S içerikleri diğer özşekilli ve diyajenetik piritlere göre daha yüksek değerler göstermektedir.

As konsantrasyonları, siderit damarlarındaki piritlerde % 0.33 ile % 2.52 (ortalama % 1.14) arasında değişirken sedimanter kökenlilerden özşekilli piritlerde eser ile % 0.09, masif piritlerde eser ile % 0.16, diyajenetik piritlerde ise, eser ile % 0.12 arasında değişmektedir.

Hawley ve Nicol'e (1961) göre, oluşum sıcaklığının artmasıyla birlikte piritlerdeki As konsantrasyonu azalmaktadır. Ancak, bu çalışmada tersine bir durum izlenmekte, sideritler içindeki damar tipi piritlerde As oranının sedimanter kökenli piritlere göre daha yüksek olduğu görülmektedir (Tablo 3.15). Raiswell ve Plant'a (1980) göre diyajenetik kökenli piritlerde ortalama As oranı % 0.005 dir. Bu çalışmada ise diyajenetik kökenli 13 numuneden dokuzunda eser miktarında ölçülen As konsantrasyonu, diğer örneklerde % 0.59 ile % 0.12 arasında değişen yüksek değerler vermektedir (Tablo 3.14).

Analizi yapılan pirit numunelerinin Co konsantrasyonları, sedimanter kökenli pirit örneklerinden üçü hariç, diğer tüm örneklerde eser miktaradır (Tablo 3.10-11-12-13)..

Damar tipi pirit örneklerinin sadece ikisinde 290 ve 380 ppm olmak üzere Ni konsantrasyonu tayin edilmiştir. Buna karşılık sedimanter kökenli piritlerin birçoğunda okunabilen Ni değerleri, özşekilli piritlerde eser ile 790 ppm, masif yapılı piritlerde eser ile 600 ppm, diyajenetik piritlerde ise 220 ile 1210 ppm (ortalama 672.31 ppm) arasında değişmektedir. Bu verilere göre, sedimanter kökenli pirit numunelerinin Ni içeriklerinin damar tipi pirit numunelerinin Ni içeriklerinden çok daha yüksek oldukları görülür. Sedimanter süreçlerle oluşan piritlerde Ni konsantrasyonlarının Co konsantrasyonlarına göre daha yüksek olduğu, sıcaklık artışıyla birlikte Ni konsantrasyonları da artmaktadır.

yonunun giderek azaldığı bilinmektedir (Govett ve Pantazis, 1971; Mookherjee ve Philip, 1979; Mercer, 1976; Bralia ve dig., 1979).

Bu çalışmada incelenen sedimanter kökenli pirit numunelerinin birçogunda Ni içeriklerinin Co'a göre çok daha yüksek olduğu; sideritlerden alınan pirit numunelerinde ise, Co ve Ni içeriklerinin genellikle eser miktarda olması sebebiyle belirtilen ilişkinin varlığı belirlenememiştir (Tablo 3.11,12,13,14).

Sedimanter piritlerde ortalama 200 ppm civarında olan Ni konsantrasyonu (Raiswell ve Plant, 1980), Pontid tipi masif sülfid yataklarına ait piritlerde 26 ppm, Kıbrıs tipi masif sülfid yataklarına ait piritlerde ise 45 ppm'dir (Güleç ve Erler, 1983). İnceleme alanında yer alan sedimanter kökenli piritlerde ise ortalama Ni içerikleri, masif yapılı piritler dışında, diğer özşekilli ve diyajenetik piritlerde Raiswell ve Plant (1980) tarafından verilen 200 ppm'lik ortalama değerin üzerindedir.

Pirit numunelerinde ölçülen Cu, Se, Hg ve Sb değerlerinin damar tipi ve sedimanter kökenli piritlerde belirgin bir farklılık gösterdikleri, özellikle damar tipi pirit numunelerinde bu elementlerin daha yüksek değerler verdiği görülür. Meselâ; Cu konsantrasyonları, damar tipi piritlerde eser ile 6790-ppm arasında değişirken, sedimanter kökenlilerden özşekilli piritlerde eser ile 430 ppm, masif piritlerde eser ile 1230 ppm, diyajenetik piritlerde ise eser ile 490 ppm arasında değişmektedir. Se içerikleri ise aynı sıraya göre eser-1360 ppm, eser-360 ppm, eser-400 ppm ve eser- 430 ppm arasında değişmektedir (Tablo 3.15).

Coleman ve Delevaux (1957); Hawley ve Nichol (1959, 1961); Wright (1965); Raiswell ve Plant (1980) yüksek Se içeriğinin damar tipi piritleri karakterize ettiğini, ancak düşük Se içeriklerinin de sedimanter kökenli piritler için tam bir gösterge sayılamayacağını ifade etmektedirler. Pontid tipi masif sülfid yataklarına ait piritlerde 15 ile 137 ppm (ortalama 50 ppm) arasında değişen Se içeriği, Kıbrıs tipi masif sülfid yataklarına

ait piritlerde 1 ile 251 ppm (ortalama 67 ppm) arasında değişmektedir (Güleç ve Erler, 1983). Leutwein'e (1972) göre, hipojen kökenli piritlerde 0 ile % 3 oranında bulunan bilen. Se, magmatik ve sıcak hidrotermal şartlar altında özellikle pirit, bornit, pentlandit ve kalkopirit gibi mineralerin kafes yapısına girebilmektedir. Aynı yazar, bu tip yataklara örnek olarak gösterilen Norilsk (SSCB) yatağında piritlerin eser miktarda; Boliden (İsveç) yatağında ise 4 ile 30 ppm arasında Se içerdigini belirtmektedir. Bu çalışmada incelenen damar tipi piritlerin Se içerikleri, yukarıda örnek olarak verilen yataklara göre çok daha yüksektir.

Damar tipi pirit örneklerinde Hg içerikleri eser ile 2410 ppm, Sb içerikleri ise eser ile 4070 ppm arasındadır. Sedimanter kökenli piritler için yüksek olan bu değerler, hidrotermal oluşum şartlarını yansıtmaktadır. Buna karşılık Sb içerikleri, sedimanter kökenli piritlerin tamamında eser miktarda, Hg içerikleri ise özçekilli ve masif yapılı piritlerde eser, diyajenetik piritlerde de eser ile 1380 ppm arasında (Tablo 3.11-12-13-14-15). Sideritlerin çökelimi sırasında damar tipi piritlerin bünyesine iz element olarak giren Cu, Sb, As ve Hg gibi elementler, aynı süreç içerisinde uygun fiziko-kimyasal şartlar altında konsantr olarak piritlerle birlikte görülen tetraedrit ve kalkopirit gibi sülfidli mineralerin oluşumunu sağlamışlardır.

3.6.3.2. Tetraedritlerin ana ve bazı iz element analizleri

Tetraedrit, piritlerden sonra, sideritler içerisindeki en yaygın sülfidli mineral durumundadır. Süreksiz damar ve küçük adacıklar şeklinde izlenen tetraedritler, Attepe demir yatağından alınan üç ayrı siderit numunesi içerisinde belirlenerek ana ve bazı iz element analizleri yapılmıştır. Heidelberg Üniversitesi'nde yapılan mikroprop

çalışmaları sonucunda elde edilen değerler Tablo 3.16'da görülmektedir.

Tablo 3.16. Tetraedritlere ait ana ve bazı iz element içerikleri.

| Numune Numarası | S | Fe | As | Cu | Sb | ppm | | | |
|-----------------------|-------|------|-------|-------|-------|------|------|------|------|
| | | | | | | Ni | Bi | Se | Hg |
| AT - 5 | 24.21 | 6.06 | 8.84 | 34.54 | 14.62 | 300 | 4810 | 2690 | 2940 |
| AT - 7 | 26.68 | 6.22 | 11.58 | 38.73 | 15.03 | Eser | Eser | 2360 | 3010 |
| AT - 8 | 26.93 | 7.21 | 11.53 | 38.43 | 14.98 | Eser | 3650 | 2450 | Eser |
| Aritmetik Ortalama | 25.94 | 6.49 | 10.65 | 37.23 | 14.88 | | | 2500 | |

Tetraedrit numunelerinde düzenli bir dağılım sunan S, % 24.21 ile % 26.93; Fe, % 6.06 ile % 7.21; As, % 8.84 ile % 11.53; Cu, % 34.54 ile % 38.73; Sb, % 14.62 ile % 15.03 arasında değişen değerler vermektedir.

$(\text{Cu}_2, \text{Ag}_2, \text{Fe}, \text{Zn}, \text{Hg})_3 (\text{Sb}, \text{As})_2 \text{S}_{13}$ genel formülüne sahip olan fahlerz grubu mineraller, içerdikleri Sb ve As miktarlarına göre tetraedrit ve tennantit arasında değişen kompleks bir katı çözelti serisi oluştururlar (Mondadori, 1990). Attepe sideritleri içerisinde yer alan fahlerz grubu minerallerin As'e göre daha yüksek oranda Sb içerdikleri ve dolayısıyla tetraedrit bileşiminde oldukları belirlenmiştir.

Fahlerz grubu minerallerde Cu yerine kısmen Ag, Zn, Fe ve Hg gibi iz elementler gecebildiği gibi, Sb ile As tamamen birbirlerinin yerini alabilirler (Ramdohr, 1980). Mikroprop çalışmaları sırasında Ni, Bi, Se, Hg, Co, Ag, Te, Au ve Tl için yapılan iz element analizlerinde, tetraedritlerin Ni, Bi, Se ve Hg dışında, diğer iz elementleri içermeyenler görülmüştür.

3.6.3.3. Kalkopiritlerin analizleri

Sideritler içerisinde pirit ve tetraedritlere göre çok daha az bulunan kalkopiritlerden iki örnek seçilerek ana-

liz edilmistiir. Analiz sonuclari Tablo 3.17'de gorulmektedir.

Tablo 3.17. Sideritler içerisinde yeralan kalkopirit mineralinin bazi ana ve iz element konsantrasyonlari.

| Numune Numarasi | % S | % Fe | % Cu | Ni ppm |
|-----------------------|-------|-------|-------|--------|
| AT - 6 | 33.82 | 27.86 | 32.46 | Eser |
| AT - 5 | 37.01 | 39.11 | 12.87 | 4080 |
| Aritmetik Ortalama | 35.41 | 33.49 | 22.66 | |

Ni disinda, analizi yapılan As, Sb, Co, Bi, Ag, Se, Te, Au, Tl ve Hg gibi iz elementlerden hicbirini kapsayan kalkopirit örnekleri, ortalama % 22.66 Cu, % 33.49 Fe ve % 35.41 oranında da S içermektedirler. Bir örnekte eser miktarda görülen Ni içeriği diğerinde 4080 ppm değerindedir.

3.7. Attepe Yöresi Demir Yataklarının Kökeni

Dogu Toroslar'ın batısında geniş bir alanda yayılım gösteren Attepe (Mansulu-Feke) yöresi demir yatak ve zuhurları; kökenleri, kapsadıkları cevher mineralleri ve geçirdikleri karstik süreçler açısından birbirlerine önemli ölçüde benzerlik gösteren oluşumlardır.

Bu çalışma kapsamında yapılan ayrıntılı incelemelerle, bölgede yataklanma şekli ve zamanı birbirlerinden farklı pirit ve hematit oluşukları, siderit ve hematit damarları ile karstik cevherlerin varlığı belirlenerek, bölgedeki cevher yataklanmasının üç kademe ile gerçekleştiği ortaya konulmuştur.

3.7.1. Pirit zuhurları ve hematit oluşumları

Piritler, Infrakambriyen yaşlı Attepe üyesi içinde, hematitler ise, Kandilcikdere üyesi içerisinde çökelmışlardır.

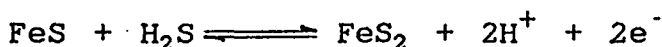
Piritli oluşukları içeren tabakaların yan kayaçlarla sürekli ardalanmaları, tabakalarda yanal ve düşey yönde fasiyes değişiklikleri ile tedrici geçişlerin olması, jeopedal yapıların varlığı, iç sedimantasyon oluşukları ile sindiyajenetik deformasyon yapılarının izlenmesi, inceelenen piritlerin sedimanter bir ortamda oluşturuklarını göstermektedir. Aynı zamanda jeokimyasal veriler de bunu desteklemektedir. Pirityli tabakaların yoğun biçimde kalsit içermelerine karşılık, öteki tabakaların şeyl, fillit ve şistlerle temsil edilmesi, ayrıca bunların çok fazla miktarda organik madde kapsamaları dikkate alınırsa pirit çökeliminin dalga etkisinden korunmuş ve kırıntılı madde gelintisi olmayan anaerobik ortam şartlarının hakim olduğu, nisbeten derin bir denizde veya ana okyanustan

sık bir eşikle ayrılmış bir iç denizde gerçekleştiği söylenebilir.

Denizel ortamda siyah renkli bitümlü şeyller, büyük oranda pelajiktirler. Ancak, bu birimlerin pasif kıtasal şelflerin nispeten derin kesimlerinde oluşmalarını engelleyecek herhangi bir faktör bulunmamaktadır. Siyah renkli şeyllerin çökelimi için esas olan, sediment-suara yüzeylerinde oksijensiz ortamların bulunmasıdır. Oksidasyon bakterileri yardımıyla sulardaki serbest oksijenin tüketilmesi sonucunda, bu tür oksijensiz ortamların şelflerde de oluşabilecegi öne sürülmüştür. Genelde denizel bir transgresyon; uygun sık kesimlerde, yani yükseltilerde fosfatların, topografik çukurluklarda ise metalce zengin siyah renkli çamurların ve aynı yerde oksidasyon şartlarının hüküm sürdüğü kesimlerde mangan yumrularının çökelmesini sonuçlandırmaktadır (Mitchel ve Garson, 1981).

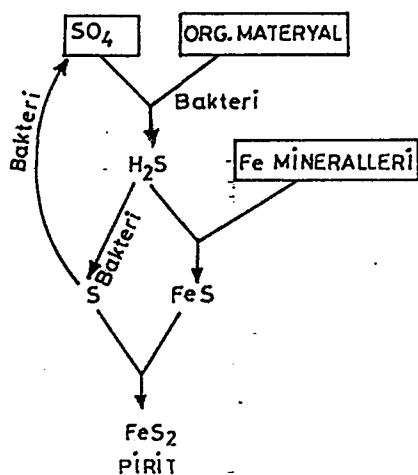
Anaerobik ortamların sedimanlarında yeterli miktarda çözünmüşt sülfat iyonu ile organik madde mevcutsa, sülfat indirgeyen bakteriler yoluyla sülfatlar H_2S 'e indirgenir. Sülfat oluşumu sedimanların Eh ve pS⁻²'de belli bir azalmaya neden olur. Buralarda pH değeri 7-8,5 ve CO_2 kısmi basıncı nisbeten sabittir (Berner, 1964). Karadeniz, Nörveç fiyortları, Bodensee(Almanya) v.s.'de H_2S ile demirli mineraller arasındaki ilk reaksiyonla amorf veya kristalli tetragonal formlu, siyah renkli "hidrotroillit" "FeS" minerali oluşmakta, daha sonra ortamda yeterli miktarda kükürtün bulunması halinde metastabil karakterli hidrotroillit minerali pirite dönüşmektedir (Şekil 3.46).

Berner'e (1963) göre metastabil FeS'den aşağıdaki tepkimelerle pirit oluşmaktadır.

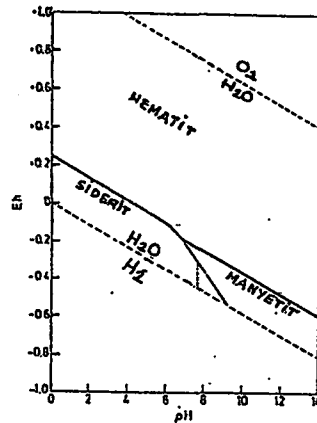


Hematitler, Kandilcikdere üyesinin en üst kesiminde yeralan 200 m kalınlığındaki metakuvarsitler içerisinde-

dedirler. Yanal yönde yer yer kesikliklere ugramakla birlikte, kilometrelerce takip edilebilen hematitler, bu çirimler içerisinde lamina ve 5-10 cm kalınlığında bantlar oluşturmaktadır.



Şekil 3.46. Sedimanter kökenli piritlerin oluşum mekanizması (Berner, 1972).



Şekil 3.47. Demir mineralerinin duraylilik alanlarını gösteren Eh-pH diyagramı (25°C sıcaklık, 1 atm toplam basınç ve 10^{-2} çözünmüş karbonat şartları; Garrels ve Christ, 1965).

Hematit lâmina ve bantları, yankayaçalarla sürekli aralananmakta, yanal ve düşey yönlü fasiyes değişiklikleri göstermekte, yaygın olarak tabaka içi paralel çapraz ve konvülüt lâminalanma yapıları oluşturmaktadır. Diğer aractan hematitler kumtaşı tanelerinin arasında bir simento şeklinde çökelmışlardır. Bütün bu veriler, hematitlerin sıg denizel ortam şartlarında kimyasal sedimantasyon süreçleri, ile çökeldiklerini göstermektedir (Şekil 3.47). Jeolojik devirler boyunca serbestleşen tüm O_2 miktarı, yerin biyokütleşinde gerçekleşen fotosentez olayının bir yan ürünüdür. Erken Prekambriyen'de böyle bir O_2 üretimi gerçekleşmeden önce, yerküreyi saran ilk sel atmosferin indirgen özelliklere sahibolduğu düşünülmektedir. Ancak, 3,7 milyar yıl önce başlayan fotosentez olayı ile birlikte serbestleşen O_2 , önce okyanuslarda daha sonra da atmosferde depolanmaya başlamıştır. Geç Prekambriyen'in en son dönemini oluşturan İnfrakambriyen'de ise, atmosferde depolanan O_2 miktarının günümüzdekine çok yakın bir düzeye ulaştığı tahmin edilmektedir (Schidlowski ve dig., 1974). Bu nedenle, bölgede yer alan sedimanter kökenli hematitler, günümüzdekilere benzer ortam şartlarında çökeliş olmalıdır.

3.7.2. Siderit ve hematit damarları

Inceleme alanında yüzeyleyen Miyosen yaşlı birimler dışında, diğer tüm birimler içerisinde görülebilen siderit ve hematit cevherleşmeleri, esas olarak Alt-Orta Kambriyen yaşlı dolomit ve kireçtaşları içerisinde yer almaktadır. Üst Kambriyen-Ordovisiyen yaşlı kalksist ve yumrulu kireçtaşları ile Jura-Alt Kretase yaşlı metakonglomeralar ise, cevherlerin yerlesimi için ikinci derecede önemli diğer birimlerdir.

Karbonat kayaçlar, aşağıda sıralanan özelliklerini sebebiyle cevher yerleşimine uygun kayaçlardır (Badham, 1981).

- Kimyasal yönden aktif olmaları sebebiyle cevherli çözeltilerle süratli bir şekilde reaksiyona girerek ikincil porozite ve permeabilite kazanmaları,
- Genellikle diyajenez süresi kısa olduğundan, diğer kayaçlara göre başlangıç porozite ve permeabilitelerinin yüksek olmaları,
- Karstik faaliyetler sonucunda cevher çökelimine uygun boşlukların ortaya çıkması,
- Rijit davranışlı olmaları sebebiyle tektonizma sırasında cevher yerleşimine uygun çok çatlaklı ve kırıklı bir yapı kazanmaları.

Alpin ve Alpin Öncesi tektonik hareketlerden önemli ölçüde etkilenen inceleme alanında, kumtaşı, kireçtaşı, dolomit ve konglomera gibi rijit davranışlı birimlerin bulunması, yoğun kırıklar ve bunlarla ilişkili olarak breşik zonların oluşmasına neden olmuştur. Cevherli çözeltilerin göçü ve yerleşimi açısından son derece önemli olan bu yapısal unsurlar, genellikle KD-GB ve KB-GD yönünde uzanımlara sahiptirler. Attepe, Kızıl ve Kartalkaya gibi büyük fayların yanısıra, Magarabeli, Karakızolugu ve Kızıltapur Tepe çevresinde izlenen kırıklı yapılar, inceleme alanında görülen ve cevherleşme için önemli belli başlı süreksizliklerdir. Attepe ve Magarabeli gibi iki büyük demir yatağının ve bir çok zu-

nurun oluşumuna imkan sağlayan Attepe fayı, bögenin en önemli cevher taşıyıcı kanallarından biridir. Yukarıda anılan öteki faylar üzerinde de, Kızıl, Değirmendere ve Kartalkaya gibi, ikinci derecede önemli yataklar ortaya çıkmıştır (EK-1). Bunların dışında bölgede belirlenen diğer yatak ve zuhurların da, tektonik hatlar boyunca sıralandıkları görülür. Bu verilerin ışığında, Mansurlu yöresindeki birincil cevher yerleşimlerinin tamamen tektonik kontrollü olduğu anlaşılmaktadır. Bölgede belirlenen en önemli cevher yerleşimleri, karbonat kayaçlarla pelitik kayaçların tektonik dokanaklarında gerçekleşmiştir. Cevher yerleşimi sırasında özellikle pelitik kayaçlar cevherli çözeltilerin hapsedilmesini saglarken, carbonat kayaçlar büyük ölçüde ornatılmışlardır. Pelitik veya kirintili kayaçlar içerisinde yer alan cevherleşmelerde ise, cevher yerleşimleri tamamen dolgu ve saçılım biçiminde olup, buralarda ornatma olaylarının teşiri görülmez.

İnceleme alanında asıl cevher yerleşimleri, karbonat kayaçlar içerisinde olmasına rağmen, Glipos Dere'nin batısında, Mağarabeli Tepe civarında ve Katrançukuru fiyolit bindirmesi boyunca izlendiği gibi, uygun tektonik yapıların bulunmadığı kesimlerde karbonat kayaçlar içerisinde bile önemli cevherleşmeler görülmez. Bunun yanında bazı küçük çaplı zuhurlar ile yaygın ankeritik zonlar ortaya çıkmıştır. Bu durum, kimyasal bileşimi, sebebiyle dolomit ve kireçtaşı gibi kolay ornatılabilen ayaç türlerinin yanısıra, cevherli çözeltilerin çevreye azlaça yayılmadan tutulabileceği özel tektonik yapıların da bulunması gerektiğini göstermektedir. İnceleme alanında yer alan Attepe, Kızıl, Mağaradere, Kartalkaya ve Karakızolugu gibi büyük demir yataklarının oluşumları bu şartların belirli ölçülerde gerçekleşmiş olmasına bağlıdır.

Mansurlu yöresinde, cevherli çözeltilerin katettiği yankayaçlara bağlı olarak cevherleşmenin karakteri ve cevher bileşenleri değişmektedir.

Pelitik ve kirintili kayaçların karbonatlardan yoksun

kesimlerinde, Schneiderhöhn (1941) tarafından "Tip Harz olarak belirlenen hidrotermal karakterli ince hematit damarları ve bresik cevher kütleleri meydana gelirken, karbonat veya karbonatlı kayaçlar içerisinde ise, "Erzberg" tipi olarak tanımlanan hidrotermal - metazomatik karakterli siderit ve ankeritten ibaret olan düzensiz sınırlı, damar, mercek ve kütleler ortaya çıkmıştır.

Walther ve Zitzman'a (1976) göre, hidrotermal damarlar, hidrotermal-metazomatik oluşumlarda cevher taşıyıcı kanal dolguları şeklinde izlenebilmektedirler. Benzer şekilde inceleme alanının birçok yerinde hidrotermal ve hidrotermal-metazomatik karakterli hematit ve siderit damalarını iç içe veya birbirlerine geçişli olarak görmek mümkündür.

Attepe yöresinde yataklanan demir cevherleri, benzer mineralojik özelliklere sahip olup, ana mineralizasyon dönemiyle ilgili olarak karbonatlı cevher, parajenezinde pirit, tetraedrit, kalkopirit ve markazit gibi sülfidli mineralleri içeren kalsit, kuvars ve dolomitli sideritler ile ankeritler, oksitli cevher parajenezinde ise, kuvarslı ve/veya baritli hematitler ile inceleme alanının çok sınırlı bir kesiminde rastlanılan piritli manyetitler ortaya çıkmıştır.

Cevherleşmenin Maestrihtiyen yerlesim yaşına sahip ofiyolitik kayaçlarda da bulunması, Miyosen yaşlı konglomeralar içerisindeki Lütesiyen (orta Eosen) yaşlı karbonat çakıllarında hiç cevherleşme izine rastlanmaması, cevherleşmenin Paleosen-Alt Eosen zaman sürecinde oluştuğunu göstermektedir.

Siderit damarları içerisinde önemli ölçüde tetraedrit damarları ve toplulukları bulunmaktadır. Tetraedrit ve tennantit gibi fahlerz mineralleri, orta veya düşük ısılı hidrotermal oluşumlarda bakır, kurşun, çinko ve gümüş mineralleriyle birlikte bulunurlar. İyi bir jeolojik termometre olan bu minerallerde azalan sıcaklıkla birlikte Hg ve Ag içerikleri artmaktadır (Mondadori, 1990). İncelenen tetraedritlerde 2500 ppm'e varan Hg

icerigi normalin üzerinde olup, düşük bir sıcakliga işaret etmektedir. Fahlerzlere eşlik eden markazitler, piritler gibi hemen hemen her ortamda oluşabilirler. Ancak, ısının 350°C 'yi geçmesi halinde duraylılıklarını kaybederek pirite dönüşürler(Ramdohr, 1975). Fakat, markazitler esas olarak düşük ıslı hidrotermal damarlarda kurşun-çinko sülfidlerler birlikte bulunurlar(Mondadori, 1990).

Attepe yöresinde gang minerali olarak izlenen kalsit, barit, kuvars ve dolomitler hidrotermal cevher damarlarında izlenen tipik gang mineralleridir. Özellikle barit, hidrotermal-metazomatik siderit yataklarında yaygın olup, orta ve düşük ıslı oluşumları karakterize etmektedir(Mondadori, 1990).

Jeokimyasal incelemeler sırasında, Attepe yatağında yüzeyleyen siderit damarları içerisindeki piritlerle, yatağın doğu bitişiginde yer alan Infrakambriyen yaşlı birimler içerisindeki sinsedimanter kökeni piritler iz element içeriği yönünden birbirleriyle karşılaştırılmışlardır. Buna göre;

- Hidrotermal piritlerin Ni konsantrasyonları, sedimanter piritlere göre daha düşük, buna karşılık sedimanter piritlerdeki Ni konsantrasyonları ise, Co konsantrasyonlarına göre daha yüksektir.

- Hidrotermal piritlerde iz element olarak ölçülen Cu, Sb, As ve Hg, uygun fiziko-kimyasal şartlar altında kosantre olarak piritlerle birlikte görülen ornatım ve kapanım dokularına sahip tetraedrit ve kalkopirit minerallerini oluşturmuşturlardır.

- Diger taraftan Attepe sideritlerinde çok düşük oranda ölçülen Cr, Co ve Ni konsantrasyonları, yatağın bazik magmatik veya volkanik bir kökenle ilişkili olabileceği görüşünü desteklemekten son derece uzaktır. Ayrıca inceleme alanının batı kesiminde ofiyolitik kayaçlar içerisinde yer alan Faraşa zehurunda, ofiyolitik kayaçlardan kaynaklandığı düşünülen ve Attepe'ye göre daha yüksek oranda ölçülen Cr, Co, Ni, V, Cu v.b. iz elementlerin, kendi aralarında genellikle kuvvetli pozisyonlarda bulunmaktadır.

tif korelasyonlara sahip olmalarına rağmen, Fe ile aynı şekilde kuvvetli pozitif korelasyonlar göstermedikleri dikkati çekmektedir. Dolayısıyla demirin esas kaynagının ofiyolitik kayaçlar olmadığı, fakat cevherli çözeltilerin ofiyolitik kayaçlar içerisindeki göçü sırasında bazik magmatik kökenli iz elementler yönünden zenginleşmiş olabileceği düşünülmektedir. Oysa, Ünlü ve Stendal (1986), yaptıkları çalışmada Attepe yatağı cevher örneklerinde Fe, Cr ve Co gibi iz elementler arasında kuvvetli pozitif bir korelasyonun varlığını değinerek, cevherleşmenin bazik ve ultrabazik kayaçlarla ilişkili olduğunu savunmuşlardır.

Bölgede yapılan incelemeler sırasında cevherleşmeye kaynak oluşturabilecek herhangi bir magmatik faaliyetin izlerine rastlanmamıştır. Attepe demir yatağının doğu kesiminde Infrakambriyen yaşlı birimler içerisinde yer alan muhtemelen Alt Paleozoyik yaşlı metabazit daykları, hem yerleşim yaşları, hem de bazik kökenli olmaları nedeniyle jeokimyasal yönden cevherleşmeyi oluşturabilecek bir kaynak durumunda degildirler. Aynı şekilde inceleme alanının batısında mostra veren allokton konumlu ofiyolitler içerisindeki diyabaz ve dolorit daykları toleyitik karakterli olup, okyanusal bir havzada ofiyolitik dizinin gelişimi sırasında sokulum yapmışlardır (Tekeli ve Erler, 1980). Dolayısıyla cevherleşmeden daha yaşıdırırlar. Buna karşılık inceleme alanının 80 km kuzey kesiminde yer alan Erciyes volkanizması, Geç Miyosen'den Kuvaterner'e kadar etkisini sürdürmüş olup, cevherleşmeden daha genç oluşumlardır (Baş, 1986). Bunların dışında inceleme alanına en yakın magmatik faaliyetler, 40 km kuzeybatıda Yahyalı, 90 km güneybatıda ise Horoz granotoitleridir. Ayhan'a (1983) göre, söz konusu granitik sokulumlarla doğrudan ilişkili olarak ortaya çıkan, Paleosen-Alt Eosen yaşlı Aladag yörensi Pb-Zn yatakları ile Bolkardağı Pb-Zn yatakları eşzamanlı oluşumlardır. Temur (1986)'da, Horzum yörensi Pb-Zn yataklarının oluşumunda, yörede görünür bir plüton bulunmamasına karşın, nisbeten yüksek ıslı bir oluşumu

yansıtan verilere dayanarak, derinde gömülü, Horoz grano-diyoritine benzer özelliklere sahip bir plütonun olması gerektiğini vurgulamaktadır. Mansurlu yöresi demir yataklarıyla ilgili incelemeler göz önüne alındığında, yüksek ısılı bir oluşumdan daha çok, düşük ısılı hidrotermal oluşumları yansıtan verilerin ağırlıkta olduğu dikkati çekmektedir. Ancak, inceleme alanının çok sınırlı bir kesiminde, yüksek ısılı bir oluşumu yansıtan manyetit mineralizasyonlarına rastlanmış olması, aynı zamanda bölgedeki cevherleşme yaşı ile Yahyalı ve Horoz grano-diyoritlerinin sokulum yaşlarının birbirlerine paralellik göstermesi, Attepe (Mansurlu-Feke) yöresindeki demir yatak ve zuhurlarının oluşumu ile bölgedeki plütonik faaliyetler arasında bir ilişkinin olabileceği ihtimalini ortaya çıkarmaktadır. Fakat, bu ilişkinin cevherleşmeyi doğrudan etkileyebilecek düzeyde olmadığı tahmin edilmektedir. Zira, bölgedeki granitik sokumlarla yakından ilişkili, Aladağ, Bolkardağı ve Horzum yöreni cevherleşmelerinde Pb-Zn yatakları oluşurken, magmatik aktiviteden oldukça uzak olsa da tahmin edilen Attepe yöresinde ise, siderit yatakları ortaya çıkmıştır. Diğer taraftan Attepe yoresinin ana cevher minerallerini oluşturan siderit ve ankerit minerallerine, plütona daha yakın olan Pb-Zn yataklarında sadece gang minerali olarak rastlanmaktadır. Buna karşılık, Attepe yöreni demir yataklarında Pb-Zn minerallerine hiç rastlanmamakta, jeokimyasal analizlerde de çok düşük oranda Pb-Zn ölçülebilmektedir.

Botke'ye (1981) göre siderit, hidrotermal sahanın orta ısılı evresinde oluşmuş, Pb-Zn, Cu, Ag yataklarında oldukça yaygın bir gang minerali olmasına rağmen, cevherli çözeltilerin soguması sonucu bu metallerin giderek azalması veya gelen çözeltilerin bu metaller bakımından fakir olması halinde siderit hakim duruma geçerek önemli demir yataklarını oluşturabilmektedir. Bu bilgilerin ışığı altında Attepe yöresi cevherlerinin oluşumunda komşu bölgelerdeki plütonik faaliyetlerin eşdegeri olarak

düşünülen derinlerdeki granitik bir sokulumun özellikle ısı kaynağı şeklinde (dolaylı yönden), çok zayıf bir ihtiyamalı de hidroterm kaynağı şeklinde (dogrudan) etkili olabileceği kabul edilmektedir. Henden ve Önder (1980) tarafından da bölgede domsal yapıların varlığına işaret edilerek, derinde gömülü bir plütonum olabileceği belirtilmektedir. Buna göre, Attepe (Mansurlu-Feke) yöresi demir yataklarının oluşumunu sağlayan cevherli çözeltiler, muhtemelen Paleosen-Alt Eosen zaman sürecinde bölgenin derinliklerinde etkili olan granitik bir sokulum da tesiriyle, lokal olarak yükseldiği tahmin edilen jeotermik gradyana bağlı olarak ısınmış, sıç ve derin dolaşımlı yeraltı suları ve gözenek suları ile muhtemelen magmatik suları bünyesinde bulunduran çözelti karışımlarının bölgede bir kısmı yüzeyleyen Infrakambriyen yaşılı sedimanter kökenli pirit ve hematit oluşukları ile reaksiyona girmesi sonucunda, Fe ve diğer katyonlarca zenginleşmesi ile oluşmuşlardır. Jeokimyasal analizler sonucu elde edilen iz element içeriklerinin, gerçek plütonik hidrotermal çözeltilerle ilişkili olarak gelişen yataklara göre daha düşük olması da bu görüşü desteklemektedir. Fakat, gerçek plütonik hidrotermal çözeltilerle, diğer çözeltilerin veya çözelti karışımlarının oluşturduğu cevherleşmeleri birbirinden ayırtetmek son derece güçtür. Bu konuda ayrıca izotop çalışmalarının da yapılması gerekmektedir.

Yukarıda açıklanan mekanizma ile ortaya çıkan hidrotermal çözeltiler, FeHCO_3 ve klorid kompleksleri şeklinde çözeltiye alındıkları demirleri, aşağıdan yukarıya doğru azalan hidrostatik basınç, belirli litostatik, kısmi gaz ve osmotik basınçlar, çözeltilerin yoğunluk farkları ve soguma gibi etkenlerin kontrolünde (Barnes, 1979), tektonik hatlar boyunca yukarılara doğru taşıdıkları kabul edilmektedir. Bu taşınma sırasında; ısı ve basıncın düşmesi, metal konsantrasyonunun artması, yüzeye yakın kesimlerde çözeltilerin soğuk sular ile karışması ve en önemlisi de karbonat kayaçlarla reaksiyona girilmesi gibi

sebeplerle demirlerin çökeltilmesi sonucunda tektonik kontrollü hidrotermal ve hidrotermal-metazomatik karakterli birincil cevherler oluşmuştur.

4.3. Karstik süreçler ve ikincil cevherlerin oluşumu;

Mansurlu yöresindeki "Erzberg" tipi siderit cevherleri ile bunlarla birlikte gelişen hidrotermal alterasyon ürünü ankeritler, cevherleşme sonrasında etkili olan karstik faaliyetlerle hemen hemen tamamen ikincil nitelikli sulu demiroksit modifikasyonlarına dönüşerek, hidrotermal-metazomatik yatakların en önemli alt bölmelerinden bir diğeri olan "Bilbao" tipi ikincil cevherleri oluşturmuşturlardır. Bu yönyle değerlendirildiğinde bölgede yer alan önemli demir yatak ve zuhurlarında, hem "Erzberg" tipi ayırmamış siderit ve ankeritler, hem de bunların süperjen alterasyon ürünü "Bilbao" tipi karstik cevher oluşumları iç içe görülmektedir. Bunlardan daha etkin olanı "Bilbao" tipidir. Bu sebeple yörede yer alan birçok demir yatak ve zuhurunda makro seviyede siderit oluşumları yok denecek kadar azdır.

İnceleme alanında Miyosen yaşlı çökeller dışında Ter-siyer'e ait başka birimler bulunmamaktadır. Yapılan incelemelere göre Miyosen yaşlı çökeller, Adana Havzası ile ilgili denizel ortamların kollar şeklinde kuzeye doğru uzanan transgresyon ürünleridir (İlhan, 1976). Buna göre, inceleme alanı Üst Kretase sonrasında önemli ölçüde kara haline geçmiştir.

Attepe yöresinde yer alan demir yataklarındaki birincil nitelikli siderit, ankerit ve hematit oluşumunun Paleosen-Alt Eosen olarak kabul edilmesi sebebiyle, bu cevherlerin endokarstik süreçlerle ikincil cevherlere dönüşmeye başladığı dönemin, Orta Eosen (Lütesiyen) olduğu kabul edilmektedir. O halde Aladağlardaki Pb-Zn yata-

larında izlenen karstlaşma olayları ile Attepe yöresindeki karstlaşma olaylarının başlangıcı arasında bir paralellik söz konusu sudur.

Mansurlu yöresinde tipik karstlaşma ürünleri özellikle Kızıl, Menteş, Attepe, Mağarabelitepe yatakları ile U-yuzpinarı yatağında görülmektedir. Attepe demir yatağında esas birincil cevher mineralini oluşturan sideritlerin tamamına yakın bir bölümü ikincil cevherlere dönüşürken, yatağın doğu bölümünde sistlere bitişik olarak izlenen cevher kütlesinin taban kesiminde 5-10 m genişliğinde bir siderit damarı ilksel şeklini korumuştur. Bu durum, karstik suların süzülmesi ve dolaşımı ile ilgilidir. Zira, sideritler bir taraftan suların hareketine uygun olmayan sistlerin hemen bitişliğinde bulunmaları sebebiyle yeterince oksidasyon olaylarından etkilenmemişlerdir. Öte yandan cevher kütlesinin en üst kotu ile tabandaki birincil cevherin arasındaki mesafenin yaklaşık 100 m kadar olması ve süzülen karstik karakterli suların topografik konumun uygun olmaması sebebiyle yeterince tabana kadar ulaşamamış bulunması, sideritin korunmasını sağlamıştır. Oysa, Mansurlu yöresindeki diğer demir yataklarına göz atılacak olursa, bunların vadilerin yamaçlarında veya bitişik kesimlerinde ve tepelerde bulundukları görülür. Bu durum, topografik açıdan cevherlerin karstik suların en uygun dolaşım konumunu yansıtır. Bu sebeple de söz konusu yörelerde yankayaç içine damar şeklinde yerleşmiş olan sideritlerin dışındakiler hemen hemen tamamen karstlaşmışlardır. Makro seviyede az da olsa 5 - 30 cm büyülüğünde olan ve önemli ölçüde ikincil cevherlere dönüşmüş blok boyutlu parçalarla, yer yer yatak tabanı ve yan kesimlerinde çıkıntılar şeklinde kalmış ve tipik olarak düzensiz endokarstik taban topografyası oluşturan birincil cevher adacıkları gözlenmektedir. Bu tür örneklerle özellikle Kızıl yatağında rastlanmaktadır. Mikro ölçekte ise hemen hemen bütün cevher yataklarında siderit reliktleri gözlenmekte olup, ikincil cevherlere dönüşüm olayının karstik suların

süzülmesine kolaylık sağlayan kristal sınırları ve kristal dilinimleri boyunca etkili olduğu görülmektedir.

Karstlaşma süreçleri Mansurlu yöresinde de tipki Aladaglar'da olduğu gibi çok fazlı olarak gerçekleşmiştir. Birincil karstlaşma fazından itibaren etkili olan müteakip karstik süreçler sırasında ilk fazın ürünü olan ikincil cevherler; hem yatay, hem de düşey yönde mekanik olarak taşınarak yatağın kendi içinde karst sedimantasyonun ortaya çıkmasını sağlamışlardır. Çok fazlı karstlaşmada, cevherleşme sonrası tektonik hareketler en önemli rolü oynamışlardır. Karst sedimanları; ya kolloidal olarak, ya da kum-blok boyutlu kırıntılı malzeme şeklinde taşınmıştır. Genellikle, yatakların taban kesimlerinde yer alan ve derinlere doğru daralan düzensiz taban topografyasına sahip, tipik karstik ceplerde çökelmişlerdir. Kolloidal olarak taşınan kil-silt boyutlu ikincil cevherlerin tamamı limonit şeklinde olup, bunlar içerisinde birincil cevher parçacıkları bulunmamaktadır. Buna karşılık, kaba cevher malzemelerinin oluşturduğu ve yer yer derecelenme, bantlanma ve tabakalanma yapıları gösteren karst sedimanları içerisinde sık sık birincil cevherlere ait hematit, ankerit ve değişen oranlarda limonitleşmiş siderit çakıl ve bloklarına rastlamak mümkündür.

Yöredeki birçok yatak içinde bol miktarda cevher çakıllarının varlığı, Attepe, Menteş ve Kızıl yataklarında yaygın bir şekilde görüldüğü gibi özellikle limonite dönüşmüş kesimlerde çok sayıda boşluğun bulunması ve bu boşlukların götitlerle sivanması, götitlerin sarkıt ve dikit benzeri şekillere sahip olması, sözkonusu karstlaşmanın en belirgin delilleri arasında yer almaktadır.

SONUÇLAR

Attepe (Mansurlu-Feke) yöresi demir yataklarını kapsayan 146 km²'lik bir alanın 1:25 000 ölçekli jeoloji haritası ile bu bölgeye ait stratigrafik sütun kesiti hazırlanmıştır.

İnceleme alanında Geyikdagı birligine ait İnfra-kambriyen-Miyosen zaman aralığında çökelmiş otokton konumlu birimler ile Maestrihtiyen'de bölgeye yerleşen, Bozkır birligine ait allokton konumlu birimler yüzeylemektedir. Geyikdagı birligine ait birimler, lito ve kronostratigrafik özellikleri dikkate alınarak 6 formasyona, bu formasyonlardan İnfra-kambriyen ve Alt Paleozoyik yaşı olanlar ise, ikişer ümeye ayrılarak tanımlanmış ve Toroslardaki benzer birimlerle denetirilmişlerdir. Birimler arasında üç uyumsuzluk yüzeyi belirlenmiştir. Bunlardan birincisi, Üst Ordovisiyen-Alt Permyen arasındaki zamanı, ikincisi Triyas'ı, üçüncüsü ise Paleojen'i kapsayan stratigrafik bir boşluğa karşılık gelmektedir.

Yörede Bozkır birligini temsil eden Delialiüşağı ofiyoliti, Aladağ ofiyolit dizisine ait metamorfik dilim ve peridotit napi bölgelerini kapsamaktadır.

Bugünkü konumunu, Üst Kretase ve sonrasında etkili olan tektonik hareketlerle kazanmış olan inceleme alanında kıvrımlı yapılardan çok, kırıkçı yapılar ortaya çıkmıştır. Ana kırık hatlarının uzanımı KD-GB ve KB-GD yönündedir. Alınan ölçülere göre diyagramları yapılan İnfra-kambriyen ve Alt Paleozoyik yaşı birimler, muhtemelen kesisen eksen sistemlerine sahip kıvrımlanma geçirmişlerdir. Bu sebeple tabaka ölçümlerine ait doku diyagramlarında dom ve küvet yapılarına has küçük kuşak simetrlileri elde edilmiştir.

Demir madenciliği açısından büyük bir öneme sahip olan inceleme alanında, üç ayrı tip cevherleşme belirlenmiştir.

İnfra-kambriyen yaşı Sicimindagi formasyonu içerisindeki ekonomik boyutlara ulaşmayan pirit ve hematit kontrasyonları birinci tip cevherleşmeyi oluşturmaktadır.

Yankayaçlarla sürekli ardalanınan, yanal ve düşey yönlü fasıyes değişimleri gösteren bu oluşukların paralel, çapraz ve konvülüt laminalanma, bantlanma ve tabakalanma yapıları ile oygu-dolgu, yük kalıbı ve öteki jeopedal yapı örneklerini göstermeleri dikkate alınarak sedimanter prosesler sonucunda çökeldikleri belirlenmiştir.

Ekonomik boyutlarda olan ve bu çalışmanın ana konusunu oluşturan asıl cevherleşmeler, ikinci ve üçüncü tip cevherleşmelerdir. Miyosen yaşılı birimler dışında, bölgede yüzeyleyen ofiyolitik kayaçlar dahil, diğer tüm birimleri tektonik hatlar boyunca kateden ikinci tip cevherleşmeler (siderit-hematit), kısmen stokvörk yapılı damar, mercek ve düzensiz sınırlı kütlelerdir. Epijenetik karakterli bu cevherleşmeler, pirit, tetraedrit, kalkopirit ve markazit gibi sülfidli mineralleri içeren kalsit, kuvars ve dolomitli siderit ve ankeritler ile kuvarslı ve/veya baritli hematit ve piritli manyetitlerden ibarettir. Bu döneme ait en önemli cevherlerin karbonat kayaçlarının kırıklarında veya karbonat kayaçlarla pelitik kayaçların tektonik dokanlarında yeralması, cevher kütlelerinin etrafında hidrotermal alterasyon ürünü ankeritik zonların ve yaygın ornatma dokularının izlenmesi, litoloji seçimi metasomatik süreçlerin etkili olduğunu göstermektedir.

Jeokimyasal çalışmalarla iz element içeriği yönünden birbirleriyle karşılaştırılan siderit damarlarındaki piritlerle, sedimanter kökenli piritlerin önemli farklılıklar gösterdikleri belirlenmiştir. Damar tipi piritlerin Ni konsantrasyonlarının sedimanter piritlere göre daha düşük, Cu, Se, Hg ve Sb içeriklerinin ise daha yüksek olması; damar tipi piritlerde iz element olarak ölçülen Cu, Sb, As ve Hg'nın uygun fiziko-kimyasal şartlar altında konsantrasyon olarak, bu piritlerle birlikte izlenen tetraedrit ve kalkopirit minerallerini oluşturmaları, sideritlerin hidrotermal süreçlerle oluşturuklarını; sideritlerin Cr, Co ve Ni konsantrasyonlarının çok düşük oluşu ise, cevherleşmenin bazik magmatik bir kökenle ilişkili olmadığını göstermektedir.

İnceleme alanında cevherleşmeyle doğrudan ilişkili magmatik bir aktivitenin bulunmamasına rağmen, cevherleşme yaşının komşu bölgelerde yer alan Yahyalı ve Horoz granodioritlerinin sokulum yaşlarına paralellik göstermesi nedeniyle, Mansurlu yöresi demirlerinin de bölgenin derinliklerinde aynı dönemde etkili olduğu kabul edilen granitik bir sokulumla ilişkili olabileceği sonucuna varılmıştır.

Manyetit dışında parajenezde yer alan cevher ve gang minerallerinin orta ve düşük ısılı oluşumlara işaret etmesi, ikinci tip cevherleşmeyi karakterize eden birincil cevherlerin plütonik faaliyetlerle, özellikle ısı kaynağı şeklinde dolaylı yönden, zayıf bir ihtimalle de hidroterm kaynacı şeklinde, doğrudan ilişkili olabileceğini gösterir. Cevherli çözeltilerin oluşumunda magmatik faaliyetlerle birlikte bölgede yükseldiği tahmin edilen jeotermal gradyanın etkili olduğu kabul edilmektedir. Jeotermal gradyana bağlı olarak ısınan yeraltı ve gözenek suları ile muhtemelen magmatik suların karışımından oluşan hidrotermeler birinci tip cevherleri oluşturan sedimanter kökenli pirit ve hematitler ile reaksiyona girerek demir içeriği yönünden zengin cevherli çözeltileri oluşturmuştur. Yapılan jeolojik incelemelere göre, bu çözeltilerin oluşturduğu ikinci tipi karakterize eden birincil cevherleşmenin yerlesim yaşı, Paleosen-Alt Eosendir.

Bölgede etkili olan epirogenik hareketlerle birlikte Tersiyer başlarından itibaren karasallaşma hareketleri başlamıştır. Buna paralel olarak gelişen karstik süreçler sonucunda siderit ve ankeritlerin oluşturduğu karbonatlı birincil cevherler çok evreli iç karstlaşmaya ugrayarak limonitlere dönüşmüştür. Kolloidal çözeltiler veya kıl-blok boyutunda kırıntılı malzemeler şeklinde yatak içi yanal ve düşey yönlü taşınmalara maruz kalan limonitler, endokarstik boşluklarda depolanarak, sarkıt-dikitli, kabugumsu, bóbregimsi kolloform yapılarla yer yer bantlı ve tabakamsı yapılar gösteren üçüncü tip karstik cevherleri oluşturmuştur.

İnceleme alanında, demir yataklarının dışında ofiyoltik kayaçlar içerisinde yer alan bazı krom zuhurlarına da rastlanmıştır.

KAYNAKLAR

- Abdüsselemoğlu, Ş., 1959, Yukarı Seyhan bölgesinde Doğu Toroslar'ın jeolojik etüdü; MTA Enst. Raporu, Rap. No. 2668, 38 s.
- Akkuş, M. F., 1981, Bitümlü şeyl ve Türkiye'deki bitümlü şeyl yataklarından yararlanma olanakları; Yeryuvarı ve İnsan, 6, 1-2, 25-34.
- Amstutz, G.C., Ramdohr, P., El Baz, F. ve Park W.C., 1963, Diagenetic behaviour of sulphides; Sedimentology and ore genesis (Amstutz G.C., ed)'de; Elsevier, Amsterdam, 19-24.
- Anderson, C.A., 1969, Massive sulphide deposits and volcanism; Econ. Geol., 64, 129-146.
- Anıl, M., 1986, Pozantı-Karsanti ofiyolit karmaşığı içinde seyrek görülen bantlı kromit cevherleşmeleri: Tekneli ve Sarıçoban Dere ocakları; Selçuk Univ. Müh.-Mim. Fak. Derg., 1, 2, 42-58.
- Ayhan, A., 1982, Burhan Mahallesi-Yuları Köyü arasında bulunan galenitli barit yatakları (Gazipaşa-Antalya); Türkiye Jeol. Kur. Bült., 25, 105-116.
- Ayhan, A. 1983, Aladag yöresi karbonatlı Pb-Zn yataklarının kökeni; Türkiye Jeol. Kur. Bült., 26, 2, 103-116.
- Ayhan, A. ve Lengeranlı, Y., 1986, Yahyalı-Demirkazık (Aladagliar Yöresi) arasındaki tektonostatigrafik Özellikleri; TMMOB Jeoloji Müh. Odası Derg., 27, 31-45
- Ayhan, A., 1988, 1:100.000 ölçekli açınsama nitelikli Türkiye jeoloji haritaları serisi, Kozan-J 21 paftası; MTA Gen. Müd., Yayıni s. 12.
- Ayhan, A. ve Küpeli, Ş., 1989, Batı Zamantı (Aladagliar) kurşun-çinko yatakları ile Mansurlu(Feke-ADANA) demir yataklarının karstlaşmaları; Ahmet Acar Jeoloji Sempozyumu, Adana, Bildiri Özleri s. 27.

- Badham, J. P. N., 1981, Ore deposits; in sediments hosted zinc-lead deposits; Econ. Geol. and Geotectonics (Ed.A. Tarling)'de; Elsevier, New York, 167-185.
- Barker, C., 1979, Organic geochemistry; AAPG course note series, 10, 159 s.
- Barnes, H. L., 1979, solubilities of ore minerals; geochemistry of hydrothermal ore deposits; John Wiley and Sons, New York, 404-406.
- Baydur, G., 1984; Malzeme, Milli Egitim basimevi, İstanbul, 343 s.
- Baş, H., 1986, Erciyes Dağı volkanitlerinin özellikleri; Selçuk Univ. Müh.-Mim. Fak. Derg., 1, 1, 29-45.
- Bernard, A., 1976, Metallogenetic processes of intra-kars-tic sedimentation; Ores in sediments (Amstutz, G.C. ve Bernard, A. J., ed.)'de: Springer, Berlin-Heidel-berg, New York, 43-57.
- Berner, R. A., 1963, Experimental studies of the formation of sedimentary iron sulfides; ; biogeochemistry of sulfur isotops-proc, (Jensen, M. L., ed.)'de, 107-120.
- Berner, R. A., 1964, Stability fields of iron minerals in anaerobic marine sediments; J. Geol., 72, 826-834.
- Berner, R .A., 1972, Sulfate reduction, pyrite formation, and the oceanic sulfur budget; the changing che-mistry of the oceans; (Dyrsen, D. ve Janger, D., ed.)'de Nobel Symposium 20 and D.Janger) Almquist and Wiksell, 347-361.
- Berner. R. A., 1983, Sedimentary pyrite formation: An up-date; Geochimica et Cosmochimica Acta, 48, 605-615.
- Blumenthal, M. M., 1939, Karakızoglu Tepesi'ndeki (Faraş mintikası) cevher zuhuratı; MTA kütüphanesi, der-leme No: 1064, 7 s.
- Blumenthal, M. M., 1944, Kayseri-Malatya arasındaki To-ros'un Permo-Karboniferi; MTA Enst. Mecm., 31, 1, 105-133.
- Botke, H., 1981, Lagerstättenkunde des Eisens; Glückauf Verl. Essen, 195 s.
- Bralia, A., Sabatini, G. ve Troja, F., 1979, A revaluation

- of the Co/Ni ratio in pyrite as geochemical tool in ore genesis problems, evidences from southern tuscany pyritic deposits; Mineral. Deposita (Berl.), 14, 353-374.
- Cambel, B. ve Jarkovsky, J., 1968, Geochemistry of nickel and cobalt in pyrrhotites of different genetic types; 23rd. Int. Geol. Cong., Böl. 6, 169-183.
- Coleman, R. G. ve Delevaux, M., 1957, Occurrence of selenium in sulfphides from some sedimentary rocks of the western United States; Econ. Geol., 52, 499-526.
- Çagatay, A. ve Çaglayan, H., 1978, Türkiye'nin ofiyolitik kromit yatak ve zuhurları; Yeryuvarı ve İnsan, 3, 3, 56-73.
- Çevrim, M., Echle, W. ve Friedrich, G., 1986, Aladaglar'da paleokarstlaşmaya bağlı Zn-Pb mineralizasyonu; Türkiye Jeol. Kur. Bült., 29, 1, 27-42.
- Daglioglu, C., 1987, Dogu Toroslar otokton "Geyikdagı" Alt Kambriyen detritiklerindeki kromit bulgusu; Türkiye Jeoloji Kurultayı, Ankara, bildiri özleri, s. 24.
- Dean, W. T. ve Monod, O., 1970, The Lower Paleozoic stratigraphy and faunas of the Taurus Mountains near Beyşehir, Turkey; I. Stratigraphy Bull. Brit. Mus. (Nat. Hist.) Geol., 19, 8, 411-426.
- Deer, W. A., Howie, R.A. ve Zussman, J., 1975, Rock-forming minerals; Longman, London, C. 5, 371 s.
- Demirtaşlı, E., 1967, Pınarbaşı-Sarız-Mağara civarının jeoloji raporu; MTA Enst. Raporu, Rap. No: 1935, 129 s.
- Demirtaşlı, E., 1973, İran, Pakistan ve Türkiye'deki Alt Paleozoyik yaşlı kayaların stratigrafik korelasyonu; Cumhuriyetin 50. Yılı yerbilimleri Kongresi, Ankara, tebligler, MTA Enst. Yayıni, 204-222.
- Demirtaşlı, E., 1979, Pınarbaşı, Sarız ve Tufanbeyli ilçeleri arasında kalan yörenin jeolojisi; Jeoloji Yük. Müh. diploma çalışması (yayınlanmamış); İstanbul. Üniv. Yerbilimleri Fak., İstanbul.
- Demirtaşlı, E., 1982, Importance of Variscan and Early Al-

- pine tectonics in Southern Turkey; Abstr. The geological evolution of the Eastern Mediterranean, Edinburg, 28-35.
- Dott, R. L. Jr., 1964, Wacke, graywacke and matrix-what approach to immature sandstone classification; Jour. Sed. Petr., 34, 625-632.
- Engin, T., 1986, Türkiye maden yatakları ve MTA'nın maden aramacılığındaki yeri; MTA Genel Müd. Yayıni, No: 194, 46 s.
- Erkan, Y., 1978, Kayaç oluşturan önemli minerallerin mikroskopta incelenmeleri; Hacettepe Univ. Yayıni, A26, 497 s.
- Fleischer, M., 1955, Minor elements in some sulphide minerals; Econ. Geol., 50, 970-1024.
- Garrels, R. M. ve Christ, C. L., 1965, Solutions, minerals and equilibria; Harper and Row Publishers, New York, 450 s.
- Govett, G. J. S. ve Pantazis, Th. M., 1971, Distribution of Cu, Zn, Ni and Co in the Troodos Pillow Lava Series, Cyprus; Trans Inst. Min. Met., 80, B27-B46.
- Güleç, N. ve Erler, A., 1983, Masif sülfid yataklarındaki piritlerin karakteristik iz element içerikleri; Türkiye jeol. Kur. Bült., 26, 2, 145- 152.
- Gümüş, A., 1979, Metalik maden yatakları; Çağlayan basımı, İstanbul, 548 s.
- Hawley, J. E. ve Nichol, I., 1959, Selenium in some Canadian sulphides; Econ. Geol., 54, 608-628.
- Hawley, J. E. ve Nichol, I., 1961, Trace elements in pyrite, pyrrhotite, and chalcoyprite of different ores; Econ. Geol., 59, 467-487.
- Helke, A., 1955, Beobachtungen an Türkischen minerallagerstätten Neues Jahrbuch f. Mineralogie, Abh. 88, Band, Stuttgart, 55-224.
- Henden, İ. ve Önder, E., 1980, Attepe (Mansurlu) demir madeninin jeolojisi; Türkiye Jeol. Kur. Bült., 23, 1, 153-163.

- Holzer, H. F. ve Pirki, H. R., 1977, The iron ore deposits in the Republic of Austria; Ore deposits of Europe, 1, 91-96.
- Hunt, J. M., 1979, Petroleum geochemistry and geology; W. Freeman and Company, San Fransisco, 617 s.
- İlhan, E., 1976, Türkiye jeolojisi; O.D.T.Ü. Müh. Fak. Yayıni, No. 51, 239 s.
- Iplikçi, E. ve Ayhan, A., 1982, Adana iline bağlı Kozan-Feke, Saimbeyli civarının jeolojik etüdü; MTA Enst. Raporu, Rap. No: 485, 63 s.
- Karadağ, M. M., 1987, Seydişehir bölgesi boksitlerinin jeolojik, petrografik ve jenetik incelemesi; Selçuk Univ. Fen Bil. Ens., Doktora Tezi, Konya, 265 s.
- Ketin, I., 1966, Güneydoğu Anadolu'nun Kambriyen teşekkülleri ve bunların Doğu İran Kambriyeni ile mukayesesı; MTA Derg., 66, 77-90.
- Ketin, I., 1982, Genel jeoloji, dış olaylar ve yeryüzü şekilleri; Teknik Univ. Matbaası, İstanbul, 2, 396 s.
- Ketin, I., 1983, Türkiye jeolojisine genel bir bakış; İ.T.Ü. Matbaası, İstanbul, 595 s.
- Kuşçu, M., 1983, Göktepe-Ermenek (Konya) yöresinin jeoloji ve Pb-Zn yatakları; Selçuk Univ. Fen Bil. Ens., Doktora Tezi, Konya, 181 s.
- Küpeli, Ş., 1986, Attepe (Mansurlu-Feke) yöresinin demir yatakları; Selçuk Univ. Fen Bil. Ens., Yüksek Lisans Tezi, Konya, 111 s.
- Lengeranlı, Y., Ayhan, A., Çeltek, N. ve Aksoy, E., 1986 Aladaglar (Batı Zamantı) yoresi (Yahyalı-Kayseri) jeolojisi ve kurşun-çinko etüdü ; MTA Enst. Raporu, Rap. No: 7501, 112 s.
- Leutwein, F., 1972, Selenium, handbook of geochemistry; (Ed., K. H. Wedepohl), Springer-Verlag, Berlin, 34, (B-O).
- Loftus-Hills., G. ve Solomon, M., 1967, Cobalt, nickel and selenium in sulphides as indicators of ore genesis; Mineral. Deposita, 16, 241-257.
- Lucius, M., 1927, Antitoros silsilesinde, Zamantı suyu ile

- Göksu arasında Faraşa demir madeni zuhurunda yapılan jeolojik taharriyat hakkında rapor; MTA kütüphane-si, derleme No: 421, 84 s.
- Lukasev, K. I., 1970, Lithology and geochemistry of the wheathering crust; Israel Program for Scientific Transilation, Jarusalem, 368 s.
- Mason, B., 1966, Principles of geochemistry; John Willey and Sons, New York, 329 s.
- Mercer, W, 1976, Minor elements in metal deposits in sedimentary rocks-a review of the recent literature; Hand book of strata-bound and stratiform ore deposits'de. Wolf, K. H. (ed.); Amsterdam, Oxford, New York; Elsevier, 2, 1-28.
- Metin, S., Papak, I., Keskin, H., Özsoy, I., Polat, N., Altun, I., Hazinedar, H., Karabalık, N.N. ve Konuk, O., 1982, Tufanbeyli-Sarız-Göksun ve Saimbeyli arasındaki jeolojisi (Doğu Toroslar); MTA Enst. Raporu, Rap. No: 7129, 123 s.
- Metin, S., 1984, Doğu Toroslar'da Derebaşı (Develi), Armutalan ve Gedikli (Saimbeyli) köyleri arasındaki jeolojisi; İ. Ü. Müh.-Mim. Fak. Yerbilimleri Derg., 4, 1-2, 45-66.
- Mitchell, A. H. G. ve Garson, M. S., 1981, Metal-rich black shales - Mineral deposits and global tectonic settings; Bölüm 3, 98-99.
- Mondadori, A., 1990, The Macdonald encyclopedia of rocks and minerals; Macdonald and Co (Publishers) Ltd, Spain, 607 s.
- Mookherjee, A. ve Philip, R., 1979, Distribution of copper, cobalt and nickel in ores and host-rocks in gladhal, Karnataka, India; Mineral. Deposita 14, 33-55.
- Ohle, E. L., 1972, Evaluation of iron ore deposits; Econ Geol., 67, 953-964.
- Oral, K., 1971, Türkiye demir envanteri; MTA Enst. Yayıni, No: 145, 365 s.
- Öncel, S., 1989, Sazak-Karaköy-Delialişağı (Yahyalı-Kay-

- seri) Köyleri arasındaki jeolojisi ve maden yatakları; Selçuk Univ. Fen Bil. Enst., Yüksek Lisans Tezi, Konya, 89 s.
- Önder, E., 1978, Kayseri-Yahyalı-Faraşa Aşılık demir madeni jeolojisi; MTA Enst. Raporu, Rap. No: 1656, 14 s.
- Özgül, N., Metin, S. ve Dean, W. T., 1972, Doğu Toroslar'da Tufanbeyli ilçesi (Adana) dolayının Alt Paleozoik stratigrafisi ve faunası; MTA Enst. Derg., 79, 9-17.
- Özgül, N., Metin, S., Göger, E., Bingöl, I., Baydar, O. ve Erdogan, B., 1973, Tufanbeyli dolayının Kambriyen-Tersiyer kayaları; Türkiye Jeol. Kur. Bült., 20, 1, 82-100.
- Özgül, N., 1976. Torosların bazı temel jeoloji Özellikleri; Türkiye Jeol. Kur. Bült., 19, 1, 65-78.
- Philipsson, A., 1918; Kleinasien; Handbuch d. regional Geologie; Heidelberg, V/2.
- Pöhl, W., Amouri, M. Kollu, O., Scheffer, R. ve Zachmann, D., 1986, A new genetic model for the North African metasomatic siderite deposits; Mineral. Deposita, 21, 228-233.
- Raiswell, R. ve Plant, J., 1980, The incorporation of trace elements into pyrite during diagenesis of black shales, Yorkshire, England; Econ. Geol., 75, 648-699.
- Ramdohr, P., 1975, Die Erzmineralien und ihre Verwachsgungen; 4. Aufl., Akademie Verlag, Berlin, 1277 s.
- Ramdohr, P., 1980, The ore minerals and their intergrowths; Pergamon Press, Oxford, 1200 s.
- Ronov, A. B., 1958, Organic carbon in sedimentary rocks; Geochemistry, 5, 510-536.
- Şahin, M. ve Bakırdağ, L., 1985, Kayseri-Adana, Yahyalı Delaliuşağı Karakızolugu-Feke Mansurlu Karakızoluğugedigi, Mağarabeli (güney bölüm) Hanyeri demir madeni jeoloji ve rezerv raporu; MTA kütüphanesi, derleme No: 7635.
- Şahin, M. ve Bakırdağ, L., 1986, Adana-Feke-Mansurlu Maga-

rabeli demir madeni, Kayseri Yahyalı, Delaliuşağı Karakızoluğu, Ayıdeliği ve batısı demir yataklarının jeolojisi ve rezerv raporu; MTA kütüphanesi, derleme No: 7942.

Schidlowski, M., Eichmann, R. ve Junge, C.E., 1974, Evolution des irdischen Sauerstoff-Budgets und Entwicklung der Erdatmosphäre; Umschau, 74, Heft 22, 703-707.

Schneiderhöhn, H., 1941, Lehrbuch der Erzlagerstättenkunde; 1. Band. die Lagerstätten der magmatischen Abfolge, 585 s.

Schulz, O., 1968, Die synsedimentaere mineralparagenese im oberen Wettersteinkalk der Pb-Zn-Lagerstaette Bleiberg-Kreuth (Kaernten); Tschermak Mineralog. Mitt., 3. F. 12, 230-289.

Tekeli, O., 1980, Toroslarda, Aladağların yapısal evrimi; Türkiye Jeol. Kur. Bült., 23, 11-14.

Tekeli, O. ve Erler, A., 1980, Aladağ ofiyolit dizisindeki diyabaz daykalarının kökeni; Türkiye Jeol. Kur. Bült., 23, 1, 15-20.

Tekeli, O., Aksoy, A. ve Ürgün, B.M., 1988, 1:100.000 ölcəkli ölçüsəmə nitelikli Türkiye jeoloji haritaları serisi, Kozan-J 20 Paftası; MTA Gen. Müd. Yayıni, 17 s.

Temur, S., 1986, Horzum (Kozan-Adana) yöreni piritli çin-ko kurşun yataklarının jeolojik, petrografik ve je-netik incelemesi; Selçuk Univ. Fen Bil. Ens., Doktora tezi, Konya, 252 s.

Termier, G. ve Monod, O., 1978, Inarticulate Brachiopods from Cambro-Ordovician formations in the western Taurus (Turkey); Türkiye Jeol. Kur. Bült., 21, 1, 145-152.

Tissot, B. P. ve Welte, D.H., 1978, Petroleum formation and occurrence; Springer Verlag, Berlin, 538 s.

Torres-Ruiz, J., 1983, Genesis and evolution of the Marquesado and adjacent iron ore deposits, Granada, Spain; Econ Geol., 2, 1657-1673.

- Tschihatschef, P., 1869, Asie mineure; Paris, Geologie, 1, 2, 552 s.
- Tutkun, Z., 1984, Saimbeyli (Adana) yöresinin stratigrafisi; C.Ü. Yerbilimleri Derg., 1, 1, 31-41
- Ulakoglu, S., 1984, Aladagliarda Yahyalı (Kayseri) bölgesinin jeolojisi; I. Ü. Müh. Fak., Yerbilimleri Derg., 4, 1-2, 1-44.
- Ünlü, T., 1985, Deveci (Hekimhan-Malatya) siderit örneklerine özgü jeokimyasal verilerde yapılan bir jeostatistiksel değerlendirme; TMMOB Jeoloji Müh. Odası Derg., 25, 3-14.
- Ünlü, T. ve Stendall,H., 1986, Divriği bölgesi demir yataklarının element korelasyonu ve jeokimyası (Orta Anadolu-Türkiye); TMMOB Jeoloji Müh. Odası Derg., 28, 5-19.
- Walther, H. W. ve Zitzmann, A., 1977, The iron ore deposits of Europe and adjacent areas; Schweizerbart V., Hannover, 2, 300 s.
- Wright, C. M. 1965, Syngenetic pyrite associated with a Precambrian iron ore deposit; Econ. Geol., 60, 998-1019.
- Zimmerman. R. A., 1970, Sedimentary features in the Meggen barite-pyrite-sphalerite deposit and a comparison with the Arkansas barite deposits; N. Jb. Miner Abh., 113, 2, 179-214.
- Zuffardi, P., 1976, Karst and economic mineral deposits, Handbook of stratabound and stratiform ore deposits(Ed. K. H. Wolf), Elsevier, Amsterdam, 3, 175-212.